



(19) 대한민국특허청(KR)  
 (12) 공개특허공보(A)

(11) 공개번호 10-2011-0036590  
 (43) 공개일자 2011년04월07일

(51) Int. Cl.

C12Q 1/68 (2006.01) G06F 19/10 (2011.01)  
 G06F 17/18 (2006.01) C12R 1/32 (2006.01)

(21) 출원번호 10-2011-7001755

(22) 출원일자(국제출원일자) 2009년06월25일  
 심사청구일자 없음

(85) 번역문제출일자 2011년01월24일

(86) 국제출원번호 PCT/US2009/048698

(87) 국제공개번호 WO 2009/158521  
 국제공개일자 2009년12월30일

(30) 우선권주장

61/075,728 2008년06월25일 미국(US)

(71) 출원인

베일러 리서치 인스티튜트

미국 텍사스주 75204 달拉斯 스위트 125 라이브  
 오크 스트리트 3434

임페리얼 컬리지 헬스케어 엔에이치에스 트러스트

영국 런던 더블유2 1엔와이 세인트 메리스 호스피  
 틀 사우스 와프 로드 더 베이스

더 내셔널 인스티튜트 포 메디컬 리서치

영국 런던 엔더블유7 1에이에이 밀 힐 더 리지웨  
 이

(72) 발명자

방쉐로 자끄 에프.

미국 텍사스주 75230 달拉斯 노스헤이븐 로드  
 6730

쇼씨벨 다미엥

미국 워싱턴주 98110 베인브릿지 아일랜드 빌 포  
 인트 코트 10900

(뒷면에 계속)

(74) 대리인

장훈

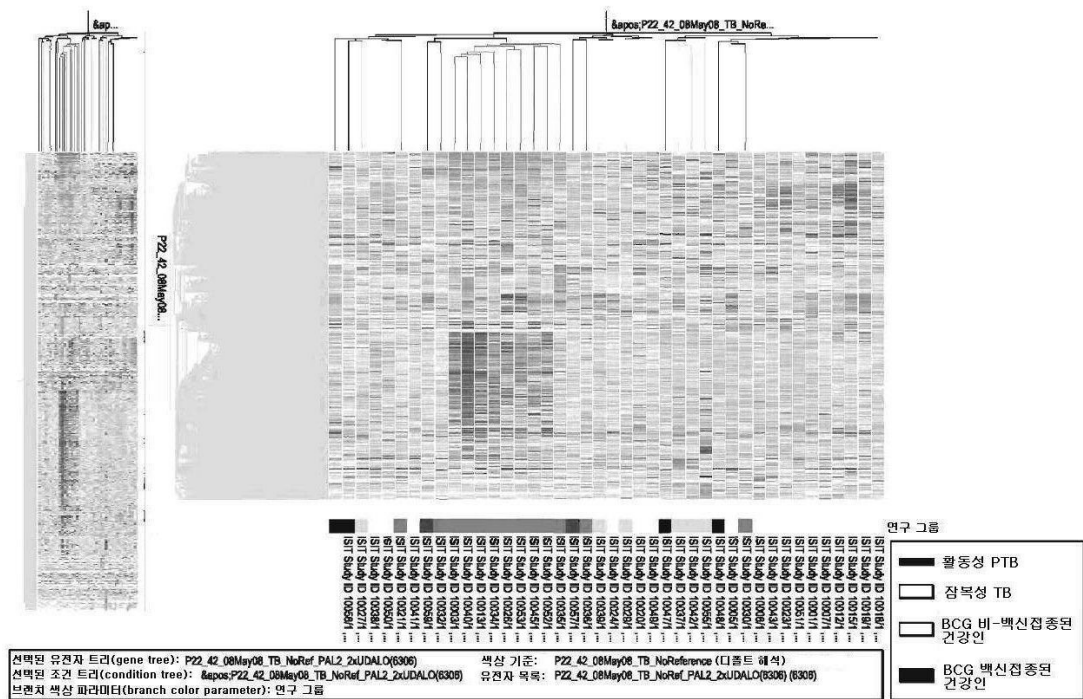
전체 청구항 수 : 총 52 항

(54) 결핵균 감염의 혈액 전사 시그너처

**(57) 요 약**

본 발명은 결핵균에 감염된 것으로 의심되는 환자에서 활동성 결핵균 감염 및 잠복성 결핵균 감염을 구별하고, 감염되지 않은 개인으로부터 이러한 환자를 구별하는 방법, 시스템 및 키트를 포함하며, 당해 방법은 환자로부터 수득된 전혈 시료로부터 유전자 발현 데이터세트를 수득하는 단계 및 감염된 환자 및 감염되지 않은 환자를 구별하는 하나 이상의 전사 유전자 발현 모듈의 차등적 발현을 측정함으로써 활동성 결핵균 감염 및 잠복성 결핵균 감염을 구별하는 단계를 포함하며, 여기서, 데이터세트는 매치된 매치된 감염되지 않은 환자와 비교하여 하나 이상의 전사 유전자 발현 모듈에서 폴리뉴클레오타이드의 수준에 있어서의 총체적인 변화를 나타낸다.

## 대 표 도



(72) 발명자

**오가라 앤**영국 런던 엔더블유2 1에이치와이 그린필드 가든스  
116**베리 매튜**영국 런던 엔더블유6 1알디 웨스트 앤드 레인 303  
씨**콘 온 민**

영국 런던 엔더블유2 2에이피 랜배너 로드 60

## 특허청구의 범위

### 청구항 1

결핵균[마이코박테리움 투베르콜로시스(*Mycobacterium tuberculosis*)]에 감염된 것으로 의심되는 환자에서 활동성 결핵균 감염 및 잠복성 결핵균 감염을 구별하는 방법으로서,

상기 환자로부터의 전혈 시료로부터 유전자 발현 데이터세트를 수득하는 단계;

감염된 환자 및 감염되지 않은 개인을 구별하는 하나 이상의 전사 유전자 발현 모듈의 차등적 발현을 측정하는 단계(여기서, 상기 데이터세트는 매치된 감염되지 않은 개인과 비교하여 하나 이상의 전사 유전자 발현 모듈에서 폴리뉴클레오타이드의 수준에 있어서 종체적인 변화를 나타낸다); 및

활동성 감염 및 잠복성 감염을 차등화하는 하나 이상의 전사 유전자 발현 모듈을 기초로 하여, 활동성 결핵균(TB) 감염 및 잠복성 결핵균(TB) 감염을 구별하는 단계

를 포함하여, 결핵균에 감염된 것으로 의심되는 환자에서 활동성 결핵균 감염 및 잠복성 결핵균 감염을 구별하는 방법.

### 청구항 2

제1항에 있어서, 상기 측정된 비교 유전자 생성물 정보를 사용하여 진단을 공식화(formulation)하는 단계를 추가로 포함하는 방법.

### 청구항 3

제1항에 있어서, 상기 측정된 비교 유전자 생성물 정보를 사용하여 예후를 공식화하는 단계를 추가로 포함하는 방법.

### 청구항 4

제1항에 있어서, 상기 측정된 비교 유전자 생성물 정보를 사용하여 치료 계획을 공식화하는 단계를 추가로 포함하는 방법.

### 청구항 5

제1항에 있어서, 활동성 TB 환자로부터 잠복성 TB인 환자를 구별하는 단계를 추가로 포함하는 방법.

### 청구항 6

제1항에 있어서, 상기 모듈이 활동성 폐 감염을 검출하기 위한 모듈 M1.2, M1.3, M1.4, M1.5, M1.8, M2.1, M2.4, M2.8, M3.1, M3.2, M3.3, M3.4, M3.6, M3.7, M3.8 또는 M3.9 내의 유전자의 데이터세트를 포함하는 방법.

### 청구항 7

제1항에 있어서, 상기 모듈이 잠복성 감염을 검출하기 위한 모듈 M1.5, M2.1, M2.6, M2.10, M3.2 또는 M3.3 내의 유전자의 데이터세트를 포함하는 방법.

### 청구항 8

제1항에 있어서, 유전자 CD3, CTLA-4, CD28, ZAP-70, IL-7R, CD2, SLAM, CCR7 및 GATA-3이 활동성 폐 감염에서 하향-조절(down-regulation)되는 방법.

### 청구항 9

제1항에 있어서, 도 9의 발현 프로파일이 활동성 폐 감염의 지표인 방법.

### 청구항 10

제1항에 있어서, 도 10의 발현 프로파일이 잠복성 감염의 지표인 방법.

#### 청구항 11

제1항에 있어서, 모듈 M3.4, M3.6, M3.7, M3.8 및 M3.9 내의 유전자의 저발현(underexpression)이 활동성 감염의 지표인 방법.

#### 청구항 12

제1항에 있어서, 상기 모듈 M3.1 내의 유전자의 과발현(overexpression)이 활동성 감염의 지표인 방법.

#### 청구항 13

제1항에 있어서, 마이코박테리움 이외의 감염시 말초 혈액 단핵 세포 또는 전혈에 의해 과발현되는, 모듈 M2.2, M2.3 및 M3.5 내의 유전자 발현을 측정함으로써 다른 세균 감염으로부터 TB 감염을 구별하는 단계를 추가로 포함하는 방법.

#### 청구항 14

제1항에 있어서, 활동성 폐 감염에 대한 모듈 M1.3, M1.4, M1.5, M1.8, M2.1, M2.4, M2.8, M3.1, M3.2, M3.3, M3.4, M3.6, M3.7, M3.8 또는 M3.9 및 잠복성 감염에 대한 모듈 M1.5, M2.1, M2.6, M2.10, M3.2 또는 M3.3 중 2개 이상을 사용하여 잠복성 TB 환자들 및 활동성 TB 환자들의 혈액에서 차등적이고 상반되는 전사 시그너처(transcriptional signature)를 구별하는 단계를 추가로 포함하는 방법.

#### 청구항 15

제1항에 있어서, 건강한 환자에 비해 활동성 폐 TB 감염에서 상향조절(upregulation)되는 유전자가 표 7A, 7D, 7I, 7J 및 7K 중에서 선택되는 방법.

#### 청구항 16

제1항에 있어서, 건강한 환자에 비해 활동성 폐 TB 감염에서 하향조절되는 유전자가 표 7B, 7C, 7E, 7F, 7G, 7H, 7L, 7M, 7N, 7O 및 7P 중에서 선택되는 방법.

#### 청구항 17

제1항에 있어서, 건강한 환자에 비해 잠복성 TB 감염에서 상향조절되는 유전자가 표 8B로부터 선택되는 방법.

#### 청구항 18

제1항에 있어서, 건강한 환자에 비해 잠복성 TB 감염에서 하향조절되는 유전자가 표 8A, 8C, 8D, 8E 및 8F 중에서 선택되는 방법.

#### 청구항 19

결핵균에 감염된 것으로 의심되는 환자에서 활동성 결핵균 감염 및 잠복성 결핵균 감염을 구별하는 방법으로서, 활동성 결핵균 감염된 제1 임상 그룹으로부터 수득된 제1 유전자 발현 데이터세트, 잠복성 결핵균 감염 환자의 제2 임상 그룹으로부터 수득된 제2 유전자 발현 데이터세트 및 감염되지 않은 개인의 임상 그룹으로부터 수득된 제3 유전자 발현 데이터세트를 수득하는 단계;

상기 제1, 제2 및 제3 데이터세트 중 어느 2개 사이의 유전자의 차등적 발현을 포함하는 유전자 군집 데이터세트를 생성하는 단계; 및

잠복성 감염, 활동성 감염 또는 건강한 상태의 지표인 발현/제시의 유일한 패턴을 측정하는 단계

를 포함하여, 결핵균에 감염된 것으로 의심되는 환자에서 활동성 결핵균 감염 및 잠복성 결핵균 감염을 구별하는 방법.

#### 청구항 20

제19항에 있어서, 각각의 임상 그룹이 표 6의 119개 유전자 각각에 대한 발현/제시의 유일한 패턴으로 분리되는

방법.

### 청구항 21

제19항에 있어서, 상기 제1 및 제3 데이터세트에 대한 값을 비교하고 상기 제3 데이터세트로부터의 데이터세트에 대한 값을 이로부터 감하는 방법.

### 청구항 22

제19항에 있어서, 상기 제2 및 제3 데이터세트에 대한 값을 비교하고 상기 제3 데이터세트로부터의 데이터세트에 대한 값을 이로부터 감하는 방법.

### 청구항 23

제19항에 있어서, 2개의 상이한 데이터세트에 대한 값을 비교하여 나머지 데이터세트에 대한 값을 감합으로써 잠복성 감염 환자, 활동성 감염 환자 및 감염되지 않은 개인을 구별하는 단계를 추가로 포함하는 방법.

### 청구항 24

제19항에 있어서, 상기 측정된 비교 유전자 생성물 정보를 사용하여 진단 또는 예후를 공식화하는 단계를 추가로 포함하는 방법.

### 청구항 25

제19항에 있어서, 상기 측정된 비교 유전자 생성물 정보를 사용하여 치료 계획을 공식화하는 단계를 추가로 포함하는 방법.

### 청구항 26

제19항에 있어서, 활동성 TB 환자로부터 잠복성 TB 환자를 구별하는 단계를 추가로 포함하는 방법.

### 청구항 27

제19항에 있어서, 잠복성 TB 환자의 혈액에서 저발현(underexpression)/하향제시(underrepresentation)되지만 건강한 개인 또는 활동성 TB 환자의 혈액에서는 그렇지 않은 유전자 ST3GAL6, PAD14, TNFRSF12A, VAMP3, BR13, RGS19, PILRA, NCF1, LOC652616, PLAUR(CD87), SIGLEC5, B3GALT7, IBRDC3(NKLAM), ALOX5AP(FLAP), MMP9, ANPEP(APN), NALP12, CSF2RA, IL6R(CD126), RASGRP4, TNFSF14(CD258), NCF4, HK2, ARID3A, PGLYRP1(PGRP)의 발현 수준을 측정하는 단계를 추가로 포함하는 방법.

### 청구항 28

제19항에 있어서, 건강한 대조군 개인의 혈액에서 과발현(overexpression)/과잉제시(overrepresentation)되지만, 잠복성 TB 환자의 혈액에서 저발현/하향제시되고, 활동성 TB 환자의 혈액에서 저발현/하향제시되는 유전자 ABCG1, SREBF1, RBP7(CRBP4), C22orf5, FAM101B, S100P, LOC649377, UBTD1, PSTPIP-1, RENBP, PGM2, SULF2, FAM7A1, HOM-TES-103, NDUFAF1, CES1, CYP27A1, FLJ33641, GPR177, MID1IP1(MIG-12), PSD4, SF3A1, NOV(CCN3), SGK(SGK1), CDK5R1, LOC642035의 발현 수준을 측정하는 단계를 추가로 포함하는 방법.

### 청구항 29

제19항에 있어서, 건강한 개인의 혈액에서 과발현/과잉제시되고, 잠복성 TB 환자 및 활동성 TB 환자의 혈액에서 저발현/하향제시되는 유전자 ARSG, LOC284757, MDM4, CRNL1, IL8, LOC389541, CD300LB, NIN, PHKG2, HIP1의 발현 수준을 측정하는 단계를 추가로 포함하는 방법.

### 청구항 30

제19항에 있어서, 활동성 TB 환자의 혈액에서 과발현/과잉제시되고, 잠복성 TB 환자 및 건강한 대조군 개인의 혈액에서 저발현/하향제시되는 유전자 PSMB8(LMP7), APOL6, GBP2, GBP5, GBP4, ATF3, GCH1, VAMP5, WARS, LIMK1, NPC2, IL-15, LMTK2, STX11(FHL4)의 발현 수준을 측정하는 단계를 추가로 포함하는 방법.

### 청구항 31

제19항에 있어서, 활동성 TB 환자로부터의 혈액에서 과발현/과잉제시되고, 잠복성 TB 환자 및 건강한 대조군 개인으로부터의 혈액에서 저발현/하향제시되는 유전자 FLJ11259(DRAM), JAK2, GSDMDC1(DF5L)(FKSG10), SIPAIL1, [2680400](KIAA1632), ACTA2(ACTSA), KCNMB1(SLO-BETA)의 발현 수준을 측정하는 단계를 추가로 포함하는 방법.

### 청구항 32

제19항에 있어서, 활동성 TB 환자의 혈액에서 저발현/하향제시되지만 잠복성 TB 환자 또는 건강한 대조군 개인의 혈액에서는 그렇지 않은 유전자 SPTANI, KIAAD179(Nnp1)(RRP1), FAM84B(NSE2), SELM, IL27RA, MRPS34, [6940246](IL23A), PRKCA(PKCA), CCDC41, CD52(CDW52), [3890241](ZN404), MCCC1(MCCA/B), SOX8, SYNJ2, FLJ21127, FHIT의 발현 수준을 측정하는 단계를 추가로 포함하는 방법.

### 청구항 33

제19항에 있어서, 건강한 대조군 개인의 혈액에서 저발현/하향제시되고, 잠복성 TB 환자의 혈액에서 과발현/과잉제시되며, 활동성 TB 환자의 혈액에서 과발현/과잉제시되는 유전자 CDKL1(p42), MICALCL, MBNL3, RHD, ST7(RAY1), PPR3R1, [360739](PIP5K2A), AMFR, FLJ22471, CRAT(CAT1), PLA2G4C, ACOT7(ACT)(ACH1), RNF182, KLRC3(NKG2E), HLA-DPB1의 발현 수준을 측정하는 단계를 추가로 포함하는 방법.

### 청구항 34

결핵균에 감염된 것으로 의심되는 환자에서 활동성 결핵균 감염 및 잠복성 결핵균 감염을 구별하는 방법으로서,

전혈 시료로부터 유전자 발현 데이터세트를 수득하는 단계;

상기 유전자 발현 데이터세트를 하나 이상의 전사 유전자 발현 모듈로 분류하는 단계; 및

활동성 결핵균 감염 및 잠복성 결핵균 감염을 구별하는 하나 이상의 전사 유전자 발현 모듈의 차등적 발현을 맵핑함으로써, 활동성 결핵균 감염 및 잠복성 결핵균 감염을 구별하는 단계

를 포함하여, 결핵균에 감염된 것으로 의심되는 환자에서 활동성 결핵균 감염 및 잠복성 결핵균 감염을 구별하는 방법.

### 청구항 35

제34항에 있어서, 상기 데이터세트가 TRIM 유전자를 포함하는 방법.

### 청구항 36

제34항에 있어서, 상기 데이터세트가 TRIM 유전자를 포함하며, TRIM 5, 6, 19(PML), 21, 22, 25, 68이 활동성 폐 TB에서 과잉제시/발현되는 방법.

### 청구항 37

제34항에 있어서, 상기 데이터세트가 TRIM 유전자를 포함하고, TRIM 28, 32, 51, 52, 68이 활동성 폐 TB에서 하향제시/발현되는 방법.

### 청구항 38

결핵균에 감염된 것으로 의심되는 환자에서 활동성 결핵균 감염 환자 및 잠복성 결핵균 감염 환자를 진단하는 방법으로서, 상기 방법은

전혈로부터 수득된 감염된 환자 및 감염되지 않은 환자를 구별하는 하나 이상의 전사 유전자 발현 모듈의 차등적 발현을 검출함으로써 활동성 결핵균 감염 및 잠복성 결핵균 감염을 구별하는 단계(여기서, 상기 전혈은 매치된 감염되지 않은 환자와 비교하여 하나 이상의 전사 유전자 발현 모듈에서 폴리뉴클레오타이드의 수준에 있어서의 총체적인 변화를 나타낸다)

를 포함하여, 결핵균에 감염된 것으로 의심되는 환자에서 활동성 결핵균 감염 환자 및 잠복성 결핵균 감염 환자를 진단하는 방법.

### 청구항 39

제38항에 있어서, 상기 측정된 비교 유전자 생성물 정보를 사용하여 진단을 공식화하는 단계를 추가로 포함하는 방법.

#### 청구항 40

제38항에 있어서, 상기 측정된 비교 유전자 생성물 정보를 사용하여 예후를 공식화하는 단계를 추가로 포함하는 방법.

#### 청구항 41

제38항에 있어서, 상기 측정된 비교 유전자 생성물 정보를 사용하여 치료 계획을 공식화하는 단계를 추가로 포함하는 방법.

#### 청구항 42

제38항에 있어서, 상기 모듈이 활동성 폐 감염을 검출하기 위한 모듈 M1.2, M1.3, M1.4, M1.5, M1.8, M2.1, M2.4, M2.8, M3.1, M3.2, M3.3, M3.4, M3.6, M3.7, M3.8 또는 M3.9 내의 유전자의 데이터세트를 포함하는 방법.

#### 청구항 43

제38항에 있어서, 상기 모듈이 잠복성 감염을 검출하기 위한 모듈 M1.5, M2.1, M2.6, M2.10, M3.2 또는 M3.3 내의 유전자의 데이터세트를 포함하는 방법.

#### 청구항 44

제38항에 있어서, 유전자 CD3, CTLA-4, CD28, ZAP-70, IL-7R, CD2, SLAM, CCR7 및 GATA-3가 활동성 폐 감염에서 하향-조절되는 방법.

#### 청구항 45

제38항에 있어서, 도 9의 모듈의 발현 프로파일이 활동성 폐 감염의 진단인 방법.

#### 청구항 46

제38항에 있어서, 도 10의 모듈의 발현 프로파일이 잠복성 감염의 진단인 방법.

#### 청구항 47

제38항에 있어서, 모듈 M3.4, M3.6, M3.7, M3.8 및 M3.9 내의 유전자의 저발현이 활동성 감염의 지표인 방법.

#### 청구항 48

제38항에 있어서, 모듈 M3.1 내의 유전자의 과발현이 활동성 감염의 지표인 방법.

#### 청구항 49

제38항에 있어서, 마이코박테리움 이외의 감염시 말초 혈액 단핵 세포 또는 전혈에 의해 과발현되는, 모듈 M2.2, M2.3 및 M3.5 내의 유전자 발현을 측정함으로써 다른 세균 감염으로부터 TB 감염을 구별하는 단계를 추가로 포함하는 방법.

#### 청구항 50

제38항에 있어서, 활동성 폐 감염에 대한 모듈 M1.3, M1.4, M1.5, M1.8, M2.1, M2.4, M2.8, M3.1, M3.2, M3.3, M3.4, M3.6, M3.7, M3.8 또는 M3.9 및 잠복성 감염에 대한 모듈 M1.5, M2.1, M2.6, M2.10, M3.2 또는 M3.3 중 2개 이상을 사용하여 잠복성 TB 환자들 및 활동성 TB 환자들의 혈액에서 차등적이고 상반되는 전사 시그너처를 구별하는 단계를 추가로 포함하는 방법.

#### 청구항 51

결핵균으로 감염된 것으로 의심되는 환자에서 활동성 결핵균 감염 환자 및 잠복성 결핵균 감염 환자를 진단하기

위한 키트로서,

상기 환자로부터 유전자 발현 데이터세트를 수득하기 위한 유전자 발현 검출기; 및

전혈로부터 수득된 감염된 환자 및 감염되지 않은 환자를 구별하는 미리 정의된 유전자 모듈 데이터세트에 대해 상기 유전자 발현을 비교함으로써 활동성 결핵균 감염 및 잠복성 결핵균 감염을 구별할 수 있는 프로세서(여기서, 상기 전혈은 매치된 감염되지 않은 환자와 비교하여 하나 이상의 전사 유전자 발현 모듈에서 폴리뉴클레오타이드의 수준에 있어서 총체적인 변화를 나타낸다)

를 포함하는, 결핵균으로 감염된 것으로 의심되는 환자에서 활동성 결핵균 감염 환자 및 잠복성 결핵균 감염 환자를 진단하기 위한 키트.

## 청구항 52

활동성 결핵균 감염 환자 및 잠복성 결핵균 감염 환자를 진단하기 위한 시스템으로서,

상기 환자로부터의 유전자 발현 데이터세트; 및

전혈로부터 수득된 감염된 환자 및 감염되지 않은 환자를 구별하는 미리 정의된 유전자 모듈 데이터세트에 대해 상기 유전자 발현을 비교함으로써, 활동성 결핵균 감염 및 잠복성 결핵균 감염을 구별할 수 있는 프로세서(여기서, 상기 전혈은 매치된 감염되지 않은 환자와 비교하여 하나 이상의 전사 유전자 발현 모듈에서 폴리뉴클레오타이드의 수준에 있어서의 총체적인 변화를 나타낸다)를 포함하며,

여기서, 상기 모듈이 활동성 폐 감염에 대한 M1.3, M1.4, M1.5, M1.8, M2.1, M2.4, M2.8, M3.1, M3.2, M3.3, M3.4, M3.6, M3.7, M3.8 또는 M3.9 및 잠복성 감염에 대한 모듈 M1.5, M2.1, M2.6, M2.10, M3.2 또는 M3.3 중에서 선택되는,

활동성 결핵균 감염 환자 및 잠복성 결핵균 감염 환자를 진단하기 위한 시스템.

## 명세서

### 기술 분야

[0001]

본 발명은 일반적으로 결핵균(*Mycobacterium tuberculosis*) 감염, 및 보다 특히 잠복성 결핵균 감염 및 활동성 결핵균 감염 및 치료 전, 치료 동안 및 치료 후 질병 진행의 진단, 예후 및 모니터링용 시스템, 방법 및 장치의 분야에 관한 것이다.

[0002]

### 긴 표

[0003]

본 특허원은 긴 표 단락(lengthy table section)을 포함한다. 이러한 표의 사본은 USPTO 웹 사이트 (<http://seqdata.uspto.gov/>)에서 전자적 형태로 이용가능하다. 표의 전자적 사본은 또한 37 CFR 1.19(b)(3)에 규정된 요청 및 요금의 지불시 USPTO로부터 이용가능할 것이다.

### 배경 기술

[0004]

본 발명의 영역을 제한함이 없이, 이의 배경은 결핵균 감염의 확인 및 치료와 관련하여 기술된다.

[0005]

폐결핵(PTB)은 결핵균[마이코박테리움 투베르콜로시스(*Mycobacterium tuberculosis*)] [엠. 투베르콜로시스(*M. tuberculosis*)]에 의해 전세계적으로 유발된 이환율 및 치사율의 중요하고 증가되는 원인이다. 그러나, 결핵균에 의해 감염된 개인들 대부분은 잠복성 형태의 감염을 유지하는 무증상으로 남아있으며 이러한 잠복성 상태는 활동성 면역 반응에 의해 유지되는 것으로 고려된다(참조: WHO; Kaufmann, SH & McMichael, AJ., Nat Med, 2005). 이러한 사실은, 크론병(Crohn's Disease) 또는 류마티스 관절염 환자를 항-TNF 항체로 치료하면 자가면역 증상이 개선되지만 다른 한편 결핵균과 이미 접촉된 환자에서 TB의 재활성화를 유발한다는 보고에 의해 지지된다(Keane). 결핵균에 대한 면역 반응은 다원적이며 TNF, 및 Th1 측의 IFN- $\gamma$  및 IL-12와 같은 유전적으로 결정된 숙주 인자를 포함한다(참조: Casanova, Ann Rev; Newport). 그러나, 성인 폐 TB 환자로부터의 면역 세포는 IFN- $\gamma$ , IL-12 및 TNF를 생산할 수 있고, IFN- $\gamma$  치료요법은 질병을 완화시키는데 도움을 주지 못하며(참조: Reljic, 2007, J Interferon & Cyt Res., 27, 353-63), 이러한 사실은 광범위한 수의 숙주 면역 인자가 결핵균에 대한 보호 및 잠복성의 유지에 관여함을 제안한다. 따라서, 활동성 TB에 대해 잠복성을 유도하는 숙주 인자의 지식은 결핵균에 의한 감염을 제어할 수 있는 면역 반응과 관련한 정보를 제공할 수 있다.

[0006]

PTB의 진단은 다수의 이유로 인하여 어렵고 해결하기 어려울 수 있다. 첫째로, 가래에서 통상적인 결핵균 세균의 존재를 혈미경 실험(도말 양성)에 의해 입증하는 것은 단지 50 내지 70%의 민감성을 가지며, 양성 진단은 8주까지 걸릴 수 있는 배양에 의한 결핵균의 분리를 필요로 한다. 또한, 일부 환자들은 가래에서 도말 음성이거나 가래를 생산할 수 없으므로, 추가의 시료채취가 침습 과정인 기관지경술에 의해 요구된다. PTB의 진단시 이러한 제한으로 인해, 도말 음성 환자는 때때로 투베르콜린(PPD) 피부 반응성[망토우(Mantoux) 검사]에 대해 시험한다. 그러나, 투베르콜린(PPD) 피부 반응성은 BCG 백신접종간에, 잠복성 또는 활동성 TB를 구별할 수 있다. 이러한 문제점에 응답하여, BCG에 부재하는 특이적인 결핵균 항원에 대한 면역반응성을 입증하는 검정이 개발되어 왔다. 그러나, 인터페론 감마 방출 검정(Interferon Gamma Release Assays: IGRA)에서 혈액 세포에 의한 IFN- $\gamma$ 의 생산에 의해 측정되는 것으로서, 이들 결핵균 항원에 대한 반응성은 활동성 질병으로부터 잠복성을 구별하지 않는다. 잠복성 TB는, 환자가 임상 징후 또는 시그너처(signature)의 부재하에서 IGRA 양성 결과, 또는 활동성 질병의 방사선학 제시와 함께, PPD로 피내 챠린지되는 경우 지연된 유형의 고과민성에 의해 임상적으로 정의된다. 잠복성/잠재성 결핵(TB)의 재활성화는 다른 개인으로의 전파 위험성으로 주요한 건강상의 위험인자이므로, 잠복성 TB 환자 및 활동성 TB 환자에서의 차이를 반영하는 생물표지자(biomarker)는, 특히 항-마이코박테리움 약물 치료가 힘들고 심각한 부작용을 초래할 수 있기 때문에, 질병 관리시 사용할 수 있다.

### 발명의 내용

[0007]

본 발명은 건강한 대조군과 비교하여 잠복성 결핵(TB) 환자 대 활동성 결핵(TB) 환자의 확인을 위한 방법 및 키트를 포함한다. 하나의 양태에서, 구별되고 상반되는 면역 시그너처의 혈액 마이크로어레이 분석이 잠복성 결핵(TB) 환자 대 활동성 결핵(TB) 환자를 측정하고, 진단하고, 추적하며 치료하는데 사용된다.

[0008]

하나의 양태에서, 본 발명은 결핵균에 감염된 것으로 의심되는 환자에서 활동성 결핵균 감염 및 잠복성 결핵균 감염을 구별하기 위한 방법, 시스템 및 키트를 포함하며, 당해 방법은 환자로 부터의 전혈 시료로부터 유전자 발현 데이터세트(dataset)를 수득하는 단계; 감염된 환자와 감염되지 않은 개개을 구별하는 하나 이상의 전사 유전자 발현 모듈의 차등적 발현을 측정하는 단계(여기서, 데이터세트는 매치된(matched) 감염되지 않은 개인과 비교한 것으로서 하나 이상의 전사 유전자 발현 모듈에서의 폴리뉴클레오타이드의 수준에 있어서 총체적인 aggregate 변화를 나타낸다); 및 활동성 감염 및 잠복성 감염을 구별하는 하나 이상의 전사 유전자 발현 모듈을 기초로 하여 활동성 결핵균(TB) 감염 및 잠복성 결핵균 감염을 구별하는 단계를 포함한다. 하나의 측면에서, 본 발명은 또한 측정된 비교 유전자 생성물 정보를 사용하여 진단을 공식화(formulation)하는 단계를 포함한다.

[0009]

다른 측면에서, 당해 방법은 또한 측정된 비교 유전자 생성물 정보를 사용하여 예후를 공식화하는 단계 또는 측정된 비교 유전자 생성물 정보를 사용하여 치료 계획을 공식화하는 단계를 포함할 수 있다. 다른 대체 측면에서, 당해 방법은 활동성 TB 환자로부터 잠복성 TB 환자를 구별하는 단계를 포함할 수 있다. 하나의 측면에서, 모듈은 활동성 폐 감염을 검출하기 위한 모듈 M1.2, M1.3, M1.4, M1.5, M1.8, M2.1, M2.4, M2.8, M3.1, M3.2, M3.3, M3.4, M3.6, M3.7, M3.8 또는 M3.9 내의 유전자의 데이터세트를 포함할 수 있다. 다른 측면에서, 모듈은 잠복성 감염을 검출하기 위한 모듈 M1.5, M2.1, M2.6, M2.10, M3.2 또는 M3.3 내의 유전자의 데이터세트를 포함할 수 있다. 또 다른 측면에서, 유전자 CD3, CTLA-4, CD28, ZAP-70, IL-7R, CD2, SLAM, CCR7 및 GATA-3은 활동성 폐 감염에서 하향-조절된다. 하나의 특정 측면에서, 도 9에서의 모듈의 발현 프로파일은 활동성 폐 감염의 지표이며, 도 10에서의 모듈의 발현 프로파일은 잠복성 감염의 지표이다. 모듈 M3.4, M3.6, M3.7, M3.8 및 M3.9에서 유전자의 저발현(underexpression)은 활동성 감염의 지표임이 밝혀졌다. 또한 모듈 M3.1에서 유전자의 과발현(overexpression)은 활동성 감염의 지표임이 밝혀졌다.

[0010]

본 발명의 또 다른 측면에서, 당해 방법은 또한 결핵균 이외의 감염시 말초 혈액 단핵 세포 또는 전혈에 의해 과발현되는, 모듈 M2.2, M2.3 및 M3.5 내의 유전자 발현을 측정함으로써 다른 세균 감염으로부터 TB 감염을 구별하는 단계를 포함할 수 있다. 또는, 당해 방법은 활동성 폐 감염에 대한 모듈 M1.3, M1.4, M1.5, M1.8, M2.1, M2.4, M2.8, M3.1, M3.2, M3.3, M3.4, M3.6, M3.7, M3.8 또는 M3.9 및 잠복성 감염에 대한 모듈 M1.5, M2.1, M2.6, M2.10, M3.2 또는 M3.3 중 2개 이상을 사용하여 잠복성 TB 환자 및 활동성 TB 환자의 혈액 속에서 차등적이고 상반되는 전사 시그너처를 구별하는 단계를 포함할 수 있다. 건강한 환자에 대해 활동성 폐 TB 감염에서 상향조절된 유전자의 예는 표 7A, 7D, 7I, 7J 및 7K 중에서 선택된다. 건강한 환자에 대해 활동성 폐 TB 감염에서 하향조절된 유전자의 추가의 예는 표 7B, 7C, 7E, 7F, 7G, 7H, 7L, 7M, 7N, 7O 및 7P 중에서 선택된다. 하나의 특정 측면에서, 건강한 환자에 대해 잠복성 TB 감염에서 상향조절된 유전자는 표 8B로부터 선택될 수 있다. 다른 특정 측면에서, 건강한 환자에 대해 잠복성 TB 감염에서 하향조절된 유전자는 표 8A, 8C,

8D, 8E 및 8F 중에서 선택될 수 있다.

[0011] 본 발명의 다른 양태는 결핵균에 감염된 것으로 의심되는 환자에서 활동성 결핵균 감염 및 잠복성 결핵균 감염을 구별하는 방법이며, 당해 방법은 활동성 결핵균 감염된 제1 임상 그룹으로부터 수득한 제1 유전자 발현 데이터세트, 잠복성 결핵균 감염 환자의 제2 임상 그룹으로부터 수득한 제2 유전자 발현 데이터세트 및 감염되지 않은 개인의 임상 그룹으로부터 수득한 제3 유전자 발현 데이터세트를 수득하는 단계; 제1, 제2 및 제3 데이터세트 중 특정 2개 사이의 유전자의 차등적 발현을 포함하는 유전자 군집(cluster) 데이터세트를 생성시키는 단계; 및 잠복성 감염, 활동성 감염 또는 건강한 상태의 지표인 발현/제시의 독특한 패턴을 특정하는 단계를 포함한다. 하나의 측면에서, 각각의 임상 그룹은 표 6의 119개 유전자 각각에 대한 발현/제시의 독특한 패턴으로 분리된다. 다른 측면에서, 제1 및 제3 데이터세트에 대한 값을 비교하고 제3 데이터세트로부터의 데이터세트에 대한 값을 이로부터 감한다. 다른 특정 측면에서, 제2 및 제3 데이터세트에 대한 값을 비교하여 제3 데이터세트로부터의 데이터세트에 대한 값을 이로부터 감한다. 하나의 특정 양태에서, 당해 방법은 또한 2개의 상이한 데이터세트에 대한 값을 비교하여 나머지 데이터세트에 대한 값을 감합으로써 잠복성 감염 환자, 활동성 감염 환자 및 감염되지 않은 개인을 구별하는 단계를 포함할 수 있다. 하나의 측면에서, 당해 방법은 또한 측정된 비교 유전자 생성물 정보를 사용하여 진단 또는 예후를 공식화하는 단계를 포함할 수 있다. 또 다른 측면에서, 본 발명은 측정된 비교 유전자 생성물 정보를 사용하여 치료 계획을 공식화하는 단계를 포함한다. 당해 방법은 또한 유전자 및 환자 군집에서 유전자의 발현/제시를 분석함으로써 활동성 TB 환자로부터 잠복성 TB 환자를 구별하는 단계를 포함할 수 있다.

[0012] 하나의 특정 측면에서, 당해 방법은 또한 잠복성 TB 환자의 혈액에서는 저발현/하향제시되지만 건강한 개인 또는 활동성 TB 환자의 혈액에서는 그렇지 않은 유전자 ST3GAL6, PAD14, TNFRSF12A, VAMP3, BR13, RGS19, PILRA, NCF1, LOC652616, PLAUR(CD87), SIGLEC5, B3GALT7, IBRDC3(NKLAM), ALOX5AP(FLAP), MMP9, ANPEP(APN), NALP12, CSF2RA, IL6R(CD126), RASGRP4, TNFSF14(CD258), NCF4, HK2, ARID3A, PGLYRP1(PGRP)의 발현 수준을 측정하는 단계를 포함할 수 있다. 다른 특정 측면에서, 당해 방법은 또한 건강한 대조군 개인의 혈액에서는 과발현/과잉제시되지만 잠복성 TB 환자의 혈액에서는 저발현/하향제시되고 활동성 TB 환자의 혈액에서는 저발현/하향제시되는 유전자 ABCG1, SREBF1, RBP7(CRBP4), C22orf5, FAM101B, S100P, LOC649377, UBTD1, PSTPIP-1, RENBP, PGM2, SULF2, FAM7A1, HOM-TES-103, NDUFAF1, CES1, CYP27A1, FLJ33641, GPR177, MID1IP1(MIG-12), PSD4, SF3A1, NOV(CCN3), SGK(SGK1), CDK5R1, LOC642035의 발현 수준을 측정하는 단계를 포함할 수 있다. 다른 특정 측면에서, 당해 방법은 또한 건강한 개인의 혈액에서 과발현/과잉제시되고, 잠복성 TB 환자 및 활동성 TB 환자 둘다의 혈액에서 저발현/하향제시되는 유전자 ARSG, LOC284757, MDM4, CRNL1, IL8, LOC389541, CD300LB, NIN, PHKG2, HIP1의 발현 수준을 측정하는 단계를 포함할 수 있다. 하나의 특정 측면에서, 당해 방법은 또한 활동성 TB의 혈액에서 과발현/과잉제시되고, 잠복성 TB 환자 및 건강한 대조군 개인의 혈액에서 저발현/하향제시되는 유전자 PSMB8(LMP7), APOL6, GBP2, GBP5, GBP4, ATF3, GCH1, VAMP5, WARS, LIMK1, NPC2, IL-15, LMTK2, STX11(FHL4)의 발현 수준을 측정하는 단계를 포함할 수 있다. 하나의 특정 측면에서, 당해 방법은 또한 활동성 TB 환자로부터의 혈액에서 과발현/과잉제시되고, 잠복성 TB 환자 및 건강한 대조군 개인으로부터의 혈액에서 저발현/하향제시되는 유전자 FLJ11259(DRAM), JAK2, GSDMDC1(DF5L)(FKSG10), SIPAIL1, [2680400](KIAA1632), ACTA2(ACTSA), KCNMB1(SLO-BETA)의 발현 수준을 측정하는 단계를 포함할 수 있다. 하나의 특정 측면에서, 당해 방법은 또한 활동성 TB 환자의 혈액에서 저발현/하향제시되지만 잠복성 TB 환자 또는 건강한 대조군 개인의 혈액에서는 그렇지 않은 유전자 SPTANI, KIAAD179(Nnp1)(RRP1), FAM84B(NSE2), SELM, IL27RA, MRPS34, [6940246](IL23A), PRKCA(PKCA), CCDC41, CD52(CDW52), [3890241](ZN404), MCCC1(MCCA/B), SOX8, SYNJ2, FLJ21127, FHIT의 발현 수준을 측정하는 단계를 포함할 수 있다. 하나의 특정 측면에서, 당해 방법은 또한 건강한 대조군 개인의 혈액에서 저발현/하향제시되고, 잠복성 TB 환자의 혈액에서 과발현/과잉제시되며, 활동성 TB 환자의 혈액에서 과발현/과잉제시되는 유전자 CDKL1(p42), MICALCL, MBNL3, RHD, ST7(RAY1), PPR3R1, [360739](PIP5K2A), AMFR, FLJ22471, CRAT(CAT1), PLA2G4C, ACOT7(ACT)(ACH1), RNF182, KLRC3(NKG2E), HLA-DPB1의 발현 수준을 측정하는 단계를 포함할 수 있다.

[0013] 본 발명의 또 다른 양태는 결핵균에 감염된 것으로 의심되는 환자에서 활동성 결핵균 감염 및 잠복성 결핵균 감염을 구별하는 방법이며, 당해 방법은 전혈 시료로부터 유전자 발현 데이터세트를 수득하는 단계; 유전자 발현 데이터세트를 하나 이상의 전사 유전자 발현 모듈로 분류하는 단계; 및 활동성 결핵균 감염 및 잠복성 결핵균 감염을 구별하는 하나 이상의 전사 유전자 발현 모듈의 차등적 발현을 맵핑(mapping)함으로써 활동성 결핵균 감염 및 잠복성 결핵균 감염을 구별하는 단계를 포함한다. 하나의 측면에서, 데이터세트는 TRIM 유전자를 포함한다. 하나의 측면에서, 데이터세트는 TRIM 유전자를 포함하며, 특히, TRIM 5, 6, 19(PML), 21, 22, 25, 68은 활동성 폐 TB에서 과잉제시/발현된다. 하나의 측면에서, TRIM 유전자의 데이터세트는 TRIM 28, 32, 51, 52, 68

을 포함하며, 활동성 폐 TB에서 하향제시/발현된다.

[0014] 본 발명의 다른 양태는 결핵균에 감염된 것으로 의심되는 환자에서 활동성 결핵균 감염 환자 및 잠복성 결핵균 감염 환자를 진단하는 방법이며, 당해 방법은 전혈로부터 수득한 감염된 환자 및 감염되지 않은 환자를 구별하는 하나 이상의 전사 유전자 발현 모듈의 차등적 발현을 검출함으로써, 활동성 결핵균 감염 및 잠복성 결핵균 감염을 구별하는 것을 포함하며, 여기서, 전혈은 매치된 감염되지 않은 환자와 비교하여 하나 이상의 전사 유전자 발현 모듈에서의 폴리뉴클레오타이드 수준에 있어서 종체적인 변화를 나타낸다. 다른 측면에서, 당해 방법은 측정된 비교 유전자 생성물 정보를 사용하여 진단을 공식화하는 단계, 측정된 비교 유전자 생성물 정보를 사용하여 예후를 공식화하는 단계 및 측정된 비교 유전자 생성물 정보를 이용하여 치료 계획을 공식화하는 단계 중 하나 이상을 포함한다. 하나의 대안적 측면에서, 당해 방법은 활동성 TB 환자로부터 잠복성 TB 환자를 구별하는 단계를 포함할 수 있다. 하나의 측면에서, 모듈은 활동성 폐 감염을 검출하기 위한 모듈 M1.2, M1.3, M1.4, M1.5, M1.8, M2.1, M2.4, M2.8, M3.1, M3.2, M3.3, M3.4, M3.6, M3.7, M3.8 또는 M3.9 내의 유전자의 데이터세트를 포함할 수 있다. 다른 측면에서, 모듈은 잠복성 감염을 검출하기 위한 모듈 M1.5, M2.1, M2.6, M2.10, M3.2 또는 M3.3 내의 유전자의 데이터세트를 포함할 수 있다. 또 다른 측면에서, 다음 유전자들이 활동성 폐 감염에서 하향-조절된다: CD3, CTLA-4, CD28, ZAP-70, IL-7R, CD2, SLAM, CCR7 및 GATA-3. 하나의 특정 양태에서, 도 9에서의 모듈의 발현 프로파일은 활동성 폐 감염의 지표이며 도 10에서의 모듈의 발현 프로파일은 잠복성 감염의 지표이다. 모듈 M3.4, M3.6, M3.7, M3.8 및 M3.9에서 유전자의 과발현은 활동성 감염의 지표임이 밝혀졌다. 또한 모듈 M3.1에서 유전자의 과발현은 활동성 감염의 지표임이 밝혀졌다.

[0015] 본 발명의 또 다른 측면에서, 당해 방법은 또한 결핵균 이외의 감염에서 말초 혈액 단핵 세포 또는 전혈에 의해 과발현되는, 모듈 M2.2, M2.3 및 M3.5 내의 유전자 발현을 측정함으로써 다른 세균 감염으로부터 TB 감염을 구별하는 단계를 포함할 수 있다. 또는, 당해 방법은 활동성 폐 감염에 대한 모듈 M1.3, M1.4, M1.5, M1.8, M2.1, M2.4, M2.8, M3.1, M3.2, M3.3, M3.4, M3.6, M3.7, M3.8 또는 M3.9 및 잠복성 감염의 경우 다음 모듈: M1.5, M2.1, M2.6, M2.10, M3.2 또는 M3.3 중 2개 이상을 사용하여 잠복성 TB 환자 및 활동성 TB 환자의 혈액 속에서 차등적이고 상반되는 전사 시그너처를 구별하는 단계를 포함할 수 있다. 건강한 환자에 대해 활동성 폐 TB 감염에서 상향조절된 유전자의 예는 표 7A, 7D, 7I, 7J 및 7K로부터 선택된다. 건강한 환자에 대해 활동성 폐 TB 감염에서 하향조절된 유전자의 추가의 예는 표 7B, 7C, 7E, 7F, 7G, 7H, 7L, 7M, 7N, 7O 및 7P 중에서 선택된다. 하나의 특정 측면에서, 건강한 환자에 대해 잠복성 TB 감염에서 상향조절된 유전자는 표 8B로부터 선택될 수 있다. 다른 특정 측면에서, 건강한 환자에 대해 잠복성 TB 감염에서 하향조절된 유전자는 표 8A, 8C, 8D, 8E 및 8F 중에서 선택될 수 있다.

[0016] 본 발명의 다른 양태는 결핵균에 감염된 것으로 의심되는 활동성 결핵균 감염 환자 및 잠복성 결핵균 감염 환자를 진단하기 위한 키트이며, 당해 키트는 환자로부터 유전자 발현 데이터세트를 수득하기 위한 유전자 발현 검출기; 및 전혈로부터 수득한 감염된 환자 및 감염되지 않은 환자를 구별하는 미리 정의된 유전자 모듈 데이터세트에 대해 유전자 발현을 비교함으로써 활동성 결핵균 감염 및 잠복성 결핵균 감염을 구별할 수 있는 프로세서(여기서, 전혈은 매치된 감염되지 않은 환자와 비교한 것으로서 하나 이상의 전사 유전자 발현 모듈에서의 폴리뉴클레오타이드 수준에 있어서 종체적인 변화를 나타낸다)를 포함한다.

[0017] 또 다른 양태는 환자로부터의 유전자 발현 데이터세트; 및 전혈로부터 수득한 감염된 환자 및 감염되지 않은 환자를 구별하는 미리 정의된 유전자 모듈 데이터세트에 대해 유전자 발현을 비교함으로써 활동성 결핵균 감염 및 잠복성 결핵균 감염을 구별할 수 있는 프로세서(여기서, 전혈은 매치된 감염되지 않은 환자와 비교한 것으로서 하나 이상의 전사 유전자 발현 모듈에서의 폴리뉴클레오타이드 수준에 있어서 종체적인 변화를 나타낸다)를 포함하는, 활동성 결핵균 감염 환자 및 잠복성 결핵균 감염 환자를 진단하는 시스템을 포함하며, 여기서, 모듈은 활동성 폐 감염에 대한 M1.3, M1.4, M1.5, M1.8, M2.1, M2.4, M2.8, M3.1, M3.2, M3.3, M3.4, M3.6, M3.7, M3.8 또는 M3.9 및 잠복성 감염에 대한 모듈 M1.5, M2.1, M2.6, M2.10, M3.2 또는 M3.3 중에서 선택된다.

### 도면의 간단한 설명

[0018] 본 발명의 특징 및 장점의 보다 완전한 이해를 위하여, 첨부되는 도면과 함께 이제 본 발명의 상세한 기술을 참조하며, 여기서:

도 1은 42명의 참여자로부터의 유전자 어레이 발현 결과, 즉, 적어도 2개의 시료(PAL2)에 존재하는 유전자, 중간값과 비교하여 2배로 과잉제시되거나 하향제시되고, 활동성 PTB, 잠복성 TB, 건강한 BCG 백신접종하지 않은 대조군 및 건강한 BCG 백신접종한 대조군을 비교하는 피어슨 상관계수(Pearson Correlation)에 의해 군집화한

유전자를 나타낸다;

도 2는 2배로 상향 또는 하향 발현되고, 벤자미니-호크베르크 교정(Benjamini-Hochberg correction)(1473개 유전자)와 함께 비-지표검정(non-parametric test)[크루스칼-왈리스(Kruskal-Wallis)],  $P < 0.01$ 을 사용하여 임상 그룹 사이의 발현에 있어서 통계적으로 현저한 차이에 대해 필터링되며 활동성 PTB, 잠복성 TB 및 건강한 대조군을 비교하는 피어슨 상관계수를 사용하여 독립적으로 군집화한 PAL2로부터의 유전자 어레이 발현 결과를 나타낸다.

도 3A 내지 도 3D는 2배로 상향발현되거나 저발현되고, 벤자민-호크베르크 교정과 함께 비-지표검정(크루스칼-왈리스),  $P < 0.01$ 을 사용하여 임상 그룹 사이의 발현에 있어서 통계적으로 현저한 차이에 대해 필터링한 후, 유전자 주석에서 생물학적 과정 "면역 반응"에 대한 유전자 온톨로지(ontology) 용어의 존재에 대해 필터링하고 피어슨 상관계수(158개 유전자)를 사용하여 독립적으로 군집화한, PAL2로부터의 유전자 어레이 발현 결과를 나타낸다. 이들 158개 유전자들은 해독시 4개의 도(도 3A 내지 도 3D)로 분리되는 것으로 밝혀졌다.

도 3A는 활동성 PTB, 잠복성 TB, 건강한 BCG 백신접종되지 않은 대조군 및 건강한 BCG 백신접종된 대조군을 비교한 유전자 어레이 발현 결과를 나타내고;

도 3B는 활동성 PTB, 잠복성 TB, 건강한 BCG 백신접종되지 않은 대조군 및 건강한 BCG 백신접종된 대조군을 비교하는 유전자 어레이 발현 결과를 나타내며;

도 3C는 활동성 PTB, 잠복성 TB, 건강한 BCG 백신접종되지 않은 대조군 및 건강한 BCG 백신접종된 대조군을 비교하는 유전자 어레이 발현 결과를 나타내고;

도 3D는 활동성 PTB, 잠복성 TB, 건강한 BCG 백신접종되지 않은 대조군 및 건강한 BCG 백신접종된 대조군을 비교하는 유전자 어레이 발현 결과를 나타낸다.

도 4는 42명의 참여자로부터의 유전자 어레이 발현 결과, 즉, 적어도 2개의 시료(PAL2)에 존재하는 유전자, 중간값과 비교하여 2배로 과잉제시되거나 하향제시된 유전자, 활동성 PTB, 잠복성 TB, 건강한 BCG 백신접종하지 않은 대조군 및 건강한 BCG 백신접종한 대조군을 비교하는 피어슨 상관계수에 의해 군집화한 - TRIM으로서 선택된 유전자를 나타낸다.

도 5A는 42명의 참여자로부터의 유전자 어레이 발현 결과, 즉, 적어도 2개의 시료(PAL2)에 존재하는 유전자, 중간값과 비교하여 2배로 과잉제시되거나 하향제시된, 활동성 PTB, 잠복성 TB, 건강한 BCG 백신접종하지 않은 대조군 및 건강한 BCG 백신접종한 대조군을 비교하는 피어슨 상관계수에 의해 군집화한 유전자로부터의 세부사항을 나타내며, 이는 억제성 면역조절 리간드(PDL1/CD274, PDL2/CD273)가 활동성 TB 환자에서 과발현됨을 나타낸다.

도 5B는 PAL1이 활동성 TB 환자에서만 발현됨을 입증하는 필터링되지 않은 유전자 어레이 발현 결과를 나타낸다.

도 6은 적어도 2개의 시료에 존재하며, 중간값과 비교하여 2배로 상향 또는 하향 '제시'되고, 활동성 PTB, 잠복성 TB, 건강한 BCG 백신접종하지 않은 대조군 및 건강한 BCG 백신접종한 대조군을 비교하는, 피어슨 상관계수를 사용하여 독립적으로 군집화한 그룹( $P<0.1$ , 본페로니 교정을 사용하는 크루스칼-왈리스 비-지표검정)(46개 유전자)에 따라 통계적으로 현저하게 차등적으로 발현된 유전자에 대해 필터링된 유전자 어레이 발현 결과를 나타낸다.

도 7은 적어도 2개의 시료에 존재하며, 중간값과 비교하여 2배로 상향 또는 하향 '제시'되고, 활동성 PTB, 잠복성 TB, 건강한 BCG 백신접종하지 않은 대조군 및 건강한 BCG 백신접종한 대조군을 비교하는, 피어슨 상관계수를 사용하여 독립적으로 군집화한 그룹( $P<0.05$ , 본페로니 교정을 사용하는 크루스칼-왈리스 비-지표검정)(18개 유전자)에 따라 통계적으로 현저하게 차등적으로 발현된 유전자에 대해 필터링된 유전자 어레이 발현 결과를 나타낸다.

도 8A는 적어도 2개의 시료에 존재하며, 중간값과 비교하여 2배로 상향 또는 하향 '제시'된 필터링된 유전자의 목록에 적용된 상이한 통계적 필터링을 통합시킨 결과가 모든 3개의 임상 그룹을 구별함을 나타낸다. 나타낸 전사체는 잠복성 및 건강한 사람 사이에서 통계적으로 현저하게 차등적으로 발현되며( $P<0.005$ , 본페로니 교정을 사용하는 월콕슨-マン-휘트니 비-지표검정), 전사체는 활동성 및 건강한 사람 - 피어슨 상관계수를 사용하여 독립적으로 군집화한 총 119개 유전자(환자/임상 그룹의 군집은 수평으로 나타내고 유전자의 군집은 수직으로 나타낸다) 사이에서 통계적으로 현저하게 차등적으로 발현되었다( $P<0.5$ , 본페로니 교정을 사용하는 월콕슨-マン-휘트

니 비-지표검정); 이들 119개 유전자는 해독을 위해 5개의 추가의 도(8B 내지 8F)로 분리되며 이들 유전자의 아그룹이 또한 상이한 임상 그룹(즉, 활동성, 잠복성 및 건강한)을 구별하기 위해 사용될 수 있음을 나타내기 위해 나타낸다.

도 8B는 적어도 2개의 시료에 존재하며, 2배로 상향 또는 하향 '제시된' 유전자에 대해 필터링된 유전자 어레이 발현 결과를 나타내며, 전사체는 잠복성 및 건강한 사람 사이에서 통계적으로 현저하게 차등적으로 발현되었고(P<0.005, 교정을 수행하지 않은 월콕슨-만-휘트니 비-지표검정) 전사체는 활동성 및 건강한 사람 사이에서 통계적으로 현저하게 차등적으로 발현되었다(P<0.5, 본페로니 교정을 사용한 월콕슨-만-휘트니 비-지표검정)(환자/임상 그룹의 군집은 수평으로 나타내고 유전자의 군집은 수직으로 나타낸다).

도 8C는, 적어도 2개의 시료에 존재하며, 중간값과 비교하여 2배로 상향 또는 하향 '제시'된 유전자에 대해 필터링된 유전자 어레이 발현 결과를 나타내며, 전사체는 잠복성 및 건강한 사람 사이에서 통계적으로 현저하게 차등적으로 발현되었고(P<0.005, 교정을 수행하지 않는 월콕슨-만-휘트니 비-지표검정), 전사체는 활동성 및 건강한 사람 사이에서 통계적으로 현저하게 차등적으로 발현되었다(P<0.5, 본페로니 교정을 사용한 월콕슨-만-휘트니 비-지표검정).

도 8D는 적어도 2개의 시료에 존재하며, 중간값과 비교하여 2배로 상향 또는 하향 '제시'된 유전자에 대해 필터링된 유전자 어레이 발현 결과를 나타내며, 전사체는 잠복성 및 건강한 사람 사이에서 통계적으로 현저하게 차등적으로 발현되었고(P<0.005, 교정을 수행하지 않는 월콕슨-만-휘트니 비-지표검정) 전사체는 활동성 및 건강한 사람 사이에서 통계적으로 현저하게 차등적으로 발현되었다(P<0.5, 본페로니 교정을 사용한 월콕슨-만-휘트니 비-지표검정).

도 8E는 적어도 2개의 시료에 존재하며, 중간값과 비교하여 2배로 상향 또는 하향 '제시'된 유전자에 대해 필터링된 유전자 어레이 발현 결과를 나타내며, 전사체는 잠복성 및 건강한 사람 사이에서 통계적으로 현저하게 차등적으로 발현되었고(P<0.005, 교정을 수행하지 않는 월콕슨-만-휘트니 비-지표검정) 전사체는 활동성 및 건강한 사람 사이에서 통계적으로 현저하게 차등적으로 발현되었다(P<0.5, 본페로니 교정을 사용한 월콕슨-만-휘트니 비-지표검정)(환자/임상 그룹의 군집은 수평으로 나타내고 유전자의 군집은 수직으로 나타낸다).

도 8F는 적어도 2개의 시료에 존재하며, 중간값과 비교하여 2배로 상향 또는 하향 '제시'된 유전자에 대해 필터링된 유전자 어레이 발현 결과를 나타내며, 전사체는 잠복성 및 건강한 사람 사이에서 통계적으로 현저하게 차등적으로 발현되었고(P<0.005, 교정을 수행하지 않는 월콕슨-만-휘트니 비-지표검정) 전사체는 활동성 및 건강한 사람 사이에서 통계적으로 현저하게 차등적으로 발현되었다(P<0.5, 본페로니 교정을 사용한 월콕슨-만-휘트니 비-지표검정)(환자/임상 그룹의 군집은 수평으로 나타내고 유전자의 군집은 수직으로 나타낸다).

도 9는 PTB(9) 대 대조군(6)의 유전자 모듈 분석: 다중-시험 교정없이 월콕슨-만-휘트니-시험, p<0.05에 의해 활동성 PTB 및 건강한 대조군 사이에서 입체적으로 현저하게 차등적으로 발현된 PAL2에 대해 필터링된, 5182개 유전자로부터의 유전자 어레이 발현 결과를 나타낸다.

도 10은 LTB(9) 대 대조군(6)의 유전자 모듈 분석: 다중-시험 교정없이 월콕슨-만-휘트니-시험, p<0.05에 의해 활동성 PTB 및 건강한 대조군 사이에서 입체적으로 현저하게 차등적으로 발현된 PAL2에 대해 필터링된, 3137개 유전자로부터의 유전자 어레이 발현 결과를 나타낸다.

### 발명을 실시하기 위한 구체적인 내용

[0019]

본 발명의 각종 양태를 제조하고 사용하는 것을 하기 상세히 논의한다고 해도, 본 발명이 광범위한 특정 내용을 구현할 수 있는 많은 적용가능한 발명 개념을 제공한다는 것이 인지되어야 한다. 본원에 논의된 특정 양태는 단지 본 발명을 제조하고 사용하는 특정 방법의 나열이며 본 발명의 영역을 제한하지는 않는다.

[0020]

본 발명의 이해를 용이하게 하기 위해, 다수의 용어가 하기 정의된다. 본원에 정의된 용어들은 본 발명과 관련된 분야에서 통상의 기술을 가진 자가 일반적으로 이해하는 의미를 갖는다. 단수("a", "an" 및 "the")는 단지 단수 개념을 말하는 것이 아니라, 나열을 위해 사용될 수 있는 일반 부류의 특정 예를 포함한다. 본원의 기술은 본 발명의 특정 양태를 기술하기 위해 사용되나 이들의 용도가 특허청구범위에 요약된 것을 제외하고는, 본 발명을 규정하지는 않는다. 달리 정의하지 않는 한, 본원에 사용된 모든 기술 및 과학 용어들은 본 발명이 속한 분야에서 숙련가에 의해 일반적으로 이해되는 의미를 갖는다. 다음 참조문헌들은 숙련가에게 본 발명에서 사용된 많은 용어들의 일반적인 정의를 제공한다: Singleton et al., Dictionary of Microbiology and Molecular Biology (2d ed. 1994); The Cambridge Dictionary of Science and Technology (Walker ed.,

1988); The Glossary of Genetics, 5TH ED., R. Rieger et al. (eds.), Springer Verlag (1991); 및 Hale & Marham, The Harper Collins Dictionary of Biology (1991).

[0021] 각종의 생화학 및 분자생물학 방법들이 당해 분야에 익히 공지되어 있다. 예를 들면, 핵산을 분리하고 정제하는 방법은 제WO 97/10365호; 제WO 97/27317호; Laboratory Techniques in Biochemistry and Molecular Biology의 3장: Hybridization with Nucleic Acid Probes, Part I. Theory and Nucleic Acid Preparation, (P. Tijssen, ed.) Elsevier, N.Y. (1993); Sambrook, et al., Molecular Cloning: A Laboratory Manual, Cold Spring Harbor Press, N.Y., (1989); 및 Current Protocols in Molecular Biology, (Ausubel, F. M. et al., eds.) John Wiley & Sons, Inc., New York (1987-1999)(보충물 포함)에 상세히 기술되어 있다.

## [0022] 생물정보학 정의

[0023] 본원에 사용된 것으로서, "대상체"는 특정 항목 또는 목적한 정보(일반적으로, 명사, 동사, 형용사, 부사, 절, 문장, 기호, 수치 등을 포함하는 본문)를 말한다. 따라서, 대상체는 공급원으로부터 수득되고, 정의되고/되거나 조사될 수 있는 관계 및 임의의 것을 형성할 수 있는 것이다. "대상체"는 유전자, 단백질, 질병, 표현형, 대사과정, 약물 등과 같은 목적한 실체를 포함하나, 이에 한정되지 않는다. 일부 측면에서, 대상체는 하기 추가로 기술한 바와 같은, 데이터일 수 있다.

[0024] 본원에 사용된 것으로서, "관계"는 동일한 단위(예를 들면, 절, 문장, 내용의 2개 이상의 행, 단락, 웹페이지, 면, 잡지, 신문, 책 등의 단락)내 대상체의 공동-발생을 말한다. 이는 내용, 기호, 수 및 이들의 조합일 수 있다.

[0025] 본원에 사용된 것으로서, "메타 데이터 내용"은 데이터 공급원에서 내용의 구조화에 대한 정보를 말한다. 메타데이터는 두블린 코어 메타데이터(Dublin Core metadata)와 같은 표준 메타데이터를 포함할 수 있거나 수집-특이적일 수 있다. 메타데이터 포맷의 예는 라이브러리 목록에 사용된 Machine Readable Catalog(MARC) 기록, Resource Description Format(RDF) 및 Extensible Markup Language(XML)를 포함하나, 이에 한정되지 않는다. 메타 대상체는 일반적으로 수동으로 또는 자동화된 정보 추출 알고리즘을 통해 생성될 수 있다.

[0026] 본원에 사용된 것으로서, "엔진"은 기타 프로그램에 대해 중심 또는 필수적인 작용을 수행하는 프로그램을 말한다. 예를 들어, 엔진은 다른 프로그램과 전체적인 작동과 조화를 이루는 작동 시스템 또는 적용 프로그램에서 중심 프로그램일 수 있다. 용어 "엔진"은 또한 변화될 수 있는 알고리즘을 함유하는 프로그램을 말할 수 있다. 예를 들면, 지식 발견 엔진을 설계함으로써 관계를 확인하기 위한 이의 시도를 변화시켜 관계를 확인하고 순위를 매기는 새로운 규칙을 반영할 수 있다.

[0027] 본원에 사용된 것으로서, "의미 분석(semantic analysis)"은 예를 들면 접미사 제거 또는 스테밍(stemming)을 통해 또는 시소러스(thesaurus)를 사용함으로써 유사한 개념을 나타내는 단어 사이의 관계를 정의함을 말한다. "통계적 분석"은 각각의 용어(단어, 단어 근원, 단어 줄기, n-그램, 절 등)의 출현 수의 계수를 기초로 하는 기술을 말한다. 대상체에 제한되지 않는 수집에서, 상이한 문맥에서 사용된 동일한 어절이 상이한 개념을 나타낼 수 있다. 어절 공통-발생의 통계적 분석은 단어 의미 애매성을 해결하는데 도움을 줄 수 있다. "구문 분석"은 부분-연설 분석(part-of-speech analysis)에 의해 애매성을 추가로 감소시키기 위해 사용될 수 있다. 본원에 사용된 것으로서, 이러한 분석 중 하나 이상은 보다 일반적으로 "어휘 분석"으로 언급된다. "인공지능(AI)"은, 컴퓨터와 같은 비-사람 장치가 사람이 주목하거나 "지적인" 것으로 여기는 일을 수행하는 방법을 말한다. 예는 그림을 확인하고, 한 말 또는 써여진 책을 이해하고 문제를 해결하는 것을 포함한다.

[0028] "데이터", "데이터세트" 및 "정보"와 같은 용어는 "정보" 및 "지식"에서와 같이 상호교환적으로 사용된다. 본원에 사용된 것으로서, "데이터"는 실험적 계량 또는 계량의 세트인 가장 근복적인 단위이다. 데이터는 편집되어 정보에 기여하지만, 근복적으로는 이와는 독립적이며 데이터세트, 즉 데이터의 세트로 합해질 수 있다. 대조적으로, 정보는 목적으로부터 기원하는데, 예를 들어, 데이터(단위)는 심혈관병의 위험과 관련된 변수를 발견하기 위한 목적의 경우 민족성, 성, 신장, 체중 및 식이로 축적될 수 있다. 그러나, 동일한 데이터를 사용하여 공식화하거나 식이 선호도, 즉, 슈퍼마켓에서 특정 제품이 보다 높은 판매 가능성을 가지는 경향에 대한 "정보"를 창조할 수 있다.

[0029] 본원에 사용된 것으로서, 용어 "데이터베이스"는, 심지어 각종 정보의 한 면이 데이터 장내에서 발견될 수 있는 경우에서도, 드물거나 편집된 데이터를 위한 래퍼토리를 말한다. 데이터베이스는 하나 이상의 데이터세트를 포함할 수 있다. 데이터베이스는 통상적으로 조직화함으로써 이의 내용이 수용되고, 조작되어 업데이트된다(예를 들어, 데이터베이스는 역동적이다). 용어 "데이터베이스" 및 "공급원"은 또한 본 발명에서 상호교환적으로 사

용되는데, 이는 데이터 및 정보의 주요 공급원이 데이터베이스이기 때문이다. 그러나, "공급원 데이터베이스" 또는 "공급원 데이터"는 일반적으로 데이터, 예를 들면, 대상체를 확인하고 관계를 측정하기 위해 시스템내로 도입되는 구조화되지 않은 본문 및/또는 구조화된 데이터를 말한다. 공급원 데이터베이스는 관계 데이터베이스 이거나 아닐 수 있다. 그러나, 시스템 데이터베이스는 일반적으로 관계 데이터베이스 또는 대상체들간의 관계와 관련된 값을 저장하는 일부 동등한 유형의 데이터베이스를 포함한다.

[0030] 본원에 사용된 것으로서, "시스템 데이터베이스" 및 "관계 데이터베이스"는 상호교환적으로 사용되며 미리 정의된 카테고리로 고정된 데이터를 함유하는 표의 세트로서 구조화된 데이터의 하나 이상의 수집물을 말한다. 예를 들어, 데이터베이스 표는 컬럼에 의해 정의된 하나 이상의 카테고리(예를 들면, 속성)을 포함할 수 있으나, 데이터베이스의 열은 컬럼에 의해 정의된 카테고리에 대한 유일한 대상을 함유할 수 있다. 따라서, 유전자의 실체와 같은 대상은 이의 존재, 부재 및/또는 유전자 발현 수준에 대한 컬럼을 가질 수 있다. 관계 데이터베이스의 열은 또한 "세트"로 언급될 수 있으며 일반적으로 이의 컬럼의 값으로 정의된다. 관계 데이터베이스의 내용에서 "도메인"은 포함될 수 있는 컬럼과 같은 필드(field)가 포함될 수 있는 유효 값의 범위이다.

[0031] 본원에 사용된 것으로서, "지식 도메인"은 시스템이 작동하는 연구의 영역, 예를 들면, 모든 생물의학 데이터를 말한다. 몇개의 도메인, 예를 들면, 생물의학 데이터 및 가공 데이터로부터의 데이터를 결합시키는 것이 유리한 것으로 지적될 수 있으며, 이를 위해 다양한 데이터가 때때로 하나의 영역 또는 조사/연구(하나의 도메인)에 단지 친숙한 정상인에 대해 함께 취해질 수 없는 것들과 연결될 수 있다. "분산형 데이터베이스"는 네트워크에서 상이한 지점 사이에 분산되거나 복제될 수 있는 데이터베이스를 말한다.

[0032] 본원에 사용된 것으로서 "정보"는 숫자, 문자, 숫자 세트, 문자 세트 또는 데이터의 세트로부터 귀결되거나 유도된 결론을 포함할 수 있는 데이터 세트를 말한다. 이후, "데이터"는 정보의 척도 또는 통계 및 기본 단위가 된다. "정보"는 또한 구조화되지 않는 자유 내용, 코드 등과 같은 단어, 기호, 내용과 같은 데이터의 다른 유형을 포함할 수 있다. "지식"은 원인 및 영향을 모델화하기 위해 시스템의 충분한 이해를 제공하는 정보의 세트로서 느슨하게 정의된다. 앞서의 예를 확장하기 위해, 인구통계, 성 및 앞서의 구매자에 대한 정보를 사용하여 식품 판매를 위한 지역적 마케팅 방법을 개발할 수 있는 반면 국적에 있어서의 정보는 구매자에 의해 제품의 중요성에 대한 안내서로 사용될 수 있다. 데이터, 정보 및 지식간에 엄격한 경계가 존재하지 않으며; 3개의 용어들은 항상 동등한 것으로 고려된다는 것에 주목하는 것이 중요하다. 일반적으로, 데이터는 실험으로부터 오며, 정보는 관련성으로부터 오고, 지식을 모델화로부터 온다.

[0033] 본원에 사용된 것으로서, "프로그램" 또는 "컴퓨터 프로그램"은 일반적으로 특정 프로그래밍 언어의 규칙을 확인하고 특정의 기능, 임무 또는 문제를 해결하거나 실행하는데 요구되는 "코드 단편(code segment)"으로 나누어 질 수 있는 선언 및 진술 또는 지침으로 구성된 구문론적 단위를 말한다. 프로그래밍 언어는 일반적으로 프로그램을 표현하기 위한 인공 언어이다.

[0034] 본원에 사용된 것으로서, "시스템" 또는 "컴퓨터 시스템"은 일반적으로 하나 이상의 컴퓨터, 말단 장치 및 데이터 처리를 수행하는 소프트웨어를 말한다. 일반적으로 "사용자" 또는 "시스템 오퍼레이터"는 데이터 처리 및 정보 교환의 목적을 위해 "사용자 장치"(예를 들면, 컴퓨터, 무선 장치 등)를 통해 접속된 컴퓨터 네트워크를 사용하는 개인을 포함한다. "컴퓨터"는 일반적으로 사람 개입없이 다수의 산술 연산 및 논리 연산을 포함한, 실제적인 수리과학을 수행할 수 있는 기능 단위이다.

[0035] 본원에 사용된 것으로서, "어플리케이션 소프트웨어" 또는 "어플리케이션 프로그램"은 일반적으로 어플리케이션 프로그램의 해결에 특이적인 소프트웨어 또는 프로그램을 말한다. "어플리케이션 문제"는 일반적으로 최종 사용자에 의해 제출되며 이의 해결을 위해 정보 처리를 필요로 하는 문제이다.

[0036] 본원에 사용된 것으로서, "자연 언어"는 이의 규칙이 특정하게 기술되지 않는 현재의 언어, 예를 들면, 영어, 스페인어 또는 중국어를 기초로 하는 언어를 말한다. 본원에 사용된 것으로서, "인공 언어"는, 이의 규칙이 이의 사용 전에 명백히 확립된 언어, 예를 들면, C, C<sup>++</sup>, 자바(Java), 베이직(BASIC), 포트란(FORTRAN) 또는 코볼(COBOL)과 같은 컴퓨터-프로그래밍 언어를 말한다.

[0037] 본원에 사용된 것으로서, "통계적 관련성"은 순위매김 규모(O/E 비, 강도 등) 중 하나 이상을 사용하는 것을 말하며, 여기서, 관계는, 이것이 무작위적 기회에 의해 예측되는 것보다 현저히 보다 흔하게 발생하는 경우 통계적으로 관련성이 있는 것으로 결정된다.

[0038] 본원에 사용된 것으로서, 용어 "동등하게 조절된 유전자" 또는 "전사 모듈"은 특정 유전자의 그룹화된, 유전자 발현 프로파일(예를 들면, 특정 유전자 서열과 관련된 시그널 값)을 언급하기 위해 상호교환적으로 사용된다.

각각의 전사 모듈은 데이터, 문헌 조사 부분 및 유전자 마이크로어레이로부터 수득한 실제 경험적인 유전자 발현 값 데이터의 2개의 주요 조각과 연관된다. 전사 모듈로 선택되는 유전자의 세트는 유전자 발현 데이터의 분석(위에서 기술한 모듈 추출 알고리즘)에 기초한다. 추가의 단계는 관련 부분이 본원에 참조 및 관심있는 질병 또는 상태, 예를 들면, 전신 홍반 루푸스, 관절염, 림프종, 암종, 흑색종, 급성 감염, 자가면역 질환, 자가염증성 장애 등으로부터 수득한 발현 데이터에 의해 인용된, 쳐우싸벨, 디.(Chaussabel, D.) 및 셔, 에이(Sher, A.)의 문헌[참조: Mining microarray expression data by literature profiling. Genome Biol 3, RESEARCH0055 (2002), (<http://genomebiology.com/2002/3/10/research/0055>)] 관련 부분에 교시되어 있다.

[0039]

하기 표는 전사 모듈에 대한 문헌 조사 부분 또는 기여를 개발하는데 사용된 주요단어의 예를 나열한다. 숙련가들은, 다른 용어들도 다른 상태, 예를 들면, 특정 암, 특정 감염병, 이식 등을 위해 용이하게 선택될 수 있음을 인지할 것이다. 예를 들어, T 세포 활성화와 관련된 유전자들에 대한 유전자 및 시그널은 하기 본원에 모듈 번호 "M 2.8"로 기술되어 있으며, 여기서, 특정 주요단어(예를 들어, 림프종, T-세포, CD4, CD8, TCR, 흥선, 림프구, IL2)는 주요 T-세포 관련 유전자, 예를 들면, T-세포 표면 마커(CD5, CD6, CD7, CD26, CD28, CD96); 림프구 계통 세포에 의해 발현된 문자(림프독소 베타, IL2-유도성 T-세포 키나제, TCF7; 및 T-세포 분화 단백질 mal, GATA3, STAT5B)를 확인하는데 사용되었다. 다음, 완전한 모듈이 전사 모듈을 생성하기 위해 이들 유전자에 대한 환자 집단으로부터의 데이터를 연관시킴으로써 플랫폼, 존재/부재 및/또는 상향 또는 하향조절에 상관없이 개발된다. 일부 경우에, 유전자 프로파일은 이때에 이들 질병 상태 및 데이터에 대한 유전자의 어떠한 특정 군집화(clustering)과 매치하지 않지만, 특정의 생리학적 경로(예를 들면, cAMP 시그날링, 아연-핑거 단백질(zinc-finger protein), 세포 표면 마커 등)이 "미결정(Underdetermined)" 모듈내에서 발견된다. 실제로, 유전자 발현 데이터 세트를 사용하여 주요단어 조사와 매치시키기 전에 동등한 표현을 갖는 유전자를 추출할 수 있는데, 즉, 어떠한 데이터 세트도 제2 데이터 세트과 교차-참조하기 전에 연관시킬 수 있다.

## 표 1

전사 모듈

실시예 모듈 확인번호	실시예 주요단어 선택	유전자 프로파일 평가
M 1.1	Ig, 면역글로불린, 골, 골수, PreB, IgM, Mu.	형질 세포: 면역글로불린 쇄 (예를 들면, IGHM, IGJ, IGLL1, IGKC, IGHD) 및 형질 세포 마커 CD38를 암호화하는 유전자 포함.
M 1.2	혈소판, 부착, 응집, 내피, 혈관	혈소판: 혈소판 당단백질 (ITGA2B, ITGB3, GP6, GP1A/B), 및 PPPB (전-혈소판 염기성 단백질) 및 PF4 (혈소판 인자 4)와 같은 혈소판-기원한 면역 매개인자를 암호화하는 유전자 포함.
M 1.3	면역수용체, BCR, B-세포, IgG	B-세포: B-세포 표면 마커 (CD72, CD79A/B, CD19, CD22) 및 기타 B-세포 관련 분자: 초기 B-세포 인자 (EBF), B-세포 링커 (BLNK) 및 B 립프구 타이로신 키나제 (BLK)를 암호화하는 유전자 포함.
M 1.4	복제, 억제, 복구, CREB, 림프구, TNF-알파	즉정되지 않음. 당해 세트는 cAMP 시그널링 경로의 조절인자 및 표적 (JUND, ATF4, CREM, PDE4, NR4A2, VIL2), 및 TNF-알파 매개된 NF-KB 활성화의 억제제 (CYLD, ASK, TNFAIP3)를 포함한다.
M 1.5	단핵 세포, 수지상 세포, MHC, 공동자극, TLR4, MYD88	골수 계통: 골수 계열의 세포에 의해 발현된 분자 (CD86, CD163, FCGR2A)를 포함하며, 이를 중 일부 (CD14, TLR2, MYD88)는 경로 인지에 관여한다. 당해 세트는 또한 TNF 계열 구성원 (TNFR2, BAFF)을 포함한다.
M 1.6	아연, 핑거(Finger), P53, RAS	즉정되지 않음. 당해 세트는 시그널링 분자, 예를 들면, 활성화된 STAT (PIAS1 및 PIAS2)의 억제제를 함유하는 아연 핑거, 또는 활성화된 T-세포 NFATC3의 핵 인자를 암호화하는 유전자를 포함한다.
M 1.7	리보솜, 해독, 40S, 60S, HLA	MHC/리보솜 단백질: MHC 제I 부류 분자 (HLA-A,B,C,G,E)+ 베타 2-마이크로글로불린 (B2M) 또는 리보솜 단백질 (RPL, RPS)을 암호화하는 유전자에 의해 거의 전적으로 형성된다.
M 1.8	대사, 생합성, 복제, 헬리카제(Helicase)	즉정되지 않음. 대사 효소 (GLS, NSF1, NAT1) 및 DNA 복제에 관여하는 인자 (PURA, TERF2, EIF2S1)를 암호화하는 유전자를 포함한다.
M 2.1	NK, 킬러, 세포분해, CD8, 세포-매개된, T-세포, CTL, IFN-g	세포독성 세포: 세포독성 T-세포 및 NK-세포 표면 마커 (CD8A, CD2, CD160, NKG7, KLR), 세포분해 분자 (그랜자임, 퍼포린, 그레뉼라이신), 케모킨 (CCL5, XCL1) 및 CTL/NK-세포 관련 분자 (CTSW)를 포함한다.
M 2.2	과립구, 호중구, 방어, 골수 (Myeloid), 골수(marrow)	호중구: 당해 세트는 호중구 과립에서 발견되는 본래의 분자 (락토트랜스페린: LTF, 테펜신: DEAF1, 세균 침투성 증가 단백질: BPI, 카렐리시딘 항미생물성 단백질: CAMP)을 포함한다.
M 2.3	적혈구, 적색, 빈혈, 글로빈, 헤모글로빈	적혈구: 헤모글로빈 유전자 (HGB) 및 기타 적혈구-관련 유전자 (적혈구 성 알카리신: ANK1, 글리코포린 C: GYPC, 하이드록시메틸빌란 신타제: HMBS, 적혈구 관련 인자: ERAF).
M 2.4	리보뉴클레오단백질, 60S, 핵, 조립, 연장	리보솜 단백질: 리보솜 단백질 (RPL, RPS), 진핵 해독 연장 계열 구성원 (EEF) 및 핵 단백질 (NPM1, NOAL2, NAP1L1)을 포함한다.
M 2.5	선종, 사이질, 간염, 수지상 세포, 운동	즉정되지 않음. 당해 모듈은 면역-관련된 분자 (CD40, CD80, CXCL12, IFNA5, IL4R) 및 세포골격-관련된 분자 (마이오신, 사이토케네시스 (Cytokinesis)의 지시인자, 신세관 2, 플렉신 C1, 디스트로브레빈).
M 2.6	과립구, 단핵 세포, 골수, ERK, 괴사	골수 계통: M 1.5와 관련됨. 단핵 세포 및 호중구와 같은 골수 세포 (IGTB2/CD18, 림프독소 베타 수용체, 골수 관련 단백질 8/14 포르밀 패타이드 수용체 1) 내에서 발현된 유전자를

[0040]

실시예 모듈 확인번호	실시예 주요단어 선택	유전자 프로파일 평가
M 2.7	추출된 주요단어 없음.	포함한다. 측정되지 않음. 당해 모듈은, 작용이 알려지지 않은 전사체로 대부분 구성되어 있다. 케모킨-유사 인자 상파(CKLFSF8)의 구성원을 포함하는, 문현과 관련된 단지 20개의 유전자.
M 2.8	림프종, T-세포, CD4, CD8, TCR, 흥선, 림프구, IL2	T-세포, T-세포 표면 마커 (CD5, CD6, CD7, CD26, CD28, CD96) 및 림프구 계통 세포에 의해 발현된 분자(림프독소 베타, IL2-유도성 T-세포 카나제, TCF7, T-세포 분화 단백질 mal, GATA3, STAT5B)를 포함한다.
M 2.9	ERK, 트랜스활성화, 세포골격, MAPK, JNK	측정되지 않음. 세포골격과 관련된 분자(액틴 관련된 단백질 2/3, MAPK1, MAP3K1, RAB5A)를 암호화하는 유전자를 포함한다. 또한, T-세포 발현 유전자 (FAS, ITGA4/CD49D, ZNF1A1)도 또한 표시된다.
M 2.10	골수, 대식 세포, 수지상 세포, 염증성, 인터루킨	측정되지 않음. 면역-관련 세포 표면 분자(CD36, CD86, LILRB), 사이토킨 (IL15) 및 시그널링 경로에 포함된 분자 (FYB, TICAM2-콜-유사 수용체 경로)를 암호화하는 유전자를 포함한다.
M 2.11	복제, 억제하다, RAS, 자가포스포릴화, 종양원성	측정되지 않음. 카나제 (UHMK1, CSNK1G1, CDK6, WNK1, TAOK1, CALM2, PRKCI, ITPKB, SRPK2, STK17B, DYRK2, PIK3R1, STK4, CLK4, PKN2) 및 RAS 계열 구성원 (G3BP, RAB14, RASA2, RAP2A, KRAS)을 포함한다.
M 3.1	ISRE, 인플루엔자, 항바이러스, IFN-감마, IFN-알파, 인터페론	인터페론-유도성: 당해 세트는 인터페론-유도성 유전자: 항바이러스 분자(OAS1/2/3/L, GBP1, GIP2, EIF2AK2/PKR, MX1, PML), 케모킨 (CXCL10/IP-10), 시그널링 분자(STAT1, STAT2, IRF7, ISGF3G)를 포함한다.
M 3.2	TGF-베타, TNF, 염증성, 아폽토시스성, 저질다당질	염증 I: 염증 과정에 관여하는 분자 (예를 들면, IL8, ICAM1, C5R1, CD44, PLAUR, IL1A, CXCL16), 및 아폽토시스의 조절인자 (MCL1, FOXO3A, RARA, BCL3/6/2A1, GADD45B)를 암호화하는 유전자를 포함한다.
M 3.3	과립구, 염증성, 방어, 산화하다, 라이소좀성	염증 II: 과립구-대식 세포 CSF (SPIO1, IL18, ALOX5, ANPEP), 및 라이소좀 효소 (PPT1, CTSB/S, CES1, NEU1, ASAHI, LAMP2, CAST)에 의해 유도되거나 유도 가능한 분자를 포함한다.
M 3.4	추출된 주요단어 없음	측정되지 않음. 단백질 포스페이트 (PPP1R12A, PTPRC, PPP1CB, PPM1B) 및 포스포이노시티드 3-카나제 (PI3K) 계열 구성원 (PIK3CA, PIK32A, PIP5K3)을 포함한다.
M 3.5	추출된 주요 단어 없음	측정되지 않음. 단지 소수의 전사체로 구성됨. 헤모글로빈 유전자 (HBA1, HBA2, HBB)를 포함한다.
M 3.6	보체, 숙주, 산화성, 세포골격, T-세포	측정되지 않음. T-세포 표면 마커 (CD101, CD102, CD103) 및 혈액 적혈구 중에서 편재적으로 발현된 분자 (CXRCR1: 프라크탈린 수용체, CD47, P-셀렉틴 리간드)를 포함하는 거대 세트.
M 3.7	스플라이스오출, 메틸화, 유비퀴틴, 베타-카테닌	측정되지 않음. 프로테아좀 애단위 (PSMA2/5, PSMB5/8); 유비퀴틴 단백질 리가제 H2P2, STUB1, 및 유비퀴틴 리가제 복합체의 성분 (SUGT1)을 암호화하는 유전자를 포함한다.
M 3.8	CDC, TCR, CREB, 글리코실라제	측정되지 않음. 몇 가지 효소: 아미노메틸트랜스퍼라제, 아르기닐트랜스퍼라제, 아스파라긴 신테타제, 메아실글리세롤 카나제, 이노시톨 포스파타제, 메틸트랜스퍼라제, 헬리카제 등을 암호화하는 유전자를 포함한다.
M 3.9	크로마틴, 체크포인트, 복제, 트랜스활성화	측정되지 않음. 단백질 카나제 (PRKPIR, PRKDC, PRKCI) 및 포스파타제 (예를 들면, PTPLB, PPP1R8/2CB)를 암호화하는 유전자를 포함한다. 또한 RAS 종양유전자 계열 구성원 및 NK 세포 수용체 2B4 (CD244)를 포함한다.

[0041]

[0042] 생물학적 정의

[0043]

본원에 사용된 것으로서, 용어 "어레이"는 지지체에 부착된 하나 이상의 웨타이드 또는 핵산 프로브를 갖는 고체 지지체 또는 기질을 말한다. 어레이는 통상적으로 상이하고 공지된 위치내 기질 표면에 커플링된 하나 이상의 상이한 핵산 또는 웨타이드 프로브를 갖는다. 이를 어레이는 또한 공지된 계놈, 예를 들면, 사람 계놈을 기초로 하여, 10,000; 20,000, 30,000; 또는 40,000개의 상이한 확인 가능한 유전자를 가질 수 있는 "マイクロアレイ" 또는 "유전자-침"으로서 기술된다. 이를 팬-어레이(pan-array)를 사용하여 시료에서 발현되거나 발견된 유전자, 예를 들면, DNA 레플리콘의 상보성 세트를 제조하기 위해 RT 및/또는 RT-PCR에 적용될 수 있는 RNA, mRNA 등과 같이 발현된 핵산의 전체 "트랜스크립트ome(transcriptome)" 또는 전사 혼주물을 검출할 수 있다. 어레이는 비-석판 방법 및/또는 사진석판 방법 및 고체상 합성 방법의 조합을 도입한 기계적 합성 방법, 광 지시된 합성 방법 등을 사용하여 생산할 수 있다.

[0044]

이들 핵산 어레이를 합성하기 위한 각종 기술이 기술되어 왔으며, 예를 들면 실제로 특정 형태의 표면 또는 심지어 다수의 표면에 조립되어 왔다. 어레이는 비드, 겔, 중합체 표면, 광섬유, 유리와 같은 섬유 또는 특정의 기타 적절한 기질상의 웨타이드 또는 핵산일 수 있다. 어레이는 모든 포함되는 장치의 진단 또는 기타 조작을

허용하는 방식으로 포장될 수 있다(참조: 예를 들면, 관련 부분이 본원에 참조로 인용된 미국 특허 제6,955,788호).

[0045] 본원에 사용된 것으로서, 용어 "질병"은 세포의 어떠한 비정상적인 생물학적 상태를 가진 유기체의 생리학적 상태를 말한다. 질병은 본래의, 유전된, 감염에 의해 유발될 수 있는, 비정상적인 세포 작용, 비정상적인 세포 분열 등에 의해 유발될 수 있는 세포, 조직, 신체 작용, 시스템 또는 기관의 방해, 정지 또는 장애를 포함하나, 이에 한정되지 않는다. "질병 상태"를 초래하는 질병은 일반적으로 생물학적 시스템, 즉, 질병을 가진 숙주에 유해하다. 본 발명과 관련하여, 질병 또는 질환과 관련된 감염(예를 들면, 바이러스, 세균, 진균, 기생충 등)과 같은 특정 생물학적 상태, 염증, 자가염증, 자가면역, 과민증, 알레르기, 임신전, 임신, 외과수술, 이식, 생리학 상태 등을 질병 상태인 것으로 고려된다. 병리학적 상태는 일반적으로 질병 상태와 동일하다.

[0046] 질병 상태는 또한 상이한 수준의 질병 상태로 분류할 수 있다. 본원에 사용된 것으로서, 질병 또는 질병 상태의 수준은 질병 또는 질병 상태의 진행 및 치료시, 치료 동안 및 치료 후 생리학적 반응의 진행을 반영하는 임의의 척도이다. 일반적으로, 질병 또는 질병 상태는 수준 또는 단계를 통해 진행할 것이며, 여기서, 질병의 영향은 심각하게 증가된다. 질병 상태의 수준은 시료에서 세포의 생리학적 상태에 의해 영향받을 수 있다.

[0047] 본원에 사용된 것으로서, 용어 "치료요법" 또는 "치료학적 섭생"은 질병 상태를 완화시키거나 변경시키기 위해 취해진 의학적 단계, 예를 들면, 약리학적, 외과적, 식이적 및/또는 기타 기술을 사용하여 질병의 영향 또는 증상을 감소시키거나 제거하도록 의도된 치료의 과정을 말한다. 치료학적 섭생은 하나 이상의 약물 또는 수술의 기술된 용량을 포함할 수 있다. 치료요법은 대부분 흔히 유리할 것이며 질병 상태를 감소시킬 것이지만 많은 예에서, 치료요법의 효과는 바람직하지 않거나 부작용이 있을 것이다. 치료요법의 효과는 또한 숙주의 생리학적 상태, 예를 들면, 연령, 성, 유전, 체중, 기타 질병 상태 등에 의해 영향받을 것이다.

[0048] 본원에 사용된 것으로서, 용어 "약리학적 상태" 또는 "약리학적 지위"는 시료속의 하나 이상의 핵산의 약리학적 상태에 영향을 미칠 수 있는 하나 이상의 약물, 수술 중에 있고/있거나 치료될, 예를 들면, 약리학적 중재의 결과로서 새로이 전사되고, 안정화되고/되거나 탈안정화된 시료를 말한다. 시료의 약리학적 상태는 약물 치료 전, 치료 동안 및/또는 치료 후 생물학적 지위에 있어서의 변화에 관한 것이며, 본원에 교시한 바와 같이, 진단 또는 예후 기능을 제공할 수 있다. 약물 치료 또는 수술에 이은 일부 변화는 질병 상태와 관련될 수 있고/있거나 치료요법의 부작용과 관련되지 않을 수 있다. 약리학적 상태에 있어서의 변화는 치료요법의 경과, 기술된 약물의 유형 및 투여량, 제공된 치료요법 과정과의 응락 정도, 및/또는 섭취한 기술되지 않은 약물의 결과일 수 있다.

[0049] 본원에 사용된 것으로서, 용어 "생물학적 상태"는 발현시 변화의 분석을 위해 분리되고 정제된 세포 시료의 트랜스크립트(transcriptome)(즉, RNA 전사체의 전체 수집)을 말한다. 생물학적 상태는 전사체의 검출 방법의 조합 또는 형태학적 표현형에 따라 특징화하는, 세포 구성물의 풍부성 및/또는 활성을 측정함으로써 시료내 세포의 생리학적 상태를 반영한다.

[0050] 본원에 사용된 것으로서, 용어 "발현 프로파일"은 RNA, DNA 또는 단백질 풍부성 또는 활동성 수준의 상대적인 풍부성을 말한다. 발현 프로파일은 예를 들면, 다수의 방법 및 다수의 유전자-칩, 유전자 어레이, 비드, 다발성(multiplex) PCR, 정량적 PCR, 런-온 검정(run-on assay), 노던 블롯 분석(Northern blot analysis), 웨스턴 블롯 분석(Western blot analysis), 단백질 발현, 형광성 활성화된 세포 분류(FACS), 효소 결합된 면역흡착 검정(ELISA), 화학발광 연구, 효소 검정, 중식 연구 또는 상업적으로 용이하게 이용가능한 유전자 발현의 측정 및/또는 분석용의 기타 다른 방법, 장치 및 시스템을 사용함에 의한 해독 상태 또는 전사 상태의 척도일 수 있다.

[0051] 본원에 사용된 것으로서, 용어 시료의 "전사 상태"는 시료에 존재하는 RNA 종, 특히 mRNA의 실체 및 상대적인 풍부성을 포함한다. RNA의 실체 및 풍부성의 조합인, 시료의 전체 전사 상태는 또한 본원에서 트랜스크립트으로 언급된다. 일반적으로, 시료에서 RNA 종의 전체 세트의 모든 상대적인 구성체의 실질적인 분획을 측정한다.

[0052] 본원에 사용된 것으로서, 용어 "모듈러 전사 벡터"는 "차등적으로 발현된 유전자의 비율"을 반영하는 전사 발현 데이터를 말한다. 예를 들면, 각각의 모듈에서, 전사체의 비율은 적어도 2개의 그룹(예를 들면, 건강한 대상체 대 환자) 사이에 차등적으로 발현하였다. 당해 벡터는 시료의 2개 그룹의 비교로부터 기원한다. 제1 분석 단계는 각각의 모듈내 전사체의 질병-특이적인 세트의 선택을 위해 사용된다. 다음, "발현 수준"이 존재한다. 제공된 질병에 대한 그룹 비교는 각각의 모듈에 대한 차등적으로 발현된 전사체의 목록을 제공한다. 상이한 질병은 모듈 전사체의 상이한 아세트를 수득하는 것으로 밝혀졌다. 이러한 발현 수준을 사용하여, 이후에 차등적으로 발현되는 것으로 확인된 유전자의 질병-특이적인 아세트의 발현 값을 평균값으로써 단일 시료에 대한 각각

의 모듈용 벡터를 계산할 수 있다. 이러한 시도는 단일 시료에 대한 모듈 발현 벡터의 맵, 예를 들면, 본원에 기술된 모듈 맵에 기술된 것들의 생성을 허용한다. 이들 벡터 모듈 맵은 각각의 시료로부터 기원할 수 있는 각각의 모듈(차등적으로 발현된 유전자의 비율 대신)에 대한 평균 발현 수준을 나타낸다.

[0053] 본 발명을 사용하여, 단지 모듈-수준뿐 아니라, 또한 유전자 수준에서 질병을 확인하고 구별할 수 있는데; 즉, 2개의 질병은 동일한 벡터(차등적으로 발현된 전사체의 동일한 비율, 동일한 "극성")을 가질 수 있지만, 벡터의 유전자 구성은 여전히 질병-특이적일 수 있다. 유전자-수준 발현은 분석의 해결을 크게 증가시키는 명백한 장점을 제공한다. 또한, 본 발명은 복합 전사 마커의 장점을 취한다. 본원에 사용된 것으로서, 용어 "복합 전사 마커"는 마커(및 이들 마커의 구성은 질병-특이적일 수 있다)로서 개개의 유전자를 사용하는 것과 비교되는 것으로서, 다수 유전자(모듈의 아세트)의 평균 발현 값을 말한다. 복합 전사 마커의 시도는, 사용자가 환자에서 예를 들면, SLE를 사용하여 질병 심각성을 평가하거나 본원에 기술된 발현 벡터를 유도할 수 있는 다중가변성 마이크로어레이 점수를 개발할 수 있기 때문에 독특하다. 가장 중요하게, 본 발명의 복합 모듈러 전사 마커를 사용하여 본원에서 발견된 결과는 마이크로어레이 플랫폼에 따라 재생가능함으로써, 조절적 승인을 위한 보다 큰 신뢰성을 제공한다는 것이 밝혀졌다.

[0054] 본 발명과 함께 사용하기 위한 유전자 발현 모니터링 시스템은 하나 이상의 표적 질병에 대해 특이적이고/이거나 특별주문된(customized) 유전자의 제한된 및/또는 기본적인 수를 가진 특별주문된 유전자 어레이를 포함할 수 있다. 통상적으로 사용되는 일반적인, 판-게놈 어레이와는 달리, 본 발명은 특정 플랫폼을 사용할 필요가 없는 소급성 유전자 및 게놈 분석용의 이러한 일반적인 판-어레이의 사용을 제공할뿐 아니라, 보다 중요하게, 본 발명은 많은 다른 비-관련 유전자에 대한 요구없이 분석용의 최적 유전자 세트를 제공하는 특별주문된 어레이의 개발을 제공한다. 기존 분야를 능가하는 본 발명의 최적화된 어레이 및 모듈의 하나의 명백한 장점은 금융 비용(예를 들면, 검정, 물질, 장비, 시간, 개인, 실습 등에 따른 비용)에 있어서의 감소, 및 보다 중요하게는 데이터의 대부분이 관련성이 없는 판-어레이를 제조하는 환경 비용의 감소이다. 본 발명의 모듈은 시그널 대 노이즈 비(signal to noise ratio)를 최대화시키면서 최소한의 수의 프로브를 사용하여 최적 데이터를 제공하는 간단하고, 통상적인 어레이의 설계를 최초로 허용한다. 분석용 유전자의 전체 수를 제거함으로써, 예를 들면, 광범위한 양의 관련되지 않은 데이터를 제공하는 판-유전 침의 제조동안 사진석판술을 위한 많은 비싼 플라티늄 마스크를 제조해야하는 필요성을 제거하는 것이 가능하다. 본 발명을 사용하여, 본 발명의 제한된 프로브 세트가 예를 들면, 디지털 광화학 어레이, 볼 비드 어레이, 비드(예: 루미넥스), 멀티플렉스 PCR, 정량적 PCR, 런-온 검정, 노던 블롯 분석과 함께 사용되거나, 심지어 단백질 분석, 예를 들면, 웨스턴 블롯 분석, 2-D 및 3-D 겔 단백질 발현, MALDI, MALDI-TOF, 형광 활성화된 세포 분류(FACS)(세포 표면 또는 세포내), 효소 결합된 면역흡착 검정(ELISA), 화학발광 연구, 효소 검정, 중식 연구 또는 상업적으로 용이하게 이용가능한 유전자 발현의 측정 및/또는 분석을 위한 다른 어떠한 방법, 장치 및 시스템을 위해 사용되는 경우, 마이크로어레이에 대한 요구도를 완전히 피하는 것이 가능하다.

[0055] 본 발명의 "분자 핑거프린팅 시스템(molecular fingerprinting system)"은 상이한 세포 또는 조직내 발현, 동일한 세포 또는 조직의 상이한 아집단, 동일한 세포 또는 조직의 상이한 생리학적 상태, 동일한 세포 또는 조직의 상이한 발달 단계, 또는 다른 질병 및/또는 정상 세포 대조군에 대한 동일한 조직의 상이한 세포 집단에서 발현의 비교 분석을 촉진하고 수행하는데 사용될 수 있다. 일부 경우에, 정상 또는 암생형 발현 데이터는 동일한 시점에서 또는 시점 부근에서 분석한 시료로부터 올 수 있거나 이는 존재하는 유전자 어레이 발현 데이터베이스, 예를 들면, NCBI 유전자 발현 옴니버스 데이터베이스(Gene Expression Omnibus database)와 같은 공지된 데이터베이스로부터 수득되거나 추려낼 수 있다.

[0056] 본원에 사용된 것으로서, 용어 "차등적으로 발현된"은 2개 이상의 시료, 예를 들면 질병 시료 및 정상 시료 사이에서 변하는 세포 성분(예: 핵산, 단백질, 효소 활성 등)의 측정을 말한다. 세포 성분은 존재하거나 부재할 수 있고, 참조물질과 관련하여 상향조절되거나 참조물질과 관련하여 하향조절될 수 있다. 유전자-침 또는 유전자-어레이와 함께 사용하기 위해, 핵산, 예를 들면, mRNA 또는 기타 RNA(miRNA, siRNA, hnRNA, rRNA, tRNA, 등)의 차등적인 유전자 발현을 사용하여 세포 유형 또는 핵산을 구별할 수 있다. 가장 일반적으로, 세포의 전사 상태의 측정은 정량적인 역전사효소(RT) 및/또는 정량적인 역전사효소-폴리미라제 연쇄 반응(RT-PCR), 게놈 발현 분석, 해독후 분석, 게놈 DNA에 대한 변형, 전좌, 원위치 하이브리드화 등에 의해 달성된다.

[0057] 일부 질병 상태의 경우, 특히 질병 상태의 초기 수준에서, 세포 또는 형태학적 차이를 확인하는 것이 가능하다. 본 발명은 세포 자체, 또는 보다 중요하게는, 이들의 정규의 생리학적 상황에서, 즉 면역 활성화 동안, 면역 내성 또는 심지어 면역 에너지내에서 작동하는 면역 효과기 세포로부터의 유전자의 세포 RNA 발현의 모듈을 조사함으로써 특정 돌연변이 또는 하나 이상의 유전자를 확인하기 위한 요구를 피한다. 비록 유전적 돌연변이가 유

전자의 그룹의 발현 수준에서 현저한 변화를 초래할 수 있다고 해도, 생물학적 시스템은 흔히 다른 유전자의 발현을 변경시킴으로써 변화를 보상한다. 이러한 내부 보상 반응의 결과로서, 많은 교란은 시스템의 관측가능한 표현형에 있어 최소한의 효과, 그러나 세포 성분의 구성에 대해 충분한 효과를 가질 수 있다. 유사하게, 유전자 전사체의 실제 카피는 증가하거나 감소하지 않을 수 있지만, 전사체의 장수 또는 반감기는 영향을 받아 단백질 생산을 현저히 증가시킬 수 있다. 본 발명은, 하나의 양태에서, 단일 전령 및/또는 돌연변이보다는 효과기 세포(예를 들면, 백혈구, 림프구 및/또는 이의 아-집단)를 고찰함으로써 실제 전령을 검출하기 위한 요구를 제거한다.

[0058] 숙련가들은, 시료가 예를 들면, 단일 세포, 세포의 수집물, 조직, 세포 배양물 등을 포함하는 각종의 공급원으로부터 수득될 수 있음을 용이하게 인지할 것이다. 특정의 경우에, 심지어 예를 들면, 뇌, 혈액, 타액, 조직 또는 생검 시료 등에서 발견된 세포로부터 충분한 RNA를 분리하는 것이 가능할 수 있다. 특정 상황에서, 충분한 세포 및/또는 RNA가 점액 분비, 대변, 눈물, 혈액 혈장, 복강액, 사이질 액, 경막내 액, 뇌척수액, 땀 또는 기타 체액으로부터 수득될 수 있다. 예를 들면, 조직 또는 세포 공급원으로부터의 혁산 공급원은 조직 생검 시료, 하나 이상의 분류된 세포 집단, 세포 배양물, 세포 클론, 형질전환된 세포, 생검 또는 단일 세포를 포함할 수 있다. 조직 공급원은 예를 들면, 뇌, 간, 심장, 신장, 폐, 비장, 망막, 골, 신경(neural), 림프절, 내분비선, 재생 기관, 혈액, 신경(nerve), 혈관 조직 및 후각 상피를 포함할 수 있다.

[0059] 본 발명은 단독 또는 조합하여 사용될 수 있는 다음의 기본 성분, 즉, 하나 이상의 데이터 마이닝 알고리즘(data mining algorithms); 하나 이상의 모듈-수준 분석 과정; 혈액 백혈구 전사 모듈의 특성화; 사람 질병의 분자 진단/예후용 다변량 분석에서 수집된 모듈러 데이터의 사용; 및/또는 모듈-수준 데이터 및 결과의 가시화를 포함한다. 본 발명을 사용하여, 단일 다변량 점수로 추가로 수집될 수 있는 복합 전사 마커를 개발하여 분석하는 것도 가능하다.

[0060] 데이터 획득율에 있어서의 탐험은 마이크로어레이 데이터 및 생의학적 지식의 개발을 위한 마이닝 도구 및 알고리즘의 개발에 박차를 가졌다. 시도는 모듈러 조직화 및 질병의 풍부한 문자 시그너처의 확인을 위한 전사 시스템 구성 프로마이징 방법의 기능을 밝히는데 목표를 두었다. 더욱이, 이러한 분석은 개개 유전자 또는 유전자 목록의 수준을 거친 마이크로어레이 데이터의 개념화를 취함으로써 대규모의 전사 연구의 인식을 변형시킬 수 있다.

[0061] 본 발명자는, 현재의 마이크로어레이-계 조사가 유명하게도 "노이지"인 데이터, 즉, 차단하기 어렵고 실험실 및 플랫폼을 따라 잘 비교되지 않은 데이터의 분석을 사용한 현저한 변화에 직면해 있다. 마이크로어레이 데이터의 분석을 위해 광범위하게 허용되는 시도는 연구 그룹 사이에서 차등적으로 발현된 유전자의 아세트의 확인에서 시작한다. 다음, 사용자는 후속적으로 패턴 발견 알고리즘 및 존재하는 과학 지식을 이용하여 수득되는 유전자 목록을 "이해(make sense)"하기 위해 노력한다.

[0062] 플랫폼에 따른 큰 가변성을 다루는 것 보다는, 본 발명자들은 분석 초기 단계에서 생물학적으로 관련된 유전자의 선택을 강조하는 방법을 개발하였다. 요약하면, 당해 방법은, 개선된 데이터 마이닝 알고리즘이 개발되어 데이터의 거대 수집물로부터 통상적으로 발현된 유전자 또는 전사 모듈의 그룹을 분석하고 추출하기 위해 개발된 제공된 생물학적 시스템을 특성화하는 전사 성분의 확인을 포함한다.

[0063] 폐결핵(PTB)은 결핵균(엠. 투베르콜로시스)에 의해 유발된 전세계적으로 이환율과 치사율의 주요 및 증가 원인이다. 그러나, 결핵균에 감염된 개인의 대부분은 무증상으로 남고, 잠복성 형태의 감염으로 보유하며 이는, 이러한 잠복성 상태가 활동성 면역 반응에 의해 유지된다고 고려된다. 혈액은 면역 시스템의 파이프라인이며, 자체로서 개인의 건강 및 면역 상태가 확립될 수 있는 이상적인 생물학적 물질이다. 본원에서, 혈액 세포에서 전체 계놈의 활성을 평가하기 위한 마이크로어레이 기술을 사용하여, 본 출원자는 활동성 폐결핵 및 잠재성 결핵 환자에서 구별되고 상반되는 혈액 전사 생물표지자 시그너처를 확인하였다. 이들 시그너처는 또한 대조군 개인에서의 결과는 구별된다. 전혈에서 면역 세포독성 유전자 발현의 과잉-제시를 나타낸 잠복성 결핵의 시그너처는, 이들 환자가 감염되어도 대부분 명백한 질병으로 진행되지 않기 때문에, 결핵균 감염에 대한 보호성 면역 인자를 측정하는데 도움이 될 수 있다. 활동성 TB 환자 및 잠복성 TB 환자로부터의 구별되는 전사 생물표지자 시그너처를 또한 사용하여 감염을 진단하고 항-마이코박테리아 약물을 사용한 치료에 대한 반응을 모티터링 할 수 있다. 또한, 활동성 결핵 환자에서 시그너처는 면역병인에 관여된 인자를 측정하고 가능하게는 면역치료학적 중재를 위한 방법을 도출하는데 도움을 줄 것이다. 본 발명은 감염의 진단을 위한 혈액 전사 생물표지자의 사용을 청구하는 앞서의 출원에 관한 것이다. 그러나, 당해 앞서의 출원은 활동성 결핵 및 잠복성 결핵에 대한 생물표지자의 존재를 기재하고 있지 않고 오히려 다른 급성 감염된 어린이에 초점을 맞추고 있다(참조:

Ramillo, Blood, 2007).

[0064] 활동성 TB 환자에 대한 잠복성 TB 환자로부터의 혈액 중 전사 시그너처의 본 발명의 확인을 사용하여 결핵균 감염이 의심된 환자 및 건강 스크리닝/질병의 조기 검출에 대해 시험할 수 있다. 본 발명은 또한 항-마이코박테리아 약물을 사용한 치료에 대한 반응의 평가를 허용한다. 이와 관련하여, 시험은 또한 약물 시도의 측면에서, 및 특히, 다중-약물 내성 환자에서 약물 치료를 평가하는데 특히 유효할 수 있다. 또한, 본 발명을 사용하여 잠복성 결핵의 면역 시그너처로부터 즉각적인, 중간의 및 장기간 데이터를 수득하여 백신접종 시도동안 보호성 면역 반응을 정의할 수 있다. 또한, 활동성 결핵 환자에서의 시그너처는 면역병인론에 관여된 인자들을 측정하고 가능하게는 면역 치료학적 방해를 위한 방법을 이끄는데 도움이 될 것이다.

[0065] 혈액은 감염 동안 조직내에서 감염체에 노출될, 호중구 세포, 수지상 세포 및 단핵 세포, 또는 B 및 T 림프구 각각을 포함하는 본래의 및 적응성 면역 시스템의 세포에 대한 저장소 및 이주 구획을 나타낸다. 이러한 이유로 감염된 개인으로부터의 전혈은, 비편견된 분자 표현형이 조직내 암(참조: Alizadeh AA., 2000; Golub, TR., 1999; Bittner, 2000), 자가면역(참조: Bennet, 2003; Baechler, EC, 2003; Burczynski, ME, 2005; Chaussabel, D., 2005; Cobb, JP., 2005; Kaizer, EC., 2007; Allantaz, 2005; Allantaz, 2007), 및 혈액 또는 조직(참조: Bleharski, JR et al., 2003)내 염증(참조: Thach, DC., 2005) 및 감염성 질병(참조: Ramillo, Blood, 2007)의 연구에 대해 앞서 기술한 바와 같이 유전자 발현 마이크로어레이를 사용하여 수득될 수 있는 임상적으로 관련된 물질의 허용가능한 공급원을 제공한다. 혈액 백혈구에서 유전자 발현의 마이크로어레이 분석은 진단 및 예후 유전자 발현 시그너처를 확인하여왔으며, 이는 질병의 발생 및 치료에 대한 반응의 메카니즘을 보다 잘 이해하도록 한다(참조: Bennet, L 2003; Rubins, KH., 2004; Baechler, EC, 2003; Pascual, V., 2005; Allantaz, F., 2007; Allantaz, F., 2007). 이러한 마이크로어레이 시도는 활동성 TB 및 잠복성 TB의 연구를 위해 시도되었지만 아직까지 다른 염증병 및 감염성 질병을 구별하기에 충분히 풍부하지 않을 수 있는, 소수의 차등적으로 발현된 유전자만(참조: Jacobsen, M., Kaufmann, SH., 2006; Mistry, R, Lukey, PT, 2007), 및 상대적으로 소수의 환자(참조:Mistry, R., 2007)를 수득하여 왔다.

[0066] TB에서 면역 시그너처를 정의하기 위해, 활동성 TB 환자 및 잠복성 TB 환자 및 대조군의 혈액을 분석하였다; 환자를 매우 엄격한 조건을 사용하여 선택하였다. 환자는 영국 런던으로부터 모집하였으며, 여기서, 활동성 TB 경우들의 수는 증가하고 있고 혼동된 동시감염 위험이 최소인 경우, 활동성 TB로부터 잠복성을 구별할 수 있는 풍부한 시그너처를 생성하므로 매우 중요하다. 마이크로어레이를 사용하여 활동성 TB 환자 및 잠복성 TB 환자 및 건강한 대조군을 포함하는 환자의 모든 그룹에 따라 통계적으로 현저한 수준으로 차등적으로 발현되는 것으로 밝혀진 다수의 유전자를 나타내는 전체 계놈 및 후속된 데이터 마이닝을 분석하였다. 다음, 모듈러 데이터 마이닝 방법을 기초로 한 신규의 시도를 사용하며, 당해 시도는 SLE 및 기타 질병에서 혈액 마이크로어레이 전사 프로파일의 분석을 위한 임상적으로-관련된 전사 생물표지자의 선택을 위한 기준을 제공하며, 질병 발병기전의 본 발명자의 이해를 향상시켰다(참조: Chaussabel, 2008, Immunity). 당해 연구에서 정의된 모듈 맵은 복합 데이터의 면적을 조직화하고 감소시키기 위한 수단을 제공하는 한편, 사람 혈액에서 발현된 다수의 유전자를 보유함으로써, 특이적인 질병 평거프린트의 가시화를 허용한다(참조: Chaussabel, 2008, Immunity). 이러한 모듈러 시도를 사용하여 활동성 TB 환자 및 잠복성 TB 환자의 전혈내에서 구별되고 상반되며, 또한 건강한 대조군과는 상이한 명확히 정의된 모듈러 전사 시그너처가 수득되었다. 본원에 기술된 생물표지자는 PTB의 진단을 개선시키며, 또한 잠복성 TB 환자에서 결핵균에 대한 보호에 있어 중요한 숙주 인자, 및 활동성 TB의 면역병인에 관여하는 것들을 정의하는데 도움을 주므로, TB 질병을 감소시키고 관리하는데 사용될 것이다.

## 0067] 환자, 재료 및 방법

[0068] 참여자 모집 및 환자 특성화: 참여자는 런던의 밀힐(Mill Hill)에 소재하는 National Institute for Medical Research(NIMR)에서의 자원자로부터 모집한 건강한 대조군과 함께, 런던에 소재하는 세인트 메리스 하스퍼틀 TB 클리닉, 임페리얼 컬리지 헬쓰케어 NHS 트러스트(St. Mary's Hospital TB Clinic, Imperial College Healthcare NHS Trust)로부터 모집하였다. 당해 연구는 영국 런던에 소재하는 세인트 메리 병원의 지역 NHS 조사 윤리 위원회(local NHS Research Ethics Committee)(LREC)에 의해 승인되었다. 모든 참여자(18세 이상)에게 정보가 적힌 동의서가 제공되었다. 엄격한 임상 기준이, 모집된 참여자가 자체의 개개 연구 그룹화를 확인하고 이후에 단지 분석을 위한 최종 그룹으로 분배되기 전까지 만족되었다. 환자 및 대조군 집단을 다음과 같다: (i) 마이코박테리아 배양물에서 결핵균의 실험실적 분리에 의해 후속적으로 확인된 임상 진단을 기초로 하는 활동성 PTB; (ii) 인터페론 감마 방출 검정[IGRA, 상세하게 퀸티페론-TB 골드 인-튜브 검정(Quantiferon-TB Gold In-tube assay), 공급원: 셀레스티스(Cellestis), 오스트레일리아]을 사용한 양성 결과와 함께, 양성 투베르콜린 피부 시험[TST, 2TU 투베르콜린(제조원: 세럼 슈타텐스 인슈티튜트(Serum Statens Institute), 덴마크

코펜하겐 소재)에 의해 BCG 백신접종을 하지 않은 경우 ≥6mm, BCB 백신접종을 한 경우 ≥15mm로 정의된 잠복성 TB]. 당해 IGRA 검정은 전혈로부터 IFN-γ 방출에 의해 항원에 대한 반응성(ESAT-6/CFP-10/TB 7.7 - 결핵균에 존재하나 대부분 환경의 마이코박테리아 또는 엠. 보비스(M. bovis) BCG 백신에는 존재하지 않음)을 측정하였다.

[0069] 잠복성 TB 환자는 또한 밀접한 가정 또는 작업장소 접촉을 통하여나, 풍토 지역으로부터의 최근 '신규 신입자'로서 감염성 TB의 경우에 대한 노출 증거를 가져야 한다; 감염된 사람에 대한 노출 증거가 없이 TST 양성으로 우연히 발견된 환자는 당해 연구에 포함시키는데 적합하지 않았다; (iii) 건강한 자원자 대조군(BCG 백신접종된 대조군 및 백신접종되지 않은 대조군, TST에 의해 각각 ≤ 4 mm 또는 ≤ 5 mm; 및 IGRA에 의해 음성). 임신중 이거나, 면역억제된 것으로 알려져 있거나, 면역억제 치료요법 중이거나 당뇨병 또는 자가면역병을 가진 참여자도 또한 부적합하여 당해 초기 연구로부터 배제하였다. HIV 양성 개인(런던에서 TB 환자 중 단지 1% 만이 사전에 진단되지 않은 HIV를 가진 것으로 나타났다)도 본 연구로부터 배제하였다. 활동성 PTB 환자 및 잠복성 PTB 환자로부터의 혈액을 어떠한 항-마이코박테리움 약물을 투여하기 전에 연구로부터 수집한 후, 후속적으로 후기 연구를 위한 장기적인 연구의 일부를 위해 일정한 시간 간격에서 수집하였다.

[0070] 상세한 임상 정보를 각각의 참여자에 대해 예상적으로 수집하고 본 발명자가 개발한 웹-허용가능한 데이터베이트내로 도입하였다. 당해 기록된 임상 테이타 및 위에서 기술한 바와 같은 면역-계 검정을 사용하여, 58명의 참여자중 15명이 당해 연구를 위한 표준 기준에 충족하지 않았기 때문에 연구로부터 배제되었다. 이로써 6명의 BCG 백신접종하지 않은 건강한 자원자의 집단; 6명의 BCG 백신접종된 건강한 자원자, 17명의 잠복성 TB 환자 및 14명의 활동성 PTB 환자의 집단이 수득되었고, 이후, 이를 시료 모두를 RNA 분리에 사용하였다. 활동성 TB 환자로부터의 하나의 시료는 진행시키기 위한 프로세싱 후 충분한 글로빈 감소된 RNA를 수득하지 않았으므로 최종 분석에서 배제하였다.

[0071] 마이크로어레이를 위한 RNA 시료채취, 추출, 프로세싱: 상기 환자 그룹으로부터의 전혈을 템퍼스튜브[Tempus tubes: 제조원: 어플라이드 바이오시스템스(Applied Biosystems), 미국 캘리포니아주 포스터 시티 소재]내로 수집하고 RNA 추출 전에 -20°C 내지 -80°C에서 저장하였다. 전체 RNA를 퍼펙트퓨어 RNA 혈액 키트(PerfectPure RNA Blood kit)[제조원: 5 프라임 인코포레이션(5 PRIME Inc), 미국 메릴랜드주 게이터스부르그 소재]를 사용하여 분리하였다. 시료를 100%의 냉 에탄올로 균질화하고, 와동시킨 후 4000g에서 60분 동안 0°C에서 원심분리하고, 상청액을 버렸다. 이후에, 300 μl의 분해 용액을 펠릿에 가하고 완동시켰다. 이후에, RNA 결합, Dnase 처리, 세척 및 RNA 용출 단계를 제조업자의 지시에 따라 수행하였다. 이후에, 분리된 전체 RNA를 GLOBINclear™ 96-웰 포맷 키트[제조원: 암비온(Ambion), 미국 텍사스주 오스틴 소재]를 사용하여 제조업자의 지시에 따라 글로빈 감소시켰다. 전체 및 글로빈-감소된 RNA 통합성을 아질런트 2100 생분석기(Agilent 2100 Bioanalyzer)[제조원: 아질런트(Agilent), 미국 캘리포니아주 팔로 알토 소재]를 사용하여 평가하였다. 활동성 TB 환자로부터의 1개 시료는 진행하기 위한 프로세싱 후 충분한 글로빈 감소된 RNA를 생성하지 않았으므로 최종 분석에서 배제시켰다. 이후에, 바이오티닐화되고, 증폭된 RNA 표적(cRNA)를 글로빈-감소된 RNA로부터 일루미나 커스톱프리미엄 RNA 증폭 키트(Illumina CustomPrep RNA amplification kit)(제조원: 암비온, 미국 텍사스주 오스틴 소재)를 사용하여 제조하였다. 표지된 cRNA를 밤새 센트리스 휴먼-6 V2 비드칩 어레이(Sentrix Human-6 V2 BeadChip array)[>48,000개 프로브, 제조원: 일루미나 인코포레이션(Illumina Inc), 미국 캘리포니아주 산 디에고 소재]로 밤새 하이브리드화하고, 세척하고, 차단시키고, 염색하고 일루미나 비드스튜디오 버전 2 소프트웨어(BeadStudio version 2 software)를 사용하여 모든 샘플에 대해 스캔으로부터 시그널 강도 값을 생성시키고, 배경(background) 값을 감하고, 중간 평균 강도(침당 표준화)에 대한 각각의 마이크로어레이를 비교하였다. 당해 표준화된 데이터를 모든 후속적인 데이터 분석에 사용하였다.

[0072] 마이크로어레이 데이터 분석: 유전자 발현 분석 소프트웨어 프로그램인, 진스프링(Genespring), 버전 7.1.3(제조원: 아질런트)를 사용하여, 시료의 통계적 분석 및 계층적 군집화를 수행하였다. 차등적으로 발현된 유전자를 선택하여 결과 및 도면 설명에서 기술한 바와 같이 군집화하였다.

### 결과 및 고찰

[0074] 혈액 시그너처는 각각의 다른, 및 건강한 대조군 개인으로부터 활동성 TB 환자 및 잠복성 TB 환자를 구별한다: 활동성 TB 환자 및 잠복성 TB 환자로부터 시료채취한 혈액이 건강한 대조군과 비교하여 활동성 TB 및 잠복성 TB 사이의 구별을 허용하는 유전자 발현 시그너처를 수반하는지를 측정하기 위하여, 단계별 분석을 수행하였다. 2 배 미만의 중간값으로부터의 편차, 즉, 플랫 프로파일을 사용하여 검출되지 않은 전사체 및 유전자를 필터링한

후, 6269개의 유전자를 활동성 TB 및 잠복성 TB 및 건강한 대조군으로부터의 전혈 RNA 시료로부터 수득한 발현 프로파일의 피어슨 상관계수에 의한 예측되지 않는 군집화 분석에 사용하였다(도 1). 당해 예측되지 않은 분석은 구별되는 시그너처를 확인하였으며, 이는 활동성 폐 TB(활동성 TB)의 환자; 및 잠복성 결핵(잠복성 TB) 개인에 있어서 명백한 임상적 표현형에 상응하는 것으로 밝혀졌다. 시료의 그룹화는 완벽하지 않았다(13명 중 10명의 환자가 활동성 TB이고, 17명의 환자중 11명이 잠복성 TB이다). 그럼에도 불구하고, 환자의 시험 세트로부터 당해 그룹에서 활동성 PTB 및 잠복성 TB 환자의 대부분은 명확하고 구별되는 전사 시그너처를 갖는 것으로 여겨진다. 중요하게도 당해 시그너처는 백인, 흑인 아프리카인, 아시아 인디언인, 아시아 방글라데시인, 기타 아시아인, 백인 아일랜드인, 혼혈 백인, 흑인 카리브인을 포함하여, 당해 연구를 위해 수집된 다수의 민족에 따라 나타나는 것으로 여겨진다(당해 데이터의 세부사항은 나타내지 않았다).

[0075]

이후에, 6269개의 유전자의 당해 목록을 비-지표검정 통계 그룹 비교(크루스칼-왈리스 시험)을 사용하여 분석함으로써 그룹간에 현저하게 차등적으로 발현된 유전자를 확인하였다. 제I형 오차를 조절하기 위한 중간의 업격한 다중 비교 교정[벤자민-호크베르크 교정(Benjamini-Hochberg correction)]을 사용하여, 1473개 유전자를 활동성 TB 및 잠복성 TB, 및 건강한 대조군을 따라 차등적으로 발현/제시하였다( $P < 0.01$ )(도 2; 및 본원에 첨부된 표에서 1473개 유전자의 목록). 이후에, 유전자의 당해 집단을 문헌에서 상대적인 발견을 사용하여 관련시켰다. 존재론적 용어 "면역 반응"에 대해 당해 유전자들을 필터링하여 158개의 이러한 유전자의 목록을 생성하였다(도 3A 내지 3D; 표 2). 158개 유전자의 발현/제시의 패턴(도 3A 내지 3D)은 잠복성 TB 환자 및 건강한 대조군 개인으로부터 활동성 TB 환자의 그룹을 구별하도록 한다.

## 표 2

유전자 존재론적 용어 생물학적 과정: 면역 반응으로 주석을 달고 활동성 TB 및 다른 임상 그룹간에 현저히 차등적으로 발현하는( $p<0.01$ ) 것으로 밝혀진 158개 유전자의 목록

유전자 기호	설명
LILRB3	백혈구 면역글로빈-유사 수용체, 아제열 B (TM 및 ITIM 도메인 수반), 구성원 3
PGLYRP1	펩티도글리칸 인지 단백질 1
FAS	Fas (TNF 수용체 상파, 구성원 6)
IFITM3	인터페론 유도된 막관통 단백질 3 (1-8U)
FCGR2A	IgG의 Fc 단편, 저 친화성 IIa, 수용체 (CD32)
FCGR2A	IgG의 Fc 단편, 저 친화성 IIa, 수용체 (CD32)
ST6GAL1	ST6 베타-갈락토스아미드 알파 -2,6-시알릴트랜스퍼라제 1
ETS1	v-ets 이리트로블라스토시스 바이러스 E26 종양유전자 동종체 1(조류)
CYBB	사이토크롬 b-245, 베타 폴리펩타이드 (만성 육아증병)
IFNAR1	인터페론(알파, 베타 및 오메가) 수용체 1
LY96	림프구 항원 96
TRIM22	3부분 모티프-함유 22
GBP2	구아닐레이트 결합 단백질 2, 인터페론-유도성
DDX58	DEAD (Asp-Glu-Ala-Asp) 박스 폴리펩타이드 58
LAX1	림프구 막관통 적응인자 1
IFI16	인터페론, 감마-유도성 단백질 16
LCK	림프구-특이적인 단백질 타이로신 키나제
IL32	인터루킨 32
CXCL16	케모킨 (C-X-C 모티프) 리간드 16
CD40LG	CD40 리간드 (TNF 상파, 구성원 5, 초-IgM 증후군)
TNFSF13B	종양 피사 인자(리간드) 상파, 구성원 13b
IRF2	인터페론 조절 인자 2
C5	보체 성분 5
CD46	CD46 분자, 보체 조절 단백질
TNFAIP6	종양 피사 인자, 알파-유도된 단백질 6
DPP4	디펩ти딜-펩타이드 4 (CD26, 아데노신 테아미나제 복합체화 단백질 2)
EBI2	엡슈타인-바르 바이러스(Epstein-Barr virus) 유도된 유전자 2(림프구-특이적인 G 단백질-결합된 수용체)
NFX1	핵 전사 인자, X-박스 결합 1
MICB	MHC 부류 폴리펩타이드-관련된 서열 B
GBP3	구아닐레이트 결합 단백질 3
SLAMF7	SLAM 계열 구성원 7
CARD12	NLR 계열, CARD 도메인 함유 4
GBP6	구아닐레이트 결합 단백질 계열, 구성원 6
IFIT3	테트라트리코펩타이드 반복을 3을 가진 인터페론-유도된 단백질
TAP2	트랜스포터 2, ATP-결합 카세트, 아-계열 B (MDR/TAP)
HLA-DPB1	주요 조직 적합성 복합체, 제II 부류, DP 베타 1
CD3G	CD3g 분자, 감마(CD3-TCR 복합체)
PRKCQ	단백질 키나제 C, 테타
IL7R	인터루킨 7 수용체
SLAMF1	시그널링 림프구 활성화 분자 계열 구성원 1
CD274	CD274 분자
GBP1	구아닐레이트 결합 단백질 1, 인터페론-유도성, 67kDa
IFITM2	인터페론 유도된 막관통 단백질 2 (1-8D)
ITK	IL2-유도성 T-세포 키나제
APOL2	아포지질단백질 L <sub>2</sub>
PSME1	프로테아좀 (프로좀, 마크로파인) 활성인자 아단위 1 (PA28 알파)

유전자 기호	설명
LAT2	T 세포 계열의 활성화용 링커, 구성원 2
IL18RAP	인터루킨 18 수용체 보조 단백질
OSM	온코스타틴 M
CD6	CD6 분자
WWP1	E3 유비퀴틴 단백질 리가제 1을 함유하는 WW 도메인
CD3E	CD3e 분자, 엑시론(CD3-TCR 복합체)
VIPR1	혈관활성 장 펩타이드 수용체 1
TNFSF10	종양 피사 인자(리간트)상파, 구성원 10
PRKRA	단백질 키나제, 인터페론-유도성 이본체 RNA 의존성 활성인자
TNFRSF1A	종양 피사 인자 수용체 상파, 구성원 1A
BCL6	B-세포 CLL/림프종 6 (아연 맹거 단백질 51)
IL8	인터루킨 8
OAS3	2'-5'-올리고아데닐레이트 신테타제 3, 100kDa
IFIH1	헬리카제 C 도메인 1으로 유도된 인터페론
SIGIRR	단일 면역글로불린 및 툴-인터루킨 1 수용체 (TIR) 도메인
SIGIRR	단일 면역글로불린 및 툴-인터루킨 1 수용체 (TIR) 도메인
SIT1	시그널 역치 조절 막관통 적응인자 1
ITGAM	인테그린, 알파 M (보체 성분 3 수용체 3 아단위)
C1QB	보체 성분 1, q 아성분, B 쇄
IL27RA	인터루킨 27 수용체, 알파
ALOX5AP	아라키도네이트 5-리폭시 게나제 활성화 단백질
SERPING1	세르핀 펩티다제 억제제, 클레이드(clade) G (C1 억제제), 구성원 1, (혈관부종, 유전)
IL1RN	인터루킨 1 수용체 길항제
IL1RN	인터루킨 1 수용체 길항제
CLEC4D	C-형 렉틴 도메인 계열 4, 구성원 D
ICOS	유도성 T-세포 공동-자극인자
OAS1	2',5'-올리고아데닐레이트 신테타제 1, 40/46kDa
ZAP70	제타 -쇄 (TCR) 관련 단백질 키나제 70kDa
IL1B	인터루킨 1, 베타
C4BPA	보체 성분 4 결합 단백질, 알파
TNFSF13	종양 피사 인자(리간트) 상파, 구성원 13
IFI30	인터페론, 감마-유도성 단백질 30
HPSE	헤파라나제
CD59	CD59 분자, 보체 조절 단백질
CTLA4	세포독성 T-림프구-관련 단백질 4
BCL2	B-세포 CLL/림프종 2
TNFRSF7	CD27 분자
FPR1	포르밀 펩타이드 수용체 1
IL2RA	인터루킨 2 수용체, 알파
GATA3	GATA 결합 단백질 3
S100A9	S100 칼슘 결합 단백질 A9
TLR8	툴-유사 수용체 8
NCF1	호중구 세포질 인자 1, (만성 육아종병, 상염색체 1)
BCL6	B-세포 CLL/림프종 6 (아연 맹거 단백질 51)
BST1	골수 기질 세포 항원 1
G1P2	ISG15 유비퀴틴-유사 조절제
C1QA	보체 성분 1, q 아성분, A 쇄
TCF7	전사 인자 7 (T-세포 특이적, HMG-박스)
IFITM1	인터페론 유도된 막관통 단백질 1 (9-27)
TAPBPL	TAP 결합 단백질-유사
AIM2	흑색종 2에 부재
CCR7	케모킨 (C-C 모티프) 수용체 7

[0077]

유전자 기호	설명
LTBR	림프독소 베타 수용체 (TNFR 상과, 구성원 3)
FYB	FYN 결합 단백질 (FYB-120/130)
NFIL3	핵 인자, 조절된 인터루킨 3
LAT	T 세포의 활성화용 링커
CBLB	Cas-Br-M (쥐) 동종속주역 페트로바이러스 형질전환 서열 b
CD74	CD74 분자, 주요 조직적 합성 복합체, 제 II 부류 변이체 쇄
TAP2	전달체 2, ATP-결합 카세트, 아-계열 B (MDR/TAP)
FLJ14466	막관통 단백질 142A
PSMB9	프로테아좀 (프로좀, 마크로파인) 아단위, 베타형, 9 (거대 다중기능 웨티다제 2)
PSMB8	프로테아좀 (프로좀, 마크로파인) 아단위, 베타형, 8 (거대 다중기능 웨티다제 7)
FAIM3	Fas 아폽토시스 억제성 분자 3
LTA4H	류코트리엔 A4 하이드롤라제
IRF1	인터페론 조절 인자 1
OAS2	2'-5'-올리고아데닐레이트 신테타제 2, 69/71kDa
v-rel	v-rel 망상내피증 바이러스 종양유전자 동족체 B, B-세포 3에서 카파 경 폴리펩타이드
RELB	유전자 인핸서의 핵 인자 (조류)
TRA@	T 세포 수용체 알파 위치
LTB4R	류코트리엔 B4 수용체
PIK3R1	포스포이노시티드-3-기나제, 조절 아단위 1 (p85 알파)
OASL	2'-5'-올리고아데닐레이트 신테타제-유사
OASL	2'-5'-올리고아데닐레이트 신테타제-유사
PSME2	프로테아좀 (프로좀, 마크로파인) 활성인자 아단위 2 (PA28 베타)
CLEC6A	C-형 헥틴 도메인 계열 6, 구성원 A
NBN	나브린
FCGR1A	IgG의 Fc 단편, 고 친화성 Ia, 수용체 (CD64)
SH2D1A	SH2 도메인 단백질 1A, 던칸병 (림프세포증식 증후군)
IL15	인터루킨 15
LY9	림프구 항원 9
LILRB1	백혈구 면역글로불린-유사 수용체, 아계열 B (TM 및 ITIM 도메인을 지님), 구성원 1
APOL3	아포지질 단백질 L_3
PSMB8	프로테아좀 (프로좀, 마크로파인) 아단위, 베타형, 8 (거대 다중작용 웨티다제 7)
CCR6	케모킨 (C-C 모티프) 수용체 6
PDCD1LG2	프로그래밍된 세포 사멸 1 리간드 2
CD96	CD96 분자
EPHX2	에폭사이드 하이드롤라제 2, 세포질
BST2	골수 기질 세포 항원 2
RIPK2	수용체-상호작용 세린-트레오닌 카나제 2
SCAP1	src 카나제 관련된 인단백질 1
GBPS	구아닐레이트 결합 단백질 5
TRAT1	T 세포 수용체 관련된 막관통 적응인자 1
ALOX5	아라키도네이트 5-리폭시카나제
LY9	림프구 항원 9
TAP1	전달체 1, ATP-결합 카세트, 아-계열 B (MDR/TAP)
RHOH	ras 동족체 유전자, 구성원 H
IFI35	인터페론-유도된 단백질 35
CD28	CD28 분자
FYB	FYN 결합 단백질 (FYB-120/130)
IFIT2	테트라트리코펩타이드 반복체 2를 가진 인터페론-유도된 단백질
TLR7	톨-유사 수용체 7
CD2	CD2 분자
FCER1G	IgE 의 Fc 단편, 고 친화성 I, 감마 폴리펩타이드에 대한 수용체
SMAD3	SMAD 계열 구성원 3

[0078]

유전자 기호	설명
FCER1A	IgE 의 Fc 단편, 고 친화성 I, 알파 폴리펩타이드에 대한 수용체
SERPINA1	세르핀 웨티다제 억제제, 클레이드 A (알파-1 항프로테이나제, 안티트립신), 구성원 1
SERPINA1	세르핀 웨티다제 억제제, 클레이드 A (알파-1 항프로테이나제, 안티트립신), 구성원 1
SECTM1	분비된 및 막관통 1
NMI	N-myc (및 STAT) 상호작용인자
TLR5	톨-유사 수용체 5
IFIT3	테트라트리코펩타이드 반복체 3을 갖는 인터페론-유도된 단백질
IFIT3	테트라트리코펩타이드 반복체 3을 갖는 인터페론-유도된 단백질
CD5	CD5 분자

[0079]

[0080] 활동성 TB에서 과발현된/제시된 유전자: 흥미있는 것은 다수의 IFN-관련된/유도성 유전자: 예를 들어, 활동성 TB로 의심되는, 표 2에 나타낸 것으로서 인터페론(IFN)-유도성 유전자, 예를 들면, SOCS1, STAT1, PML(TRIM19), TRIM22, 많은 구아닐레이트 결합 단백질, 및 많은 다른 IFN-유도성 유전자가 발현되었지만, 비록 전혈내 IFN-γ 전사체의 이들 환자 제시/발현은 실제로 활동성 TB 환자보다 높다고 해도, 흥미롭게도, 이들은 잠복성 TB 환자에서 명확하지 않았다는 것이다. 이러한 점에 초점을 맞추기 위해, 일부가 IFN에 의해 상향조절

되는 것으로 공지되어 있고 다른 것은 그렇지 않은 TRIM 계열을 포함한 유전자의 특정 계열을 추가로 연구하였다.

[0081]

TRIM의 아세트는 활동성 TB에서 과-발현/제시된다: 단백질의 3부분의 모티프(tripartite motif: TRIM) 계열은 분별있는 구조로 특성화되며(참조: Reymond, A., EMBO J., 2001) E3 유비퀴틴 리가제 활성, 세포 증식, 분화 및 아폽토시스의 유도, 면역 세포 시그널링을 포함하는 다중 작용을 갖는 것으로 밝혀졌다(참조: Meroni, G., Bioessays, 2005). 이들의 관여는 단백질-단백질 상호작용, 자가면역성 및 발달에 포함된다(참조: Meroni, G., Bioessays, 2005). 또한, 다수의 TRIM 단백질은 항-바이러스 활성을 가지며 본래의 면역성에 가능하게 포함되는 것으로 밝혀졌다(참조: Nisole, F., 2005, Nat. Rev. Microbiol.; Gack, MU., 2007, Nature). 흥미롭게도, 30개의 TRIM 전사체(일부 오버랩핑 프로브)는 활동성 TB에서 발현되며, 일부는 또한 잠복성 TB 및 건강한 대조군 혈액에서 발현되는 것으로 밝혀졌다(도 4; 표 3). 이를 TRIM의 대부분은 이미 사람 대식 세포 및 마우스 대식 세포 및 수지상 세포 둘다에서 발현되는 것으로 밝혀졌으며(참조: Rajsbaum, 2008, EJI; Martinez, FO., J. Imm., 2006) IFN에 의해 조절되는 반면, DC 또는 T 세포에서 구성적으로 발현되는 것으로 밝혀진 TRIM(참조: Rajsbaum, 2008, EJI)은 건강한 대조군 혈액에 대해 활동성 또는 잠복성 TB에서 차등적으로 발현되는 것으로 검출되거나 발견되지 않았다. 흥미롭게도, TRIM 5, 6, 19(PML), 21, 22, 25, 68은 과발현/발현되는 반면; 다른 것은 하향제시/발현되는 것으로 밝혀졌다: TRIM 28, 32, 51, 52, 68. 흥미롭게도, TRIM의 그룹은 활동성 TB에서 고도로 발현되지만, 잠복성 TB 및 건강한 대조군에서 낮거나 검출되지 않았으며, 이를 중 4개(TRIM 5, 6, 21, 22)는 사람 염색체 11 상에서 균집화되는 것으로 밝혀졌고 항-바이러스 활성을 가진 것으로 보고되었다(참조: Song, B., 2005, J. Virol.); Li, X., Virology, 2007). 그러나, TRIM의 그룹은 TRIM 28, 32, 51, 52, 68을 포함하는 잠복성 TB 및 건강한 대조군의 혈액에 대해 활동성 TB 환자의 혈액에서 하향-발현되는 것으로 밝혀졌으며, 이는 사람 혈액-기원한 대식 세포(TRIM 51)에서 발현되지 않거나 차등화되지 않은 단핵 세포(TRIM-28, 52) 또는 활성화되지 않은 대식 세포 또는 활성화된 대식 세포(TRIM-32)에서 단지 발현되거나, 사람 혈액(TRIM-68)으로부터 차등화된 활성화된 대식 세포에서 낮은 수준으로 단지 상향조절되는 것이 보고되었다(참조: Martinez, FO., J. Imm., 2006).

## 표 3

활동성 폐결핵, 잠복성 결핵 및 건강한 대조군에서 차등적으로 발현된 TRIM 유전자

일반명	유전자 기호	설명
RNF94; STAF50; GPSTAF50	TRIM22	3부분(tripartite)의 모티프-함유 22
RNF91; SPRING; KIAA0282	TRIM9	3 부분의 모티프-함유 9
MYL; RNF71; PP8675; TRIM19	PML	전골수세포 백혈병
RNF89	TRIM6	3 부분의 모티프-함유 6
TRIM51; MGC10977	TRIM51	SPRY 도메인 함유 5
RNF9; HERF1; RFB30; MGC141979	TRIM10	3 부분의 모티프-함유 10 전골수세포 백혈병; 동의어: MYL, RNF71, PP8675, TRIM19; 동형 7은 전사 변이체 7에 의해 암호화된다; 전골수세포 백혈병, 3 부분의 모티프 단백질 TRIM19; 전골수세포 백혈병 단백질의 유도인자; 호모 사피엔스 전골수세포 백혈병 (PML), 전사 변이체 7, mRNA.
PML	PML	
RNF88; TRIM5알파	TRIM5	3 부분의 모티프-함유 5
RNF88; TRIM5알파	TRIM5	3 부분의 모티프-함유 5
BIA2; DKFZp434C091	TRIM58	3 부분의 모티프-함유 58
Trif; HSD34; RNF36	TRIM69	3 부분의 모티프-함유 69
RNF88; TRIM5알파	TRIM5	3 부분의 모티프-함유 5
SSA; RO52; SSA1; RNF81	TRIM21	3 부분의 모티프-함유 21
KIAA0129	TRIM14	3 부분의 모티프-함유 14
RNF9; HERF1; RFB30; MGC141979	TRIM10	3 부분의 모티프-함유 10
EFP; Z147; RNF147; ZNF147	TRIM25	3 부분의 모티프-함유 25
HLS5; MAIR; KIAA1098; MGC17233	TRIM35	3 부분의 모티프-함유 35
RNF86; KIAA0517	TRIM2	3 부분의 모티프-함유 2
RNF9; HERF1; RFB30; MGC141979	TRIM10	3 부분의 모티프-함유 10
GNIP; RNF90	TRIM7	3 부분의 모티프-함유 7
KIAA0129	TRIM14	3 부분의 모티프-함유 14
TRIM50B; MGC45477	TRIM50B	3 부분의 모티프-함유 73
4732463G12Rik	TRIM65	3 부분의 모티프-함유 65
MRF1; TSBF1; RNF104; TRIM57; MGC26631; MGC129860; MGC129861	TRIM59	3 부분의 모티프-함유 59
FMF; MEF; TRIM20; MGC126560; MGC126586	MEFV	지중해 열
TRIM52		3 부분의 모티프-함유 52
CAR; LEU5; RFP2; DLEU5; RNF77	RFP2	3 부분의 모티프-함유 13
KAP1; TF1B; RNF96; TIF1B; FLJ29029	TRIM28	3 부분의 모티프-함유 28
SS-56; RNF137; FLJ10369; MGC126176	TRIM68	3 부분의 모티프-함유 68
HT2A; BBS11; TATIP; LGMD2H	TRIM32	3 부분의 모티프-함유 32

[0082]

활동성 TB 환자에서 특이적인 면역조절 리간드의 선택적인 과-발현/제시: 구별되는 전사 프로파일의 분석은, 유전자 CD274(PDL1) 및 PCDLG2(PDL2, CD273)로부터의 전사체가 활동성 TB 환자에서만 발현됨을 나타내었다(도 5A 및 5B). 이들 분자는 급성 및 만성 바이러스 감염 둘다에 대한 면역 반응의 조절시 포함되는 것으로 이미 밝혀졌다(참조: A Sharpe, Ann. Rev. Imm.). 이들 분자는 T 세포와 APC 사이의 상호작용에 있어서 분자 PD1에 대한 억제성 공동-자극 수용체로서 작용하며, 당해 경로의 차단은 HIV, B형 간염 및 C형 간염 감염에 있어 항원 특이적인 T 세포의 증식성 및 효과기 작용을 복원하는 것으로 밝혀졌다.

[0084]

활동성 TB에서 하향-발현된/제시된 유전자: 놀랍게도, CD3, CTLA-4, CD28, ZAP-70(T, NK 및 B 세포), IL-7R, CD2(또한 B 세포 상에서), SLAM(또한 NK 세포상에서), CCR7, GATA-3(또한 NK 세포상에서)를 포함하여, T 세포(또한 NK 및 B 세포상의 일부)에서 발현되는 것으로 공지된 많은 유전자는 활동성 TB 환자의 혈액에서 크게 하향-조절/하향-제시되는 것으로 밝혀졌다(도 3D),(하지만, 잠복성 TB 또는 건강한 대조군에서는 그렇지 않다). 이는, 유전자 발현이 활동성 PTB동안 T, NK 및 B 세포에서 하향-조절되거나, 세포가 결핵균의 감염 결과로서 어느 곳에서도(예를 들면, 폐) 보충됨을 나타낼 수 있다. 이는 현재 상이한 환자 그룹으로부터 혈액의 유동 세포

측정 분석 및 상이한 환자 그룹으로부터 T 세포의 정제된 집단의 전사적 분석에 의해 시험중에 있다.

[0085]

건강한 대조군에 대한 잠복성 TB 환자 및 활동성 TB 환자에서 전사 프로파일의 보다 엄격한 통계적 분석. 통계적 그룹 비교를 비-지표검정 크루스칼-왈리스 시험을 사용하여, 그러나 현재는 제I형 오차를 조절하기 위한 가장 엄격한 다중 비교 교정(본페로니 교정)을 사용하여 그룹간에 차등적으로 발현된 유전자를 확인함으로써 앞서와 같이 수행하였다. 이를 사용하여 증가된 스트링전시 46개 유전자( $P<0.1$ ) 및 18개 유전자( $P < 0.05$ )가 그룹 사이에 차등적으로 발현되는 것으로 확인되었다(도 6 및 7; 표 4 및 5). 46개 유전자 중, STAT-1, GBP 및 IRF-1와 같은 다수의 IFN-유도성 유전자는 여전히 활동성 TB 환자로부터의 혈액에서 과-발현/제시되는 것으로 관측되었고, 잠복성 환자 또는 건강한 대조군에서 하향-조절되거나 변하지 않는 것으로 관측되었다. 많은 이들 유전자는 또한 심지어 유전자를 여전히 추출하는 최고의 스트링전시 분석을 사용하는 경우에도, 활동성 TB 환자의 혈액에서 과-발현/제시되는 것으로 밝혀졌다(본페로니 교정,  $P<0.05$ ). 활동성 TB중 단지 3개의 전사체만이 IL-7R(T 세포에서 발현됨), 케모킨 수용체 CXCR3(보다 높은 통계적 스트링전시에서 손실) 및 알파 II-스펙트린을 포함하여, 46개 유전자 그룹내에서 하향-조절/하향-제시되는 것으로 관측되었다. 당해 케모킨 수용체는 감염된 조직에 대한 혈액 외부로 이들의 억제 또는 이주를 반영할 수 있는, 마이코박테리아 감염에 대한 보호에 요구되는 Th1 세포내에서 고도로 발현되는 것으로 밝혀졌기 때문에, CXCR3의 저발현/제시는 흥미롭다. 표 5는 18개 유전자를 포함하며, IL7R 및 SPTAN1은 활동성 PTB에서 하향제시/발현되고, 다른 모든 것은 과잉제시/발현되며 활동성 질병을 진단한다.

## 표 4

활동성 TB 및 다른 임상 그룹 사이에서 현저하게 차등적으로 발현된 유전자

유전자 기호	설명
FAM84B	서열 유사성 84를 가진 계열, 구성 원 B
CXCR3	케모킨 (C-X-C 모티프) 수용체 3
ETV7	ets 변이체 유전자 7 (TEL2 종양유전자)
DUSP3	이중 특이성 포스파타제 3 (백시니아 바이러스 포스파타제 VHI-관련)
WARS	트립토파닐-tRNA 신테타제
CNIH4	코르니콘 동족체 4 (드로소필라)
STAT1	시그널 전달인자 및 전사의 활성인자 1, 91kDa
IRF1	인터페론 조절인자 1
LILRB1	백혈구 면역글로불린-유사 수용체, 아제열 B (TM 및 ITIM 도메인을 가짐), 구성 원 1
SIPAIL1	시그널-유도된 증식-관련된 1 유사 1
GSDMDC1	가스데르민 도메인 함유 1
DYNLT1	다이네인, 경쇄, Tctex-형 1
DKFZp761E198	DKFZp761E198 단백질
LOC400759	
GBP1	구아닐레이트 결합 단백질 1, 인터페론-유도성, 67kDa
GBP5	구아닐레이트 결합 단백질 5
FLJ11259	손상-조절된 자가포식 현상 조절인자
LYPLA1	라이소포스포리파제 I
RHBDF2	롬보이드 5 동족체 2 (드로소필라)
PLEK	플레크스트린
ANKRD22	안키린 반복체 도메인 22
CASP1	카스파제 1, 세포자멸사-관련 시스테인 펩티다제 (인터루킨 1, 베타, 컨버타제)
FLJ39370	염색체 4 개방 판독 프레임 32
FBXO6	F-박스 단백질 6
GCH1	GTP 사이클로하이드롤라제 1 (도파-반응성 근육긴장이상)
GBP4	구아닐레이트 결합 단백질 4
IFI30	인터페론, 감마-유도성 단백질 30
VAMP5	소포-관련된 막 단백질 5 (마이오브레빈)
GBP2	구아닐레이트 결합 단백질 2, 인터페론-유도성
STX11	신탁신 11
SPTAN1	스펙트린, 알파, 비-적혈구 1 (알파-포드린)
POLB	폴리머라제 (DNA 지시된), 베타
IL7R	인터루킨 7 수용체
APOL6	아포지질단백질 L, 6
ATG3	ATG3 자가포식 현상 관련 3 동족체 [에스. 세레비지아에 (S. cerevisiae)]
SQRDL	설파이드 퀴논 리터타제-유사 (효모)
PSME2	프로테아좀 (프로좀, 마크로파인) 활성인자 아단위 2 (PA28 베타)
FLJ10379	S1 RNA 결합 도메인 1
WDFY1	WD 반복체 및 FYVE 도메인 함유 1
TAP2	전달체 2, ATP-결합 카세트, 아-계열 B (MDR/TAP)
NPC2	나이만-匹病 (Niemann-Pick disease), C2형
ATF3	활성화 전사 인자 3
VAMP3	소포-관련된 막 단백질 3 (셀루브레빈)
PSMB8	프로테아좀 (프로좀, 마크로파인) 아단위, 베타 형, 8 (거대 다중작용 펩티다제7)
JAK2	야누스 키나제 2 (단백질 타이로신 키나제)

[0086]

## 표 5

활동성 TB 및 다른 임상 그룹 사이에서 현저하게 차등적으로 발현된 18개 유전자

유전자 기호	설명
VAMP5	소포-관련된 막 단백질 5 (마이오브레빈)
GBP2	구이닐레이트 결합 단백질 2, 인터페론-유도성
STX11	신택신 11
SPTAN1	스펙트린, 알파, 비-적혈구 1 (알파-포드린)
POLB	폴리머라제 (DNA 치시된), 베타
IL7R	인터루킨 7 수용체
APOL6	아포지질단백질 L, 6
ATG3	ATG3 자가포식현상 관련 3 동족체 (에스. 세레비자이아)
SQRDL	설파이드 퀴논 리덕타제-유사 (효모)
PSME2	프로테아제 (프로좀, 마크로파인) 활성인자 아단위 2 (PA28 베타)
FLJ10379	S1 RNA 결합 도메인 1
WDFY1	WD 반복체 및 FYVE 도메인 함유 1
TAP2	전달체 2, ATP-결합 카세트, 아-계열 B (MDR/TAP)
NPC2	나이만-꼭병, C2형
ATF3	전사 활성화 인자 3
VAMP3	소포-관련된 막 단백질 3 (셀루브레빈)
PSMB8	프로테아제 (프로좀, 마크로파인) 아단위, 베타 형, 8 (거대 다중작용 펩티다제7)
JAK2	야누스 키나제 2 (단백질 타이로신 키나제)

[0087]

[0088] 활동성 TB 환자 및 잠복성 TB 환자 및 건강한 대조군 사이의 개선된 선별: 위에서 기술한 시도는 잠복성 TB로부터 활동성 TB를 구별할 수 있다 해도, 건강한 대조군은 모든 3개의 임상 그룹 사이에서 구별할 수 없다. 구별되는 유전자를 선택하기 위해, 다음 시도를 사용하였다. 우선, 건강한 개인으로부터의 혈액에서 발현된 유전자를 월콕슨-만-휘트니 시험을 사용하여  $p<0.005$ 에서 잠복성 TB 환자에 대해 비교하였으며, 이로써 89개의 구별 가능한 유전자를 수득하였다. 이후에, 활동성 TB 환자에 대해 건강한 개인으로부터의 혈액에서 발현된 유전자를 다시 월콕슨-만-휘트니 시험을 사용하지만,  $p<0.5$ , 및 가장 엄격한 본페로니 교정 인자를 사용하여 비교함으로써 30개의 구별가능한 유전자의 목록을 수득하였다. 당해 목록을 결합하여 119개의 구별되는 유전자의 총 목록을 수득하였다(표 6). 이후에, 당해 유전자의 목록을 사용하여 피어슨 상관계수에 의해 예측불가능한 군집화 분석을 사용하여 모든 임상 그룹의 데이터세트를 심문하였다. 당해 분석은 임상 그룹의 3개의 명백한 군집을 생성하였고(도 8A 내지 8F): 하나의 군집은 13명의 활동성 TB 환자 중 11명으로 구성되고(도 8, 군집 C); 두번째 군집은 17명의 잠복성 TB 환자 중 16명, 및 1명의 활동성 TB 환자로 구성되며(도 8, 군집 B); 세번째 군집은 본 연구에 포함된 모든 12명의 건강한 대조군, 및 1명의 활동성 TB 및 1명의 잠복성 TB 예외인을 포함한다(도 8, 군집 A). 도 8A 내지 도 8F 각각의 경우, 환자/임상 그룹의 군집은 수평으로 나타내며 유전자의 군집은 수직으로 나타낸다. 119개 유전자의 전체 목록의 발현/제시 패턴(도 8A)는 이제 다른 것으로부터 모든 3개의 임상 그룹의 구별을 허용하는데, 즉, 활동성 TB, 잠복성 TB 및 건강한 개인이 각각으로부터 구별되도록 하며, 각각의 임상 그룹은 이들 119개 유전자 또는 이의 아그룹의 발현/제시의 독특한 패턴을 나타낸다. 숙련가들은, 1, 2, 3, 4, 5, 6, 7, 8, 10, 12, 15, 20, 25, 30, 35개 또는 그 이상의 유전자들이 임상 그룹 A(건강한), B(잠복성), C(활동성)의 군집을 따라 비교될 수 있는 유전자의 군집을 나타내는 데이터세트에 위치할 수 있으며, 단독 또는 다른 이러한 군집과 함께, 각각의 임상 그룹이 이들 119개의 유전자로부터 수득한 발현/제시의 유일한 패턴을 나타낼 수 있음을 인지할 것이다.

[0089]

상세하게, 도 8B는, 유전자 ST3GAL6, PAD14, TNFRSF12A, VAMP3, BR13, RGS19, PILRA, NCF1, LOC652616, PLAUR(CD87), SIGLEC5, B3GALT7, IBRDC3(NKLAM), ALOX5AP(FLAP), MMP9, ANPEP(APN), NALP12, CSF2RA, IL6R(CD126), RASGRP4, TNFSF14(CD258), NCF4, HK2, ARID3A, PGLYRP1(PGRP)가 잠복성 TB 환자의 혈액에서 저발현/하향제시되지만 건강한 개인 또는 활동성 TB 환자의 혈액에서는 그렇지 않음을 입증한다.

[0090]

도 8C에 나타낸 유전자, ABCG1, SREBF1, RBP7(CRBP4), C22orf5, FAM101B, S100P, LOC649377, UBTD1, PSTPIP-1, RENBP, PGM2, SULF2, FAM7A1, HOM-TES-103, NDUFAF1, CES1, CYP27A1, FLJ33641, GPR177, MID1IP1(MIG-12), PSD4, SF3A1, NOV(CCN3), SGK(SGK1), CDK5R1, LOC642035는 건강한 대조군 개인의 혈액에서 과발현/과잉제시되는 것으로 밝혀졌지만 잠복성 TB 환자의 혈액에서 저발현/하향제시되었으며, 활동성 TB 환자의 혈액에서 큰 정도로 저발현/하향제시되었다.

[0091]

도 8D에서 유전자의 패턴, ARSG, LOC284757, MDM4, CRNL1, IL8, LOC389541, CD300LB, NIN, PHKG2, HIP1는 건강한 개인의 혈액에서 과발현/과잉제시되는 것으로 밝혀졌으나 잠복성 TB 환자 및 활동성 TB 환자 둘다의 혈액

에서는 저발현/하향제시되었다. 역으로, 도 8D에서 유전자, PSMB8(LMP7), APOL6, GBP2, GBP5, GBP4, ATF3, GCH1, VAMP5, WARS, LIMK1, NPC2, IL-15, LMTK2, STX11(FHL4)는 활동성 TB의 혈액에서 과발현/과잉제시되나, 잠복성 TB 환자 및 건강한 대조군 개인의 혈액에서는 저발현/하향제시되는 것으로 밝혀졌다.

[0092] 도 8E에서 FLJ11259(DRAM), JAK2, GSDMDC1(DF5L)(FKSG10), SIPAIL1, [2680400](KIAA1632), ACTA2(ACTSA), KCNMB1(SLO-BETA)의 유전자 패턴은 활동성 TB 환자로부터의 혈액에서 모두 과발현/과잉제시되었지만 잠복성 TB 환자 및 건강한 대조군 개인으로부터의 혈액에서는 제시되지 않거나 또는 심지어 저발현/하향제시되었다. 역으로, 유전자 SPTANI, KIAAD179(Nnp1)(RRP1), FAM84B(NSE2), SELM, IL27RA, MRPS34, [6940246](IL23A), PRKCA(PKCA), CCDC41, CD52(CDW52), [3890241](ZN404), MCCC1(MCCA/B), SOX8, SYNJ2, FLJ21127, FHIT는 활동성 TB 환자의 혈액에서는 저발현/하향제시되었지만 잠복성 TB 환자 또는 건강한 대조군 개인의 혈액에서는 그렇지 않았으며, 여기서, 이들은 과발현/과잉제시되었다.

[0093] 도 8D 및 8E에 나열된 활동성 TB 환자의 혈액에서 과발현/과잉제시되는 것으로 밝혀진 많은 유전자(위에서 기술한 당해 방법에 의해 선택된 이들 119개 유전자내)는 앞서 기술된 활동성, 잠복성 TB 환자 및 건강한 대조군에서 전사 프로파일의 보다엄격한 스트링전시 분석을 사용하는 대체 방법에 의해 확인된 것들에 대해 일반적인 것으로 밝혀졌다(도 8D 및 8E로부터 위에 밑줄친 유전자는 도 7, 표 5의 유전자의 목록에 함유된다, 18개 유전자 p<0.05; 도 8D 및 8E로부터 위에서 이탤릭체로 나타낸 유전자는 도 6, 표 4에서의 유전자의 목록에 함유된다, 46개 유전자 P<0.1).

[0094] 도 8F에 나타낸 유전자의 패턴, CD52(CDW52), [3890241](ZN404), MCCC1(MCCA/B), SOX8, SYNJ2, FLJ21127, FHIT는 활동성 TB 환자의 혈액에서 저발현/하향제시되었으나, 잠복성 TB 환자 또는 건강한 대조군 개인의 혈액에서는 그렇지 않았으며, 여기서, 이들은 어느 것도 과발현/과잉제시되었다. 이는 또한 도 8E에 나타낸다(중복). 유전자 CDKL1(p42), MICALCL, MBNL3, RHD, ST7(RAY1), PPR3R1, [360739](PIP5K2A), AMFR, FLJ22471, CRAT(CAT1), PLA2G4C, ACOT7(AC7)(ACH1), RNF182, KLRC3(NKG2E), HLA-DPB1는 건강한 대조군 개인의 혈액에서 저발현/하향제시되었지만, 잠복성 TB 환자의 혈액에서 과발현/과잉제시되었고, 가장 활동성인 TB 환자의 혈액에서 과발현/과잉제시되었다(도 8F). 결론적으로, 도 8A[도 8B 내지 8F에서는 임상 상태간의 특이성 및 유전자의 해독 불량]에서 총 119개 유전자의 발현의 총체적인 패턴은 감염되지 않은 환자(건강한 대조군)로부터 감염된(활동성 TB 및 잠복성 TB) 환자를 구별하며 추가로, 감염된 환자, 즉, 활동성 TB 환자 및 잠복성 TB 환자의 2개 그룹을 구별한다. 당해 방법을 통해 활동성 TB 환자의 혈액에서 과발현된 많은 유전자는 가장 엄격한 통계학적 필터링을 사용하여 확인된 것들과 동일한 유전자(도 7, 표 6에 나타냄)이며, 많은 것이 IFN-유도성이고/하거나 세포내이입 세포 트래픽(endocytic cellular traffic) 및/또는 지질 대사에 관여한다.

표 6

감독하지 않은 피어슨 상관계수 군집화 알고리즘을 사용하여 활동성 환자, 건강한 개인 및 잠복성 환자 사이에서 함께 사용될 때 차등화되는, 잠복성 환자 및 건강한 개인 또는 활동성 환자 및 건강한 개인 사이에서 현저하게 차등적으로 발현된 것으로 밝혀진 유전자(119개 유전자)

유전자 기호	설명
HMFN0839	폐암 전이-관련된 단백질
LOC653820	
MID1IP1	MID1 상호 작용 단백질 1[창자배형성 특이적인 G12 동족체 [제브라피쉬(zebrafish)]]
SPTAN1	스페트린, 알파, 비-적혈구 1(알파-포드린)
NALP12	NLR 계열, 피린 도메인 함유 12
PSMB8	프로테아좀(프로좀, 마크로파인) 아단위, 베타 형, 8(거대 다중 작용 펩티다제 7)
RNF182	황 꽁거 단백질 182
KCNMB1	킬롭 거대 전도도 칼슘-활성화된 채널, 아제열 M, 베타 구성원 1
	인터루킨 23, 알파 아단위 p19
CDKL1	사이클린-의존성 키나제-유사 1(CDC2-관련 키나제)
IL8	인터루킨 8
NOV	신장-세포종 과발현된 유전자
APOL6	아포지질단백질 L, 6
KLRC3	킬러 세포 펙틴-유사 수용체 아제열 C, 구성원 3
SOX8	SRY (성 결정 영역 Y)-박스 8
B3GALT7	UDP-GlcNAc: 베타Gal 베타-1,3-N-아세틸글루코사미닐트랜스퍼라제 8
GCH1	GTP 사이클로로하이드록세스 1(도파-반응 성 근육긴장이상증)
IL6R	인터루킨 6 수용체
RASGRP4	RAS 구아닐 방출 단백질 4
SGK	헬청/글루코코르티코이드 조절된 키나제
LOC389541	CG14977-PA와 유사
MICALCL	MICAL C-말단 유사
VAMP3	소포-관련된 막 단백질 3(셀룰로브레빈)
NPC2	니이란-ฬ병, C2형
SYNJ2	시납토자닌 2
NIN	니네인(GSK3B 상호 작용 단백질)
MBNL3	머슬블라인드(muscleblind)-유사 3(드로소필라)
FLJ11259	손상-조절된 자가포식현상-조절인자
NALP12	NLR 계열, 피린 도메인 함유 12
LIMK1	
ARSG	아릴설파타제 G
FLJ33641	염색체 5 개방 관독 프레임 29
PADI4	펩티딜 아르기닌 데아미나제, IV형
RENBP	레닌 결합 단백질
SULF2	설파타제 2
GSDMDC1	가스데르민 도메인 함유 1
ST7	중앙형성 7의 역제
RBP7	레티놀 결합 단백질 7, 세포성
HK2	헥소키나제 2
VAMP5	소포-관련된 막 단백질 5(마이오브레빈)
GPR177	G 단백질-결합된 수용체 177
CES1	카복실에스테라제 1(단핵 세포/대식 세포 세린 에스테라제 1)
CD52	CD52 분자
ABCG1	ATP-결합 카세트, 아-계열 G(WHITE), 구성원 1
GBP5	구아닐레이트 결합 단백질 5
MDM4	Mdm4, 3T3 세포 이중 미닛(double minute) 4, p53 결합 단백질 (마우스)로 형질전환됨

[0095]

유전자 기호	설명
SIGLEC5	시알산 결합 Ig-유사 렉틴 5
ARID3A	AT 풍부한 상호작용 도메인 3A (BRIGHT-유사)
KIAA0179	리보솜 RNA 프로세싱 1 동족체 B (에스, 세레비지아에)
PSD4	플렉스트린 및 Sec7 도메인 함유 4
ALOX5AP	아라키도네이트 5-리폭시게나제-활성화 단백질
CSF2RA	콜로니 자극 인자 2 수용체, 알파, 저-친화성 (과립구-대식 세포)
MMP9	매트릭스 메탈로펩티다제 9 (겔라티나제 B, 92kDa 젤라티나제, 92kDa IV형 콜라겐나제)
PGLYRP1	펩티도글리칸 인지 단백질 1
CYP27A1	사이토크롬 P450, 계열 27, 아계열 A, 폴리펩타이드 1
LMTK2	여우원숭이 타이로신 키나제 2
BRI3	뇌 단백질 I3
PILRA	상을 이룬 면역글로불린-유사 형 2 수용체 알파 아연 맹거 단백질 404
FLJ21127	텍토닉 1
GBP2	구아닐레이트 결합 단백질 2, 인터페론-유도성
ST3GAL6	ST3 베타-갈락토시드 알파-2,3-시아릴트랜스퍼라제 6
PLAUR	플라스미노겐 활성인자, 유로키나제 수용체
NCF4	호중구 세포질 인자 4, 40kDa
JAK2	야누스 키나제 2 (단백질 타이로신 키나제)
SREBF1	스테롤 조절 성분 결합 전사 인자 1
SELM	셀레노단백질 M
PPP3R1	단백질 포스파타제 3 (이전에 2B), 조절 아단위 B, 알파 동형
PRKCA	단백질 키나제 C, 알파
PLA2G4C	포스포리파제 A2, 그룹 IVC (세포질성, 칼슘-의존성)
GBP4	구아닐레이트 결합 단백질 4
HIP1	현팅턴 상호작용 단백질 1
PGM2	포스포글루코뮤타제 2
	KIAA1632
S100P	S100 칼슘 결합 단백질 P
IL27RA	인터루킨 27 수용체, 알파
IL15	인터루킨 15
FHIT	취약 히스티딘 트리아드 유전자
FAM84B	서열 유사성 84를 가진 계열, 구성원 B
MCCC1	메틸크로토노일-보조효소 A 카복실라제 1(알파)
ACOT7	아실-CoA 티오에스테라제 7
TNFRSF12A	종양 괴사 인자 수용체 상과, 구성원 12A
SF3A1	스플라이싱 인자 3a, 아단위 1, 120kDa
TNFSF14	종양 괴사 인자 (리간드) 상과, 구성원 14
CD300LB	CD300 분자-유사 계열 구성원 b 알라닐(막) 아미노펩티다제 (아미노펩티다제 N, 아미노펩티다제 M, 미세소체 아미노펩티다제, CD13, p150)
ANPEP	
FAM7A1	
RHD	Rh 혈액 그룹, D 항원
HOM-TES-103	가상 단백질 LOC25900
CCDC41	코일드-코일 도메인 함유 41
CRNL1	구부러진 목 에비 -mRNA 스플라이싱 인자-유사 1 (드로소필라)
NCF1	호중구 세포질성 인자 1, (만성 육아증병, 상염색체 1)
UBTD1	유비퀴틴 도메인 함유 1
FLJ22471	코일드-코일 도메인 함유 92
FAM101B	서열 유사성 101을 갖는 계열, 구성원 B
LOC284757	

[0096]

유전자 기호	설명
LOC649377	
CDK5R1	사이클린-의존성 키나제 5, 조절 아단위 1 (p35) 호모 사피엔스 (사람)의 신경모세포종 Cot 25-정상화된 전체-길이 cDNA 클론 CS0DC025YPO3
MBNL3	근육블라인드-유사 3 (드로소필리)
PSTPIP1	프롤린-세린-트레오닌 포스파티제 상호작용 단백질 1
WARS	트립토판- tRNA 싼타제
HLA-DPB1	주요 조직적합성 복합체, 제II 부류, DP 베타 1
LOC652616	
ACTA2	액틴, 알파 2, 평활근, 대동맥
IBRDC3	IBR 도메인 함유 3
PHKG2	포스포릴라제 키나제, 감마 2 (고환) 포스파티딜이노시톨-4-포스페이트 5-키나제, 형 II, 알파
LOC642035	
AMFR	
RGS19	G-단백질 시그널링 19의 조절인자
C22orf5	염색체 22 개방 판독 프레임 5
ATF3	활성화 전사 인자 3
SIPA1L1	시그널-유도된 증식-관련된 1 유사 1
MRPS34	미토콘드리아 리보솜 단백질 S34
ADAL	아데노신 테아미나제-유사
NDUFAF1	NADH 래하이드로게나제 (유비퀴논) 1 알파 아복합체, 조립 인자 1
CRAT	카르니틴 아세틸트랜스퍼라제
STX11	신탁신 11

[0097]

[0098] 활동성 TB 및 잠복성 TB에서 상이한 상호간의 면역 시그너처는 모듈러 시도를 사용하여 나타낸다. 발병기전에 있어서 추가의 정보를 수득하기 위하여, 이후에, 침당 표준화된 데이터를 광범위한 질병에 걸쳐 공동으로 발현되는 것으로 밝혀진 유전자 전사체의 미리 정의된 군집을 기초로 하며, 흔히 작용 수준에서 관련된 분자 또는 세포의 군집을 나타내는 최근 기술된 안정한 모듈러 분석 프레임워크를 사용하여 추가로 분석하였다(Chaussabel et al., 2008, *Immunity*).

[0099]

[0099] 당해 분석의 목표는 각각의 그룹에 대한 전사 시그너처에 함유된 유전자에 대한 작용 정보를 수득하는 것이므로, 분석은 열외자를 제외하고 본 발병자의 앞서의 분석에서 함께 완벽하게 군집을 이루는 것으로 밝혀진 환자의 아세트에 초점을 맞추었는데, 그 이유는, 이러한 그룹이 질병 과정에 포함된 일반 경로 및 과정을 보다 더 잘 나타내는 경향이 있기 때문이다.

[0100]

[0100] 9명의 활동성 TB 환자, 6명의 건강한 대조군 및 9명의 잠복성 TB 환자를 선택하여 모듈러 분석에 사용하였다. 각각의 비교를 별도로 수행함으로써, 9명의 활동성 TB 환자를 하나의 분석에서 6명의 건강한 대조군과 비교한 후, 9명의 잠복성 TB 환자를 별도의 분석에서 동일한 6명의 건강한 대조군과 비교하였다. 전사체를 필터링하여 비교하는 그룹으로부터 적어도 2명의 개인에서 검출되지 않은 것을 배제하였다. 이후에, 환자 그룹과 건강한 대조군 사이에 차등적으로 발현된 유전자를 확인하기 위하여, 환자 및 건강한 대조군 그룹 사이의 통계적 비교를 수행하였다(비-지표검정 월록슨-만-휘트니 시험,  $P < 0.05$ ). 이후에, 이들 차등적으로 발현된 유전자를 대조군과 비교하여 질병 그룹에서 상향조절된 것들로 분리하고, 질병 그룹에서 하향-조절/하향제시된 것들을 대조군과 비교하였다. 이후에, 이들 목록을 모듈 별로 차례로 분석하였다. 차등적으로 발현된 유전자는 각각의 모듈에서 우세하게 과-발현되거나 우세하게 하향-발현된다. 정당성을 보증하기 위해, 각각의 모듈은 나타낸 방향에서 전체 유전자 변화의 >25%를 가져야 하며 특정 방향에서 변화하는 유전자의 수는 >10이어야 한다. 건강한 대조군에 대해 활동성 TB, 또는 건강한 대조군에 대해 잠복성 TB에 있어서, 전사의 전사 변화를 그래프로 나타내기 위하여, 스포트을 격자상에 정렬하였으며, 각각의 위치는 이들의 원래의 정의를 기초로 상이한 모듈에 상응한다. 스포트 강도는 모듈에 대해 검출된 전사체의 총 수 중 나타낸 방향에서 차등적으로 발현된 전사체 변화의 비율을 나타내는 반면, 스포트 색상은 변화의 극성(적색: 과발현/제시, 청색: 저발현/제시)을 나타낸다. 또한, 모듈의 좌표는 기능적 주석과 관련되어 데이터 해석을 용이하게 할 수 있다(참조: Chaussabel, *Immunity*, 2008; 및 도 9 및 도 10).

[0101]

[0101] 건강한 대조군과 비교하여 활동성 TB의 모듈러 맵(도 9, 표 7A 내지 P; 및 표 8)은 건강한 대조군과 비교하여 잠복성 TB의 맵에 대해 명백한 것으로 밝혀졌다(도 10, 표 7A 내지 도 7F; 및 표 9). 실제로 활동성 TB 및 잠복성 TB로부터 이들 독립적으로 기원한 모듈 맵은 건강한 대조군과 비교하는 경우 질병 상태 둘다에서 변화를 나타내는 모듈에 있어, 유전자 발현/제시의 역 패턴을 나타낸다. 세포독성 세포와 관련된 모듈 M2.1에서 유전자는 활동성 TB에서 저발현/제시되었으며(36% - 표 6F에 나열한 모듈에서 검출된 50개 유전자 중 저발현된/제시된 18개 유전자) 잠복성 TB에서 여전히 과발현/제시(43% - 표 7B에서 나열된 모듈에서 검출된 51개 유전자 중 과발현/제시된 22개 유전자)되었다. 한편, M3.2 및 M3.3("염증")에서 다수의 유전자(표 6J 및 6K에 나열된 유

전자)가 활동성 TB 환자에서 과발현/제시되었으나 잠복성 TB 환자에서 저발현/제시되었다(표 7E 및 7F에 나열된 유전자). 유사하게, M1.5("골수 계통")에서 유전자는 활동성 TB에서 과발현/제시된 반면(표 6D에 나열된 유전자) 이들은 잠복성 TB에서 저발현/제시되었다(표 7A에 나열된 유전자). 일관된 작용 모듈을 형성하지 않았지만 명백히 다양한 유전자 세트로 이루어진, 모듈 M2.10에서의 유전자는 대조군과 비교하여 잠복성 TB에서 저발현/제시되었지만(표 7D에 나열된 유전자) 활동성 TB에서는 과발현되지 않거나 저발현/제시되었다. 이들 유전자들 중 하나는 톨-유사 수용체 적응인자(toll-like receptor adaptor), TRAM이며, 이는 TLR-4(LPS) 및 TLR-3(dsRNA) 시그널링의 하부에 존재한다(참조: Akira, Nat. Rev. Imm.).

[0102] 표 7A 내지 70의 경우, 활동성 TB에 대한 상대적으로 표준화된 발현을 대조군과 비교하여 활동성 환자에서의 발현으로 제공한다. 표 8A 내지 8F에서, 잠복성 TB에 대한 상대적인 표준화된 발현은 잠복성 환자와 비교하여 건강한 대조군에서의 발현으로 제공한다.

[0103]

[표 7a]

M1.2 PTB 대 대조군, 활동성 TB에서 과잉제시된 유전자

상대적인 표준화된 발현	일반명	유전자 기호	설명
	P22_15_PTBVSelect_09May08_PAL2Ttest_UP_M1.2		
2.447	KX; X1k; XKR1	XK	X-연결된 Kx 혈액 그룹 [맥레오증후군(McLeod syndrome)]
2.239	CD62; GRMP; PSEL; CD62P; GMP140; PADGEM; FLJ45155	SELP	셀렉틴 P (과립 막 단백질 140kDa, 항원 CD62)
2.161	URG	EGF	상피 성장 인자 (베타-우로가스트론)
2.133	JAMC; JAM-C; FLJ14529	JAM3	연접 부착 분자 3
2.13	H2B; GL105; H2B.1; H2B/q; H2BFQ; MGC129733; MGC129734	HIST2H2BE	히스톤 군집 2, H2be
1.889	4.1O; P410; EPB41L4O; MGC20553; RP11-439K3.2	FRMD3	FERM 도메인 함유 3
1.875	CKLFSF5; FLJ37521	CMTM5	CKLF-유사 MARVEL 막관통 도메인 함유 5
1.829	ECM; MMRN; GPIa*, EMILIN4	MMRN1	멀티메린 1
1.757	PSA; PROS; PS21; PS22; PS23; PS24; PS25; PS 26; 단백질 S; 단백질 Sa	PROS1	단백질 S (알파)
1.752	F13A	F13A1	응집 인자 XIII, A1 폴리펩타이드
1.698	H2B/S; H2BFT; H2BFAiii; MGC131989	HIST1H2BK	히스톤 군집 1, H2bk
1.638		RTN2	
1.59	TMSA; HTM-알파; TPM1-알파; TPM1-카파	TPM1	트로포마이오신 1 (알파)
1.419		C6orf79	
1.408	BSS; GP1B; CD42B; MGC34595; CD42b-알파	GP1BA	당단백질 Ib (혈소판), 알파 폴리펩타이드 인테그린, 베타 3 (혈소판 당 단백질 IIIa, 항원 CD61)
1.338	CD61; GP3A; GPIIIa	ITGB3	
1.183	CMIP; KIAA1694	CMIP	c-Maf-유도 단백질

[0104]

[0105]

[표 7b]

M1.3 PTB 대 대조군, 활동성 TB에서 하향제시된 유전자

상대적인 표준화된 밸류	일반명	유전자 기호	설명
	P22_15_PTBVCSelct_09May08_PAL2Ttest DOWN_M1.3		
0.82	FLJ31738; KIAA1209	PLEKHG1	플렉스트린 동족체 도메인 함유, 계열 G (RhoGef 도메인 포함) 구성원 1
0.778	SPI-B	SPIB	Spi-B 전사 인자 (Spi-1/PU.1 관련)
0.767	EV9; CTIP1; BCL11A-L; BCL11A-S; FLJ10173; FLJ34997; KIAA1809; BCL11A-XL	BCL11A	B-세포 CLL/림프종 11A (아연 꽁거 단백질)
0.715	MGC20446	CYBASC3	사이토크롬 b, 아스코로베이트 의존성 3
0.677	NIDD; MGC42530	ZDHHC23	아연 꽁거, DHHC-형 함유 23
0.629	ESG; ESG1; GRG1	TLE1	트랜스듀신-유사 스플릿 1의 증진자(E(sp1) 동족체, 드로소필라)
0.612	B29; IGB	CD79B	CD79b 분자, 면역글로불린-관련된 베타
0.581	LYB2; CD72b	CD72	CD72 분자
0.559	KIAA0977	COBL1	COBL-유사 1
0.556	BASH; Ly57; SLP65; BLNK-s; SLP-65; MGC111051	BLNK	B-세포 링커
0.543	TCL1	TCL1A	T-세포 백혈병/림프종 1A
0.518	c-Myc	MYC	v-myc 마이엘로사이토마토시스(myelocytomatosis) 바이러스 종양유전자 동족체 (조류)
0.512	BANK; FLJ20706; FLJ34204	BANK1	안키린 반복체 1을 지닌 B-세포 스캐폴드 단백질
0.51	B4; MGC12802	CD19	CD19 분자
0.496	FCRH1; IFGP1; IRTA5; RP11-367J7.7; DKFZp667O1421	FCRL1	Fc 수용체-유사 1
0.487	FLJ00058	GNG7	구아닌 뉴클레오파이드 결합 단백질 (G 단백질), 감마 7
0.482	FLJ21562; FLJ43762	C13orf18	염색체 13 개방 판독 프레임 18
0.477	BRDG1; STAP1	BRDG1	BCR 하류 시그널링 1
0.471	MGC10442	BLK	B 림프구 타이로신 키나제
0.467	R1; JPO2; RAM2; DKFZp762L0311	CDCA7L	세포 분열 주기 관련된 7-유사
0.445	ORP10; OSBP9; FLJ20363	OSBPL10	옥시스테롤 결합 단백질-유사 10
0.397	8HS20; N27C7-2	VPREB3	예비-B 림프구 유전자 3
0.361	LAF4; MLLT2-유사	AFF3	AF4/FMR2 계열, 구성원 3
0.334	FCRL; FREB; FCRLX; FCRLb; FCRLd; FCRLe; FCRLMI; FCRLcl; FCRLc2; MGC4595; RP11-474I16.5	FCRLM1	Fc 수용체-유사 A

[0106]

[0107]

[표 7c]

M1.4 PTB 대 대조군, 활동성 TB에서 하향제시된 유전자

상대적인 표준화된 밸류	일반명	유전자 기호	설명
	P22_15_PTBVcSelect_09May08_PAL2Ttest_DOWN_M1.4		
0.907	FLJ12298; ZKSCAN14	ZNF394	아연 펑거 단백질 394
0.835	JMY; FLJ37870; MGC163496	JMY	연접-매개 및 조절 단백질
0.825	C1; C2; HNRNP; SNRPC; hnRNP; MGC104306; MGC105117; MGC117353; MGC131677	HNRPC	이중 핵 리보뉴클레오 단백질 C (C1/C2)
0.78	SON3; BASS1; DBP-5; NREBP; C21orf50; FLJ21099; FLJ33914; KIAA1019	SON	SON DNA 결합 단백질
0.77	HMGE; FLJ25609	GRPEL1	GrpE-유사 1, 미토콘드리아 [o. 콜라이(E. coli)]
0.747	HEPP; FLJ20764; MGC19517	CDCA4	세포 분열 주기 관련된 4
0.723	RITA; ZNF361; ZNF463; DKFZp686L0787	ZNF331	아연 펑거 단백질 331
0.698	FLJ12670; FLJ20436	C12orf41	염색체 12 개방 관독 프레임 41
0.698	DRBF; MMP4; MPP4; NF90; NFAR; TCP80; DRBP76; NFAR-1; MPHOSPH4; NF-AT-90	ILF3	인터루킨 인핸서 결합 인자 3, 90kDa 단백질 포스파타제 1, 조절 (억제제) 아단위 16B
0.689	TIMAP; ANKRD4; KIAA0823	PPP1R16B	
0.678	PRP21; PRPF21; SAP114; SF3A120	SF3A1	스플라이싱 인자 3a, 아단위 1, 120kDa
0.667	SDS; SWDS; CGI-97; FLJ10917	SBDS	슈와크만-보디안-다이아몬드 증후군(Shwachman-Bodian-Diamond syndrome)
0.665	BL11; HB15	CD83	CD83 분자
0.645	NOT; RNR1; HZF-3; NURR1; TINUR	NR4A2	핵 수용체 아제열 4, 그룹 A, 구성원 2
0.62	H1RNA	RNASEH1	리보뉴클레아제 H1

[0108]

[0109]

[표 7d]

M1.5 PTB 대 대조군, 활동성 TB에서 과잉제시된 유전자

상대적인 표준화된 발현	일반명	유전자 기호	설명
	P22_15_PTBVCSelct_09May08_PAL2Ttest UP M1.5		
2.384	VHR	DUSP3	이중 특이성 포스파타제 3 (백시니아 바이러스 포스파타제 VHL-관련)
2.139	4.1B; DAL1; DAL-1; FLJ37633; KIAA0987	EPB41L3	적혈구 막 단백질 벤드 4.1-유사 3
2.014	HXX3; HKIII	HK3	헥소키나제 3 (백색 세포)
1.972	HL14; MGC75071	LGALS2	렉틴, 갈اكتоз이드-결합, 가용성, 2
1.844	KYNU	KYNU	키누레니나제 (L-키누레닌 하이드롤라제)
1.618	BLVR; BVRA	BLVRA	빌리베르딘 리덕타제 A
1.594	RP35; SEMB; SEMAB; CORD10; FLJ12287; RP11-54H19.2	SEMA4A	세마 도메인, 면역글로불린 도메인 (Ig), 막관통 도메인 (TM) 및 짧은 세포질 도메인, (세마포린) 4A
1.535		GRN	
1.531	G6S; MGC21274	GNS	글루코사민 (N-아세틸)-6-설피타제 [산필리포병(Sanfilippo disease) IIID]
1.524	FOAP-10; EMILIN-2; FLJ33200	EMILIN2	엘라스틴 마이크로피브릴 인터파세르 2
1.507	cent-b; HSA272195	CENTA2	센타우린, 알파 2
1.449	APPs; CPSB	CTSB	카텝신 B
1.438	ASGPR; CLEC4H1; Hs.12056	ASGR1	아시알로당단백질 수용체 1
1.433	CD32; FCG2; FcGR; CD32A; CDw32; FCGR2; IGFR2; FCGR2A1; MGC23887; MGC30032	FCGR2A	IgG 의 Fc 단편, 저 친화성 IIa, 수용체 (CD32)
1.425	TIL4; CD282	TLR2	톨-유사 수용체 2
1.424	PI; A1A; AAT; PII; A1AT; MGC9222; PRO2275; MGC23330	SERPINA1	세르핀 펩티다제 억제제, 클레이드 A (알파-1 항프로테이나제, 안티트립신), 구성원 1
1.413	TEM7R; FLJ14623	PLXDC2	플렉신 도메인 함유 2
1.41	CD14	CD14	CD14 분자
1.398	Rab22B	RAB31	RAB31, 구성원 RAS 종양유전자 계열
1.386	FEX1; FEEL-1; FELE-1; STAB-1; CLEVER-1; KIAA0246	STAB1	스타빌린 1
1.352	MYD88	MYD88	골수 분화 주요 반응 유전자 (88)
1.349	MLN70; S100C	S100A11	S100 칼슘 결합 단백질 A11
1.347	FLJ22662	FLJ22662	가상 단백질 FLJ22662
1.346	CLNZ; GIG1; LPIC; TPP I; MGC21297	TPP1	트리펩ти딜 펩티다제 I
1.251	p75; TBPII; TNFBR; TNFR2; CD120b; TNFR80; TNF-R75; p75TNFR; TNF-R-II	TNFRSF1B	종양 피사 인자 수용체 상과, 구성원 1B
1.239	JTK9	HCK	조혈 세포 키나제
1.172	IBA1; AIF-1; IRT-1	AIF1	동종이식 염증 인자 1

[0110]

[0111]

[표 7e]

M1.8 PTB 대 대조군, 활동성 TB에서 하향제시된 유전자

상대적인 표준화된 발현	일반명	유전자 기호	설명
	P22_15_PTBVSelect_09May08_PAL2Ttest_DOWN_M1.8		
0.878	DBP2; PRP8; DDX16; PRO2014	DHX16	DEAH (Asp-Glu-Ala-His) 박스 폴리펩타이드 16
0.858	AN11; HAN11	WDR68	WD 반복체 도메인 68
0.843	NDR; NDR1	STK38	세린/트레오닌 키나제 38
0.821	FLJ20097; FLJ23581; KIAA1861	FLJ20097	코일드-코일 도메인 함유 132
0.814	FLJ42526; FLJ45813; MGC71764	RSBN1L	라운드 정자세포 기본 단백질 1-유사
0.809	C9orf55; C9orf55B; FLJ20686; ba513M16.3; DKFZp686I09113	DENND4C	DENN/MADD 도메인 함유 4C
0.808	SON3; BASS1; DBP-5; NRREBP; C21orf50; FLJ21099; FLJ33914; KIAA1019	SON	SON DNA 결합 단백질
0.807	p150; VPS15; MGC102700	PIK3R4	포스포이노시티드-3-키나제, 조절 아단위 4, p150
0.8	4E-T; Clast4; FLJ21601; FLJ26551	EIF4ENIF1	진핵세포 해독 개시 인자 4E 핵 유입 인자 1
0.798	TAF2D; TAFII100	TAF5	TAF5 RNA 폴리머라제 II, TATA 박스 결합 단백질 (TBP)-관련된 인자, 100kDa
0.793	DBR1	DBR1	탈분지 효소 동족체 1 (에스. 세레비지아에)
0.785	SMAP; p120; SMAP2	BRD8	브로모 도메인 함유 8
0.785		CASP2	
0.772	TRF2; TRBF2	TERF2	텔로머 반복체 결합 인자 2
0.772	hNUP133; FLJ10814; MGC21133	NUP133	뉴클레오포린 133kDa
0.762	MGC4268; FLJ38552	MGC4268	AMME 염색체 영역 유전자 1-유사
0.761	PUMH2; PUML2; FLJ36528; KIAA0235; MGC138251; MGC138253	PUM2	푸밀리오 동족체 2 (드로소필라)
0.751	BYE1; DIO1; DATF1; DIDO2; DIDO3; DIO-1; FLJ11265; KIAA0333; MGC16140; C20orf158; dJ885L7.8; DKFZp434P1115	DIDO1	사멸 유도인자 – 오블리터레이터(obliterator) 1
0.738	KOX5; ZNF13	ZNF45	아연 링거 단백질 45
0.727	FLJ20558	FLJ20558	염색체 2 개방 판독 프레임 42
0.713	FLJ32343	CWF19L2	CWF19-유사 2, 세포 주기 대조군[에스. 폼베(S. pombe)]
0.709	MGC16770	RAB22A	RAB22A, 구성원 RAS 종양유전자 계열
0.708	FLJ14431	CBR4	카보닐 리덕타제 4
0.704	AASDH; NRPS998; NRPS1098	AASDH	2-아미노아이디페 6-세미알데하이드 데하이드로게나제
0.698	ZSCAN11	ZNF232	아연 링거 단백질 232
0.692	NudCL; KIAA1068	NUDCD3	NudC 도메인 함유 3
0.691	CCA1; MtCCA; CGI-47	TRNT1	tRNA 뉴클레오포린 트랜스퍼라제, CCA- 첨가, 1

[0112]

상대적인 표준화된 발현	일반명	유전자 기호	설명
0.689	RBM30; RBM4L; ZCRB3B; ZCCHC15; MGC10871	RBM4B	RNA 결합 모티프 단백질 4B
0.683	CLF; CRN; HCRN; SYF3; MSTP021	CRNKL1	구부러진 목 예비-mRNA 스플라이싱 인자-유사 1 (드로소필라)
0.676	ZBU1; HLTf1; RNF80; HIP116; SNF2L3; HIP116A; SMARCA3	SMARCA3	헬리카제-유사 전사 인자
0.666	SWAN; KIAA0765; HRHFB2091	RBM12	RNA 결합 모티프 단백질 12
0.658	FLJ10287; FLJ11219	CCDC76	코일드-코일 도메인 함유 76
0.654	INT5; KIAA1698	KIAA1698	인테그레이터 복합체 아단위 5
0.652	IAN7; hIAN7; MGC27027	GIMAP7	GTPase, IMAP 계열 구성원 7
0.651	TTC20; DKFZP586B0923	KIAA1279	KIAA1279
0.65	RAL; MGC48949	RALA	v-ral 원숭이 백혈병 바이러스 종양유전자 동족체 A (ras 관련)
0.639	MPRB; LMPB1; C6orf33; FLJ32521; FLJ46206	PAQR8	프로게스틴 및 아디포 Q 수용체 계열 구성원 VIII
0.634	FLJ11171	FLJ11171	가상 단백질 FLJ11171
0.613	LCF; IL-16; prIL-16; FLJ16806; FLJ42735; FLJ44234; HsT19289	IL16	인터루킨 16 (림프구 화학주성 인자)
0.611	FLJ33226; 1190004M21Rik	PYGO2	피고푸스(pygopus) 동족체 2 (드로소필라)
0.577	GLC1G; UTP21; TAWDRP; TA-WDRP; DKFZp686I1650	WDR36	WD 반복체 도메인 36
0.574	FLJ20287; bA208F1.2; RP11-208F1.2	TEX10	고환 발현된 10
0.568	KIAA1982	ZNF721	아연 맹거 단백질 721
0.55	FLJ22457; RP5-1180E21.2	DENND2D	DENN/MADD 도메인 함유 2D
0.545	ozrl1; ZFP260	ZFP260	아연 맹거 단백질 260
0.491	GLS1; FLJ10358; KIAA0838; DKFZp686O15119	GLS	글루타미나제

[0113]

[ 표 7f ]

M2.1 PTB 대 대조군, 활동성 TB에서 하향제시된 유전자

상대적인 표준화된 발현	일반명	유전자 기호	설명
	P22_15_PTBVSelect_09May08_PAL2Ttest_DOWN_M2.01		
0.712	PTPMEG; PTPMEG1	PTPN4	단백질 타이로신 포스파타제, 비-수용체 4형 (거핵세포)
0.665	FLJ34563; MGC35163	SAMD3	멜균 알파 모티프 도메인 함유 3
0.643	STAT4	STAT4	시그널 전달인자 및 전사의 활성인자 4
0.638	DIL1; DIL-1; 민딘(Mindin); M-스폰딘	SPON2	스폰딘 2, 세포외 매트릭스 단백질
0.631	SLP2; SGA72M; CHR11SYT; KIAA1597; MGC102768	SYTL2	시냅토타그민-유사 2
0.628	DORZ1; DKFZP564O243	ABHD14A	ab하이드롤라제 도메인 함유 14A
0.615	LPAP; CD45-AP; MGC138602; MGC138603	PTPRCAP	단백질 타이로신 포스파타제, 수용체 형, C-관련된 단백질
0.595	PKCL; PKC-L; PRKCL; MGC5363; MGC26269; nPKC-에타	PRKCH	단백질 키나제 C, 에타
0.581	MGC33870; MGC74858	NCALD	뉴로칼신 멜타
0.566	T11; SRBC	CD2	CD2 분자
0.554	KLR; CD314; NKG2D; NKG2-D; D12S2489E	KLRK1	킬러 세포 렉틴-유사 수용체 아계열 K, 구성원 1
0.546	LAX; FLJ20340	LAX1	림프구 막판통 적응인자 1
0.529	CD122; P70-75	IL2RB	인터루킨 2 수용체, 베타
0.515	FEZ1	FEZ1	근육섬유다발수축 및 연장 단백질 제타 1 (차이긴 I)
0.509	CHK; CTK; HYL; Lsk; HYLTk; HHYLTK; MGC1708; MGC2101; DKFZp434N1212	MATK	거핵세포-관련된 타이로신 키나제
0.468	CLIC3	CLIC3	클로라이드 세포내 채널 3
0.439	IC7; CD337; LY117; NKp30	NCR3	천연 세포독성 개시 수용체 3
0.39	TRYP2	GZMK	그랜자임 K (그랜자임 3; 트립타제 II)

[0115]

[0116]

[표 7g]

M2.4 PTB 대 대조군, 활동성 TB에서 하향제시된 유전자

상대적인 표준화된 밸류	일반명	유전자 기호	설명
	P22_15_PTByCSelect_09May08_PAL2Ttest_DOWN_M2.04		
0.858	ATPO; OSCP	ATP5O	ATP 신타제, H <sup>+</sup> 전달, 미토콘드리아 F1 복합체, O <sub>A</sub> 단위 (올리고마이신 민감성 부여 단백질)
0.831	M9; eIF3k; ARG134; PTD001; HSPC029; MSTP001; PLAC-24; PRO1474	EIF3S12	진핵세포 해독 개시 인자 3, 아단위 12
0.822	RPL8	RPL8	리보솜 단백질 L8
0.811	EEF2; EEF-2	EEF2	진핵세포 해독 연장 인자 2
0.804	RPB9; hRPB14.5	POLR2I	폴리머라이제 (RNA) II (DNA 지시된) 폴리펩타이드 I, 14.5kDa
0.801	RP8; ZMYND7; MGC12347	PDCD2	프로그램된 세포 사멸 2
0.788	ARI2; TRIAD1; FLJ10938; FLJ33921	ARIH2	아리아드네 동족체 2 (드로소필라)
0.776	Erv46; CGI-54; PRO0989; C20orf47; NY-BR-84; SDBCAG84; dj477O4.2	ERGIC3	ERGIC 및 풀지 3
0.771	ART-27	UXT	편재적으로-발현된 전사체
0.769	H12.3; HLC-7; PIG21; RACK1; Gnb2-rs1	GNB2L1	구아닌 뉴클레오타이드 결합 단백질 (G 단백질), 베타 폴리펩타이드 2-유사 1
0.766	eIF3h; eIF3-p40; MGC102958; eIF3-감마	EIF3S3	진핵세포 해독 개시인자 3, 아단위 3 감마, 40kDa
0.759	HCA56	LGTN	리가틴
0.758	2PP2A; IGAAD; I2PP2A; PHAPII; TAF-I베타	SET	SET 전자 (골수 백혈구-관련된)
0.752	ANG2	C11orf2	염색체 11 기방 관독 프레임 2
0.74	C6.1B	MTCP1	성숙한 T-세포 증식 1
0.736	LCP; HCLP-1	KLHDC2	켈크 도메인 함유 2
0.722	DKFZP566B023	RPL36	리보솜 단백질 L36
0.712	KOX30	ZNF32	아연 펑거 단백질 32
0.71	AMP; MGC125856; MGC125857; MGC129961; DKFZp686D13177	APRT	아데닌 포스포리보실트랜스퍼라제
0.694	GDH; MGC149525; MGC149526; 람다-CRY	CRYL1	결정성, 람다 1
0.689	FLJ27451; MGC102930	RPS20	리보솜 단백질 S20
0.686	INT6; eIF3e; EIF3-P48; eIF3-p46	EIF3S6	진핵세포 해독 개시 인자 3, 아단위 6 48kDa
0.68	LK4; hCERK; FLJ21430; FLJ23239; KIAA1646; MGC131878; dA59H18.2; dA59H18.3; DKFZp434E0211	CERK	세라마이드 키나제
0.675	HINT; PKCI-1; PRKCNH1	HINT1	히스티딘 트리아드 뉴클레오타이드 결합 단백질 1
0.675	NHP2; NHP2P	NOLA2	핵 단백질 계열 A, 구성원 2 (H/ACA 소핵 RNP)
0.668	AMP; MGC125856; MGC125857; MGC129961; DKFZp686D13177	APRT	아데닌 포스포리보실트랜스퍼라제
0.667	TOM7	TOMM7	외부 미토콘드리아 막 7 동족체 (효모)의

[0117]

상대적인 표준화된 밸류	일반명	유전자 기호	설명
0.655	SIVA; CD27BP; Siva-1; Siva-2	SIVA	트랜스로카제
0.646	PBP; HCNP; PEPB; RKIP	PEPB1	SIVA1, 아폽토시스-유도 인자
0.628	PRP9; PRPF9; SAP61; SF3a60	SF3A3	포스파티딜에탄올아민 결합 단백질 1
0.62	FLJ12525; dj475B7.2; RP3-475B7.2	LAS1L	스플라이싱 인자 3a, 아단위 3, 60kDa
0.593	EC45; RPL10; RPLY10; RPYL10; FLJ26304; MGC88603	RPL15	LAS1-유사 (에스. 세레비지아에)
0.567	HNRNPs; JKTBP; JKTBP2; laAUF1	HNRPDL	리보솜 단백질 L15
0.562	SMD2; SNRPD1	SNRPD2	이중 핵 리보뉴클레오단백질 D-유사
0.549		PPIA	소핵 리보뉴클레오단백질 D2
0.527	LOC130074; MGC87527	LOC130074	폴리펩타이드 16.5kDa
0.524	RDGBB; RDGBB1; RDGB-베타	PITPNC1	포스파티딜이노시톨 전달 단백질, 세포질 1
0.5	HEI10; C14orf18	CCNB1IP1	사이클린 B1 상호작용 단백질 1
0.492	EAP; HBP15; HBP15/L22	RPL22	리보솜 단백질 L22

[0118]

[0119]

[표 7h]

M2.8 PTB 대 대조군, 활동성 TB에서 하향제시된 유전자

상대적인 표준화된 발현	일반명	유전자 기호	설명
	P22_15_PTByCSelect_09May08_PAL2Ttest_DOWN_M2.08		
0.871	KPL1; PHR1; PHRET1	PLEKHB1	플렉스트린 상동성 도메인 함유, 계열 B (에벳린스) 구성원 1
0.816	MGC132014	INPP4B	이노시톨 폴리포스페이트-4-포스파타제, II형, 105kDa
0.732	SEP2; SEPT2; KIAA0128; MGC16619; MGC20339; RP5-876A24.2	6-Sep	셉틴 6
0.711	GIL	AQP3	아쿠아포린 3(길 혈액 그룹)
0.691	FLJ36386	LZTFL1	류신 지퍼 전사 인자-유사 1
0.67	p52; p75; PAIP; DFS70; LEDGF; PSIP2; MGC74712	PSIP1	PC4 및 SFRS1 상호작용 단백질 1
0.669	GRG; ESP1; GRG5; TLE5; AES-1; AES-2	AES	스플릿의 아미노-말단 인핸서
0.668	p33; TNFC; TNFSF3	LTB	림프독소 베타 (TNF 상과, 구성원 3)
0.646	KIAA0521; MGC15913	ARHGEF18	rho/rac 구아닌 뉴클레오파이드 교환 인자 (GEF) 18
0.634	TEM3; TEM7; FLJ36270; FLJ45632; DKFZp686F0937	PLXDC1	플렉신 도메인 함유 1 예비-B-세포 백혈구 호메오박스
0.626	HPIP	PBXIP1	상호작용 단백질 1
0.621	KIAA0495; MGC138189	KIAA0495	KIAA0495
0.615	KUP; ZNF46	ZBTB25	아연 맹거 및 BTB 도메인 함유 25
0.61	FLJ20729; FLJ20760; NY-BR-75; MGC131963	C1orf181	염색체 1 개방 관독 프레임 181
0.609	AAG6; PKCA; PRKACA; MGC129900; MGC129901; PKC-알파	PRKCA	단백질 카니제 C, 알파
0.604	CGI-25	NOSIP	산화질소 신타제 상호작용 단백질
0.602	FLJ20152; FLJ22155; FLJ22179	FLJ20152	서열 유사성134를 지닌 계열, 구성원 B
0.599	FRA3B; AP3Aase	FHIT	취약 히스티딘 트리아드 유전자
			WD 반복체 도메인 74; 동의어: FLJ10439, FLJ21730; 호모 사피엔스 WD 반복체 도메인 74 (WDR74), mRNA.
0.596	WDR74	WDR74	통합 막 단백질 2A
0.595	E25A; BRICD2A	ITM2A	아연 맹거 단백질 84
0.587	HPP2	ZNF84	EPH 수용체 A4
0.58	SEK; HEK8; TYRO1		
0.578	SID1; SID-1; FLJ20174; B830021E24Rik	SIDT1	SID1 막관통 계열, 구성원 1
0.557	LTBP2; LTBP-3; pp6425; FLJ33431; FLJ39893; FLJ42533; FLJ44138; DKFZP586M2123	LTBP3	침복성 형질전환 성장 인자 베타 결합 단백질 3
0.556	V; RASGRP; hRasGRP1; MGC129998; MGC129999; CALDAG-GEFI; CALDAG-GEFII	RASGRP1	RAS 구아닐 방출 단백질 1 (칼슘 및 DAG-조절된)
0.546	TTF; ARHH	RHOH	ras 동족체 유전자 계열, 구성원 H
0.545	LAT3; LAT-2; y+LAT-2; KIAA0245; DKFZp686K15246	SLC7A6	용질 담체 계열 7(양이온성 아미노산 전달체, y+ 시스템), 구성원 6

[0120]

상대적인 표준화된 별현	일반명	유전자 기호	설명
0.541	TP120	CD6	CD6 분자
0.537	MGC29816	CHMP7	CHMP 계열, 구성원 7
0.53	DAGK; DAGK1; MGC12821; MGC42356; DGK-알파	DGKA	디아실글리세롤 키나제, 알파 80kDa
0.523	hly9; mLY9; CD229; SLAMF3	LY9	림프구 항원 9
0.52	EMT; LYK; PSCTK2; MGC126257; MGC126258	ITK	IL2-유도성 T-세포 키나제
0.519	TACTILE; MGC22596; DKFZp667E2122	CD96	CD96 분자
0.518	SEP2; SEPT2; KIAA0128; MGC16619; MGC20339; RP5- 876A24.2	6-Sep	셋턴 6
0.501	SCAP1; SKAP55	SCAP1	src 키나제 관련된 인단백질 1
0.49	FLJ12884; MGC130014; MGC130015	C10orf38	염색체 10 개방 판독 프레임 38.
0.488	T1; LEU1	CD5	CD5 분자
0.487	MAL	MAL	mal, T-세포 분화 단백질
0.484	SATB1	SATB1	SATB 호메오박스 1
0.48	LDH-H; TRG-5	LDHB	락테이트 테하이드로게나제 B
0.473	Ray; FLJ39121; DKFZP586F1318	SH3YL1	SH3 도메인 함유, Ysc84-유사 1(에스. 세레비지아에)
0.466	P19; SGRF; IL-23; IL-23A; IL23P19; MGC79388	IL23A	인터루킨 23, 알파 아단위 p19
0.465	KE6; FABG; HKE6; FABGL; RING2; H2-KE6; D6S2245E; dJ1033B10.9	HSD17B8	하이드록시스테로이드 (17-베타) 데하이드로게나제 8
0.456	ARH; ARH1; ARH2; FHCB1; FHCB2; MGC34705; DKFZp586D0624	DDLRAP1	저 밀도 지단백질 수용체 적응인자 단백질 1
0.453	MGC45416; DKFZp686C03164	OCIAD2	OCIA 도메인 함유 2
0.451	CD172g; SIRPB2; SIRP-B2; bA77C3.1; SIRP감마	SIRPB2	시그널-조절 단백질 감마
0.435	GP40; TP41; Tp40; LEU-9	CD7	CD7 분자
0.427	MGC15763	MGC15763	옥시도리덕타제 NAD-결합 도메인 함유 1
0.41	AS160; DKFZp779C0666	TBC1D4	TBC1 도메인 계열, 구성원 4
0.404	HMIC; MANIC; MAN1A3; pp6318	MAN1C1	만노시다제, 알파, 제1C 부류, 구성원 1
0.401	Tp44; MGC138290	CD28	CD28 분자
0.394	FLJ12586	ZNF329	아연 평거 단백질 329
0.39	TCF-1; MGC47735	TCF7	전사 인자 7 (T-세포 특이적인, HMG- 박스)
0.385	ABLIM; LIMAB1; LIMATIN; MGC1224; FLJ14564; KIAA0059; DKFZp781D0148	ABLIM1	액틴 결합 LIM 단백질 1
0.383	NSE2; BCMP101	FAM84B	서열 유사성 84를 가진 계열, 구성원 B
0.377	TOSO	FAIM3	Fas 아폽토시스 억제 분자 3
0.371	EEIG1; C9orf132; MGC50853; bA203J24.7	C9orf132	서열 유사성 102를 가진 계열, 구성원 A
0.36	RIT1; CTIP2; CTIP-2; hRIT1- 알파	BCL11B	B-세포 CLL/림프종 11B (아연 평거 단백질)
0.33	CLP24; FLJ20898; MGC111564	C16orf30	염색체 16 개방 판독 프레임 30
0.315	TCF1알파; DKFZp586H0919	LEF1	림프구 인핸서-결합 인자 1

[0121]

상대적인 표준화된 별현	일반명	유전자 기호	설명
0.29	BLR2; EBI1; CD197; CDw197; CMKBR7	CCR7	케모킨 (C-C 모티프) 수용체 7
0.244	STK37; PASKIN; KIAA0135; DKFZP434O051; DKFZp686P2031	PASK	PAS 도메인 함유 세린/트레오닌 키나제
0.205	NRP2	NELL2	NEL-유사 2 (닭)

[0122]

[0123]

[ 표 7i ]

M3.1 PTB 대 대조군, 활동성 TB에서 과잉제시된 유전자

상대적인 표준화된 밸류	일반명	유전자 기호	설명
	P22_15_PTByCSelect_09May08_PAL2Ttest_UP_M3.1		
17.93	MGC22805	ANKRD22	안키린 반복체 도메인 22
14.86	C1IN; C1NH; HAE1; HAE2; C1INH	SERPING1	세르핀 웨터다제 억제제, 클레이드 G (C1 억제제), 구성원 1, (혈관부종, 유전)
9.425	cig5; vig1; 2510004L01Rik	RSAD2	라디칼 S-아데노실 메티오닌 도메인 함유 2
8.938	BRESI1; MGC29634	EPSTI1	상피 기질 상호작용 1 (유방)
8.226	GS3686; C1orf29	IFI44L	인터페론-유도된 단백질 44-유사
7.566	GBP1	GBP1	구아닐레이트 결합 단백질 1, 인터페론-유도성, 67kDa
5.677	p44; MTAP44	IFI44	인터페론-유도된 단백질 44
4.701	LAP; PEPS; LAPEP	LAP3	류신 아미노웹타이드 3
4.401	IRG2; IFI60; IFIT4; ISG60; RIG-G; CIG-49; GARG-49	IFIT3	테트라트리코펩타이드 반복체 3을 갖는 인터페론-유도된 단백질
4.091	OIAS; IFI-4; OIASI	OAS1	2'-5'-올리고아데닐레이트 신테타제 1, 40/46kDa
3.947	p100; MGC133260	OAS3	2'-5'-올리고아데닐레이트 신테타제 3, 100kDa
3.944	G1P2; UCRP; IFI15	G1P2	ISG15 유비퀴린-유사 개질체
3.915	UEF1; DRIF2; C7orf6; FLJ39885; KIAA2005	SAMD9L	멸균 알파 모티프 도메인 함유 9-유사
3.909	MMTRA1B	PLSCR1	인지질 스크램블라제 1
3.792	XAF1; BIRC4BP; HSXIAPAF1	BIRC4BP	XIAP 관련된 인자-1
3.731	RIGE; SCA2; RIG-E; SCA-2; TSA-1	LY6E	림프구 항원 6 복합체, 위치 E
3.726	C7; IFI10; INP10; IP-10; crg-2; mob-1; SCYB10; gIP-10	CXCL10	케모킨 (C-X-C 모티프) 리간드 10
3.668	FBG2; FBS2; FBX6; Fbx6b	FBXO6	F-박스 단백질 6
3.652	RNF94; STAF50; GPSTAF50	TRIM22	3 부분의 모티프-함유 22
3.619	LOC129607	LOC129607	가장 단백질 LOC129607
3.419	ISGF-3; STAT91; DKFZp686B04100	STAT1	시그널 전달인자 및 전사의 활성인자 1, 91kDa
3.398	TRIP14; p59OASL	OASL	2'-5'-올리고아데닐레이트 신타제-유사
3.284	IFP35; FLJ21753	IFI35	인터페론-유도된 단백질 35
3.154	LOC26010; DNAPTP6; DKFZp564A2416	DNAPTP6	바이러스 DNA 폴리머라제-트랜스활성화된 단백질 6
3.076	BAL; BAL1; FLJ26637; FLJ41418; MGC:7868; DKFZp666B0810; DKFZp686M15238	PARP9	폴리(ADP-리보즈) 폴리머라제 계열, 구성원 9
3.032	BAL2; KIAA1268	PARP14	폴리 (ADP-리보즈) 폴리머라제 계열, 구성원 14
2.977	RIG-B; UBCH8; MGC40331	UBE2L6	유비퀴린-접합 효소 E2L 6
2.839	AP1; PSF1; ABC17; ABCB2; RING4; TAP1N; D6S114E; FLJ26666; FLJ41500; TAP1*0102N	TAP1	전달체 1, ATP-결합 카세트, 아-계열 B (MDR/TAP)
2.814	MX; MxA; IFI78; IFI-78K	MX1	믹소바이러스 (인플루엔자 바이러스) 내성 1, 인터페론-유도성 단백질 p78

[0124]

상대적인 표준화된 발현	일반명	유전자 기호	설명
			(마우스)
2.632		IRF7	
2.511	GCH; DYT5; GTPCH1; GTP-CH-1	GCH1	GTP 사이클로하이드롤라제 1 (도파-반응성 근육긴장이상증)
2.434	9-27; CD225; IFI17; LEU13	IFITM1	인터페론 유도된 막관통 단백질 1 (9-27)
2.415	G10P2; IFI54; ISGF54; cig42; IFI-54; GARG-39; ISG-54K	IFIT2	테트라트리코펩타이드 반복체 2를 갖는 인터페론-유도된 단백질
2.414	H1cd; MDA5; MDA-5; IDDM19; MGC133047	IFIH1	헬리카제 C 도메인 1으로 유도된 인터페론
2.378	P113; ISGF-3; STAT113; MGC59816	STAT2	시그널 전달인자 및 전사의 활성인자 2, 113kDa
2.321	TL2; APO2L; CD253; TRAIL; Apo-2L	TNFSF10	종양 피사 인자 (리간드) 상과, 구성원 10
2.32	TEL2; TELB; TEL-2	ETV7	ets 변이체 유전자 7 (TEL2 종양유전자)
2.214	OIAS; IFI-4; OIASI	OAS1	2',5'-올리고아데닐레이트 신타제 1, 40/46kDa
2.206	APT2; PSF2; ABC18; ABCB3; RING11; D6S217E	TAP2	전달체 2, ATP-결합 카세트, 아-계열 B (MDR/TAP)
2.134	MGC78578	OAS2	2'-5'-올리고아데닐레이트 신타제 2, 69/71kDa
2	VRK2	VRK2	백시니아 관련 키나제 2
1.975	PN-1; PSNI; UMPH; UMPH1; P5'N-1; cN-III; MGC27337; MGC87109; MGC8728	NT5C3	5'-뉴클레오티다제, 세포질성 III
1.895	RNF88; TRIM5알파	TRIM5	3 부분의 모티프-함유 5
1.89	CGI-34; PNAS-2; C9orf83; HSPC177; SNF7DC2	CHMP5	크로마틴 변형 단백질 5
1.863	ZC3H1; PARP-12; ZC3HDC1; FLJ22693	PARP12	풀리 (ADP-리보즈) 풀리미라제 계열, 구성원 12
1.845	PKR; PRKR; EIF2AK1; MGC126524	EIF2AK2	진핵세포 해독 개시 인자 2-알파 키나제 2
1.842	90K; MAC-2-BP	LGALS3BP	렉틴, 갈락토시드-결합, 가용성, 3 결합 단백질
1.807	RNF88; TRIM5알파	TRIM5	3 부분의 모티프-함유 5
1.743	C15; 온진(onzin)	PLAC8	태반-특이적인 8
1.732	p48; IRF9; IRF-9; ISGF3	ISGF3G	인터페론-자극된 전사 인자 3, 감마 48kDa
1.713	CD317	BST2	골수 기질 세포 항원 2
1.665	ESNA1; ERAP140; FLJ45605; MGC88425; Nbla00052; Nbla10993; dfl187j11.3	NCOA7	핵 수용체 보조활성인자 7
1.649	FLJ39275; MGC131926	ZNFX1	아연 링거, NFX1-형 함유 1
1.628	VODI; IFI41; IFI75; FLJ22835	SP110	SP110 핵체 단백질
1.627	EFP; Z147; RNF147; ZNF147	TRIM25	3 부분의 모티프-함유 25
1.523	NMI	NMI	N-myc (및 STAT) 상호작용 인자
1.505	TRAP; KIAA1529; PCTAIRE2BP; RP11-508D10.1	TDRD7	튜우더 도메인 함유 7
1.499	DSH; G1P1; IFI4; p136; ADAR1; DRADA; DSRAD; IFI-4; K88dsRBP	ADAR	아데노신 데아미나제, RNA-특이적인
1.494	C1GALT; T-신타제	C1GALT1	코어 1 신타제, 당단백질-N-아세틸갈락토스아민 3-베타-갈락토실트랜스퍼라제, 1

[0125]

상대적인 표준화된 발현	일반명	유전자 기호	설명
1.478		PHF11	
1.461	SCOTIN	SCOTIN	스코틴
1.433	FLJ00340; FLJ34579; DKFZp686E07254	SP100	SP100 핵 항원
1.415	FLJ45064	AGRN	아그린
1.351	NFTC; OEF1; OEF2; C7orf5; FLJ20073; KIAA2004	SAMD9	멸균 알파 모티프 도메인 함유 9
1.26	MEL; RAB8	RAB8A	RAB8A, 구성원 RAS 종양유전자 계열
1.215	6-16; G1P3; FAM14C; IFI616; IFI-6-16	G1P3	인터페론, 알파-유도성 단백질 6

[0126]

[0127]

[ 표 7j ]

M3.2 PTB 대 대조군, 활동성 TB에서 과잉제시된 유전자

상대적인 표준화된 발현	일반명	유전자 기호	설명
	P22_15_PTBVcSelect_09May08_PAL2test_UP_M3.2		
2.767	MGC20461	OSM	온코스타틴 M
2.202	FHL4; HLH4; HPLH4	STX11	신택신 11
2.136	LPCAT2; FLJ20481; LysoPAFAT; DKFZp686H22112	AYTL1	아실트랜스페라제 유사 1
1.987	UP; UPP; UPASE; UDRPASE	UPP1	우리딘 포스포릴라제 1
1.969	IL-1; IL1F2; IL1-베타	IL1B	인터루킨 1, 베타
1.886	SAT; DC21; KFSD; SSAT; SSAT-1	SAT	스페르미딘/스페르민 N1-아세틸트랜스페라제 1
1.862	PFK2; IPFK2	PFKFB3	6-포스포프럭토-2-키나제/ 프럭토즈-2,6-비포스파타제 3
1.755	BB2; CD54; P3.58	ICAM1	세포내 부착 분자 1 (CD54), 사람 리노 바이러스 수용체
1.742	BCL4; D19S37	BCL3	B-세포 CLL/림프종 3
1.695	KRML; MGC43127	MAFB	v-maf 근건막 섬유육종 종양유전자 동족체 B (조류)
1.686	SRPSOX; CXCLG16; SR-PSOX	CXCL16	케모킨 (C-X-C 모티프) 리간드 16
1.658	B3GN-T5; 베타3Gn-T5	B3GNT5	UDP-GlcNAc: 베타Gal 베타-1,3-N-아세틸글루코사마닐트랜스페라제 5
1.62	MLA1; ME491; LAMP-3; OMA81H; TSPAN30	CD63	CD63 분자
1.562	P21; CIP1; SDI1; WAF1; CAP20; CDKN1; MDA-6; p21CIP1	CDKN1A	사이클린-의존성 키나제 억제제 1A (p21, Cip1)
1.548	URAX1; TAIP-3; FAM130B; DKFZp566F164	AXUD1	AXIN1 상향-조절된 1
1.542	NHE8; FLJ42500; KIAA0939; MGC138418; DKFZp686C03237	SLC9A8	용질 담체 계열 9 (나트륨/수소 교환인자), 구성원 8
1.542	GS; GLNS; PIG43	GLUL	글루타메이트-암모니아 리가제 (글루타민 신테타제)
1.504	CD87; UPAR; URKR	PLAUR	플라스미노겐 활성인자, 우로키나제 수용체
1.474	PBEF; NAMPT; MGC117256; DKFZP666B131; 1110035O14Rik	PBEF1	예비-B-세포 콜로니 증진 인자 1
1.472	P47; FLJ27168	PLEK	플렉스트린
1.45	GNA16	GNA15	구아닌 뉴클레오파이드 결합 단백질 (G 단백질), 알파 15 (Gq 부류)
1.435	FTH; PLIF; FTHL6; PIG15; MGC104426	FTH1	페리틴, 중 폴리펩타이드 1
1.42	MGC14376; MGC149751; DKFZp686O06159	MGC14376	가상 단백질 MGC14376
1.395	NER; UNR; LXRb; LXR-b; NER-I; RIP15	NR1H2	핵 수용체 아계열 1, 그룹 H, 구성원 2
1.39	TTP; GOS24; GOS24; TIS11; NUP475; RNF162A	ZFP36	아연 맹거 단백질 36, C3H 형, 동족체 (마우스)
1.389	E4BP4; IL3BP1; NFIL3A; NF-IL3A	NFIL3	핵 인자, 인터루킨 3 조절된

[0128]

상대적인 표준화된 발현	일반명	유전자 기호	설명
1.328	C8FW; GIG2; SKIP1	TRIB1	트리블(tribble) 동족체 1 (드로소필라)
1.296	ARI; HARI; HHARI; UBCH7BP	ARIH1	아리아드네 동족체, 유비퀴틴-접합 효소 E2 결합 단백질, 1 (드로소필라)
1.272	FRA2; FLJ23306	FOSL2	FOS-유사 항원 2
1.269	RIT; RIBB; ROC1; MGC125864; MGC125865	RIT1	CAAX 1o 없는 Ras-유사
1.25	RBT1	SERTAD3	SERTA 도메인 함유 3
1.227	MAPKAPK2	MAPKAPK2	유시분열물질-활성화된 단백질 키나제-활성화된 단백질 키나제 2
1.217	PPG; PRG; PRG1; MGC9289; FLJ12930	PRG1	세르글리신
1.181	SEII1; TRIP-Br1	SERTAD1	SERTA 도메인 함유 1
1.172	CMT2; KIAA0110; MGC11282; RP1-261G23.6	MAD2L1BP	MAD2L1 결합 단백질
1.169	UBP; SIH003; MGC129878; MGC129879	USP3	유비퀴틴 특이적인 펩티다제 3

[0129]

[0130]

[ 표 7k ]

M3.3 PTB 대 대조군, 활동성 TB에서 과잉제시된 유전자

상대적인 표준화된 빌현	일반명	유전자 기호	설명
	P22_15_PTBrCSelect_09May08_PAL2Ttest_UP_M3.3		
3.651	MAYP; MGC34175	PSTPIP2	프롤린-세린-트레오닌 포스파타제 상호작용 단백질 2
3.2	Tiff66; MGC116930; MGC116931; MGC116932; MGC116933	VNN1	바닌 1
2.604	Rsc6p; BAF60C; CRACD3; MGC111010	SMARCD3	SWI/SNF 관련, 매트릭스 관련된, 크로마틴의 액틴 의존성 조절인자, 아게열 d. 구성원 3
2.157	FER1L1; LGMD2B; FLJ00175; FLJ90168	DYSF	디스페를린(dysferlin), 지대근디스트로피(limb girdle muscular dystrophy) 2B (상엽색체 열성)
2.091	ASRT5; IRAKM; IRAK-M	IRAK3	인터루킨-1 수용체-관련된 키나제 3
2.082	p6; CAGC; CGRP; MRP6; CAAF1; ENRAGE	S100A12	S100 칼슘 결합 단백질 A12
1.888	CGI-44	SQRDL	설파이드 퀴논 리덕타제-유사(효모)
1.819	FAM31A; FLJ38464; KIAA1608; RP11-230L22.3	DENND1A	DENN/MADD 도메인 함유 1A
1.736	APG3; APG3L; PC3-96; FLJ22125; MGC15201; DKFZp564M1178	ATG3	ATG3 자가포식 현상 관련 3 동족체 (에스. 세레비지아네)
1.715	CAT1	CRAT	카르니틴 아세틸트랜스퍼라제
1.703	MGC2654; FLJ12433	MGC2654	염색체 16 개방 판독 프레임 68
1.7	MD-2	LY96	림프구 항원 96
1.695	AD3; VRP; HBLP1	TBC1D8	TBC1 도메인 계열, 구성원 8 (GRAM 도메인 지님)
1.663	FLJ20424	C14orf94	염색체 14 개방 판독 프레임 94
1.638	P28; GSTTLP28; DKFZp686H13163	GSTO1	글루타티온 S-트랜스퍼라제 오메가 1
1.635	ATRAP; MGC29646	AGTRAP	안지오텐신 II 수용체-관련된 단백질
1.572	FAT; GP4; GP3B; GPIV; CHDS7; PASIV; SCARB3	CD36	CD36 분자 (트롬보스폰딘 수용체)
1.547	EI; LEI; PI2; MNEI; M/NEI; ELANH2	SERPINB1	세르핀 웨티다제 억제제, 클레이드 B (오브알부민), 구성원 1
1.546	RAB32	RAB32	RAB32, 구성원 RAS 중앙유전자 계열
1.541	CR3A; MO1A; CD11B; MAC-1; MAC1A; MGC117044	ITGAM	인테그린, 알파 M (보체 성분 3 수용체 3 아단위)
1.481	ALFY; ZFYVE25; KIAA0993; MGC16461	WDFY3	WD 반복체 및 FYVE 도메인 함유 3
1.467	ARHU; WRCH1; hG28K; CDC42L1; FLJ10616; DJ646B12.2; FL646B12.2	RHOU	ras 동족체 유전자 계열, 구성원 U
1.459	SELR; SELX; MSRB1; HSPC270; MGC3344	SEPX1	셀레노 단백질 X, 1
1.432	LTA4H	LTA4H	류코트리엔 A4 하이드롤라제
1.409	VMP1; DKFZP566I133	TMEM49	막관통 단백질 49
1.405	MGC33054	SNX10	분류 넥신 10
1.376	STX3A	STX3A	신탁신 3
1.369	TTG2; RBTN2; RHOM2; RBTNL1	LMO2	LIM 도메인 유일 2 (롬보틴 -유사 1)

[0131]

상대적인 표준화된 발현	일반명	유전자 기호	설명
1.368	DBI; IBP; MBR; PBR; BZRP; PKBS; PTBR; mDRC; pk18	BZRP	전위자 단백질 (18kDa)
1.361	CRE-BPA	CREB5	cAMP 반응성 성분 결합 단백질 5
1.344	MAY1; MGC49908; nPKC-엘타	PRKCD	단백질 키나제 C, 엘타
1.341	AAA; AD1; PN2; ABPP; APPI; CVAP; A베타; CTF감마	APP	아밀로이드 베타 (A4) 전구체 단백질 (펩티다제 벡신-II, 알츠하이머 병)
1.333	CRFB4; CRF2-4; D21S58; D21S66; CDW210B; IL-10R2	IL10RB	인터루킨 10 수용체, 베타
1.31	DCIR; LLIR; DDB27; CLECSF6; HDCGC13P	CLEC4A	C-형 텩틴 도메인 계열 4, 구성원 A
1.304	HUFI-2; FLJ20248; FLJ22683; DKFZp434H2035	LRRKIP2	류신 풍부한 반복체 (FLII내) 상호작용 단백질 2
1.301	C32; CKLF1; CKLF2; CKLF3; CKLF4; UCK-1; HSPC224	CKLF	케모킨-유사 인자
1.289		ACSS2	
1.265	ESP-2; HED-2	ZYX	자익신
1.263	SH3BGR; MGC117402	SH3BGRL	SH3 도메인 결합 글루탐산-풍부한 단백질 유사
1.239	MTX; MTXN	MTX1	메타신 1
1.237	ASC; TMS1; CARD5; MGC10332	PYCARD	PYD 및 CARD 도메인 함유
1.233	a3; Stv1; Vph1; Atp6i; OC116; OPTB1; TIRC7; ATP6N1C; ATP6V0A3; OC-116kDa	TCIRG1	T-세포, 면역 조절인자 1, ATPase, H <sup>+</sup> 수송, 라이소좀 V0 아단위 A3
1.223	JTK8; FLJ26625	LYN	v-yes-1 야마구치 육종(Yamaguchi sarcoma) 바이러스 관련 종양유전자 동족체
1.209	GAIP; RGSGAIP	RGS19	G-단백질 시그널링의 조절인자 19
1.186	NEU; SIAL1	NEU1	시알리다제 1 (라이소좀 시알리다제)

[0132]

[0133]

[ 표 71 ]

M3.4 PTB 대 대조군, 활동성 TB에서 하향제시된 유전자

상대적인 표준화된 발현	일반명	유전자 기호	설명
	P22_15_PTBrvCSelect_09May08_PAL2test DOWN M3.4		
0.921	ZZZ4; FLJ10821; FLJ45574; KIAA0399	ZZEF1	아연 평거, EF-핸드 도메인 1을 지닌 ZZ-형
0.905	TILZ4a; TILZ4b; TILZ4c; KIAA0669	TSC22D2	TSC22 도메인 계열, 구성원 2
0.891	XTP2; BAT2-이소	BAT2D1	BAT2 도메인 함유 1
0.885	U2AF65	U2AF2	U2 소 핵 RNA 보조 인자 2
0.878	DKFZp781I24156	PCNP	PEST 단백질분해 시그널 함유 핵 단백질
0.876	NY-CO-1; FLJ10051	SDCCAG1	혈청학적으로 정의된 결장암 항원 1
0.868	GCP16; HSPC041; MGC4876; MGC21096; GOLGA3AP1	GOLGA7	골지 자가항원, 골지 아계열 a, 7
0.866	CPR3; DIA2; DNAJ; DNJ3; RDJ2; HIRIP4; PRO3015	DNAJA2	DnaJ (Hsp40) 동족체, 아계열 A, 구성원 2
0.863	B2-1; SEC7; D17S811E; FLJ34050; FLJ41900; CYTOHESIN-1	PSCD1	플렉스트린 동족체, Sec7 및 코일드-코일 도메인 1(사이토헤신 1)
0.855	SRrp86; SRrp508; MGC133045; DKFZp564B176	SFRS12	스플라이싱 인자, 아르기닌/세린-풍부한 12
0.84	G3BP2	G3BP2	GTPase 활성화 단백질 (SH3 도메인) 결합 단백질 2
0.831	p532; p619	HERC1	hect (E6-AP (UBE3A) 카복실 말단과 유사) 도메인 및 RCC1 (CHC1)-유사 도메인 (RLD) 1
0.826	DKFZP564O0523; HSPC304; DKFZp686D1651	DKFZP564O0523	가상 단백질 DKFZp564O0523
0.823	TSPYL	TSPYL1	TSPY-유사 1
0.82	KIP1; MEN4; CDKN4; MEN1B; P27KIP1	CDKN1B	사이클린-의존성 키나제 억제제 1B (p27, Kip1)
0.82	SA2; SA-2; FLJ25871; bA51701.1; DKFZp686P168; DKFZp781H1753	STAG2	기질 항원 2
0.815	HR21; MCD1; NXP1; SCC1; hHR21; HRAD21; FLJ25655; FLJ40596; KIAA0078	RAD21	RAD21 동족체 (에스. 품베)
0.808	GCC185; KIAA0336	GCC2	GRIP 및 코일드-코일 도메인 함유 2
0.806	PIR1	DUSP11	이중 특이성 포스파타제 11 (RNA/RNP 복합체 1-상호작용)
0.804	AS3; CG008; PDS5B; FLJ23236; KIAA0979; RP1-267P19.1	APRIN	안드로겐-유도된 증식 억제제
0.803		LOC58486	
0.798		SLTM	
0.795	AS; ANCR; E6-AP; HPV6A; EPV6AP; FLJ26981	UBE3A	유비퀴틴 단백질 리가제 E3A [사람 파필로마 바이러스 E6-관련된 단백질, 앵겔만 증후군(Angelman syndrome)]
0.793	DKFZp686C1054	THUMPD1	THUMP 도메인 함유 1
0.791	SIR2L1	SIRT1	시르투인 (사일런트 메이팅(silent mating) 형 정보 조절 2 동족체) 1 (에스. 세레비지아네)
0.79	FLJ40359	TPP2	트리펩티딜 웹티다제 II

[0134]

상대적인 표준화된 밸류	일반명	유전자 기호	설명
0.789	DKFZP564D172	CSorf21	염색체 5 개방 판독 프레임 21
0.788	PALBH; CALPAIN7; FLJ36423	CAPN7	칼파인 7
0.775	KIAA1116	RBM16	RNA 결합 모티프 단백질 16
0.771	FLJ42355; KIAA0276	DCUN1D4	DCN1, 쿨린 네틸화(cullin neddylation) 1에 결합성, 도메인 함유 4(에스. 세레비지아에)
0.768	Rhe; FLJ3619; DKFZp586K0717	FIP1L1	FIP1 유사 1(에스. 세레비지아에)
0.766	RCP9; RCP; CRCP; CGRP-RCP; MGC111194	RCP9	칼시토닌 유전자-관련 웹타이드-수용체 성분 단백질
0.764	DIF3; LZK1; DIF-3; LCRG1; ZFP403; FLJ21230; FLJ22561; FLJ42090	ZNF403	아연 평거 단백질 403
0.76	AD013; CReMM; KISH2; PRIC320	CHD9	크로모도메인 헬리카제 DNA 결합 단백질 9
0.757	VACM1; VACM-1	CUL5	쿨린 5
0.755	MGC13407	NUP54	뉴클레오포린 54kDa
0.751	ENTH; EPN4; EPNR; CLINT; EPSINR; KIAA0171	ENTH	클라트린 상호작용 인자 1
0.743	SEC24B	SEC24B	SEC24 관련 유전자 계열, 구성원 B (에스. 세레비지아에); 등의어: SEC24, MGC48822; 동형 a는 전사 변이체 1에 의해 임호화된다; 분비 단백질 24; Sec24- 관련 단백질 B; 단백질 수송 단백질 Sec24B; 호모 사피엔스 SEC24 관련 유전자 계열, 구성원 B (에스. 세레비지아에) (SEC24B), 전사 변이체 1, mRNA.
0.742	HAKAI; RNF188; FLJ23109; MGC163401; MGC163403	CBLL1	Cas-Br-M (쥐) 제한숙주역 레트로 바이러스 형질전환 서열 -유사 1
0.738	XE7; 721P; XE7Y; CCDC133; CX3orf3; DXYS155E; MGC39904; MGC125365; MGC125366	DXYS155E	스플라이싱 인자, 아르기닌/세린-풍부한 17A
0.737	NGB; CRFG; FLJ10686; FLJ10690; FLJ39774	GTPBP4	GTP 결합 단백질 4
0.734	VELI3; LIN-7C; MALS-3; LIN-7-C; FLJ11215	LIN7C	lin-7 동족체 C [씨. 엘레간스( <i>C. elegans</i> )]
0.732	JTK5; RYK1; JTK5A; D3S3195	RYK	RYK 수용체-유사 타이로신 키나제
0.731	K10; KPP; CK10	KRT10	케라틴 10 (표피박리과각화증; 수장족저각화증)
0.728	CYP-M; MGC22229	CYP20A1	사이토크롬 P450, 계열 20, 아제열 A, 폴리펩타이드 1
0.725	CHP1	CHORDC1	시스테인 및 히스티딘-풍부한 도메인 (CHORD)-함유 1
0.724	NET1A; ARHGEF8	NET1	신경상피 세포 형질전환 유전자 1
0.723	ZF5; ZBTB14; ZNF478; MGC126126	ZFP161	아연 평거 단백질 161 동족체 (마우스)
0.718	JAK1A; JAK1B	JAK1	아누스 키나제 1 (단백질 타이로신 키나제)
0.717	p5; p6; RRP45; PMSCL1; Rrp45p; PM/Scl-75	EXOSC9	엑소좀 성분 9

상대적인 표준화된 밸류	일반명	유전자 기호	설명
0.716	GR; GCR; GRL; GCCR	NR3C1	핵 수용체 아계열 3, 그룹 C, 구성원 1 (글루코코르티코이드 수용체)
0.713	L9mt	MRPL9	미토콘드리아 리보솜 단백질 L9
0.705	GRB1; p85-알파	PIK3R1	포스포이노시티드-3-기나제, 조절 아단위 1 (p85 알파)
0.7	MST4; MASK	MASK	세린/트레오닌 단백질 키나제 MST4
0.7	UPF3; HUPF3A; RENT3A	UPF3A	넌센스 전사체 등족체 A (효모)의 UPF3 조절인자
0.698	p17; YBL1; CHRAC17; CHARAC17	POLE3	폴리머라제 (DNA 지시된), 엡실론 3 (p17 아단위)
0.694	PCGF4; RNF51; MGC12685	PCGF4	BMI1 폴리콤브 환 평거 종양유전자
0.692	MIF2; CENPC; hcp-4; CENP-C	CENPC1	동원체 단백질 C 1
0.686	YAF9; GAS41; NUBI-1; 4930573H17Rik; B230215M10Rik	YEATS4	YEATS 도메인 함유 4
0.679	R3HDM; FLJ23334; KIAA0029	R3HDM1	R3H 도메인 함유 1
0.676	FBX21; FLJ90233; KIAA0875; MGC26682; DKFZp434G058	FBXO21	F-박스 단백질 21
0.665	GRIP1; TULIP1; KIAA0884; DKFZp566D133; DKFZp667F074	GARNL1	GTPase 활성화 Rap/RanGAP 도메인-유사 1
0.663	BRL; BRPF1; BRPF2; DKFZp686F0325	BRD1	브로모 도메인 함유 1
0.651	TIFIA; MGC104238; DKFZp566E104	RRN3	RRN3 RNA 폴리머라제 I 전사 인자 등족체 (에스. 세레비지아에)
0.65	DKFZP586L0724	NOL11	핵 단백질 11
0.645	FLJ20628; DKFZp564I2178	FLJ20628	가상 단백질 FLJ20628
0.642	FLJ21657; MGC90226; MGC149524	FLJ21657	염색체 5 개방 관독 프레임 28
0.638	NS3TP1; FLJ20752; NBLA00058	ASNSD1	아스파라긴 신타제 도메인 함유 1
0.636	MEX3C; BM-013; MEX-3C; RNF194; FLJ38871	RKHD2	환평거 및 KH 도메인 함유 2
0.628	E6BP; ERC55; ERC-55	RCN2	레티큘로칼빈 2, EF-핸드 칼슘 결합 도메인
0.613	PHLL1	CRY1	크립토크롬 1 (포토리아제 -유사)
0.612	cdc14; hCDC14; Cdc14A1; Cdc14A2	CDC14A	CDC14 세포 분열 주기 14 동족체 A (에스. 세레비지아에)
0.576	LCA; LY5; B220; CD45; T200; GP180	PTPRC	단백질 타이로신 포스파타제, 수용체 형, C
0.521	PBF; PRF1; HDBP2; PRF-1; Si-1-8-14; DKFZp434K1210	ZNF395	아연 평거 단백질 395

[0136]

[0137]

[표 7m]

M3.6 PTB 대 대조군, 활동성 TB에서 하향제시된 유전자

상대적인 표준화된 빌현	일반명	유전자 기호	설명
	P22_15_PTBVSelect_09May08_PAL2Ttest_DOWN_M3.6		
0.898	ABHS; ORF20; TTDN1	C7orf11	염색체 7 개방 판독 프레임 11
0.852	BTF2; TFIH	GTF2H1	일반적인 전사 인자 IIH, 폴리펩타이드 1, 62kDa
0.845	MGC51029	FUNDC1	FUN14 도메인 함유 1
0.844	SCOCO; HRIHFB2072	SCOC	짧은 코일드-코일 단백질
0.839	IF-3mt; IF3(mt)	MTIF3	미토콘드리아 해독 개시 인자 3
	DAB1; MPRP-1; YKR087C; ZMPOMA1; FLJ33782; 2010001O09Rik	OMA1	OMA1 동족체, 아연 메탈로펩티다제 (에스. 세레비지아에)
0.816		LOC644560	
0.815			
0.795	JNKK; MEK4; MKK4; SEK1; JNK1; SERK1; MAPKK4; PRKMK4	MAP2K4	유사분열물질-활성화된 단백질 키나제 키나제 4
0.775	REPA2; RPA32	RPA2	복제 단백질 A2, 32kDa
0.765	AMMERC1	AMMECR1	알포트 증후군(Alport syndrome), 정신 지체, 얼굴중간형 성저하증(midface hypoplasia) 및 타원적 혈구증 염색체 영역, 유전자 1
0.741	CBX; M31; MOD1; HP1-베타; HP1Hs-베타	CBX1	크로모 박스 동족체 1 (HP1 베타 동족체 드로소필라)
0.739	DLTA; PDCE2; PDC-E2	DLAT	디하이드로리포아미드 S-아세틸트랜스퍼라제 (파루베이트 테하이드로게나제 복합체의 E2 성분)
0.732	p38; AHA1; C14orf3	AHSA1	AHA1, 열 쇼크 90kDa 단백질 ATPase 동족체 1 (효모)의 활성인자
0.731	VEZATIN; DKFZp761C241	VEZT	베자린, 부착판 결합(adherens junctions) 막관통 단백질
0.728	HDPPY-30	LOC84661	dpv-30-유사 단백질
0.727	DERP6; MST071; HSPC002; MSTP071	C17orf81	염색체 17 개방 판독 프레임 81
0.723	EFG; GFM; EFG1; EFGM; EGF1; hEFG1; COXPD1; FLJ12662; FLJ13632; FLJ20773	GFM1	G 연장 인자, 미토콘드리아 1
0.721	MGC3232; hAtNOS1; mAtNOS1	C4orf14	염색체 4 개방 판독 프레임 14
0.72	P15RS; FLJ10656; MGC19513	P15RS	가상 단백질 FLJ10656
0.719	MGC9912	C14orf126	염색체 14 개방 판독 프레임 126
0.704	CCR4; KIAA1194	CNOT6	CCR4-NOT 전사 복합체, 아단위 6
0.7	PRED31; HSPC230; FLJ34245; RP11-5919.1	C6orf203	염색체 6 개방 판독 프레임 203
0.696	76P; GCP4	76P	감마 튜불린 환 복합체 단백질 (76p 유전자)
0.694	FLJ10422	ELP3	연장 단백질 3 동족체 (에스. 세레비지아에)
0.677	MGC13379	MGC13379	HSPC244
0.677	CCTE; KIAA0098; CCT-엡실론; TCP-1-엡실론	CCT5	샤페로닌 함유 TCP1, 아단위 5 (엡실론)

[0138]

상대적인 표준화된 빌현	일반명	유전자 기호	설명
0.675		MTMR12	
0.671	ABRA1; FLJ11520; FLJ12642; FLJ13614	FLJ13614	코일드-코일 도메인 함유 98
0.671	CDG1; CDGS; CDG1a	PMM2	포스포만노뮤타제 2
0.646	TPA1; FLJ10826; KIAA1612	OGFOD1	2-옥소글루타레이트 및 철 -의존성 옥시케나제 도메인 함유 1
0.641	HV1; MGC15619	MGC15619	수소 전암-카페 체닐 1
0.639	JJJ3; ZCSL3	ZCSL3	DPH4, JJJ3 동족체 (에스. 세레비지아에)
0.631	GI008; RPMS13; MRP-S13; MRP-S26; NY-BR-87; C20orf193; dJ534B8.3	MRPS26	미토콘드리아 리보솜 단백질 S26
0.63	RPMS6; MRP-S6; C21orf101	MRPS6	미토콘드리아 리보솜 단백질 S6
0.622	CGI-55; CHD3IP; HABP4L; PAIRBP1; FLJ90489; PAI-RBP1; DKFZp564M2423	SERBP1	SERPINE1 mRNA 결합 단백질 1
0.621	MRP-S14; HSMRPS14; DJ26D12.2	MRPS14	미토콘드리아 리보솜 단백질 S14
0.542	LOC153364; MGC46734; DKFZp686P15118	LOC153364	메탈로-베타-락타마제 상과 단백질과 유사

[0139]

[0140]

[표 7n]

M3.7 PTB 대 대조군, 활동성 TB에서 하향제시된 유전자

상대적인 표준화된 발현	일반명	유전자 기호	설명
	P22_15_PTByCSelect_09May08_PAL2Ttest_DOWN_M3.7		
0.914	RED; CSA2; MGC59741; IK 단백질	IK	IK 사이토kin, HLA II의 하향-조절인자 FDCP 6 동족체 (마우스)에서 차등적으로 발현됨
0.875	IBP	DEF6	N-아세틸트랜스퍼라제 5
0.861	NAT3; dJ1002M8.1	NAT5	alkB, 알킬화 복구 동족체 5 (이. 콜라이)
0.857	OFOXD; OFOXD1; FLJ20308	ALKBH5	이소시트레이트 데하이드로게나제 3 (NAD+) 베타
0.848	H-IDHB; MGC903; FLJ11043	IDH3B	Mof4 계열 관련된 단백질 1
0.846	PGRI; PAM14	MRFAP1	NADH 데하이드로게나제 (유비퀴논) 1 알파 아복합체, 12
0.845	B17.2; DAP13	NDUFA12	tRNA 포스포트랜스퍼라제 1
0.836	MGC11134	TRPT1	I(3)mbt-유사 2 (드로소필라)
0.832	H-I(3)mbt-1	L3MBTL2	NmrA-유사 계열 도메인 함유 1
0.831	HSCARG; FLJ25918	HSCARG	ATP-결합 카세트, 아-계열 F (GCN20), 구성원 1
0.817	ABC27; ABC50	ABCF1	가상 단백질 LOC124512
0.816	LOC124512		염색체 14 개방 판독 프레임 112
0.815	HSPC203	C14orf112	엑소솜 성분 1; 동의어: p13, CSL4, SKI4, Csl4p, Ski4p, hCsl4p, CGI-108, RP11-452K12.9; 호모 엑소솜 코어 단백질 CSL4의 동족체; 3'-5'
0.814	EXOSC1	EXOSC1	엑소리보뉴클레아제 CSL4 동족체; CSL4 엑소솜 코어 단백질 동족체; 호모 사피엔스 엑소솜 성분 1 (EXOSC1), mRNA.
0.81	p14; DOC-1R; FLJ10636	CDK2AP2	CDK2-관련된 단백질 2
0.81	MGC14833; bA6B20.2	C6orf125	염색체 6 개방 판독 프레임 125
0.809	SRP68	SRP68	시그널 인지 임자 68kDa
0.805	MGC3320; FLJ14936; RP5-965L7.1	PRPF38A	PRP38 예비-mRNA 프로세싱 인자 38 (호모) 도메인 함유 A
0.805	DBP-RB; UKVH5d	DDX1	DEAD (Asp-Glu-Ala-Asp) 박스 폴리펩타이드 1
0.804	ACRP; FSA-1; MGC20134	SPAG7	정자 관련된 항원 7
0.802	MDHA; MOR2; MDH-s; MGC:1375	MDH1	말레이트 데하이드로게나제 1, NAD (가용성)
0.801	MDS016; RPMS21; MRP-S21	MRPS21	미토콘드리아 리보솜 단백질 S21
0.8	AIBP; MGC119143; MGC119144; MGC119145	APOA1BP	아포지질단백질 A-I 결합 단백질
0.8	ERV29; FLJ22993; MGC102753	SURF4	폭식(surfeit) 4
0.797	MGC874	CXorf26	염색체 X 개방 판독 프레임 26
0.795	FLJ22789	C12orf26	염색체 12 개방 판독 프레임 26
0.795	RC68; INT11; RC-68; INTS11; CPSF73L; FLJ13294; FLJ20542	CPSF3L	분해 및 폴리아데닐화 특이적인 인자 3-유사
0.793	HSPC196	HSPC196	막관통 단백질 138
0.79	DS-1	ICT1	미숙한 결장 암종 전사체 1

[0141]

상대적인 표준화된 빌현	일반명	유전자 기호	설명
0.789	SIAHBP1; FIR; PUF60; RoBPI; FLJ31379	SIAHBP1	융합-결합 단백질-상호작용 억제인자
0.788	bMRP36a; MGC17989; MGC48892	MRPL43	미토콘드리아 리보솜 단백질 L43
0.788	HIT-17	HINT2	히스티딘 트리아드 뉴클레오파이드 결합 단백질 2
0.785	MGC2714; FLJ32431	DCUN1D5	DCN1, 쿨린 네딜화(cullin neddylation) 1에 결합성, 도메인 함유 5(에스. 세레비지아에)
0.784	WDC146; FLJ11294	WDR33	WD 반복체 도메인 33
0.775	N27C7-4; MGC70831	C22orf16	염색체 22 개방 판독 프레임 16
0.774		LOC653709	
0.772	CGI-138; HSPC329; MRP-S23	MRPS23	미토콘드리아 리보솜 단백질 S23
0.769	P54; NMT55; NRB54; P54NRB	NONO	비-POU 도메인 함유, 옥타머-결합
0.764	NSE2; MMS21; C8orf36; FLJ32440	C8orf36	비-SMC 성분 2, MMS21 동족체 (에스. 세레비지아에)
0.764	C8orf40	C8orf40	염색체 8 개방 판독 프레임 40
0.763	FLJ31795	CCDC43	코일드-코일 도메인 함유 43
0.755	NSE1	NSMCE1	비-SMC 성분 1 동족체 (에스. 세레비지아에)
0.753	MY105; THY28; MDS012; HSPC144; THY28KD; MGC12187	THYN1	흉선세포 핵 단백질 1
0.752	YSA1H; hYSAH1	NUDT5	누딕스(nudix) (뉴클레오파이드 디포스페이트 결합된 잔기 X)-형 모티프 5
0.751	TOK-1	BCCIP	BRCA2 및 CDKN1A 상호작용 단백질
0.747	VARSL; VARS2L; MGC138259; MGC142165	VARSL	발릴-tRNA 신타제 2, 미토콘드리아 (추정적)
0.732	FLJ13657; RP11-337A23.1	C9orf82	염색체 9 개방 판독 프레임 82
0.728	GLOD2	MCEE	메틸말로닐 CoA 에파미라제
0.728	C40	C2orf29	염색체 2 개방 판독 프레임 29
0.726	MGC12966	MGC12966	가상 단백질 LOC84792; 호모 사피엔스 mRNA.
0.722	FLJ14803	FLJ14803	가상 단백질 FLJ14803
0.717	HSPC335; MRP-S24	MRPS24	미토콘드리아 리보솜 단백질 S24
0.716	RALBP1	REPS1	RALBP1 관련된 Eps 도메인 함유 1
0.712	CAF1; hCAF-1	CNOT7	CCR4-NOT 전사 복합체, 아단위 7
0.711	AIU; UBIN; Clorf6	UBQLN4	유비퀼린 4
0.71	CGI-118; MGC13323	MRPL48	미토콘드리아 리보솜 단백질 L48
0.701	Gm83; HSPC064; MGC126859; MGC138247; DKFZP564O0463	WDSOF1	WD 반복체 및 SOF1 도메인 함유
0.701	FMT1	MTFMT	미토콘드리아 메티오닐-tRNA 포르밀트랜스퍼라제
0.697	DKFZp686E10109	NUDCD2	NudC 도메인 함유 2
0.697	MGC11321	MRPL45	미토콘드리아 리보솜 단백질 L45
0.691	SDOS; MGC11275	NUDT16L1	누딕스 (뉴클레오파이드 디포스페이트 결합된 잔기 X)-형 모티프 16-유사 1
0.683	FLJ20989	C8orf33	염색체 8 개방 판독 프레임 33
0.681	AK6; FIX; AK3L1; AKL3L;	AK3	아데닐레이트 키나제 3

[0142]

상대적인 표준화된 빌현	일반명	유전자 기호	설명
	AKL3L1		
0.671	RIP; HRIP; MGC4189	RIP	RPA 상호작용 단백질
0.666	PRP8; RP13; HPRP8; PRPC8	PRPF8	PRP8 예비-mRNA 프로세싱 인자 8 동족체 (에스. 세레비지아에)
0.664	PCMT; PPMT; PCCMT; HSTE14; MST098; MSTP098; MGC39955	ICMT	이소프레널시스테인 카복실 메틸트랜스퍼라제
0.66	YTM1; FLJ10881; FLJ12719; FLJ12720	WDR12	WD 반복체 도메인 12
0.646	GAB1; CDC91L1; MGC40420	CDC91L1	포스파티딜이노시톨 글리칸 앵커 생합성, U 부류
0.613	MGC4248	C10orf58	염색체 10 개방 판독 프레임 58
0.613	sen15	C1orf19	염색체 1 개방 판독 프레임 19
0.599	MGC2404	ACBD6	아실-Coenz A 결합 도메인 함유 6

[0143]

[0144]

[표 7o]

M3.8 PTB 대 대조군, 활동성 TB에서 하향제시된 유전자

상대적인 표준화된 밸류	일반명	유전자 기호	설명
	P22_15_PTByCSelect_09May08_PAL2Ttest_DOWN_M3.8		
0.841	MAP; RUSC3; SGSM3; DKFZp761D051	RUTBC3	RUN 및 TBC1 도메인 함유 3
0.84	FLJ13848	FLJ13848	N-아세틸트랜스페라제 11
0.827	HEL308; MGC20604	HEL308	DNA 헬리카제 HEL308
0.826	dgkd-2; DGK 멜타; KIAA0145	DGKD	디아실글리세롤 키나제, 멜타 130kDa
0.814	DKFZp779L2418	SFRS14	스플라이싱 인자, 아르기닌/세린-풍부한 14
0.814	HMMH; MUTM; OGH1; HOGG1	OGG1	8-옥소구아닌 DNA 글리코설페이트
0.808	PRO9856; LAVS3040; DKFZp434D0711; DKFZp686L0539	BRD9	브로모 도메인 함유 9
0.807	HCDI	C14orf124	염색체 14 개방 판독 프레임 124
0.798	GTF2D; SCA17; TFIID; GTF2D1; MGC117320; MGC126054; MGC126055	TBP	TATA 박스 결합 단백질
0.772	ZIS; ZIS1; ZIS2; ZNF265; FLJ41119; DKFZp686J1831; DKFZp686N09117	ZNF265	아연 평거, RAN-결합 도메인 함유 2
0.764		OGT	
0.762	MTMR8; C8orf9; LIP-STYX; MGC126672; DKFZp434K171	MTMR9	마이오투불라린(myotubularin) 관련 단백질 9
0.76	TDP-43	TARDBP	TAR DNA 결합 단백질
0.754	FPM315; ZKSCAN12	ZNF263	아연 평거 단백질 263
0.754	C42; CGI-05; HSPC167; C20orf34; CDK5RAP1.3; CDK5RAP1.4	CDK5RAP1	CDK5 조절 아단위 관련된 단백질 1
0.747	P50; P85; PAK3; PIXB; COOL1; P50BP; P85SSPR; 베타-PIX; KIAA0142; KIAA0412; P85COOL1; Nbla10314; DKFZp761K1021	ARHGEF7	Rho 구아닌 뉴클레오파이드 교환 인자 (GEF) 7
0.745	NAC; CARD7; NALP1; SLEVI1; DEFCAP; PP1044; VAMAS1; CLR17.1; KIAA0926; DEFCAP-L/S; DKFZp586O1822	NALP1	NLR 계열, 피린 도메인 함유 1
0.744	KIAA0388	EZH1	제스테 등족체 1(드로소필라)의 증진 제
0.741	MGC19570; dJ34B21.3	C6orf130	염색체 6 개방 판독 프레임 130
0.737	RP11-336K24.1	KIAA0907	KIAA0907
0.732	LAM; TSC; KIAA0243; MGC86987	TSC1	결절 경화증 1
0.725	LRS; LEUS; LARS1; LEURS; PIG44; RNTLS; HSPC192; hr025C1; FLJ10595; FLJ21788; KIAA1352	LARS	류실-tRNA 신태타제
0.724	HZF1	ZNF266	아연 평거 단백질 266
0.72	FAC1; FALZ; NURF301	FALZ	브로모 도메인 PHD 평거 전사 인자
0.72	FLJ12892; FLJ41065; DKFZp434L1050	CCDC14	코일드-코일 도메인 함유 14
0.708	TIR8; MGC110992	SIGIRR	단일 면역글로불린 및 틀-인터루킨 1

[0145]

상대적인 표준화된 발현	일반명	유전자 기호	설명
0.7	FLJ21007; RP11-459E2.1	TDRD3	수용체 (TIR) 도메인
0.691	CGI75; mtTFB; CGI-75	TFB1M	튜우더 도메인 함유 3
0.689	FP977; FLJ12270; MGC11230	WDR59	전사 인자 B1, 미토콘드리아
0.684	TS11	ASNS	WD 반복체 도메인 59
0.677	MGC111199	NIT2	아스파라긴 신테타제
0.675		ASB1	니트릴라제 계열, 구성원 2
0.663	MCAF2; FLJ12668	ATF7IP2	활성화 전사 인자 7 상호작용 단백질 2
0.648	SIN; RPC5	POLR3E	폴리머라제 (RNA) III (DNA 저시틴)
0.646	BMS1L; KIAA0187	BMS1L	폴리펩타이드 E (80kDa)
0.636	CBX7	CBX7	BMS1 동족체, 리보솜 조립 단백질 (효모)
0.63	PAN2; hPAN2; FLJ39360; KIAA0710	USP52	크로모박스 동족체 7
0.623	MSK1; RLPK; MSPK1; MGC1911	RPS6KA5	유비퀴린 특이적인 웨티다제 52
0.612	SYB1; VAMP-1; DKFZp686H12131	VAMP1	리보솜 단백질 S6 카나제, 90kDa, 폴리펩타이드 5
0.601	ALC1; CHDL; FLJ22530	CHD1L	소포-관련된 막 단백질 1 (시냅토브레빈 1)
0.587	KIAA0355	KIAA0355	크로모도메인 헬리카제 DNA 결합 단백질 1-유사
0.557	KIAA1615	ZNF529	아연 링거 단백질 529
0.554	MGC2146	IL11RA	인터루킨 11 수용체, 알파
0.552	RNF84; MGC:39780	TRAF5	TNF 수용체-관련된 인자 5
0.551	FLJ11795; MGC126013; MGC126014	FLJ11795	안키린 반복체 도메인 55
0.548	DKFZp686O1788	MTX3	메탁신 3
0.544	DABP	DBP	알부민 프로모터의 D 부위(알부민 D-박스) 결합 단백질
0.541	FISH; SH3MD1	SH3PXD2A	SH3 및 PX 도메인 2A
0.524	CLAX; LLT1; OCIL	CLEC2D	C-형 헥틴 도메인 계열 2, 구성원 D
0.518	HPF1; FLJ11015; FLJ14876; FLJ90585; MGC23853	ZNF83	아연 링거 단백질 83
0.514	ZCW4; ZCWCC2; FLJ11565; dJ75H8.2	MORC4	ZCW4; ZCWCC2; FLJ11565; dJ75H8.2
0.512	RTS; TYMSAS; RTS 베타; HSRTS베타; RTS 알파	ENOSF1	MORC 계열 CW-형 아연 링거 4
0.483	C7orf32; ATP6V0E2L	ATP6V0E2L	에놀라제 상과 구성원 1
0.458	PLC1; PLC-II; PLC148; PLC감마1	PLCG1	ATPase, H <sup>+</sup> 수송 V0 아단위 e2
0.428	RLK; TKL; BTKL; PTK4; PSCTK5; MGC22473	TXK	포스포리파제 C, 감마 1
0.367	T14; S152; Tp55; TNFRSF7; MGC20393	TNFRSF7	RLK; TKL; BTKL; PTK4; PSCTK5; MGC22473
		CD27 분자	T14; S152; Tp55; TNFRSF7; MGC20393

[0146]

[0147]

[ 표 7p ]

M3.9 PTB 대 대조군, 활동성 TB에서 하향제시된 유전자

상대적인 표준화된 밸런	일반명	유전자 기호	설명
	P22_15_PTBVCSel ect_09May08_PAL2Ttest_DOWN_M3.9		
0.869	ABC43; PMP70; PXMP1	ABCD3	ATP-결합 카세트, 아-게열 D (ALD), 구성원 3
0.86	SPG8; MGC111053	KIAA0196	KIAA0196
0.859	PUMH; HSPUM; PUMH1; PUML1; KIAA0099	PUM1	푸밀리오 동족체 1 (드로소필라)
0.856	ASF; SF2; SF2p33; SRp30a; MGCS228	SFRS1	스플라이싱 인자, 아르기닌/세린-풍부한 1 (스플라이싱 인자 2, 대체 스플라이싱 인자)
0.848	DKFZp779N2044	KIAA0528	KIAA0528
0.843	ALG6	ALG6	아스파라긴-결합된 글리코실화 6 동족체 (에스. 세레비지아에, 알파-1,3-글루코실트랜스퍼라제)
0.829	MGC111579; DKFZp781B11202	DARS	아스파르틸-tRNA 신테타제
0.829	ADDL	ADD3	아두신 3 (감마)
0.829	KOX18; ZNF36; PHZ-37; ZNF139; MGC138429; 9130423L19Rik	ZKSCAN1	KRAB 및 SCAN 도메인 1을 지닌 아연 링거
0.826	RPD3; YAF1	HDAC2	히스톤 헤아세틸라제 2
0.825	FLJ21634; MGC71630	GALNT11	UDP-N-아세틸-알파-D-갈락토스아민-폴리펩타이드 N-아세틸갈락토스아미널트랜스퍼라제 11 (GalNAc-T11)
0.816	POLZ; REV3	REV3L	REV3-유사, DNA 폴리머라제 제타 (효모)의 촉매적 아단위
0.812	Ki; PA28G; REG-감마; PA28-감마	PSME3	프로테아좀 (프로좀, 마크로파인) 활성 인자 아단위 3 (PA28 감마; Ki)
0.811	BRM; SNF2; SWI2; hBRM; Sth1p; BAF190; SNF2L2; SNF2LA; hSNF2a; FLJ36757; MGC74511	SMARCA2	SWI/SNF 관련, 매트릭스 관련된, 크로마틴의 액틴 의존성 조절인자, 아계열 a, 구성원 2
0.807	ZNT5; ZTL1; ZNTL1; ZnT-5; MGC5499; FLJ12496; FLJ12756	SLC30A5	용질 담체 계열 30 (아연 전달체), 구성원 5
0.802	RAB7L; DKFZp686P1051	RAB7L1	RAB7, 구성원 RAS 종양유전자 계열-유사 1
0.796	ASCIZ; KIAA0431; DKFZp779K1455	ASCIZ	ATM/ATR-7 걸 Chk2-상호작용 Zn2+- 링거 단백질
0.796	TAF2B; CIF150; TAFII150	TAF2	TAF2 RNA 폴리머라제 II, TATA 박스 결합 단백질 (TBP)-관련된 인자, 150kDa
0.786	N4WBP5; MGC10924	NDFIP1	Nedd4 계열 상호작용 단백질 1
0.782	PAP41; MGC117304; MGC126719; MGC126721	PRPSAP2	포스포리보실 피로 포스페이트 신테타제-관련된 단백질 2
0.779	FLJ22584	TTC13	테트라트리코펩타이드 반복체 도메인 13
0.775	CLCI; ICln; CLNS1B	CLNS1A	클로라이드 채널, 뉴클레오타이드-민감성, 1A
0.772	LRRC5; FLJ10470; FLJ20403	LRRC8D	류신 풍부한 반복체 함유 8 계열, 구성원 D
0.77	CCT6; Cctz; HTR3; TCPZ;	CCT6A	샤페로닌 함유 TCP1, 아단위 6A (제타 1)

[0148]

상대적인 표준화된 발현	일반명	유전자 기호	설명
	TCP20; MoDP-2; TTCP20; CCT-제타; MGC126214; MGC126215; CCT-제타-1; TCP-1-제타		
0.765	TOK-1	BCCIP	BRCA2 및 CDKN1A 상호작용 단백질
0.764	G3BP; HDH-VIII; MGC111040	G3BP	GTPase 활성화 단백질 (SH3 도메인) 결합 단백질 1
0.763	FACT; CDC68; FACTP140; FLJ10857; FLJ14010; FLJ34357; SPT16/CDC68	SUPT16H	Ty 16 동족체 (에스. 세레비지아에)의 억제인자
0.757	FBP2; FLJ12799; FLJ38170	C14orf135	염색체 14 개방 판독 프레임 135
0.753	GCP3; SPBC98; Spc98p	TUBGCP3	튜블린, 감마 복합체 관련된 단백질 3
0.752	FLJ13576; DKFZp564C012	FLJ13576	막관통 단백질 168
0.751	SRP72	SRP72	시그널 인지 임자 72kDa
0.75	CIA1; WDR39	WDR39	세포질 성 철-황 단백질 조립 1 동족체 (에스. 세레비지아에)
0.738	HPT; MRS2; MGC78523	MRS2L	MRS2-유사, 마그네슘 항상성 인자 (에스. 세레비지아에)
0.729	CED-4; FLASH; RIP25; FLJ11208; KIAA1315	CASP8AP2	CASP8 관련된 단백질 2
0.728	PTPLB	PTPLB	단백질 타이로신 포스파타제-유사 (촉매적 아트기닌 대신에 프롤린), 구성원 b
0.724	CHAC; FLJ42030; KIAA0986	VPS13A	공포 단백질 분류 13 동족체 A (에스. 세레비지아에)
0.724	REC14	WDR61	WD 반복체 도메인 61
0.719	EB9; PDAF; RCAS1	EBAG9	에스트로겐 수용체 결합 부위 관련된, 항원, 9
0.712	SNX4	SNX4	분류 넥신 4
0.704	TOPPIB; top2베타	TOP2B	토포이소머라제 (DNA) II 베타 180kDa
0.704	CGI-12; FLJ10939	MTERFD1	MTERF 도메인 함유 1
0.703	CBC2; NIP1; CBP20; PIG55	NCBP2	핵 캡 결합 단백질 아단위 2, 20kDa
0.702	HAD; HHF4; HADH1; SCHAD; HADHSC; M/SCHAD; MGC8392	HADHSC	하이드록시아실-보조효소 A 테하이드로케나제
0.701	p56; HSD8; FLJ11088; DKFZP779L1558; DKFZp779L1558	DKFZP779L1558	코일드-코일 도메인 함유 91
0.701	CREB; MGC9284	CREB1	cAMP 반응성 성분 결합 단백질 1
0.7	AIP5; Tiull; hSDRP1; DKFZp434D2111	WWP1	WW 도메인 함유 E3 유비퀴린 단백질 리가제 1
0.681	TAT-SF1; dj196E23.2	HTATSF1	HIV-1 Tat 특이적인 인자 1
0.674	LDLC	COG2	올리고머 꿀지 복합체 2의 성분
0.671	HC71; CGI-150; C17orf25	C17orf25	글리وك살라제 도메인 함유 4
0.67	GABAT; NPD009; GABA-AT	ABAT	4-아미노부티레이트 아미노트랜스퍼라제
0.668	AKAP18	AKAP7	A 키나제 (PRKA) 앵커 단백질 7
0.661	LSFC; GP130; LRP130; 클론-23970	LRPPRC	류신-풍부한 PPR-모티프 함유
0.644	SCC-112; PIG54; FLJ41012; KIAA0648; MGC131948; MGC161503; DKFZp686B19246	SCC-112	SCC-112 단백질

[0149]

상대적인 표준화된 발현	일반명	유전자 기호	설명
0.643	GDE	AGL	아밀로-1, 6-글루코시다제, 4-알파-글루카노트랜스퍼라제(글리코겐 탈분지 효소, 글리코겐 저장병 III형)
0.643	NIP3	BNIP3	BCL2/아데노바이러스 E1B 19kDa 상호작용 단백질 3
0.64	HSSB; RF-A; RP-A; REPA1; RPA70	RPA1	복제 단백질 A1, 70kDa
0.63	TAF2C; TAF4A; TAF2C1; FLJ41943; TAFII130; TAFII135	TAF4	TAF4 RNA 폴리머라제 II, TATA 박스 결합 단백질 (TBP)-관련된 인자, 135kDa
0.626	TMP21; S31II125; Tmp-21-I; S31III125; P24(엘타)	TMED10	막관통 emp24-유사 트래피킹(trafficking) 단백질 10 (효모)
0.617	FLJ20397; FLJ25564; FLJ31671; FLJ39381	FLJ20397	HEAT 반복 체 함유 2
0.612	CHA; Figlb; E2BP-1; MGC46135	TCFL5	전사 인자-유사 5 (기본 헬릭스-루프-헬릭스)
0.588	SRB; Cctd; MGC126164; MGC126165	CCT4	차폐론 함유 TCP1, 아단위 4 (엘타)
0.582	Seh1; SEH1A; SEH1B; SEC13L	SEH1L	SEH1-유사 (에스. 세레비지아에)
0.527	HSU79274	C12orf24	염색체 12 개방 관독 프레임 24

[0150]

[0151]

[표 8a]

M1.5 LTB 대 대조군, 잠복성 TB에서 하향제시된 유전자

상대적인 표준화된 빌현	일반명	유전자 기호	설명
	P22_15_LTByCSelect_09May 08_PAL2Ttest_DOWN_M1.5		
2.007	STF1; STFA	CSTA	시스타틴 A(스테핀 A)
1.915	LSH; NRAMP; NRAMP1	SLC11A1	용질 담체 계열 11(양성자-결합된 2가 금속 이온 전달체), 구성원 1
1.903	EZI; Zfp467	ZNF467	아연 평거 단백질 467
1.813	TIL4; CD282	TLR2	톨-유사 수용체 2
1.811	HSULF-2; FLJ90554; KIAA1247; MGC126411; DKFZp313E091	SULF2	설피타제 2
1.716	FLJ22662	FLJ22662	가상 단백질 FLJ22662
1.691	FDF03	PILRA	쌍을 이용 면역글로불린-유사 형 2 수용체 알파
1.686	HET; ITM; BWR1A; IMPT1; TSSC5; ORCTL2; BWSCR1A; SLC22A1L; p45-BWR1A; DKFZp667A184	SLC22A18	용질 담체 계열 22(유기 양이온 전달체), 구성원 18
1.682	ILT1; LIR7; CD85H; LIR-7	LILRA2	백혈구 면역글로불린-유사 수용체, 아계열 A(TM 도메인 지님), 구성원 2
1.657	C1QR1; C1qRP; CDw93; MXRA4; C1qR(P); dj737E23.1	C1QR1	CD93 분자
1.636	NCF; MGC3810; P40PHOX; SH3PXD4	NCF4	호중구 세포질성 인자 4, 40kDa
1.623	NOXA2; p67phox; P67-PHOX	NCF2	호중구 세포질성 인자 2 (65kDa, 단성 육아증병, 상염색체 2)
1.542	FLJ10357; SOLO	FLJ10357	가상 단백질 FLJ10357
1.525	JTK9	HCK	조혈 세포 키나제
1.521	FEM-2; POPX2; hFEM-2; CaMKPase; KIAA0015	PPM1F	단백질 포스파타제 1F (PP2C 도메인 함유)
1.498	CD32; FCG2; FcGR; CD32A; CDw32; FCGR2; IGFR2; FCGR2A1; MGC23887; MGC30032	FCGR2A	IgG 의 Fc 단편, 저 친화성 IIa, 수용체 (CD32)
1.493	DHRS8; PAN1B; RETSDR2; 17-베타-HSD11; 17-베타-HSDXI	DHRS8	하이드록시스테로이드 (17-베타) 대하이드로게나제 11
1.482	FLJ11151; CSTP1	FLJ11151	가상 단백질 FLJ11151
1.478	CD31; PECAM-1	PECAM1	혈소판/내피 세포 부착 분자 (CD31 항원)
1.469	DORA	IGSF6	면역글로불린 상과, 구성원 6
1.452	GP; G1RZFP; GOLIATH; MGC99542; MGC117241; MGC138647	RNF130	환 평거 단백질 130
1.45	MLN70; S100C	S100A11	S100 칼슘 결합 단백질 A11
1.449	MGC3886	CTSS	카텝신 S
1.425	APPH; APPL2; CDEBP	APLP2	아밀로이드 베타 (A4) 전구체 -유사 단백질 2
1.41	IMPD; RP10; IMPD1; LCA11; sWSS2608; DKFZp781N0678	IMPDH1	IMP (이노신 모노포스페이트) 데하이드로게나제 1
1.406	FCNM	FCN1	파콜린(콜라겐/파브리노겐 도메인 함유) 1

[0152]

상대적인 표준화된 발현	일반명	유전자 기호	설명
1.376	MYD88	MYD88	골수 분화 주요 반응 유전자 (88)
1.371	B144; LST-1; D6S49E; MGC119006; MGC119007	LST1	백혈구 특이적인 전사체 1
1.348	OS9	OS9	골육종에서 증폭됨
1.334	TEM7R; FLJ14623	PLXDC2	플렉신(plexin) 도메인 함유 2
1.334	Rab22B	RAB31	RAB31, 구성원 RAS 종양유전자 계열
1.301	TS; TXS; CYP5; THAS; TXAS; CYP5A1	TBXAS1	트롬복산 A 신타제 1 (헬소판, 사이토크롬 P450, 계열 5, 아제열 A)
1.292	HXK3; HKIII	HK3	헥소키나제 3 (백색 세포)
1.292	RISC; HSCP1	SCPEP1	세린 카복시펩티다제 1
1.283	IBAI; AIF-1; IRT-1	AIF1	동종이식 염증 인자 1
1.283	CD14	CD14	CD14 분자
1.27	PI; A1A; AAT; PII; A1AT; MGC9222; PRO2275; MGC23330	SERPINA1	세르핀 펩티다제 억제제, 클레이드 A (알파-1 항프로테이나제, 안티트립신), 구성원 1
1.261	LIR6; CD85I; LIR-6; MGC126563	LILRA1	백혈구 면역글로불린-유사 수용체, 아제열 A (TM 도메인 지님), 구성원 1
1.221	CAP102; FLJ36832	CTNNA1	카데닌 (카드헤린 -관련된 단백질), 알파 1, 102kDa
1.192	BCKDK	BCKDK	촉촉 캐토산 데하이드로게나제 키나제
1.137	p75; TBPII; TNFBR; TNFR2; CD120b; TNFR80; TNF-R75; p75TNFR; TNF-R-II	TNFRSF1B	종양 피사 인자 수용체 상과, 구성원 1B

[0153]

[0154]

[ 표 8b ]

M2.1 LTB 대 대조군, 잠복성 TB에서 과잉제시된 유전자

상대적인 표준화된 발현	일반명	유전자 기호	설명
	P22_15_LTByCSelect_09May 08 PAL2Ttest UP M2_01		
0.801	LIME; LP8067; FLJ20406; dJ583P15.4; RP4-583P15.5	LIME1	Lck 상호작용 막판통 적응인자 1
0.769	FLJ34563; MGC35163	SAMD3	멸균 알파 모티프 도메인 함유 3
0.763	SISD; SCYA5; RANTES; TCP228; D17S136E; MGC17164	CCL5	케모킨 (C-C 모티프) 리간드 5
0.758	ORP7; MGC71150	OSBPL7	옥시스테롤 결합 단백질-유사 7
0.757		LOC387882	
0.736	SLP2; SGA72M; CHR11SYT; KIAA1597; MGC102768	SYTL2	시냅토타그민-유사 2
0.735	DORZ1; DKFPZP564O243	ABHD14A	ab하이드롤라제 도메인 함유 14A
0.727	MGC33870; MGC74858	NCALD	뉴로칼신 멜타
0.691	LPAP; CD45-AP; MGC138602; MGC138603	PTPRCAP	단백질 타이로신 포스파타제, 수용체 형, C-관련된 단백질
0.686	T11; SRBC	CD2	CD2 분자
0.671	CD8; MAL; p32; Leu2	CD8A	CD8a 분자
0.656	HOP; OBI; LAGY; Toto; Cameo; NECC1; SMAP31; MGC20820	HOP	호메오 도메인-유일 단백질
0.651	2F1; MAFA; MAFA-L; CLEC15A; MAFA-2F1; MGC13600	KLRG1	킬러 세포 헥틴-유사 수용체 아제열 G, 구성원 1
0.65		LOC197135	
0.643	GIG1	NKG7	천연 킬러 세포 그룹 7 서열
0.638	TSAd; F2771	SH2D2A	SH2 도메인 단백질 2A
0.634	FEOM; CFEOM; FEOM1; CFEOM1; FLJ20052; KIAA1708; DKFPZp779C159	KIF21A	기네신 계열 구성원 21A
0.627	KIAA0442; MGC13140	AUTS2	자폐증 감수성 후보물 2
0.583	BFFP; TM7LN4; TM7XN1; DKFPZp781L1398	GPR56	G 단백질-결합된 수용체 56
0.572	TARP; CD3G; TCRG; TCRGC1; TCRGC2	TARP	TCR 감마 대체 판독 프레임 단백질
0.502	519; LAG2; NKG5; LAG-2; D2S69E; TLA519	GNLY	그래놀라이신
0.303	CCP-X; CGL-2; CSP-C; CTLA1; CTSGL2	GZMH	그램자임 H (카텝신 G-유사 2, 단백질 h-CCPX)

[0155]

[0156]

[표 8c]

M2.6 LTB 대 대조군, 잠복성 TB에서 하향제시된 유전자

상대적인 표준화된 발현	일반명	유전자 기호	설명
	P22_15_LTBVCSel ect_09May 08_PAL2Ttest DOWN M2.06		
	모듈 2.06, 폴수, 변화 배수는 LTB에 비해 건강한데, 즉, LTB에서 저하된다		
2.409	HsT287	ZNF516	아연 평거 단백질 516
2.286	CRISP11; LCRISP2; MGC74865; DKFZP434B044	CRISPLD2	시스테인-풍부한 분비 단백질 LCCL 도메인 함유 2
2.177	MAG1; GPAT3; AGPAT8; MGC11324	HMFN0839	폐암 전이-관련된 단백질
2.095	CDD	CDA	사이티딘 데아미나제
2.094	CRBP4; CRBPIV; MGC70641	RBP7	레티놀 결합 단백질 7, 세포성
1.917	SSC1; HsT17287	AQP9	아쿠아포린 9
1.916	GMR; CD116; CSF2R; CDW116; CSF2RX; CSF2RY; GMCSFR; CSF2RAX; CSF2RAY; MGC3848; MGC4838; GM-CSF-R-알파	CSF2RA	콜로니 자극 인자 2 수용체, 알파, 저-친화성(파밀리-대식 세포)
1.853	G0S8	RGS2	G-단백질 시그널링의 조절인자 2, 24kDa
1.734	HKII; HXK2; DKFZp686M1669	HK2	헥소키나제 2
1.734	BB1	LENG4	백혈구 수용체 군집 (LRC) 구성원 4
1.701	UB1; CEP3; BORG2; FLJ46903	CDC42EP3	CDC42 효과인자 단백질 (Rho GTPase 결합) 3
1.671	SPAL2; FLJ23126; FLJ23632; KIAA1389	SIPA1L2	시그널-유도된 증식-관련된 1 유사 2
1.669	ST1; SYCL; MDA-9; TACIP18	SDCBP	신데칸 결합 단백질 (신데닌)
1.669	CAN; CAIN; N214; D9S46E; MGC104525	NUP214	뉴클레오포린 214kDa
1.651		SLC19A1	
1.65	LPB3; S1P3; EDG-3; S1PR3; FLJ37523; MGC71696	EDG3	내피 분화, 스팽고지질 G-단백질-결합된 수용체, 3
1.642	FPR; FMLP	FPR1	포르밀 웹타이드 수용체 1
1.61	GPCR1; GPR86; GPR94; P2Y13; SP174; FKSG77	P2RY13	푸린성 수용체 P2Y, G-단백질 결합된, 13
1.606	WDR80; FLJ00012	ATG16L2	ATG16 자가포식현상 관련 16-유사 2 (에스. 세레비지아에)
1.601	LENG5; SEN34; SEN34L	TSEN34	tRNA 스플라이싱 엔도뉴클레아제 34 동족체 (에스. 세레비지아에)
1.575	FPP; p55; p60; TBP1; TNF-R; TNFAR; TNFR1; p55-R; CD120a; TNFR55; TNFR60; TNF-R-I; TNF-R55; MGC19588	TNFRSF1A	종양 괴사 인자 수용체 상과, 구성원 1A
1.572	PELI2	PELI2	펠리노 동족체 2 (드로소필라)
1.562	FLJ13052; FLJ37724; DJ283E3.1; RP1-283E3.6	NADK	NAD 키나제
1.558	5-LO; 5LPG; LOG5; MGC163204	ALOX5	아라키도네이트 5-리폭시케나제
1.534	TMPIT	TMPIT	종양 괴사 인자 알파에 의해 유도된 막관통 단백질

[0157]

1.517	FLJ31978	GLT1D1	글리코실트랜스퍼라제 1 도메인 함유 1
1.517	PFKFB4	PFKFB4	6-포스포프럭토 -2-키나제/프럭토즈 -2,6-비포스파타제 4
1.516	FLJ22470; KIAA1993; MGC24652; RP1-106H5.1	ZBTB34	아연 링거 및 BTB 도메인 함유 34
1.482	P39; VATX; VMA6; ATP6D; ATP6DV; VPATPD	ATP6V0D1	ATPase, H <sup>+</sup> 수송, 라이소솜 38kDa, V0 아단위 d1
1.473	PRAM-1; MGC39864	PRAM1	PML-RARA 조절된 적응인자 분자 1
1.471	BIT; MFR; P84; SIRP; MYD-1; SHPS1; CD172A; PTPNS1; SHPS-1; SIRP알파; SIRP알파2; SIRP-알파-1	PTPNS1	시그널-조절 단백질 알파
1.463	M130; MM130	CD163	CD163 분자
1.434	AF-1; IFGR2; IFNGT1	IFNGR2	인터페론 감마 수용체 2 (인터페론 감마 변환인자 1)
1.405	RALB	RALB	v-ras 원숭이 백혈병 바이러스 종양유전자 동족체 B (ras 관련; GTP 결합 단백질)
1.405	SLCO3A1	SLCO3A1	용질 담체 유기 양이온 전달체 계열, 구성원 3A1; 동의어: OATP-D, OATP3A1, FLJ40478, SLC21A11; 용질 담체 계열 21 (유기 양이온 전달체), 구성원 11; 호모 사페엔스 용질 담체 유기 양이온 전달체 계열, 구성원 3A1 (SLCO3A1), mRNA.
1.397	PTPE; HPTPE; DKFZp313F1310; R-PTP- 엡실론	PTPRE	단백질 타이로신 포스파타제, 수용체 형, E
1.397	RCC4; FLJ14784	DIRC2	신장 암종 2에서 파괴됨
1.396	DAP12; KARAP; PLOSL	TYROBP	TYRO 단백질 타이로신 키나제 결합 단백질
1.371	B144; LST-1; D6S49E; MGC119006; MGC119007	LST1	백혈구 특이적인 전사체 1
1.359	BFD; PFC; PFD; PROPERDIN	PFC	보체 인자 프로페르딘
1.31	CAG4A; ERDA5; PRAT4A	TNRC5	트리뉴클레오파이드 반복체 함유 5
1.307	CD18; TNFCR; D12S370; TNFR-RP; TNFRSF3; TNFR2- RP; LT-베타-R; TNF-R-III	LTBR	림포특신 베타 수용체 (TNFR 상파, 구성원 3)
1.305	CEB	VAMP3	소포-관련된 막 단백질 3 (셀루브레빈)
1.304	CSC-21K	TIMP2	TIMP 메탈로 웨티다제 억제제 2
1.301	BPOZ; EF1ABP; PP2259; MGC20585	ABTB1	안카린 반복체 및 BTB (POZ) 도메인 함유 1
1.294	C6orf209; FLJ11240; bA810I22.1; RP11-810I22.1	LMBRD1	LMBR1 도메인 함유 1
1.266	PBF; C21orf1; C21orf3	PTTG1IP	뇌하수체 종양-형질전환 1 상호작용 단백질
1.235	ZFYVE10; FLJ32333; KIAA0371; FYVE-DSP1	MTMR3	마이오튜블라린 관련 단백질 3
1.216	CFP1; CBCP1; C10orf9	C10orf9	사이클린 Y
1.2	SPT4H; SUPT4H	SUPT4H1	Ty 4 동족체 1 (에스. 세레비지아에)의 억제인자

[0158]

[0159]

[표 8d]

M2.10 LTB 대 대조군, 잠복성 TB에서 하향제시된 유전자

상대적인 표준화된 발현	일반명	유전자 기호	설명
	P22_15_LTByCSelect_09May 08_PAL2Ttest DOWN_M2.10		
	미정의 모듈 M2.10, 변화 배수는 LTB에 비해 건강한데, 즉, LTB에서 저하된다		
1.608	JAM1; AMICA; Gm638; CREA7-1; CREA7-4; FLJ37080; MGC118814; MGC118815	AMICA1	부착 분자, CXADR 항원 1과 상호작용
1.537	MPEG1; MGC132657; MGC138435	MPEG1	대식 세포 발현된 유전자 1
1.514	L13; MGC13061	RNF135	환 평거 단백질 135
1.507	PAK알파; MGC130000; MGC130001	PAK1	p21/Cdc42/Rac1-활성화된 키나제 1 (STE20 동종체, 효모)
1.471	T49; pT49	FGL2	피브리노겐 -유사 2
1.405	KIAA0513	KIAA0513	
1.396	NCKX4; SLC24A2; FLJ38852	SLC24A4	용질 담체 계열 24 (나트륨/칼륨 /칼슘 교환기), 구성원 4
1.358	FLJ34389	MLKL	혼합된 계통 키나제 도메인-유사
1.348	ETO2; MTG16; MTGR2; ZMYND4	CBFA2T3	코어-결합 인자, 런트(runt) 도메인, 알파 아단위 2; 전좌된, 3
1.331	IRC1; IRC2; IRP60; IGSF12; CMRF35H; CMRF-35H; CMRF35H9; CMRF-35-H9	CD300A	CD300a 분자
1.3	GLIPR; RTVP1; CRISP7	GLIPR1	GLI 발병기전-관련 1 (신경아교종)
1.229	ENC-1AS	HEXB	헥소스아미니다제 B (베타 폴리펩타이드)
1.222	TIRP; TRAM; TIRAP3; TICAM-2; MGC129876; MGC129877	TICAM2	툴-유사 수용체 적응인자 분자 2
1.175	FLJ31265	NUDT16	누딕스 (뉴클레오사이드 디포스페이트 결합된 잔기 X)-형 모티프 16
1.17	FKBP133; KIAA0674	KIAA0674	FK506 결합 단백질 15, 133kDa

[0160]

[0161]

[표 8e]

M3.2 LTB 대 대조군, 잠복성 TB에서 하향제시된 유전자

상대적인 표준화된 발현	일반명	유전자 기호	설명
	P22_15_LTBVSelect_09May 08_PAL2Ttest_DOWN_M3.2		
	염증 3.2배 변화는 LTB에 비해 건강한데, 즉, LTB에서 저하된다.		
4.289	K60; NAF; GCP1; LECT; LUCT; NAP1; 3-10C; CXCL8; GCP-1; LYNAP; MDNCF; MONAP; NAP-1; SCYB8; TSG-1; AMCF-I; b-ENAP	IL8	인터루킨 8
2.068	CD87; UPAR; URKR	PLAUR	플라스미노겐 활성인자, 유로키나제 수용체
2.009	PBEF; NAMPT; MGC117256; DKFZP666B131; 1110035O14Rik	PBEF1	예비-B-세포 콜로니 증진인자 1
1.9		IER3	
1.87	TREM-1	TREM1	골수 세포 1에서 발현된 개시 수용체
1.79	E4BP4; IL3BP1; NFIL3A; NF-IL3A	NFIL3	핵 인자, 인터루킨 3 조절원
1.739	KIAA1145	TMCC3	막관통 및 코일드-코일 도메인 계열 3
1.728	PINH; FLJ21759; FLJ23500; C20orf110; d1181N3.1; DKFZp434B2411; DKFZp434O0827	TP53INP2	종양 단백질 p53 유도성 핵 단백질 2
1.705	MAD; MAD1; MGC104659	MXD1	MAX 이량체화 단백질 1
1.657	SGK1	SGK	혈청/글루코코르티코이드 조절된 키나제
1.654	SLCO3A1	SLCO3A1	용질 담체 유기 양이온 전달체 계열, 구성원 3A1; 동의어: OATP-D, OATP3A1, FLJ40478, SLC21A11; 용질 담체 계열 21 (유기 양이온 전달체), 구성원 11; 호모 사파엔스 용질 담체 유기 양이온 전달체 계열, 구성원 3A1 (SLCO3A1), mRNA.
1.637	C5orf6	FAM53C	서열 유사성을 가진 계열 53, 구성원 C
1.632	PDLIM7	PDLIM7	PDZ 및 LIM 도메인 7(수수께끼)
1.591	NIN1; NINJURIN	NINJ1	닌주린(ninjurin) 1
1.572	RIT; RIBB; ROC1; MGC125864; MGC125865	RIT1	CAAX 1이 없는 Ras-유사
1.567	SB135	MYADM	골수-관련된 분화 마커
1.54	RCP; NOEL1A; FLJ22524; FLJ22622; MGC78448; rab11-FIP1; DKFZp686E2214	RAB11FIP1	RAB11 계열 상호작용 단백질 1 (제I 부류)
1.526	DANGER; bA127L20; bA127L20.2; RP11-127L20.4	KIAA1754	KIAA1754
1.515		SPAG9	
1.499	HSS; JLP; HLC4; PHET; PIG6; FLJ13450; FLJ14006; FLJ26141; FLJ34602; KIAA0516; MGC14967; MGC74461; MGC117291	SPAG9	정자 관련된 항원 9
1.496	MGC20461	OSM	온코스타틴 M
1.444	KIAA1673	CPEB4	세포질성 폴리아데닐화 성분 결합 단백질 4

[0162]

상대적인 표준화된 빌현	일반명	유전자 기호	설명
1.433	IL-1; IL1F2; IL1-베타	IL1B	인터루킨 1, 베타
1.413	TRIP8; FLJ14374; KIAA1380; RP11-10C13.2; DKFZp761F0118	JMJD1C	주몬지(jumonji) 도메인 함유 1C
1.41	FLJ11080; FLJ33961; DKFZP566A1524	FAM49A	서열 유사성을 가진 계열 49, 구성원 A
1.4	EOPA; NUDEL; MITAP1; DKFZp451M0318	NDEL1	nudE 해 분포 유전자 E 동족체 [에이]. 니둘란스(A. nidulans)-유사 1
1.384	NHE8; FLJ42500; KIAA0939; MGC138418; DKFZp686C03237	SLC9A8	용질 담체 계열 9 (나트륨/수소 교환인자), 구성원 8
1.379	FLJ14744	PPP1R15B	단백질 포스파타제 1, 조절 (억제제) 아단위 15B
1.356	PPG; PRG; PRG1; MGC9289; FLJ12930	PRG1	세르글리신
1.348	ATG8; GEC1; APG8L	GABARPL1	GABA(A) 수용체-관련된 단백질 유사 1
1.332	TTP; GOS24; GOS24; TIS11; NUP475; RNF162A	ZFP36	아연 링거 단백질 36, C3H 형, 동족체 (마우스)
1.329	PFK2; IPFK2	PFKFB3	6-포스포프럭토 -2-카나제/프럭토즈 -2,6-비포스파타제 3
1.31	DKFZp547M072	MIDN	미드놀린
1.301	FLJ13448	COQ10B	보조효소 Q10 동족체 B (에스. 세레비지아에)
1.285	C8FW; GIG2; SKIP1	TRIB1	트리블 동족체 1 (드로소필라)
1.284	FLJ13725; KIAA1930	FAM65A	서열 유사성을 가진 계열 65, 구성원 A
1.272	FLJ46337; MGC117209; DKFZP434H132	C15orf39	염색체 15 개방 관독 프레임 39
1.258	AII; AVP; FCU; MWS; FCAS; CIAS1; NALP3; C1orf7; CLR1.1; PYPAF1; AII/AVP; AGTAVPRL	CIAS1	NLR 계열, 피린 도메인 함유 3
1.252	BRF1; ERF1; cMG1; ERF-1; Berg36; TIS11B; RNF162B	ZFP36L1	아연 링거 단백질 36, C3H 형-유사 1
1.249	FRA2; FLJ23306	FOSL2	FOS-유사 항원 2
1.235	GADD34	PPP1R15A	단백질 포스파타제 1, 조절 (억제제) 아단위 15A
1.235	p33; p47; p33ING1; p24ING1c; p33ING1b; p47ING1a	ING1	성장 계열의 억제제, 구성원 1
1.231	P47; FLJ27168	PLEK	플렉스트린
1.218	UBP; SH003; MGC129878; MGC129879	USP3	유비퀴린 특이적인 웹티다제 3
1.208	Sei-2; TRIP-Br2; MGC126688; MGC126690	SERTAD2	SERTA 도메인 함유 2
1.204	DCTN4	DCTN4	다이낙틴(dynactin) 4 (p62)
1.192	ROX; MAD6; MXD6	MNT	MAX 결합 단백질
1.165	RBT1	SERTAD3	SERTA 도메인 함유 3
1.157	WIPI3; WIPI-3	WDR45L	WDR45-유사
1.156	ERF; RF1; ERF1; TB3-1; DSS1995; SUP45L1; MGC111066	ETF1	전핵세포 해독 종결 인자 1
1.156	KIAA0118	RAB21	RAB21, 구성원 RAS 종양유전자 계열
1.098	MAPKAPK2	MAPKAPK2	유사분열물질 -활성화된 단백질 키나제- 활성화된 단백질 키나제 2

[0164]

[표 8f]

M3.3 LTB 대 대조군, 잠복성 TB에서 하향제시된 유전자

상대적인 표준화된 빌현	일반명	유전자 기호	설명
	P22_15_LTByCSelect_09May 08_FAL2Ttest DOWN M3.3		
	염증 3.2배 변화는 LTB에 비해 건강한데, 즉, LTB에서 저하된다		
2.716	QC; GCT	QPCT	글루타미닐-펩타이드 사이클로트랜스퍼라제 (글루타미닐 사이클라제)
2.579	CRE-BPA	CREB5	cAMP 반응성 성분 결합 단백질 5
2.468	APN; CD13; LAP1; PEPN; gp150	ANPEP	알라닐(마) 아미노펩티다제 (아미노펩티다제 N, 아미노펩티다제 M, 미세소체 아미노펩티다제, CD13, p150)
2.426	PAD; PDI4; PDI5; PADIS	PADI4	펩티딜 아르기닌 테아미나제, IV형
2.245	MRP; WLS; Clorf139; FLJ23091; MGC14878; MGC131760	GPR177	G 단백질-결합된 수용체 177
2	HIS; HSTD; 히스티다제	HAL	히스티딘 암모니아리아제
1.963	PYGL	PYGL	포스포릴라제, 글리코겐; 간[히스병(Hers disease), 글리코겐 저장병 VI형)
1.948		EGFL5	
1.935	L-H2; ASGP-R; CLEC4H2; Hs.1259	ASGR2	아시알로 당단백질 수용체 2
1.892	CD114; GCSFR	CSF3R	콜로니 자극 인자 3 수용체 (과립구)
1.882	LAMPB; CD107b; LAMP-2C	LAMP2	라이소솜-관련된 막 단백질 2
1.813	ALFY; ZFYVE25; KIAA0993; MGC16461	WDFY3	WD 반복체 및 FYVE 도메인 함유 3
1.8	STX3A	STX3A	신탁신 3
1.771	CR1	CR1	보체 성분 (3b/4b) 수용체 1 (크냅스 혈액 그룹); 동의어: KN, C3BR, CD35; 동형 F 전구체는 전사 변이체 F에 의해 암호화된다; C3-결합 단백질; CD35 항원; 보체 성분 수용체 1; C3b/C4b 수용체; 크냅스 혈액 그룹 항원; 호모 사피엔스 보체 성분 (3b/4b) 수용체 1 [크냅스(Knops) 혈액 그룹] (CR1), 전사 변이체 F, mRNA.
1.764	DCL-1; BIMLEC; CLEC13A; KIAA0022	CD302	CD302 분자
1.758	FER1L1; LGMD2B; FLJ00175; FLJ90168	DYSF	디스페린, 지대근디스트로피 2B (상염색체 열성)
1.733	TM6SF1	TM6SF1	막관통 6 상과 구성원 1
1.721	MYO1F	MYO1F	미오신 IF
1.691	CPR8; KIAA1254	CCPG1	세포 주기 진행 1
1.688	LAB; NTAL; WSCR5; WBSCR5; HSPC046; WBSCR15	LAT2	T 세포 계열의 활성화용 링거, 구성원 2
1.687	CNAIP; FLJ40652; bK126B4.4	NFAM1	ITAM 모티프 1을 지닌 NFAT 활성화 단백질
1.659	FVL; PCCF; 인자 V	F5	옹고 인자 V (프로액셀레린, 불안정 인자)
1.655	FLJ20273; DKFZp686F02235	FLJ20273	RNA-결합 단백질

[0165]

상대적인 표준화된 발현	일반명	유전자 기호	설명
1.647	NR4; CD213A1; IL-13Ra	IL13RA1	인터루킨 13 수용체, 알파 1
1.636	NCF; MGC3810; P40PHOX; SH3PXD4	NCF4	호중구 세포질성 인자 4, 40kDa
1.635	p63; CLIMP-63; ERGIC-63; MGC99554	CKAP4	세포골격 -관련된 단백질 4
1.611	SELR; SELX; MSRB1; HSPC270; MGC3344	SEPX1	셀레노 단백질 X, 1
1.6	MD-2	LY96	림프구 항원 96
1.599	NPL1; c112; C1orf13; MGC61869; MGC149582	NPL	N-아세틸뉴라미네이트 피투베이트 리아제(디하이드로디피콜리네이트 신타제)
1.59	HAP; ASYIP; NSPL2; NSPLII; RTN3-A1	RTN3	레티콜론 3
1.581	VMP1; DKFZP566I133	TMEM49	막관통 단백질 49
1.567	HPB; HEBP	HEBP1	헵 결합 단백질 1
1.562	LAMPB; CD107b; LAMP-2C	LAMP2	라이소솜 -관련된 막 단백질 2
1.559	C32; CKLF1; CKLF2; CKLF3; CKLF4; UCK-1; HSPC224	CKLF	케모킨-유사 인자
1.538		RASSF2	
1.532	SemE; SEMAE	SEMA3C	세마(sema) 도메인, 면역글로불린 도메인 (Ig), 짧은 염기성 도메인, 분비됨, (세마포린) 3C
1.53	ARAP3; DRAG1; FLJ21065	CENTD3	센타우린, 멜타 3
1.516	HIG-1; C14orf75; FLJ36164; MGC135025; DKFZp434N0820	TDRD9	튜우더 도메인 함유 9
1.51	CAMKK; CAMKKB; KIAA0787; MGC15254	CAMKK2	칼슘/칼모듈린 -의존성 단백질 키나제 2, 베타
1.503	MEKK3; MAPKKK3	MAP3K3	유사분열물질-활성화된 단백질 키나제 키나제 3
1.488	AC; PHP; ASAHI; PHP32; FLJ21558; FLJ22079	ASAHI	N-아실스핑고신 아미도 하이드롤라제 (산 세라미다제) 1
1.484	FCRN; 알파-쇄	FCGR7	IgG의 Fc 단편, 수용체, 전달체, 알파
1.479	MGC33054	SNX10	분류 넥신 10
1.474	HO68; VA68; VPPP2; Vma1; ATP6A1; ATP6V1A1	ATP6V1A	ATPase, H <sup>+</sup> 수송, 라이소솜 70kDa, V1 아단위 A
1.466	MGST; GST12; MGST-I; MGC14525	MGST1	미세소체 글루타티온 S-트랜스퍼라제 1
1.466	GAP1; RGSGAIP	RGS19	G-단백질 시그널링 19의 조절인자 트랜스케틸라제[베르니케 코스사코프 증후군(Wernicke-Korsakoff syndrome)]
1.461	TKT1; FLJ34765	TKT	嘟브(numb) 동족체 (드로소필라)
1.449	S171	NUMB	FCH 도메인 유일 2
1.448	FCHO2	FCHO2	가상 단백질 LOC339745
1.444	LOC339745	LOC339745	인테그린, 알파 M(보체 성분 3 수용체 3 아단위)
1.443	CR3A; MO1A; CD11B; MAC-1; MAC1A; MGC117044	ITGAM	종양 단백질 D52-유사 2
1.442	D54; hD54; DKFZp586A1765	TPD52L2	분류 넥신 계열 구성원 27
1.432	MY014; KIAA0488; MGC20471; MGC126871; MGC126873	SNX27	웨이킹(quaking) 동족체, KH 도메인 RNA 결합 (마우스)
1.429	QK; Hqk; QK3; DKFZp586I0923	QKI	제한숙주역 바이러스 통합 부위 2B
1.424	EVDB; D17S376	EVI2B	

[0166]

상대적인 표준화된 발현	일반명	유전자 기호	설명
1.424	PPT; CLN1; INCL	PPT1	팔미토일 -단백질 티오에스테라제 1 [세로이드-지방갈색소증(ceroid-lipofuscinosis), 신경세포 1, 영아)
1.405	AOAH	AOAH	아실옥시아실 하이드롤라제 (호중구)
1.404	MAY1; MGC49908; nPKC-엘타	PRKCD	단백질 키나제 C, 엘타
1.39	IMPA2	IMPA2	이노시톨 (myo)-1(또는 4)-모노포스파타제 2
1.382	ZYG11; FLJ13456	ZYG11B	zyg-11 동족체 B (씨. 엘레간스)
1.366	a3; Stv1; Vph1; Atp6i; OC116; OPTB1; TIRC7; ATP6N1C; ATP6V0A3; OC-116kDa	TCIRG1	T-세포, 면역 조절인자 1, ATPase, H+ 수송, 라이소솜 V0 아단위 A3
1.364	PGCP	PGCP	헬장 글루타메이트 카복시 펩티다제
1.362	NNA1; KIAA1035; DKFZp686M20191	AGTPBP1	ATP/GTP 결합 단백질 1
1.355	TTG2; RBTN2; RHOM2; RBTNL1	LMO2	LIM 도메인 유일 2 (롭보틴 -유사 1)
1.344	CIP1; FLJ46905	SLC12A9	용질 담체 계열 12 (칼륨/클로라이드 전달체), 구성원 9
1.34	ASRT5; IRAKM; IRAK-M	IRAK3	인터루킨-1 수용체-관련된 키나제 3
1.34	NEU; SIAL1	NEU1	시알리다제 1 (라이소솜 시알리다제)
1.332	CRFB4; CRF2-4; D21S58; D21S66; CDW210B; IL-10R2	IL10RB	인터루킨 10 수용체, 베타
1.321	ASC; TMS1; CARD5; MGC10332	PYCARD	PYD 및 CARD 도메인 함유
1.31	KLHDC7C; KIAA0711	KBTBD11	켈크(kelch) 반복체 및 BTB (POZ) 도메인 함유 11
1.308	LTA4H	LTA4H	류코트리엔 A4 하이드롤라제
1.307	NR2B1; FLJ16020; FLJ16733; MGC102720	RXRA	레티노이드 X 수용체, 알파
1.303	JAM; KAT; JAM1; JAMA; JCAM; CD321; JAM-1; JAM-A; PAM-1	F11R	F11 수용체
1.298	LH; LLH; PLOD	PLOD1	프로콜라겐-라이신 1, 2-옥소글루타레이트 5-디옥시계나제 1
1.285	JTK8; FLJ26625	LYN	v-yes-1 아마구치 옥종 바이러스 관련 중앙유전자 동족체
1.281	MTX; MTXN	MTX1	메탁신 1
1.28	CGI-44	SQRDL	설파이드 키는 리덕타제-유사 (효모)
1.267	FLJ20424	C14orf94	염색체 14 개방 관독 프레임 94
1.248	DCIR; LLIR; DDB27; CLECSF6; HDCGC13P	CLEC4A	C-형 렉틴 도메인 계열 4, 구성원 A
1.238	EI; LEI; PI2; MNEI; M/NEI; ELANH2	SERPINB1	세르핀 펩티다제 억제제, 클레이드 B (오브알부민), 구성원 1
1.234	3PK; MAPKAP3	MAPKAPK3	유사분열물질-활성화된 단백질 키나제-활성화된 단백질 키나제 3
1.227		ACSS2	
1.217	H2A.y; H2A/y; H2AFJ; mH2A1; H2AF12M; MACROH2A1.1; macroH2A1.2	H2AFY	H2A 히스톤 계열, 구성원 Y
1.213	PP3856	NAPRT1	니코티네이트 포스포리보실트랜스퍼제 도메인 함유 1

[0167]

상대적인 표준화된 발현	일반명	유전자 기호	설명
1.212	ESP-2; HED-2	ZYX	자익신
1.179	SPC18; SPCS4A; SEC11L1; sid2895; 1810012E07Rik	SEC11L1	SEC11 동족체 A (에스. 세 레비지아에)
1.173	hEDTP; C3orf29; FLJ22405; FLJ90311	C3orf29	마이오톤불라린 관련 단백질 14
1.129	TGN38; TGN46; TGN48; TGN51; TTGN2; MGC14722	TGOLN2	트랜스-폴리 네트워크 단백질 2

[0168]

[0169] 비록 세포독성 모듈에서 유전자의 과발현/제시에 의해 나타난 것으로서 명확히 활동성인 면역 반응이라고 해도, 활동성 TB 그룹은, 가능한 보다 완화된 것의 반영인, 잠복성 그룹과 비교하여, 5281개 유전자가 건강한 대조군과 비교하여 차등적으로 발현된 것을 나타내었으며, 이는 대조군과 비교한 것으로서 3137개 유전자의 차등적 발현만을 나타내었다. 본 발명을 설명하며 제한하는 것이 아닌, 당해 결과는, 아마도 추가의 모듈에 있어서의 변화가 대조군과 비교하여 활동성 TB 환자에서 관측되었지만, 대조군과 비교하여 잠복성 TB에서는 그렇지 않았음을 설명한다. 이는 M1.2에서 과발현된/제시된 유전자(혈소판, 표 7A에 나열된 유전자), 및 M1.3(B 세포, 표 7B

에 나열된 유전자), 및 M2.8(T 세포, 표 7H에 나열된 유전자)에서 저발현된/제시된 유전자를 포함하였으며, 후자는, 아마도, 결핵균 감염에 대한 T 세포 반응에서, T 세포가 감염 부위로 보충되고/되거나 만성 감염 동안 억제되는 것이 가능하므로, 예측된다. 하향-발현/제시된 모듈 M2.4에서의 유전자(표 7G에 나열한 유전자)는, 발현이 급성 감염 및 패혈증에서 변경된 리보솜 단백질 계열 구성원을 암호화하는 전사체를 포함하였고(참조: Calvano, 2005; Thach, 2005), 당해 모듈에서 유전자는 또한 SLE, 간 이식 환자 및 스트렙토코쿠스 뉴모니아에 [*Streptococcus (S. pneumoniae)*]로 감염된 환자에서 저발현되는 것으로 밝혀졌다(참조: Chaussabel, Immunity, 2005). 활동성 TB에서 과발현된 유전자의 최대 세트(검출된 90개 중 66개 유전자, 표 7I)는 모듈, M3.1(IFN-유도성)에서 관측되었으나, 보호시 IFN- $\gamma$ 의 역할을 유지하는데 있어서, 당해 모듈내 유전자들은 대조군과 비교하여 감염을 제어하는 잠복성 TB 환자에서 차등적으로 발현되지 않았다. 활동성 TB 유전자는 일관된 작용 모듈을 나타내지 않았으나 명백하게 다양한 유전자 세트로 이루어지고, 또한 간 이식 수용체에서 저발현되는 것으로 관측된 유전자를 함유하는 다수의 모듈(M3.4, M3.6, M3.7, M3.8 및 M3.9, 표 7L 내지 표 7P에 나열된 유전자)에서 저발현되었다(참조: Chaussabel., 2008, Immunity).

[0170] 전혈의 전사적 분석을 기초로 당해 모듈러 맵 시도를 사용하여 활동성 TB 환자를 잠복성 TB 환자로부터 구별할 수 있었다. 또한, 당해 연구에서 활동성 TB에 대해 수득된 모듈러 맵의 상이한 질병에 대해 생성된 다른 모듈러 맵과의 비교에서, 활동성 TB 환자는 SLE, 이식, 흑색종 환자 또는 에스. 뉴모니아에(*S. pneumoniae*) 환자에서 관측된 것 보다 병백한 전체적인 전사 프로파일(도 9)를 가진다(참조: Chaussabel, 2008, Immunity). 특정 모듈은 리보솜 단백질 계열 구성원을 암호화하는 전사체를 포함하며 활동성 TB, SLE, 간 이식 환자 및 에스. 뉴모니아에로 감염된 환자에서 저발현된, M2.4와 같은 다수의 질병에 일반적일 수 있다. 그러나, 다른 모듈에서의 유전자는, 비록 활동성 TB(도 9) 및 SLE(참조: Chaussabel, 2008, Immunity)에서 과발현되지만, 다른 질병, 특히 에스. 뉴모니아에에서는 그렇지 않고, 대조군과 비교하여 M3.1에서 차등적인 유전자 발현을 나타내지 않는, M3.1(IFN-유도성)과 같은 다른 모듈에서 유전자의 크게 영향받지 않는다. SLE에 있어서 전사 프로파일은 다수의 다른 모듈에서 유전자의 과 또는 저발현과 관련하여 활동성 TB와 상이하다. 유사하게, 모듈 M3.2 및 M3.3("염증"), M1.2("혈소판") 및 M1.5("골수")에서 유전자의 과발현, 및 M3.4, 5, 6, 7, 8 및 9(비-작용적인 일관된 모듈)에서 유전자의 저발현이 활동성 TB 및 에스. 뉴모니아에에서 관측된다고 해도, 모듈 M2.2(호중구), M2.3(적혈구), M3.5(비-작용적인 일관된 모듈)에서 유전자가 대조군과 비교하여 에스. 뉴모니아에에서 과발현되지만 활동성 TB에서 차등적으로 형향을 받지 않기 때문에, 당해 질병은 여전히 본 발명에 의해 구별될 수 있다. 따라서, 데이터의 복잡성 및 크기를 보유하고, 여전히 복잡한 데이터의 크기를 구조화하고 감소시킴으로써, 혈액의 전사 프로파일에 의해 상이한 감염 및 염증병을 구별하는 것이 가능하다(참조: Chaussabel, 2008, Immunity).

[0171] 본 발명은 잠복성 TB 환자 및 활동성 TB 환자의 혈액에서 전사 시그너처의 분별있는 차등적이고 상반되는 데이터세트를 확인한다. 상세하게는, 활동성 TB 환자는 작용적 IFN-유도성의 염증 및 골수 모듈에서 유전자의 과발현/제시를 나타내었으며, 한편 잠복성 TB에서 하향-조절/하향-제시되었다. 활동성 TB 환자는 TB에서 면역병인에 기여할 수 있는 면역조절성 유전자 PDL-1 및 PDL-2의 발현/과잉-제시를 나타내었으며 증가시켰다. 잠복성 TB 환자로부터의 혈액은 이들 환자에서 결핵균에 의한 감염을 함유하는 보호성 반응에 기여할 수 있고 임상 시도에서 백신접종의 효능을 시험하기 위한 생물표지자를 제공할 수 있는, 세포독성 모듈내 유전자의 과발현/제시를 나타내었다. 본 발명자는, 우리의 사전 연구의 성공이 잠복성의 기여를 지지하는 면역 반응성 연구, RNA 수집 및 분리의 개선된 품질, 전체 게놈 마이크로어레이 플랫폼의 향상된 높은 처리량, 및 유전자 발현의 크기율 보유하지만 허용되는 포맷을 사용하는 세련된 데이터 마이닝 도구와 동반하여 본 발명자가 사용한 엄격한 임상 범주에 의해 달성된 것으로 여기고 있다(참조: Chaussabel et al., 제출됨). 이러한 발견은 잠복성 TB 및 활동성 TB의 진단으로서 가치가 있을 것이며, 면역 병인(활동성 TB)에 대한 면역 보호(잠복성 TB)의 강력한 메카니즘으로의 통찰, 직면한 이들 전사적 차이 및 보호용의 신규한 치료요법의 설계 또는 항-마이코박테리아 약물을 사용하여 보다 빠른 치유를 달성하기 위한 활동성 TB에서 면역 치료제의 설계를 수득할 수 있다.

[0172] 본 명세서에 논의된 특정 양태는 본 발명의 특정 방법, 키트, 시약 또는 조성물과 관련하여, 및 역으로 실행될 수 있음이 고려된다. 또한, 본 발명의 조성물은 본 발명의 방법을 달성하는데 사용될 수 있다.

[0173] 본원에 기술된 특정 양태는 나열 방식으로 나타낸 것이며 본 발명을 제한하지 않는 것으로 이해되어야 할 것이다. 본 발명의 근본적 특징은 본 발명의 영역을 벗어남이 없이 각종 양태에서 사용될 수 있다. 당해 분야의 숙련가는 본원에 기술된 특정 과정에 대한 통상의 실험, 다수의 등량체를 사용하여 인지하거나 추정할 수 있을 것이다. 이러한 등량체들은 본 발명의 영역내에 있는 것으로 고려되며 특허청구범위에 포함된다.

[0174] 명세서에서 언급된 모든 공보 및 특허원은 본 발명이 속한 당해 분야의 통상의 기술자의 기술 수준의 지표이다.

모든 공보 및 특허원은, 각각의 개개 공보 또는 특허원을 참조에 의해 인용하기 위해 상세하게 및 개별적으로 나타낸 바와 동일한 정도로 참조에 의해 본원에 인용된다.

[0175] 특허청구범위 및/또는 명세서에서 용어 "포함하는"과 함께 사용되는 경우 단수 "a" 또는 "an"의 사용은 "하나"를 의미할 수 있으나 또한 "하나 이상", "적어도 하나", 및 "하나 또는 하나 초과"의 의미와 일치한다. 특허청구범위에서 용어 "또는"의 사용은, 비록 기술이 단지 대안 및 "및/또는"을 언급하는 정의를 지지한다고 해도, 대체물 만을 언급하여 명백히 나타내거나 대체물이 서로 배타적이지 않는 한 "및/또는"을 의미하는데 사용된다. 명세서 전체를 통해, 용어 "약"은 값을 측정하는데 사용되는 장치, 방법에 대한 고유의 오차의 변화, 또는 연구 대상체 중에 존재하는 변화를 포함하는 값을 나타내는데 사용된다.

[0176] 명세서 및 특허청구범위에 사용된 것으로서, 단어 "포함하는"(및 "포함하다"와 같은 포함하는의 어떠한 형태), "갖는"(및 "갖다"와 같은 갖는의 어떠한 형태), "포괄하는"(및 "포괄하다"와 같은 포괄하는의 어떠한 형태) 또는 "함유하는"(및 "함유하다"와 같은 함유하는의 어떠한 형태)는 포함되거나 제한이 없으며 추가의, 인용되지 않은 성분 또는 방법 단계를 제외하지 않는다.

[0177] 본원에 사용된 것으로서, 용어 "또는 이의 조합"은 용어 이전의 나열된 항목의 모든 순열 및 조합을 말한다. 예를 들어, "A, B, C, 또는 이의 조합"은 A, B, C, AB, AC, BC, 또는 ABC, 및 순서가 특정 내용에서 중요한 경우, 또한 BA, CA, CB, CBA, BCA, ACB, BAC, 또는 CAB를 포함하는 것으로 의도된다. 본 실시예와 함께 지속적으로, BB, AAA, MB, BBC, AAABCCCC, CBBAAA, CABABB, 등과 같은 하나 이상의 항목 또는 용어의 반복을 함유하는 조합이 특별히 포함된다. 숙련가들은, 내용으로부터 달리 명백하지 않는 한, 통상적으로, 다수의 항목 및 용어의 어떠한 조합에서 제한이 없음을 이해할 것이다.

[0178] 본원에 기술되고 청구된 조성물 및/또는 방법 모두는 본 기술내용의 측면에서 과도한 실험없이 제조되고 실행될 수 있다. 본 발명의 조성물 및 방법이 바람직한 양태의 측면에서 기술되었다고 해도, 당해 분야의 숙련가에게는, 변화가 본 발명의 개념, 취지 및 영역을 벗어나지 않고 본원에 기술된 조성물 및/또는 방법 및 방법의 단계 또는 순서에서 적용될 수 있음이 명백할 것이다. 당해 분야의 숙련가에게 명백한 이러한 유사한 치환 및 변형 모두는 첨부된 특허청구범위에 의해 정의된 것으로서 본 발명의 취지, 영역 및 개념내에 있는 것으로 고려된다.

#### 참고문헌

- Alizadeh, A. A., Eisen, M. B., Davis, R. E., Ma, C., Lossos, I. S., Rosenwald, A., Boldrick, J. C., Sabet, H., Tran, T., Yu, X., et al. (2000). Distinct types of diffuse large Bcell lymphoma identified by gene expression profiling. *Nature* 403, 503-511.
- Allantaz, F., Chaussabel, D., Stichweh, D., Bennett, L., Allman, W., Mejias, A., Ardura, M., Chung, W., Wise, C., Palucka, K., et al. (2007). Blood leukocyte microarrays to diagnose systemic onset juvenile idiopathic arthritis and follow the response to IL-1 blockade. *J Exp Med* 204, 2131-2144.
- Allantaz F, Chaussabel D, Banchereau J, Pascual V (2007) Microarray-based identification of novel biomarkers in IL-1-mediated diseases. *Curr Opin Immunol* 19: 623-632.
- Baechler, E. C., Bathiwalla, F. M., Karypis, G., Gaffney, P. M., Ortmann, W. A., Espe, K. J., Shark, K. B., Grande, W. J., Hughes, K. M., Kapur, V., et al. (2003). Interferon inducible gene expression signature in peripheral blood cells of patients with severe lupus. *Proc Natl Acad Sci U S A* 100, 2610-2615.
- Bennett, L., Palucka, A. K., Arce, E., Cantrrell, V., Borvak, J., Banchereau, J., and Pascual, V. (2003). Interferon and granulopoiesis signatures in systemic lupus erythematosus blood. *J Exp Med* 197, 711-723.
- Bittner, M., Meltzer, P., Chen, Y., Jiang, Y., Seftor, E., Hendrix, M., Radmacher, M., Simon, R., Yakhini, Z., Ben-Dor, A., et al. (2000). Molecular classification of cutaneous malignant melanoma by gene expression profiling. *Nature* 406, 536-540.
- Blcharski, J.R., H. Li, C. Meinken, T.G. Graeber, M.T. Ochoa, M. Yamamura, A. Burdick, E.N. Sarno, M. Wagner, M. Rollinghoff, T.H. Rea, M. Colonna, S. Stenger, B.R. Bloom, D. Eisenberg, and R.L. Modlin. Use of genetic profiling in leprosy to discriminate clinical forms of the disease. *Science* (New York, N.Y 2003.301:1527-1530.

Burczynski, M. E., Twine, N. C., Dukart, G., Marshall, B., Hidalgo, M., Stadler, W. M., Logan, T., Dutcher, J., Hudes, G., Trepicchio, W. L., et al. (2005). Transcriptional profiles in peripheral blood mononuclear cells prognostic of clinical outcomes in patients with advanced renal cell carcinoma. *Clin Cancer Res* 11, 1181-1189.

Casanova, J.L., and L. Abel. Genetic dissection of immunity to mycobacteria: the human model. *Annual review of immunology* 2002;20:581-620.

Chaussabel, D., Allman, W., Mejias, A., Chung, W., Bennett, L., Ramilo, O., Pascual, V., Palucka, A. K., and Banchereau, J. (2005). Analysis of significance patterns identifies ubiquitous and disease-specific gene-expression signatures in patient peripheral blood leukocytes. *Ann N Y Acad Sci* 1062, 146-154.

Chaussabel, C., Quinn, C., Shen, J., Patcl, P., Glaser, C., Baldwin, N., Stichweh, D., Blankenship, D., Li, L., Munagala, I., Bennett, L., Allantaz, F., Mejias, A., Ardura, M., Kaizer, E., Monnet, L., Allman, W., Randall, H., Johnson, D., Lanier, A., Punar, M., Wittkowski, K. M., White, P., Fay, J., Klintmalm, G., Ramilo, O., Palucka, A. K., Banchereau, J., and Pascual, V. (2008). A Modular Framework for Biomarker and Knowledge Discovery from Blood Transcriptional Profiling Studies: Application to Systemic Lupus Erythematosus. *Immunity*. In press.

Cobb, J. P., Mindrinos, M. N., Miller-Graziano, C., Calvano, S. E., Baker, H. V., Xiao, W., Laudanski, K., Brownstein, B. H., Elson, C. M., Hayden, D. L., et al. (2005). Application of genome-wide expression analysis to human health and disease. *Proc Natl Acad Sci U S A* 102, 4801-4806.

Gack, M.U., Y.C. Shin, C.H. Joo, T. Urano, C. Liang, L. Sun, O. Takeuchi, S. Akira, Z. Chen, S. Inoue, and J.U. Jung. TRIM25 RING-finger E3 ubiquitin ligase is essential for RIG-I-mediated antiviral activity. *Nature* 2007;446:916-920.

Greenwald, R.J., Y.E. Latchman, and A.H. Sharpe. Negative co-receptors on lymphocytes. *Current opinion in immunology* 2002;14:391-396.

Golub, T. R., Slonim, D. K., Tamayo, P., Huard, C., Gaasenbeek, M., Mesirov, J. P., Coller, H., Loh, M. L., Downing, J. R., Caligiuri, M. A., et al. (1999). Molecular classification of cancer: class discovery and class prediction by gene expression monitoring. *Science* 286, 531-537.

Jacobsen, M., J. Mattow, D. Repsilber, and S.H. Kaufmann. Novel strategies to identify biomarkers in tuberculosis. *Biological chemistry* 2008.

Jacobsen, M., D. Repsilber, A. Gutschmidt, A. Neher, K. Feldmann, H.J. Mollenkopf, A. Ziegler, and S.H. Kaufmann. Candidate biomarkers for discrimination between infection and disease caused by *Mycobacterium tuberculosis*. *Journal of molecular medicine (Berlin, Germany)* 2007;85:613-621.

[0181]

Kaizer, E. C., Glaser, C. L., Chaussabel, D., Banchereau, J., Pascual, V., and White, P. C. (2007). Gene expression in peripheral blood mononuclear cells from children with diabetes. *J Clin Endocrinol Metab* 92, 3705-3711.

Kaufmann, S.H., and A.J. McMichael. Annulling a dangerous liaison: vaccination strategies against AIDS and tuberculosis. *Nature medicine* 2005.11:S33-44.

Keane, J. TNF-blocking agents and tuberculosis: new drugs illuminate an old topic. *Rheumatology (Oxford, England)* 2005.44:714-720.

Li, X., B. Gold, C. O'Huigin, F. Diaz-Griffero, B. Song, Z. Si, Y. Li, W. Yuan, M. Stremlau, C. Mische, H. Javanbakht, M. Scally, C. Winkler, M. Dean, and J. Sodroski. Unique features of TRIM5alpha among closely related human TRIM family members. *Virology* 2007.360:419-433.

Martinez, F.O., S. Gordon, M. Locati, and A. Mantovani. Transcriptional profiling of the human monocyte-to-macrophage differentiation and polarization: new molecules and patterns of gene expression. *J Immunol* 2006.177:7303-7311.

Meroni, G., and G. Diez-Roux. TRIM/RBCC, a novel class of 'single protein RING finger' E3 ubiquitin ligases. *Bioessays* 2005.27:1147-1157.

Mistry, R., J.M. Cliff, C.L. Clayton, N. Beyers, Y.S. Mohamed, P.A. Wilson, H.M. Dockrell, D.M. Wallace, P.D. van Helden, K. Duncan, and P.T. Lukey. Gene-expression patterns in whole blood identify subjects at risk for recurrent tuberculosis. *The Journal of infectious diseases* 2007.195:357-365.

Nisole, S., J.P. Stoye, and A. Saib. TRIM family proteins: retroviral restriction and antiviral defence. *Nat Rev Microbiol* 2005.3:799-808.

Pascual V, Allantaz F, Arez E, Punaro M, Banchereau J (2005) Role of interleukin-1 (IL-1) in the pathogenesis of systemic onset juvenile idiopathic arthritis and clinical response to IL-1 blockade. *J Exp Med* 201: 1479-1486.

Rajsbbaum, R., J.P. Stoye, and A. O'Garra. Type I interferon-dependent and -independent expression of tripartite motif proteins in immune cells. *European journal of immunology* 2008.38:619-630.

Ramilo, O., Allman, W., Chung, W., Mejias, A., Ardura, M., Glaser, C., Wittkowski, K. M., Piqueras, B., Banchereau, J., Palucka, A. K., and Chaussabel, D. (2007). Gene expression patterns in blood leukocytes discriminate patients with acute infections. *Blood* 109, 2066-2077.

Reljic, R. IFN-gamma therapy of tuberculosis and related infections. *J Interferon Cytokine Res* 2007.27:353-364.

**[0182]**  
Reymond, A., G. Meroni, A. Fantozzi, G. Merla, S. Cairo, L. Luzi, D. Riganelli, E. Zanaria, S. Messali, S. Cainarca, A. Guffanti, S. Minucci, P.G. Pelicci, and A. Ballabio. The tripartite motif family identifies cell compartments. *Embo J* 2001.20:2140-2151.

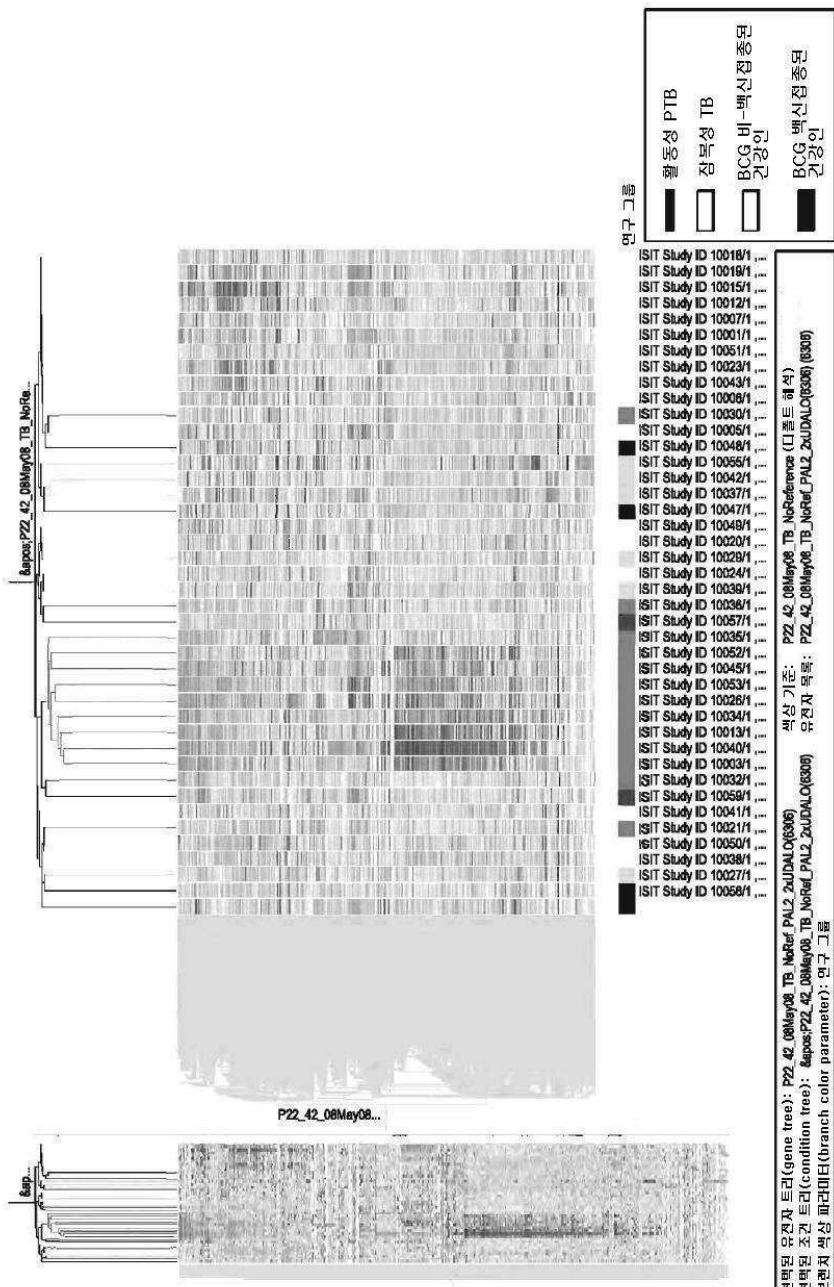
Rubins, K.H., L.E. Hensley, P.B. Jahrling, A.R. Whitney, T.W. Geisbert, J.W. Huggins, A. Owen, J.W. Leduc, P.O. Brown, and D.A. Relman. The host response to smallpox: analysis of the gene expression program in peripheral blood cells in a nonhuman primate model. *Proceedings of the National Academy of Sciences of the United States of America* 2004.101:15190-15195.

Song, B., B. Gold, C. O'Huigin, H. Javanbakht, X. Li, M. Stremlau, C. Winkler, M. Dean, and J. Sodroski. The B30.2(SPRY) domain of the retroviral restriction factor TRIM5alpha exhibits lineage-specific length and sequence variation in primates. *J Virol* 2005.79:6111-6121.

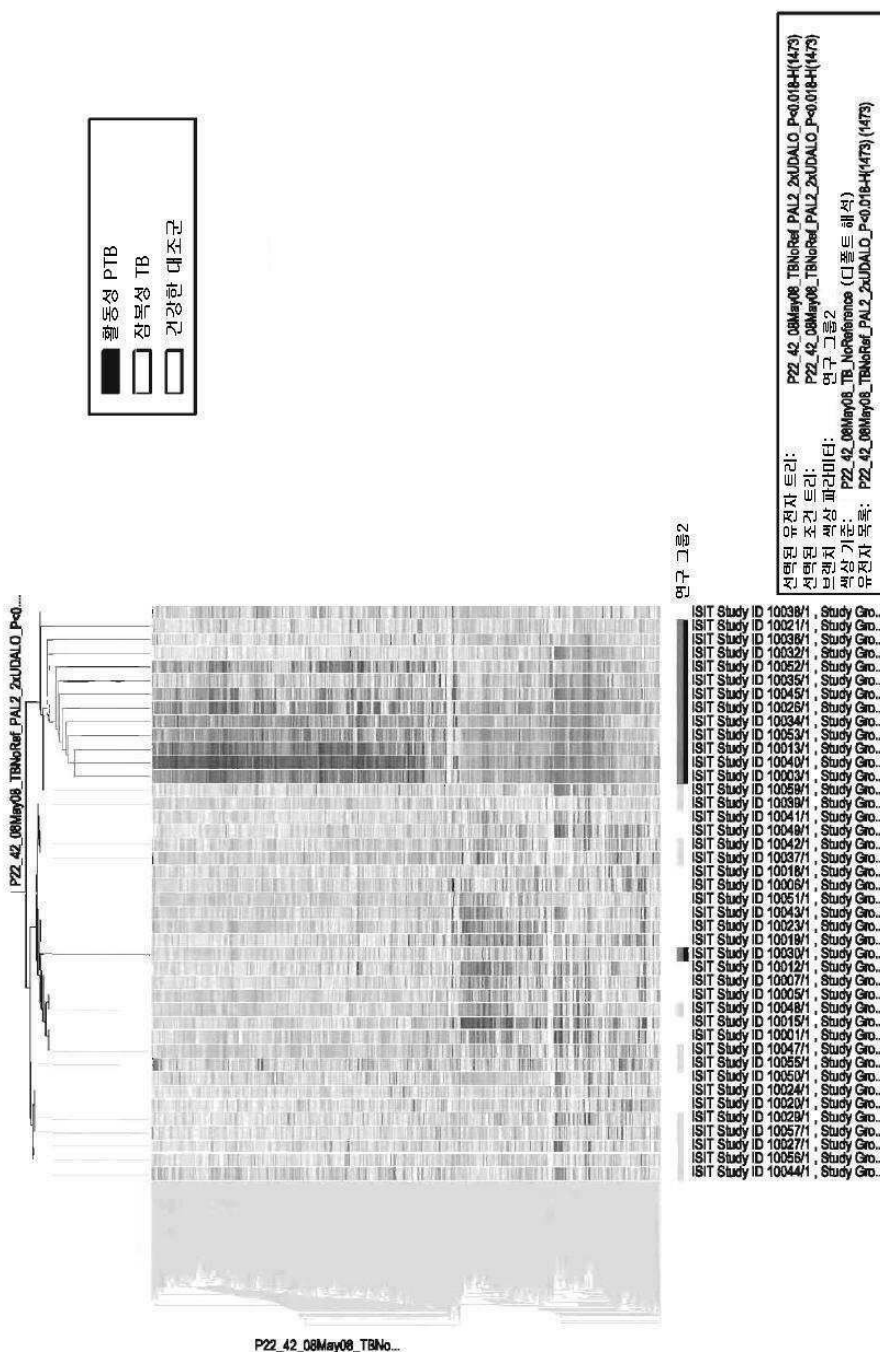
**[0183]**  
Thach, D. C., Agan, B. K., Olsen, C., Diao, J., Lin, B., Gomez, J., Jesse, M., Jenkins, M., Rowley, R., Hanson, E., et al. (2005). Surveillance of transcriptomes in basic military trainees with normal, febrile respiratory illness, and convalescent phenotypes. *Genes Immun.* 6(7): 588-95.

## 도면

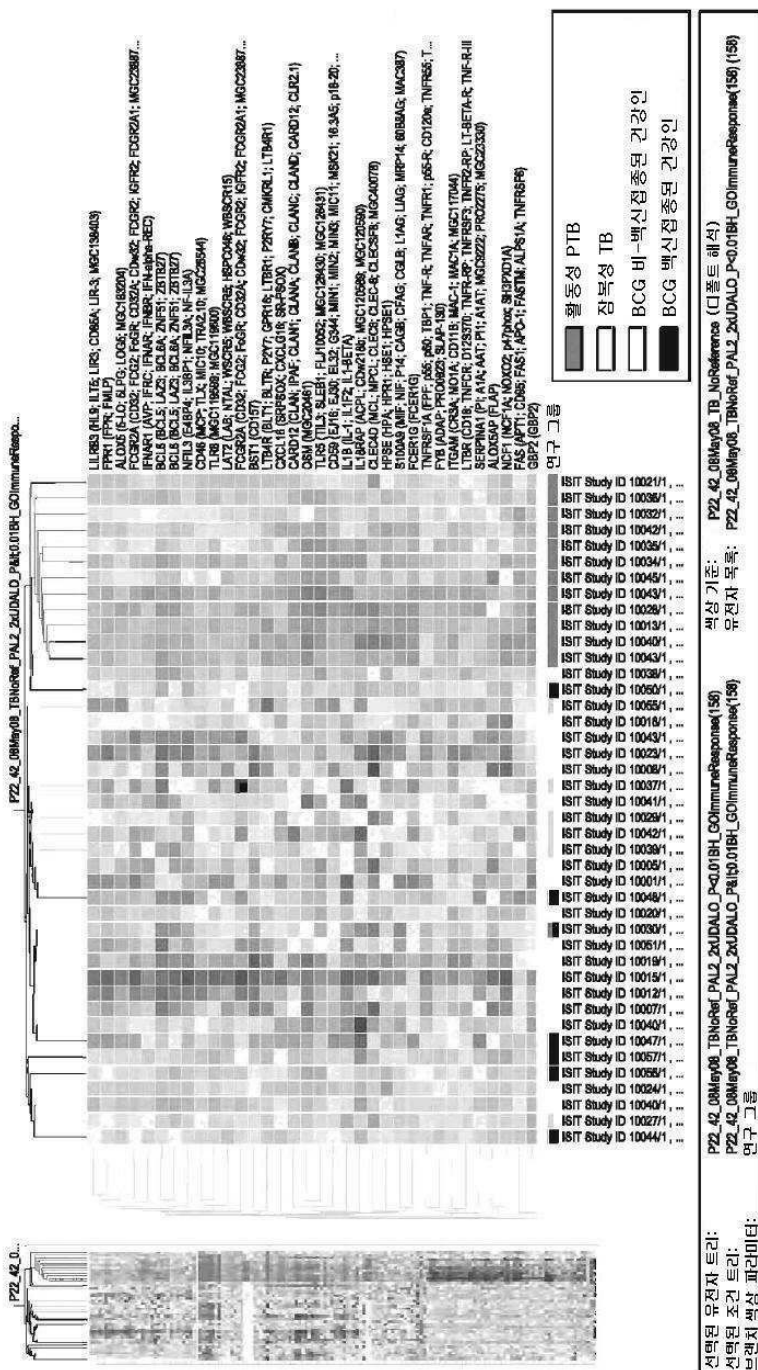
## 도면1



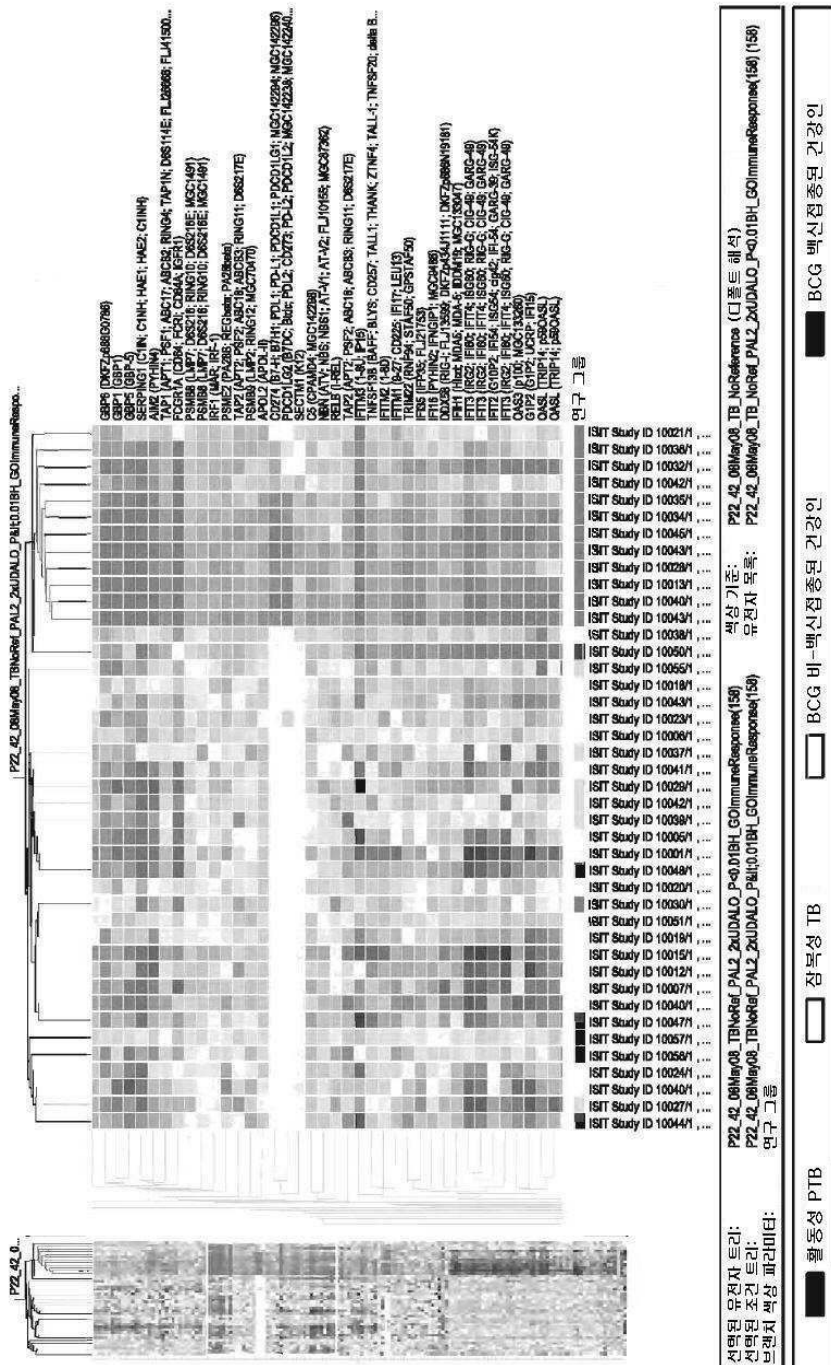
## 도면2



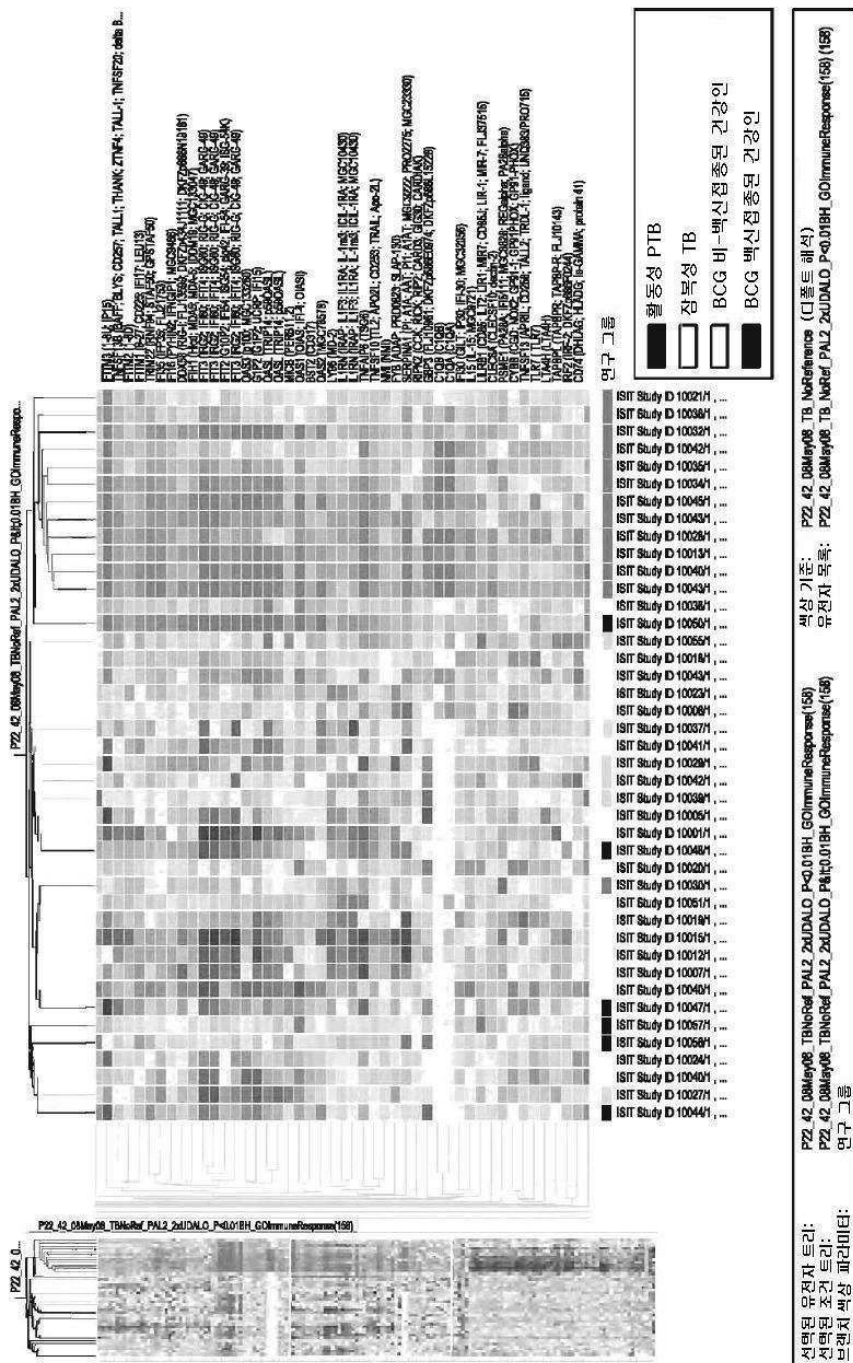
## 도면3a



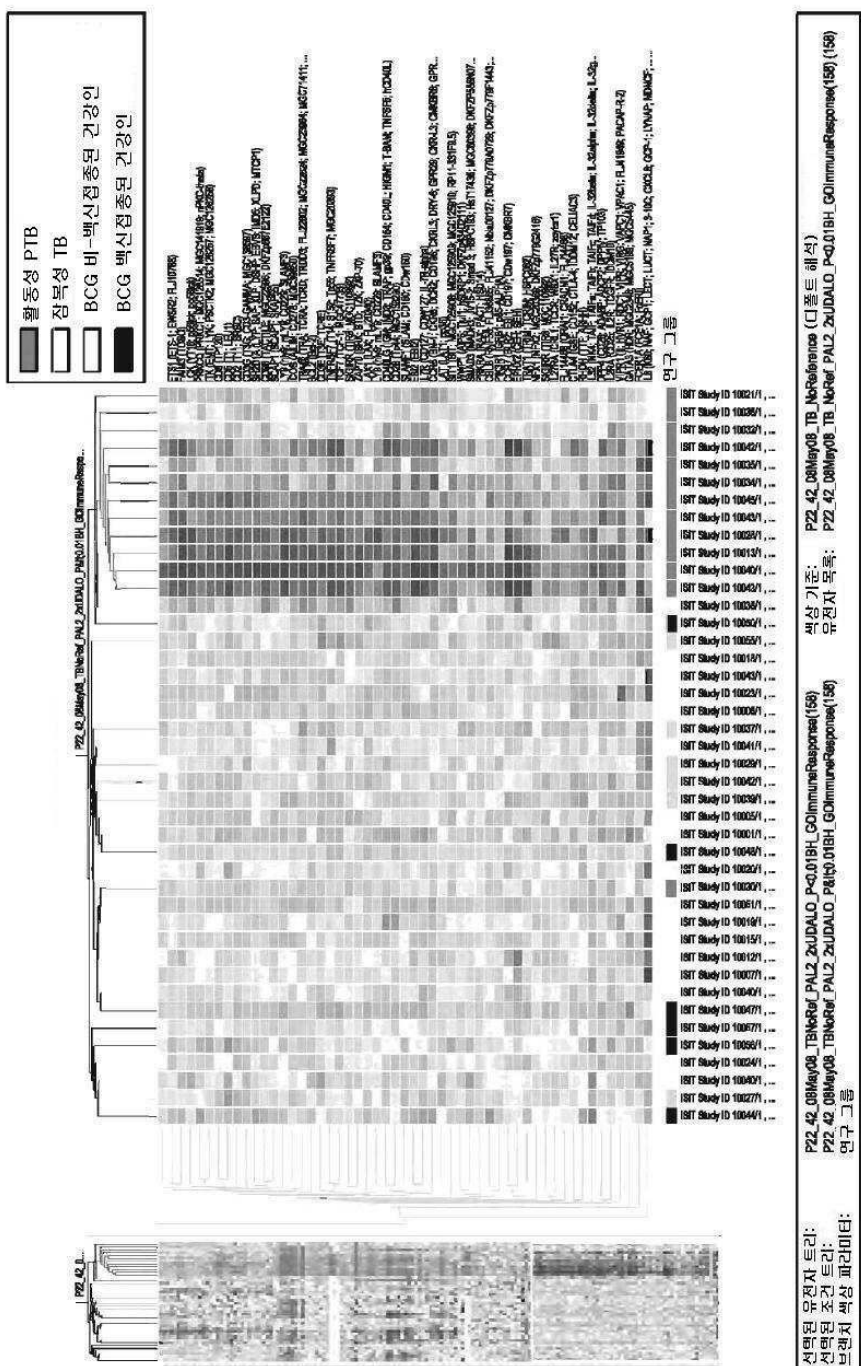
## 도면3b



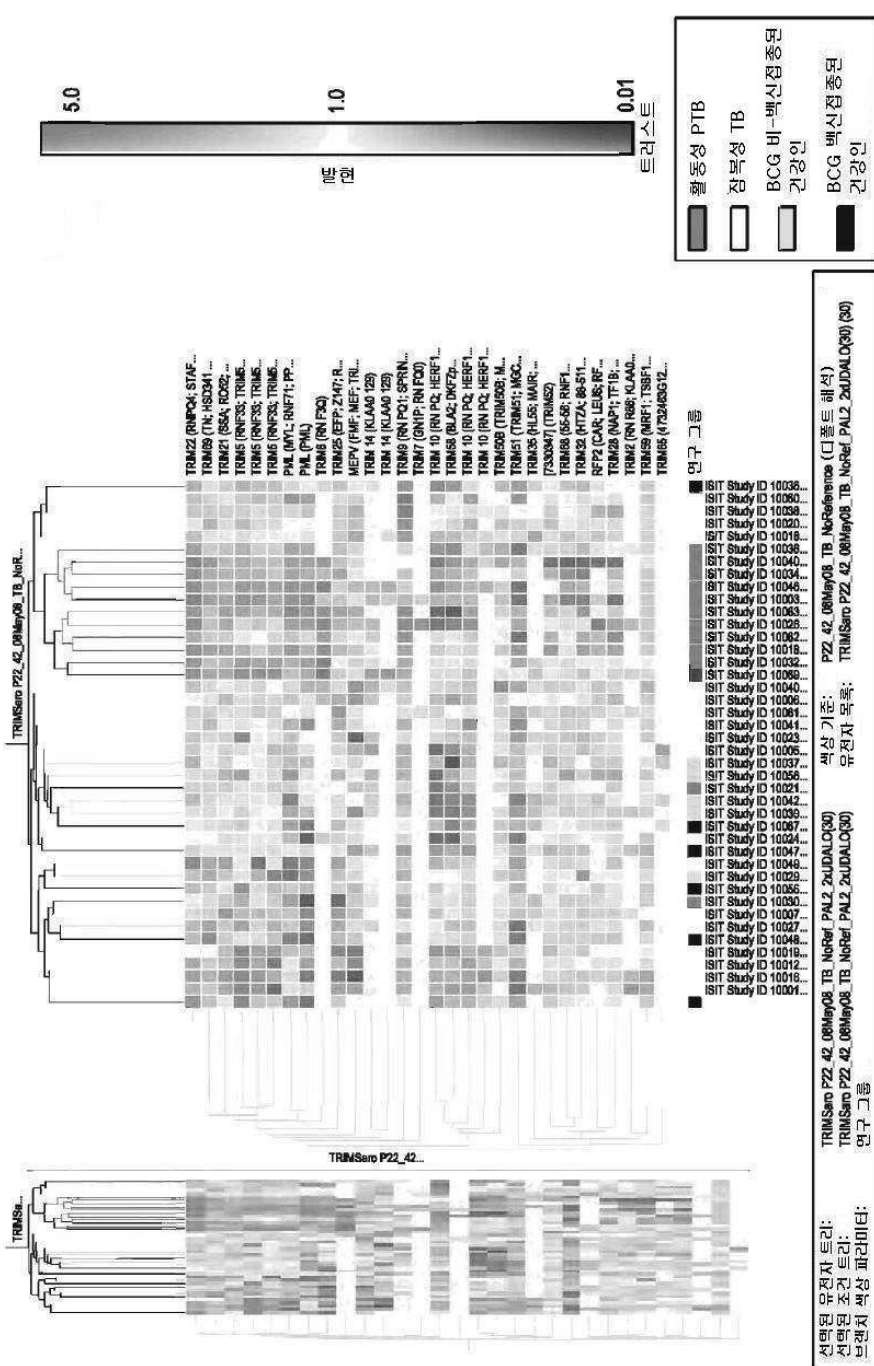
## 도면3c



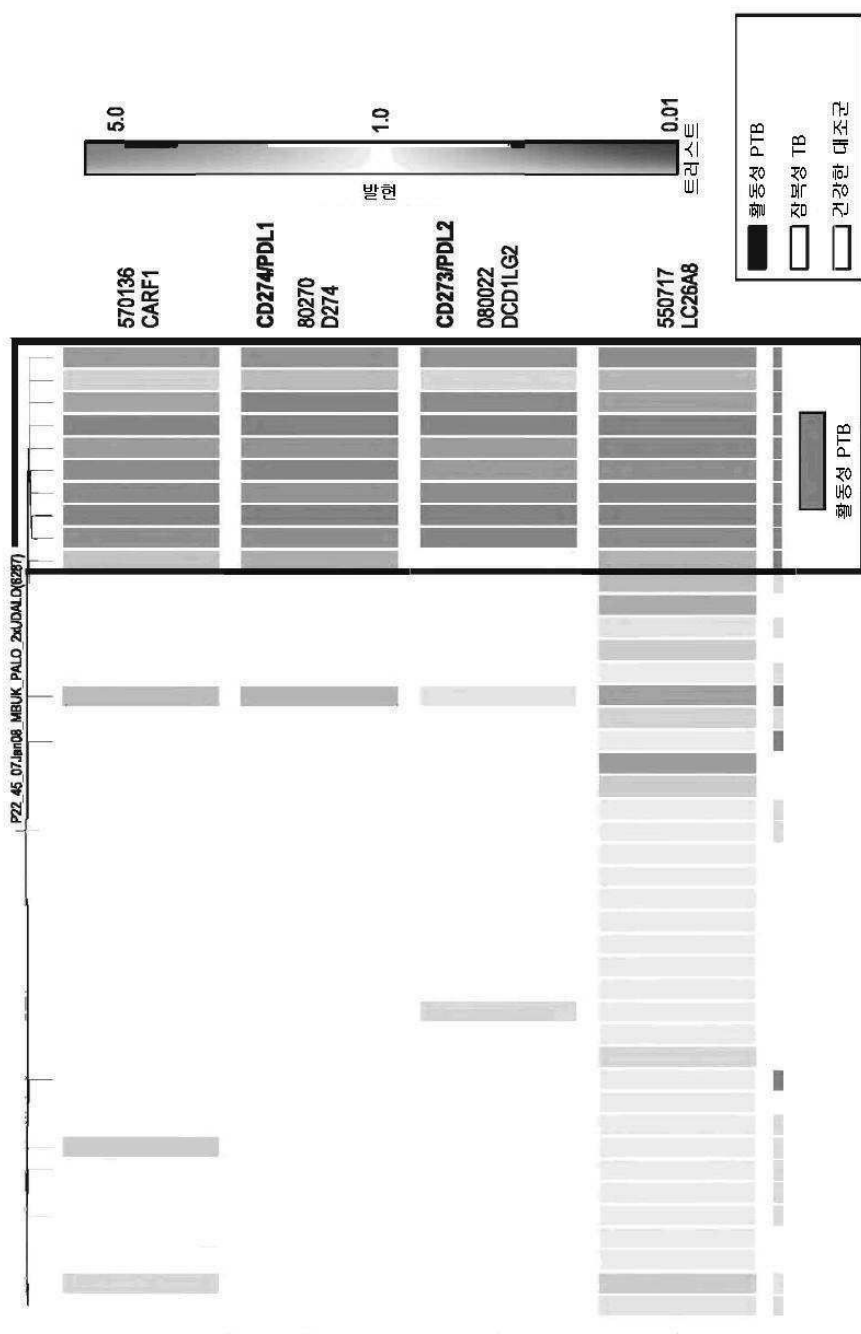
## 도면3d



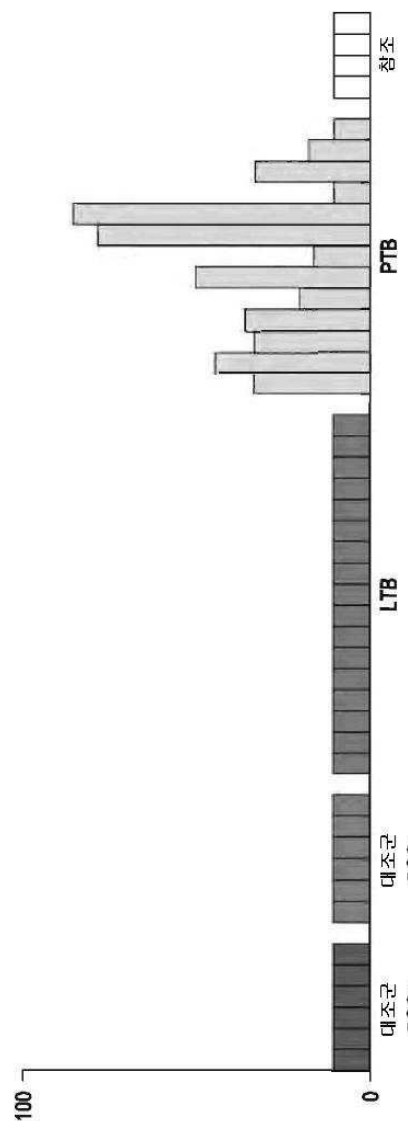
## 도면4



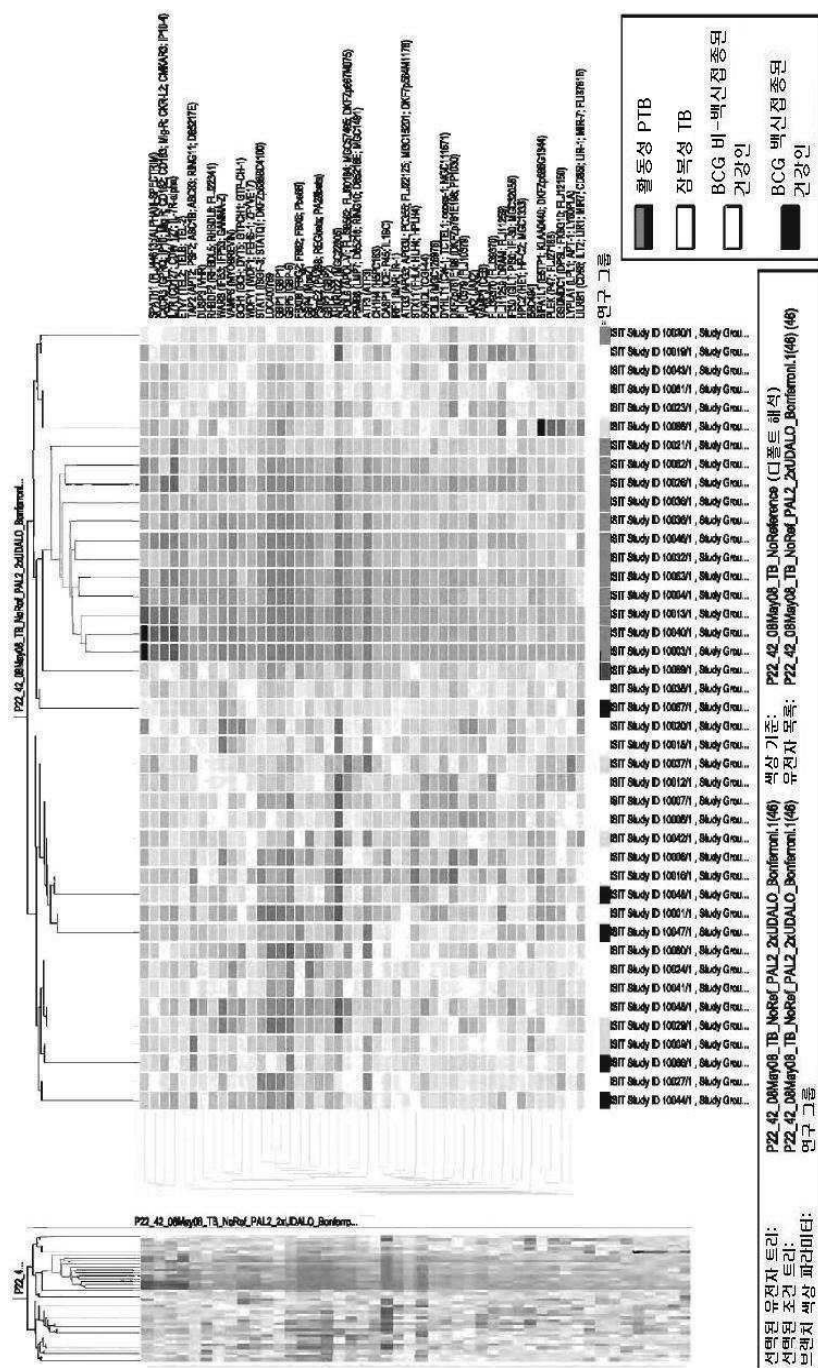
## 도면5a



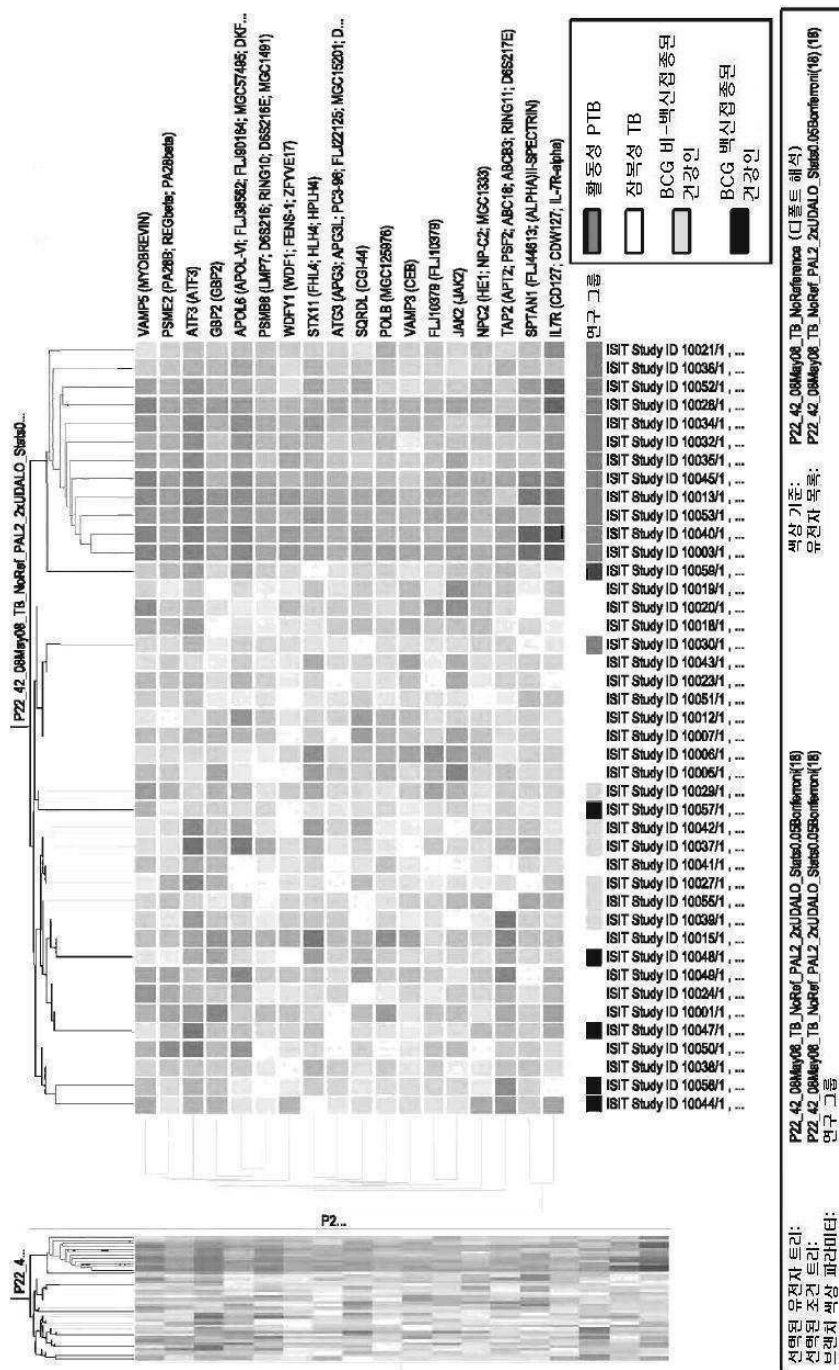
도면5b



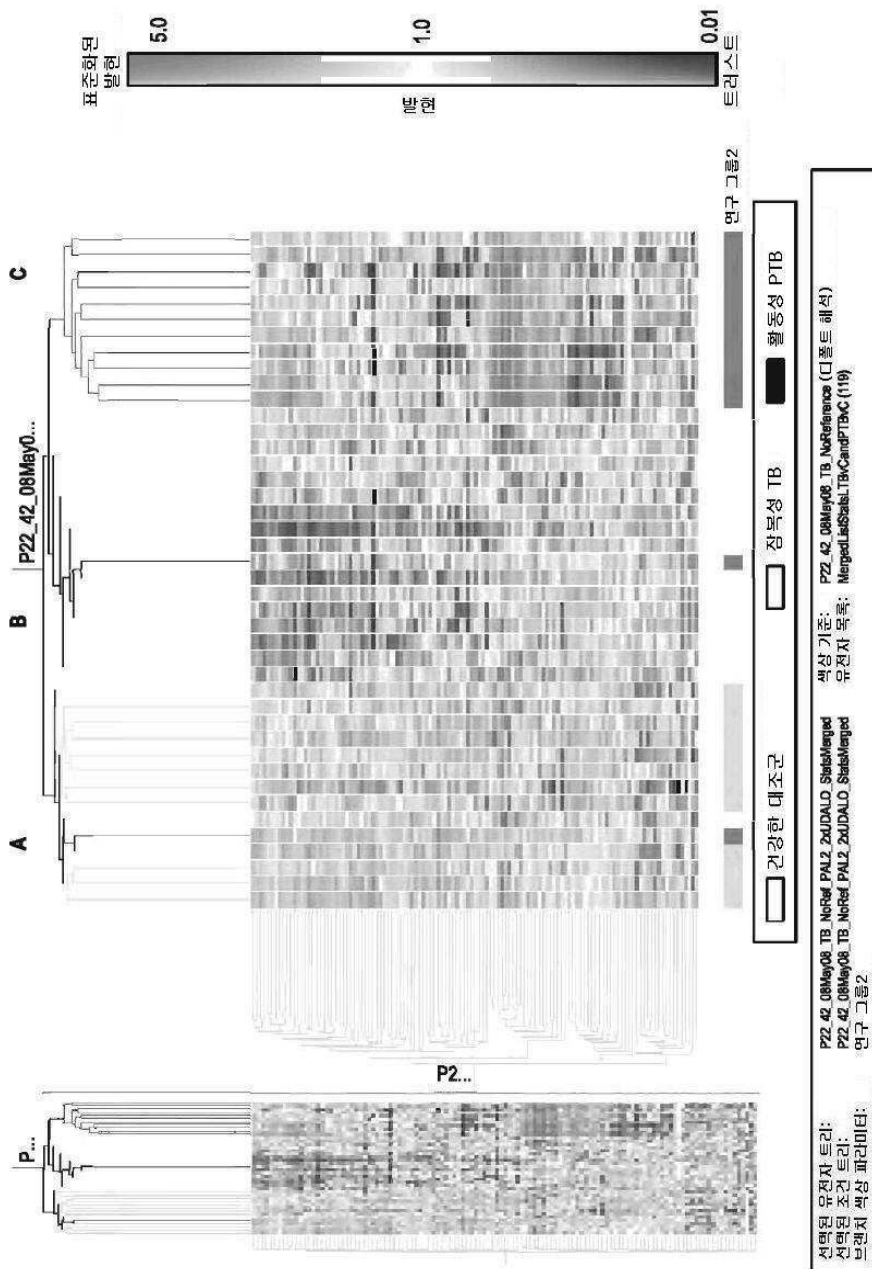
## 도면6



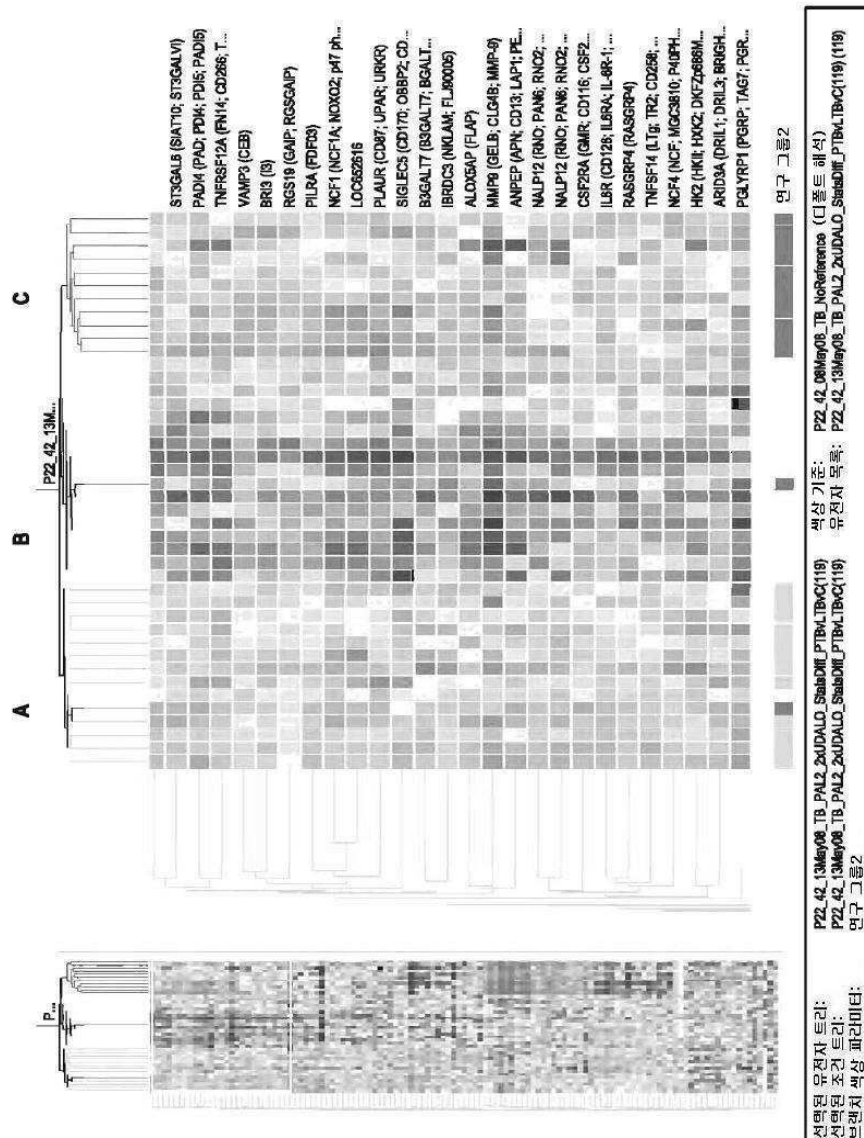
## 도면7



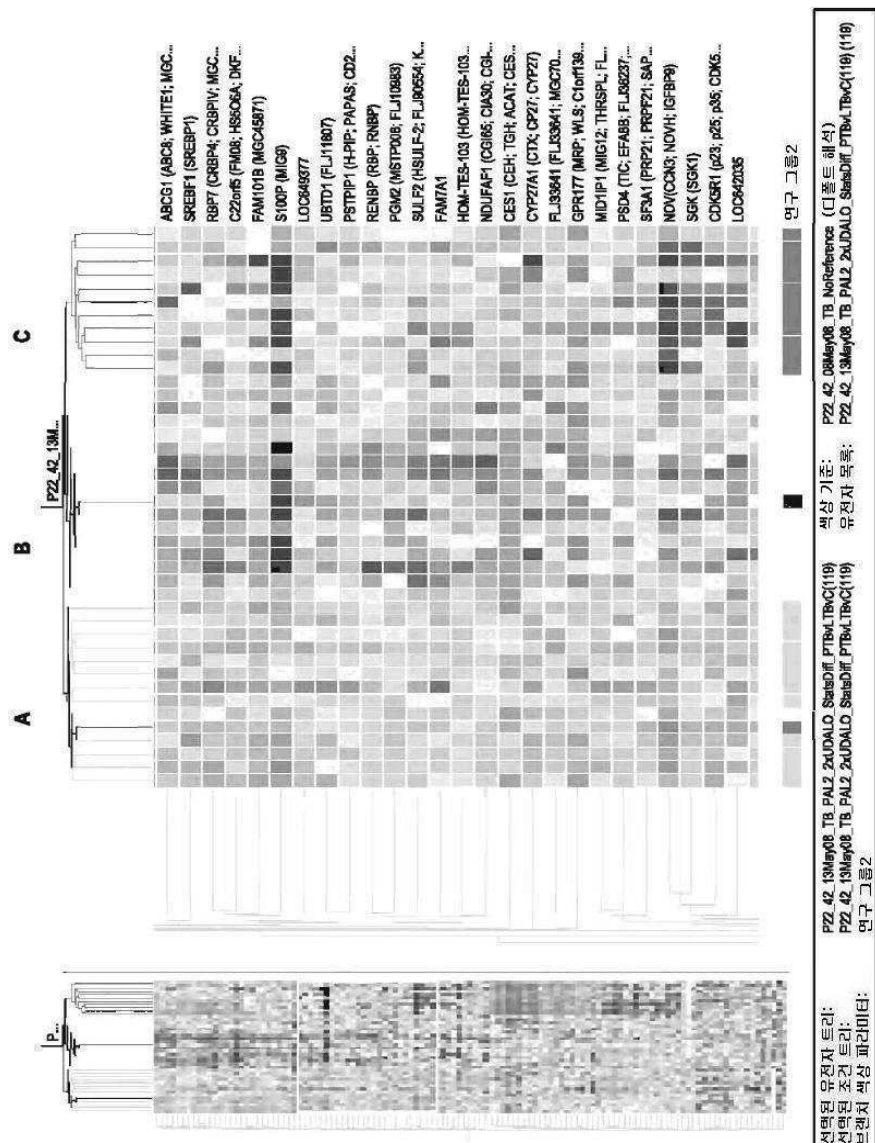
도면8a



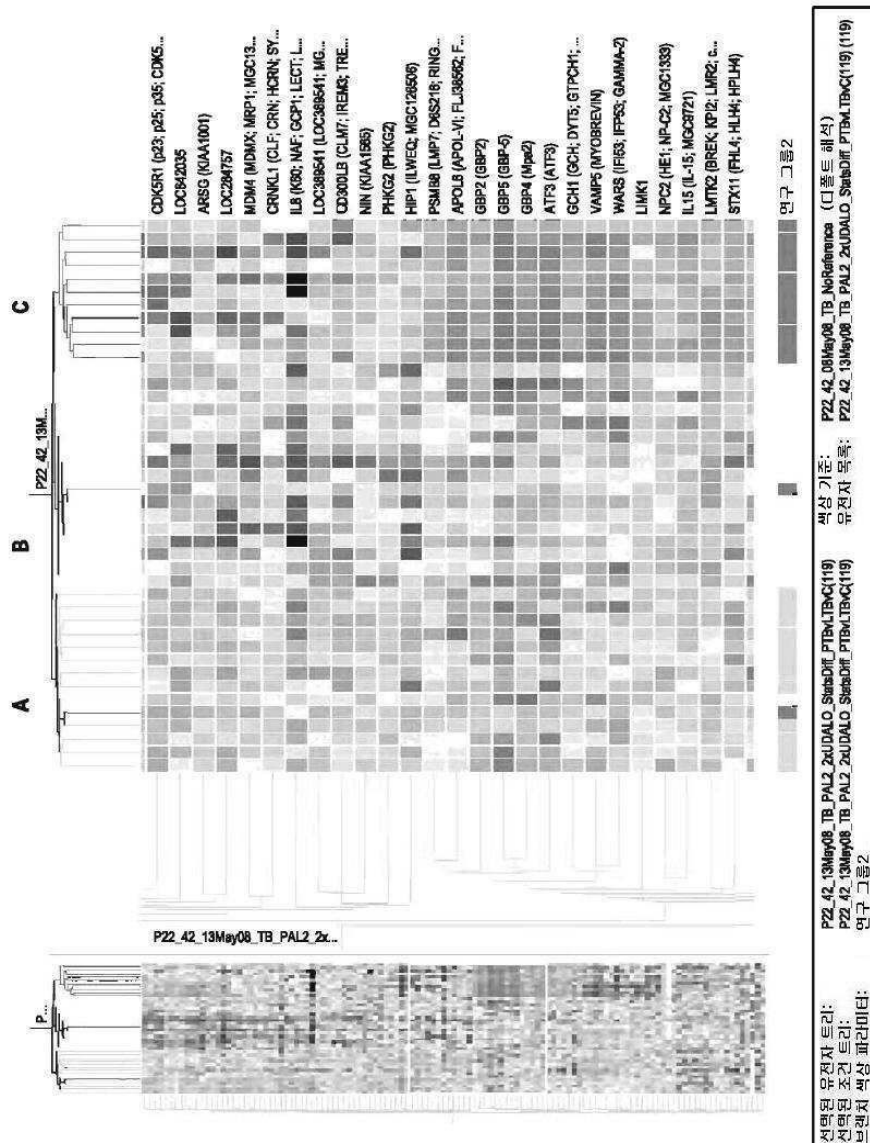
## 도면8b



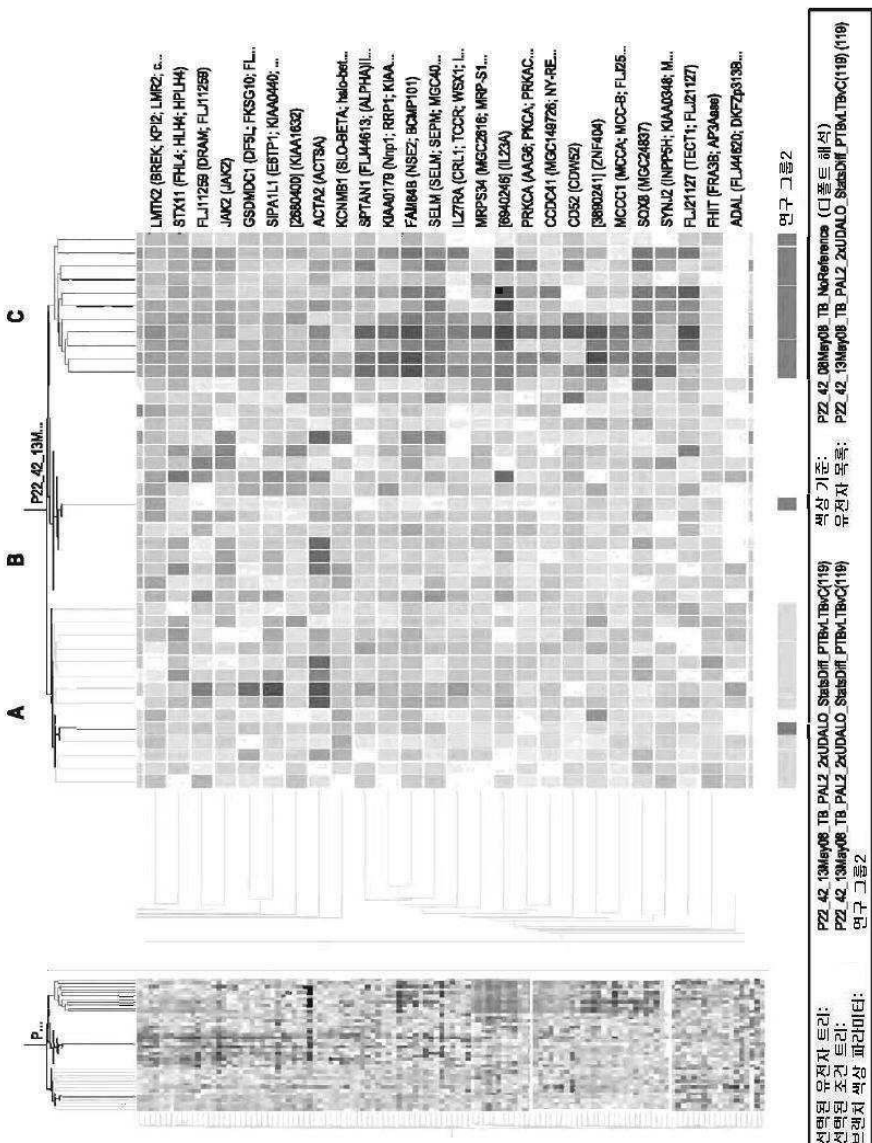
## 도면8c



도면8d

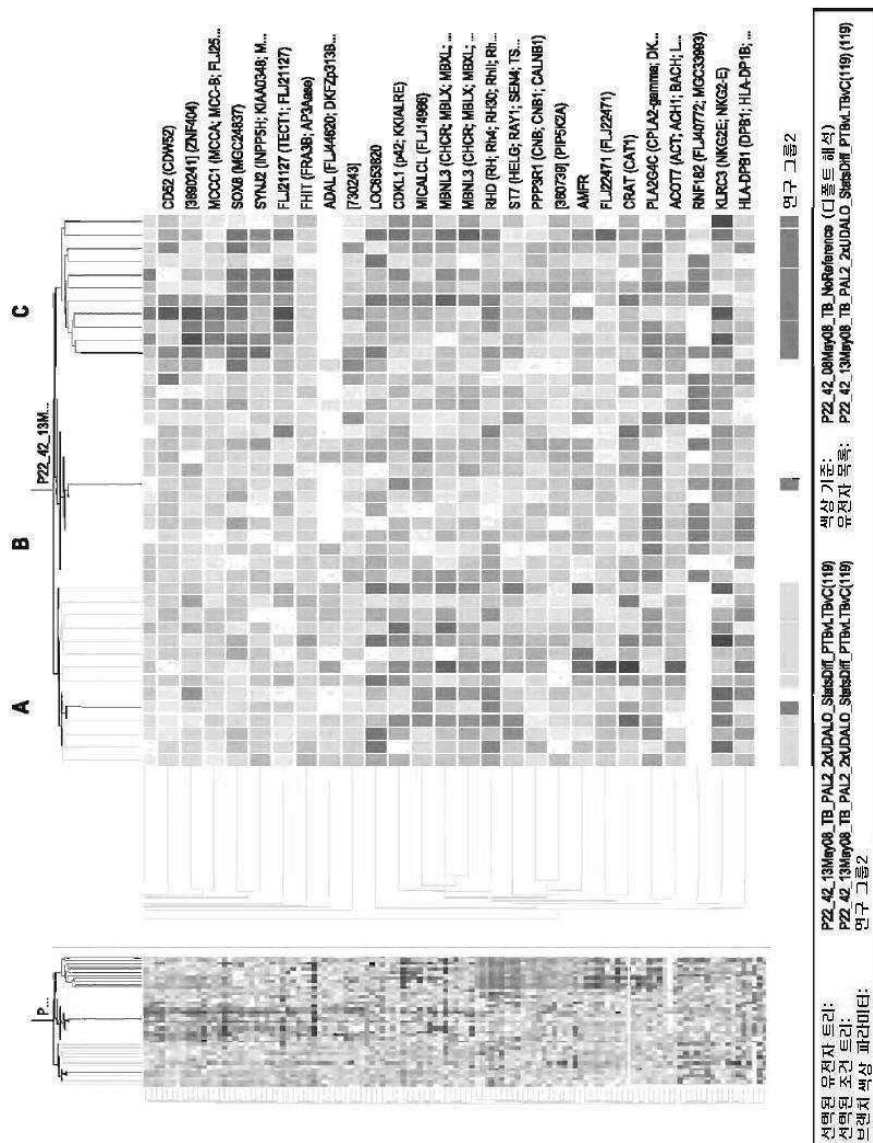


도면8e

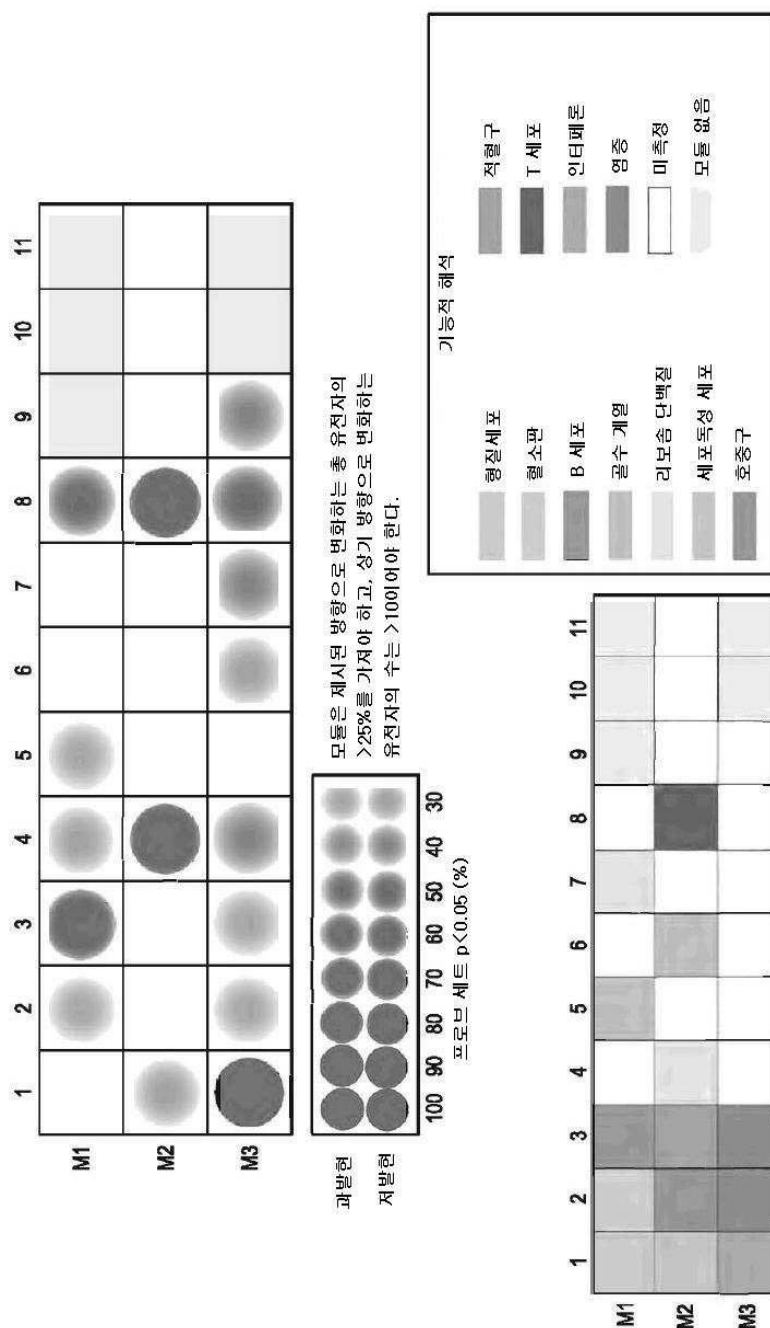


선택된 유전자 트리:	P22_42_13Mep08_TB_PAL2_2ndALO_Stadoffi_PTBal_TBCC119	색상 기준:	P22_42_13Mep08_TB_NaRefence (다른 트리 선택)
선택된 조건 트리:	P22_42_13Mep08_TB_PAL2_2ndALO_Stadoffi_PTBal_TBCC119	유전자 목록:	P22_42_13Mep08_TB_PAL2_2ndALO_Stadoffi_PTBal_TBCC119 (119)
보관자 체성	보관자 체성	연구 그룹:	2

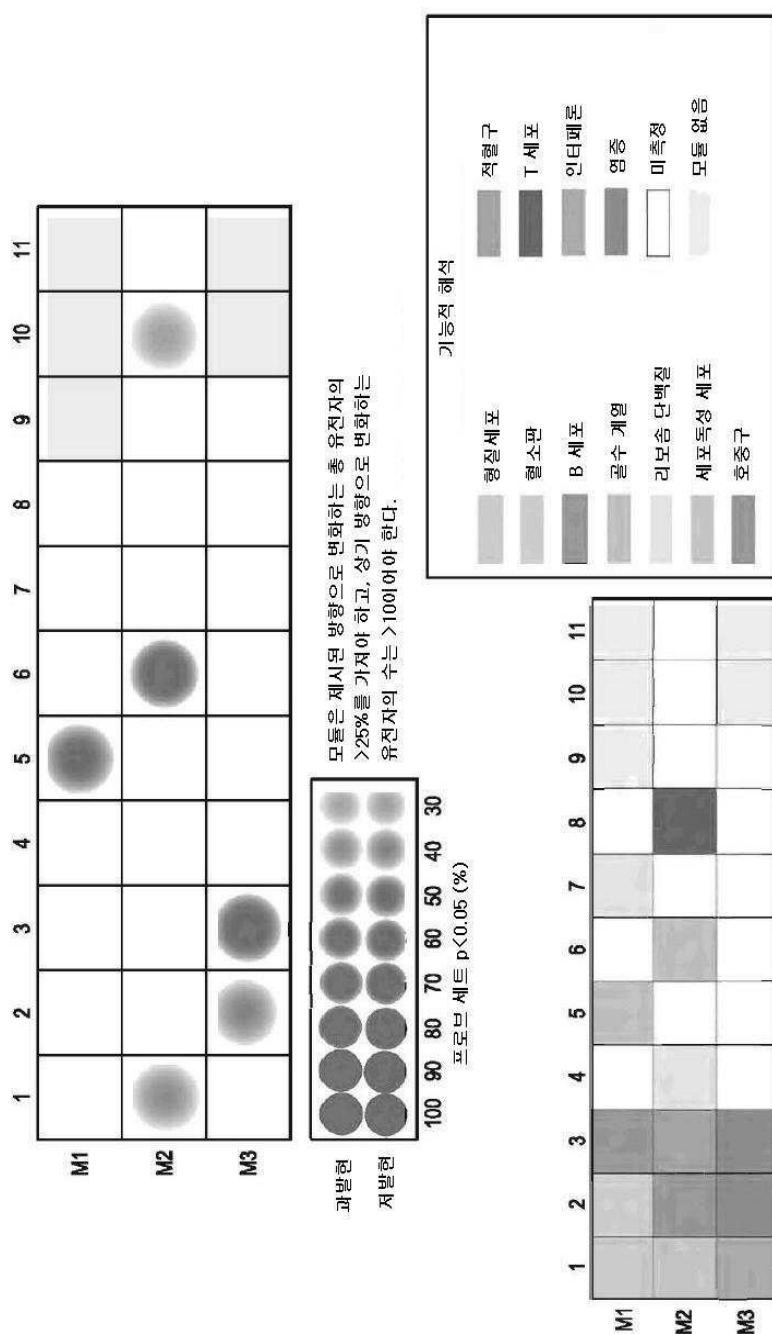
도면8f



## 도면9



## 도면10



## 서 열 목록

&lt;110&gt; Baylor Research Institute

The National Institute for Medical Research

Imperial College Healthcare NHS Trust

<120> Blood transcriptional signature of *Mycobacterium tuberculosis* infection

&lt;130&gt; BHCS:2396

&lt;150&gt; US 61/075,728

&lt;151&gt; 2008-06-25

&lt;160&gt; 1

&lt;210&gt; 1

&lt;220&gt;&lt;223&gt; Lengthy Table

&lt;400&gt; 1

Probe ID Entrez Gene ID	Common Name	GenBank ID	Gene Symbol	Description	UniGene ID
5260463 0.00998 Homo sapiens (human)	CR603183 Hs.586401			Full-length cDNA clone CS0DM012YE14 of Fetal liver of	
4610546 0.00998 initiation factor 1A, X-linked"	EIF1A; EIF4C; eIF-1A; eIF-4C Hs.522590	NM_001412 1964	EIF1AX	"eukaryotic translation	
160398 0.00992 57583	GPR178; KIAA1423	XM_941693	KIAA1423	transmembrane protein 181	
2640609 0.00992 Hs.209577	MIG9 27439	NM_005980	S100P	S100 calcium binding protein P Hs.2962 6286	
2350026 0.00992 Hs.209577	CECR6 27439	NM_031890	CECR6	"cat eye syndrome chromosome region, candidate 6"	
5090386 0.00991 FLJ14346	LOC653904 653904	XM_943043	LOC653904	similar to hypothetical protein	
1820196 0.00989 Hs.415172	RAYL 11020	NM_006860	RABL4	"RAB, member of RAS oncogene family-like 4"	
5690201 0.00986 1 Hs.154299	PAR2; GPR11 2150	NM_005242	F2RL1	coagulation factor II (thrombin) receptor-like	
1780392 0.00984 1, dyskerin	DKC; NAP57; NOLA4; XAP101; dyskerin Hs.4747 1736	NM_001363	DKC1	"dyskeratosis congenita	
1030142 0.00984 6200017 0.00979	P5-1; D6S2650E GIG18	NM_006674	HCP5	HLA complex P5 Hs.654480 10866	
(aspartate aminotransferase 1)"	NM_002079	GOT1	"glutamic-oxaloacetic transaminase 2805	1, soluble	
5890653 0.00979	BI024234		"CM3-MT0357-260101-690-b10	MT0357 Homo sapiens cDNA, mRNA sequence."	
6380424 0.00978 segregation increased 1 (S. cerevisiae)	PMSL1; hPMS1; HNPCC3; Hs.111749	DKFZp781M0253 5378	NM_000534	PMS1	PMS1 postmeiotic
3140445 0.00975 23386	NudCL; KIAA1068	NM_015332	NUDCD3	NudC domain containing 3 Hs.488171	
3940719 0.00975	BX111927		Transcribed locus	Hs.659410	
2760475 0.00975 730519 0.00972	ANKRD46 NM_198401 MDIG; NO52; MINA53; FLJ14393; DKFZp76201912 Hs.655935		ANKRD46 ankyrin repeat domain 46 NM_153182	Hs.530199 MINA	157567 MYC induced
			84864		

830674	0.00972	IGA; MB-1 alpha" Hs.631567	NM_001783 973	CD79A	"CD79a molecule, immunoglobulin-associated
7200086	0.00966	BOG; RBBP10; MGC9236 Hs.69330	NM_006606 10741	RBBP9	retinoblastoma binding protein 9
5890327	0.00966	AR; ADR; ALDR1; MGC1804 B1 (aldose reductase)" Hs.521212	NM_001628 231	AKR1B1	"aldo-keto reductase family 1, member
6550161	0.00964	K60; NAF; GCP1; LECT; LUCT; NAP1; 3-10C; CXCL8; GCP-1; LYNAP; MDNCF; MONAP; NAP-1; SCYB8; TSG-1; AMCF-I; b-ENAP	NM_000584	IL8	interleukin 8 Hs.624 3576
2900482	0.00963	eIF3f; eIF3-p47 subunit 5 epsilon, 47kDa" Hs.516023	NM_003754 8665	EIF3S5	"eukaryotic translation initiation factor 3,
7160577	0.00963	FLJ38973 Hs.471040	NM_153689 205327	FLJ38973	hypothetical protein FLJ38973
6620348	0.0096	FLJ13639 member 12	NM_024705 Hs.266728	FLJ13639 79758	dehydrogenase/reductase (SDR family)
5490142	0.00957	p2; p3; p4; RRP6; PMSCL; Rrp6p; PM-Sc1; PMSCL2; PM/Sc1-100 exosome component 10 Hs.632368	5394	NM_002685	EXOSC10
5420035	0.00957	SUN1; FLJ12407; KIAA0810 Hs.438072	NM_025154 23353	UNC84A	unc-84 homolog A (C. elegans)
290484	0.00957	p0071; FLJ31261; FLJ42243 8502	NM_003628	PKP4	plakophilin 4 Hs.407580
7610594	0.00957	RIP5; DustyPK; HDCMD38P; KIAA0472 protein kinase 5 Hs.6874	25778	NM_015375	RIPK5 receptor interacting
4850678	0.00957	LRR-1; 4-1BBLRR; MGC20689 (cyclophilin)-like 5 Hs.451090	122769	NM_152329	PPIL5 peptidylprolyl isomerase
6040445	0.00954	MGC150678; MGC150679 23279	NM_015231	NUP160	nucleoporin 160kDa Hs.643526
1690521	0.00954	RRAS Hs.515536	NM_006270 6237	RRAS related RAS viral (r-ras) oncogene homolog	
1470711	0.00954	CD3H; CD3Q; CD3Z; TCRZ; CD3-ZETA Hs.156445	NM_198053 919	CD3Z	CD247 molecule
2710612	0.00951	Brox; FLJ32421; MGC142195; MGC142197; RP11-452F19.1 chromosome 1 open reading frame 58 Hs.552608	148362	NM_144695	C1orf58
1690537	0.00946	C18B11; C15orf19; FLJ31409 domain containing 2 Hs.173311	27079	NM_152260	RPUSD2 RNA pseudouridylate synthase
4050592	0.00946	BX115904	Transcribed locus	Hs.171251	
4260241	0.00942	LRG; HMFT1766	NM_052972	LRG1	leucine-rich alpha-2-glycoprotein 1

Hs.655559	116844					
5130475 0.00942 ACPL; CDw218b; MGC120589; MGC120590 accessory protein	Hs.158315	8807	NM_003853	IL18RAP interleukin 18 receptor		
4590243 0.0094 OSGEPL1 NM_022353		OSGEPL1 O-sialoglycoprotein		endopeptidase-like	1	
Hs.60772	64172					
6200397 0.00939 MGC15763 containing 1	Hs.655449	92106	NM_138381	MGC15763	oxidoreductase	NAD-binding domain
3990376 0.00939 KIAA1862		NM_032534	KIAA1862	KRAB-A	domain	containing 1
Hs.299560	84626					
4610113 0.00939 PYGL	NM_002863	PYGL	"phosphorylase, glycogen; liver (Hers disease, glycogen storage disease type VI)"	Hs.282417	5836	
4250398 0.00939 H4/g; H4FG; dJ221C16.1	NM_003542		HIST1H4C		"histone cluster 1, H4c"	
Hs.46423	8364					
1850433 0.00939 RPC8; KIAA1665; MGC29654; MGC111097 (DNA directed) polypeptide H (22.9kD)	Hs.693720		NM_138381	POLR3H	polymerase (RNA) III	
			171568			
3890079 0.00936 IRF-2;	DKFZp686F0244	NM_002199		IRF2	interferon regulatory factor	2
Hs.654566	3660					
5860553 0.00936 KIAA0442; MGC13140	NM_015570		AUTS2	autism susceptibility candidate 2		
Hs.654801	26053					
3840364 0.00935 GLYI; GLOD1	NM_006708	GL01	glyoxalase I	Hs.268849	2739	
4560689 0.00933 EHT; MTGR1; ZMYND3; DKFZp313F2116 runt domain, alpha subunit 2; translocated to, 2"			NM_001032999	CBFA2T2	"core-binding factor,	
			Hs.153934	9139		
1850068 0.00933 LOC652672	XM_942252	LOC652672		similar to damage-specific DNA binding		
protein 1	652672					
1440487 0.0093 SSF; SSF1; SSF2; BXDC3; MGC14226; MGC45852 homolog (Drosophila)	Hs.14468	56342	NM_020230	PPAN	peter pan	
1990180 0.0093 COT	NM_021151	CROT	carnitine O-octanoyltransferase	Hs.125039	54677	
5900296 0.0093 C10orf6 NM_018121		C10orf6	chromosome 10 open reading frame 6	Hs.447458		
55719						
2190008 0.0093 FN14; CD266; TWEAKR superfamily, member 12A"	NM_016639	TNFRSF12A		"tumor necrosis factor receptor		
	Hs.355899	51330				
7330497 0.00928	XM_942836	LOC647346				
5220408 0.00927	CR613022		full-length cDNA clone CSOCAP006YG05 of Thymus of Homo sapiens (human).			
4250168 0.00926	AK091337		"CDNA FLJ34018 fis, clone FCBBF2002801"	Hs.659401		

2470274	0.00925	AW079487	Transcribed locus	Hs.542299
1440037	0.00924	Ray; FLJ39121; DKFZP586F1318 like 1 ( <i>S. cerevisiae</i> )" Hs.515951	NM_015677	SH3YL1 "SH3 domain containing, Ysc84-
1980608	0.00921	RZF; MGC13689 NM_007282	RNF13	ring finger protein 13 11342
380438	0.00916	PHKG2 NM_000294 Hs.196177	PHKG2	"phosphorylase kinase, gamma 2 (testis)" 5261
6580075	0.00914	NRF2 NM_006164 Hs.155396	NFE2L2	nuclear factor (erythroid-derived 2)-like 2 4780
130010	0.00913	XM_945975	C17orf60	
5550470	0.00912	C20orf99; MGC104290 Hs.28608	NM_033089	ZCCHC3 "zinc finger, CCHC domain containing 3" 85364
2630451	0.00912	H2B; GL105; H2B.1; H2B/q; H2BFQ; MGC129733; MGC129734 "histone cluster 2, H2be" Hs.2178	NM_003528	HIST2H2BE 8349
6100228	0.0091	E4BP4; IL3BP1; NFIL3A; NF-IL3A regulated" Hs.79334	NM_005384	NFIL3 "nuclear factor, interleukin 3 4783
940348	0.0091	GCL NM_012198 Hs.377894	GCA	"grancalcin, EF-hand calcium binding protein" 25801
6550437	0.0091	CLB; bA134015.1 NM_206808	CLYBL	citrate lyase beta like Hs.655642 171425
5260332	0.0091	OR11-7 NM_001005172 Hs.553568	OR52K2	"olfactory receptor, family 52, subfamily K, member 2" 119774
6760630	0.00909	FLJ10563 NM_018139 55172	C14orf104	chromosome 14 open reading frame 104
580367	0.00909	IPPI1; IPP11 NM_004508 Hs.283652	IDI1	isopentenyl-diphosphate delta isomerase 1 3422
5090739	0.00909	FLJ40871; KIAA1129; MGC44594 Hs.655084	NM_017415	KLHL3 kelch-like 3 ( <i>Drosophila</i> ) 26249
270102	0.00908	TCF1ALPHA; DKFZp586H0919 factor 1 Hs.555947	NM_016269	LEF1 lymphoid enhancer-binding 51176
5260546	0.00906	FLJ13848 NM_024771 79829	FLJ13848	N-acetyltransferase11 Hs.523753
460685	0.00906	ATF6 NM_007348 22926	ATF6	activating transcription factor 6 Hs.492740
1780521	0.00906	PML XM_942288	PML	"promyelocytic leukemia; synonyms: MYL, RNF71, PP8675, TRIM19; isoform 7 is encoded by transcript variant 7; promyelocytic leukemia, inducer of; tripartite motif protein TRIM19; promyelocytic leukemia protein; Homo sapiens promyelocytic leukemia (PML), transcript variant 7, mRNA." -

3850082	0.00905	Bcl-2	NM_000633	BCL2	B-cell CLL/lymphoma 2	Hs.150749	596
3990538	0.00903	EVDA; EVI2	NM_001003927	EVI2A	ecotropic viral integration site 2A		
Hs.591198		2123					
3390603	0.00903	WDR74	XM_936269	WDR74	"WD repeat domain 74; synonyms: FLJ10439, FLJ21730; Homo sapiens WD repeat domain 74 (WDR74), mRNA."		
70097	0.00903	LOC400987	XM_376101	LOC400987	similar to ankyrin repeat domain 36		
Hs.534785		400987					
4070139	0.00901		XM_941763	LOC652334			
1770092	0.00901	LSD; DHP2; DNAS1L3	NM_004944	DNASE1L3	deoxyribonuclease I-like 3		
Hs.476453		1776					
6040343	0.009	KIAA1982	NM_133474	ZNF721	zinc finger protein 721	Hs.428360	170960
6270546	0.009	TECT3; DKFZp564D116	NM_001013840	C10orf61	chromosome 10 open reading frame 61	Hs.438991	26123
130403	0.00899	FARS1; PheRS; HSPC320; dJ520B18.2 synthetase 2, mitochondrial"	NM_006567	FARS2	"phenylalanyl-tRNA	Hs.484547	10667
4220301	0.00898		AL049390	MRNA; cDNA DKFZp58601318 (from clone DKFZp58601318)		Hs.22689	
2480762	0.00898		XM_945523	LOC649564			
7610131	0.00896		XM_935475	LOC653820			
2070497	0.00896	ZF5; ZBTB14; ZNF478; MGC126126 (mouse)	NM_003409	ZFP161	zinc finger protein 161 homolog	Hs.592340	7541
160523	0.00896	YER146W; FLJ12710 associated (S. cerevisiae)"	NM_012322	LSM5	"LSM5 homolog, U6 small nuclear RNA	Hs.424908	23658
4260433	0.00896	FAT; GP4; GP3B; GPIV; CHDS7; PASIV; SCARB3 (thrombospondin receptor)	NM_001001548	CD36	CD36 molecule	Hs.120949	948
4250626	0.00893	HZF10	NM_003419	ZNF345	zinc finger protein 345	Hs.362324	25850
1090041	0.00892	MGC21518	NM_145274	TMEM99	transmembrane protein 99		Hs.353163
147184							
2690356	0.00889		NM_031943	IFP38			
3170598	0.00889	TUSP; KIAA1397; RP3-442A17.1	NM_020245	TULP4	tubby like protein 4	Hs.486993	56995
2650170	0.00889	SKI6; p12A; RRP41; Ski6p; RRP41A; Rrp41p; hRrp41p; FLJ20591 exosome component 4	NM_019037		EXOSC4	Hs.632041	54512
2490471	0.00889	pim-3	XM_938171	PIM3	pim-3 oncogene		415116
730561	0.00888	DKFZP434A0131; MGC40269; MGC131759	NM_018991	DKFZP434A0131	DKFZP434A0131		

protein Hs.632310	54441					
7050020 0.00885 FRRS2	NM_001017916	CYB561	cytochrome b-561	Hs.355264	1534	
2710491 0.00884	XM_929879	LOC644850				
3370470 0.00884 PP791; KIAA1837; PKD1-like; RP4-765A10.3 KIAA0319-like	Hs.456507	79932		NM_024874	KIAA0319L	
4880687 0.00883 DEP.7; PGR22; DEPD3; FLJ31819; FLJ39346			NM_001033045	GPR155	G protein-coupled receptor 155	protein-
	Hs.516604	151556				
1780131 0.00879 Cos5; MGC59928	NM_021915	ZNF69	zinc finger protein 69	Hs.661955	7620	
6770053 0.00879 40K; SPF38; PRP8BP; MGC1910; PRPF8BP; FLJ41108; RP11-490K7.3			NM_004814	WDR57	WD repeat domain 57 (U5 snRNP specific)	Hs.33962 9410
6200068 0.00878 ROR1; ROR2; ROR3; RZRA; NR1F1; MGC119326; MGC119329			NM_134262	RORA	RAR-related orphan receptor A	Hs.654353 6095
3930010 0.00878 NBPF1	XM_934972	NBPF1	"neuroblastoma breakpoint family, member 1; synonyms: AD2, NBG, AB13, AB14, AB23, NBPF, FLJ20719, KIAA1693; Homo sapiens neuroblastoma breakpoint family, member 1 (NBPF1), mRNA."			
4250121 0.00876 C13orf27	NM_138779	LOC93081	chromosome 13 open reading frame 27			
Hs.398111	93081					
4260392 0.00876 AT1; ATA; ATC; ATD; ATE; ATDC; TEL1; TELO1; MGC74674; DKFZp781A0353			NM_000051			
ATM	"ataxia telangiectasia mutated (includes complementation groups A, C and D)"		Hs.367437			
472						
1260746 0.00874 IRK1; LQT7; SQT3; HHIRK1; KIR2.1; HHBIRK1		NM_000891	KCNJ2	"potassium inwardly-rectifying channel, subfamily J, member 2"	Hs.1547 3759	
3060274 0.00874 71-7A; SGBS2; CXorf5; MGC117039; MGC117040		NM_003611	OFD1	oral-facial-digital syndrome 1	Hs.6483 8481	
540634 0.00874 DPB1; HLA-DP1B; MHC	DPB1	NM_002121	HLA-DPB1	"major histocompatibility complex, class II, DP beta 1"	Hs.485130 3115	
5340164 0.00874 p9; CIP3; EAP2; OIP2; RRP43; Rrp43p; bA421P11.3; RP11-421P11.3		NM_181503	EXOSC8	exosome component 8	Hs.294041 11340	
6620747 0.00872 HSZFP36	XM_936858	HSZFP36	ZFP-36 for a zinc finger protein		55552	
5720273 0.0087 GPR19	NM_006143	GPR19	G protein-coupled receptor 19	Hs.657862	2842	
5720743 0.00866 FLJ14464	NM_032789	PARP10	"poly (ADP-ribose) polymerase family, member 10"	Hs.348609 84875		
2100471 0.00866 FRBZ1; FLJ36199; RP11-469L3.1; DKFZp686C06120		NM_194314	ZBTB41	zinc finger and BTB domain containing 41	Hs.529439 360023	
5690619 0.00866 dJ492J12.1	XM_940057	C20orf174	chromosome 20 open reading frame 174			

128611

670121	0.00866	FBX14; Fbx31; FBX014; pp2386; MGC9527; FLJ22477; MGC15419; DKFZP434B027; DKFZp434J1815					
NM_024735		FBXO31 F-box protein 31	Hs.567582	79791			
3400767	0.00866	GPR54; AXOR12; HOT7T175	NM_032551	KISS1R	KISS1 receptor	Hs.208229	84634
6550064	0.00861	U2AF1L4; FLJ22573	NM_024660	U2AF1L4 transmembrane	protein	149	
Hs.352548		79713					
2710278	0.00859	GLYA; SHMT	NM_005412	SHMT2	serine hydroxymethyltransferase	2	
(mitochondrial)	Hs.75069	6472					
1940544	0.00856	TAT-SF1; dJ196E23.2	NM_014500	HTATSF1	HIV-1 Tat specific factor	1	
Hs.204475		27336					
5310408	0.00853	FLJ13297; KIAA0643	NM_015041	CLUAP1	clusterin associated protein	1	
Hs.155995		23059					
3180402	0.00853	LPTP; HEPTP; PTPNI; BPTP-4; LC-PTP	NM_080588	PTPN7	"protein tyrosine phosphatase, non-receptor type 7"	Hs.402773	5778
2940358	0.00853	BCS; BJS; PTD; BCS1; FLNMS; h-BCS; GRACILE; Hs.6719	NM_004328	BCS1L	BCS1-like (yeast)	Hs.471401	617
4040634	0.00851	FLJ45386	NM_000254	MTR	5-methyltetrahydrofolate-homocysteine methyltransferase	Hs.498187	4548
1820288	0.00851	Hkp1; FLJ22661; FLJ23182	NM_022366	TFB2M	"transcription factor B2, mitochondrial"	Hs.693731	64216
6280333	0.00851	AF1Q; RP11-316M1.10	NM_006818	MLLT11	"myeloid/lymphoid or mixed-lineage leukemia (trithorax homolog, Drosophila); translocated to, 11"	Hs.75823	10962
4880142	0.0085	U31; RNU31	NR_002560	RNU31	"small nucleolar RNA, C/D box 31"	9298	
5700296	0.0085	TM4-A; TM4SF8; TSPAN-3	NM_198902	TSPAN3	tetraspanin 3	Hs.5062	10099
5220717	0.00844	GCP6	NM_020461	TUBGCP6	"tubulin, gamma complex associated protein 6"	Hs.336431	85378
2710253	0.00844	Mib	NM_014745	FAM38A	"family with sequence similarity 38, member A"	Hs.513807	9780
6560255	0.00844	FLJ20729; FLJ20760; NY-BR-75; MGC131963	NM_017953	C1orf181	chromosome 1 open reading frame 181	Hs.5111	54680
6040142	0.00844	SBB131; MSTP043; FLJ23161	NM_031953	SNX25	sorting nexin 25	Hs.369091	83891
7330368	0.00844	APOLMT; MTRPOL; h-mtRPOL	NM_005035	POLRMT	polymerase (RNA) mitochondrial (DNA directed)	Hs.254113	5442
3130564	0.00844	MGC33870; MGC74858	NM_032041	NCALD	neurocalcin delta	Hs.492427	

83988

110114	0.00843	TTC20;DKFZP586B0923	NM_015634	KIAA1279	KIAA1279	Hs.279580
26128						
4070601	0.00843	HP10481	NM_014254	TMEM5	transmembrane protein 5	Hs.216386
						10329
60095	0.00841	LCA6; RGI1; CORD9; RGRIP; RPGRIP; RPGRIP1d; DKFZp686P0897			NM_020366	RPGRIP1
		retinitis pigmentosa GTPase regulator interacting protein 1			Hs.126035	57096
2370400	0.00841	PIF79; P79PIF;	KIAA1269	NM_012384	GMEB2	glucocorticoid modulatory element
		binding protein 2		Hs.473286	26205	

1070377	0.00839		NM_207106	UIP1		
---------	---------	--	-----------	------	--	--

610372	0.00837	AOP1; MER5; AOP-1; SP-22; PRO1748; MGC24293; MGC104387	NM_014098	PRDX3		
		peroxiredoxin 3	Hs.523302	10935		

2750435	0.00833		XM_939844	LOC650761		
---------	---------	--	-----------	-----------	--	--

5720184	0.00833		XM_935596	LOC641750		
---------	---------	--	-----------	-----------	--	--

3450221	0.00831	FLJ12884; MGC130014; MGC130015	NM_001010924	C10orf38	chromosome 10	open reading frame 38
		Hs.66762	221061			

940504	0.00831	TAB1; MGC57664	NM_006116	MAP3K7IP1	mitogen-activated protein kinase kinase	
		kinase 7 interacting protein 1	Hs.507681	10454		

5090368	0.00828	AXIL; MGC126582; DKFZp781B0869	NM_004655	AXIN2	"axin 2 (conductin, axil)"	
		Hs.156527	8313			

2570450	0.00825	TRA@	CR592039	T cell receptor alpha locus	Hs.74647	
---------	---------	------	----------	-----------------------------	----------	--

650131	0.00824	MGC132014	NM_003866	INPP4B	"inositol polyphosphate-4-phosphatase, type II, 105kDa"	
		Hs.658245	8821			

60441	0.00824	BHLHB6	NM_138983	OLIG1	oligodendrocyte transcription factor 1	Hs.56663
		116448				

4120707	0.00823	rpL17; MGC72008; MGC111167; MGC117346	NM_000978	RPL23	ribosomal protein L23	
		Hs.406300	9349			

3520386	0.0082	FP2653; MGC3123	NM_177441	MGC3123	transmembrane and ubiquitin-like domain containing 2	
		Hs.181391	79089			

4730100	0.0082	LOC440093	NM_001013699	LOC440093	"similar to H3 histone, family 3B"	
		Hs.448697	440093			

3130273	0.00819	KIAA0571	NM_080491	GAB2	GRB2-associated binding protein 2	
		Hs.429434	9846			

5310431	0.00819	E4-DBP; HQ0256; MSTP162; FLJ30012; DKFZp5640176	NM_016355	DDX47	DEAD (Asp-Glu-Ala-Asp) box polypeptide 47	
		Hs.504828	51202			

2190672	0.00819	NIPSNAP1	NM_003634	NIPSNAP1	nipsnap homolog 1 (C. elegans)	
		Hs.173878	8508			

6550142	0.00819	APP1; APP-1; PABP4; iPABP	NM_003819	PABPC4	"poly(A) binding protein,"	
---------	---------	---------------------------	-----------	--------	----------------------------	--

cytoplasmic 4 (inducible form)" Hs.169900 150056 0.00819 MGC78578 Hs.414332	8761 NM_016817 4939		
2810767 0.00819 LDLC 22796	NM_007357	COG2	component of oligomeric golgi complex 2 Hs.211800
6110204 0.00819 LOC642443 III chi chain (Glutathione-dependent formaldehyde dehydrogenase) (FDH)	XM_926158	LOC642443	similar to Alcohol dehydrogenase class III chi chain (Glutathione-dependent formaldehyde dehydrogenase) (FDH) Hs.573295
5690008 0.00818 AOS1; SUA1; FLJ3091; HSPC140 1 Hs.515500	NM_005500	SAE1	SUMO1 activating enzyme subunit 1
380523 0.00808 DKFZp68601788 1690474 0.00808	NM_001010891 DA653196	MTX3 Transcribed locus	Hs.531418 Hs.633361
345778			
5820594 0.00808 ZNF392; ZNF435; FLJ22191; dJ265C24.3 domain containing 16 Hs.656641	NM_025231 80345		ZNF435 zinc finger and SCAN
5260338 0.00808 BM703456 clone UI-E-CL1-afe-e-04-0-UI 5', mRNA sequence."		"UI-E-CL1-afe-e-04-0-UI.r1	UI-E-CL1 Homo sapiens cDNA
3780603 0.00808 SDPI; KIAA1379 neurons 1 Hs.520087	NM_020804 29993	PACSIN1	protein kinase C and casein kinase substrate in
2490279 0.00804 RMP; URI; NNX3; FLJ10575 frame 2 Hs.466391	NM_134447 8725	C19orf2	chromosome 19 open reading
620328 0.008 GM88 Hs.182982	NM_181077 23015	GOLGA8A	"golgi autoantigen, golgin subfamily a, 8A"
4890039 0.00799 BX101194 cDNA clone IMAGp998B082580 ; IMAGE:1032871 5', mRNA sequence."		"BX101194 Soares_total_fetus_Nb2HF8_9w	Homo sapiens
2510296 0.00798 TRAP1; TRAP-1 receptor associated protein 1" Hs.446350	NM_004257 9392	TGFBRAP1	"transforming growth factor, beta
4060044 0.00798 RDL homolog (S. cerevisiae)"	NM_138792 Hs.567662	LEO1	"Leo1, Paf1/RNA polymerase II complex component,
1340139 0.00798 CBF2; NOC1; HSP-CBF Hs.135406	NM_005760 10153	CEBPZ	CCAAT/enhancer binding protein zeta
3140491 0.00798 FLJ13297; KIAA0643 Hs.155995	NM_015041 23059	CLUAP1	clusterin associated protein 1
6100364 0.00798 FLJ26025; acetylhydrolase 2, 40kDa"	HSD-PLA2 Hs.477083	NM_000437 5051	PAFAH2 "platelet-activating factor
580291 0.00798 PRED31; HSPC230; FLJ34245; RP11-59I9.1 open reading frame 203 Hs.486084	NM_016487 51250	C6orf203	chromosome 6
1470647 0.00798 HTP1; Dtrp1; SEC62; FLJ32803 Hs.486084	NM_003262 51250	TLOC1	translocation protein 1

Hs.592561	7095						
3800537	0.00798	LOC152485	NM_178835	LOC152485	hypothetical	protein	LOC152485
Hs.133916		152485					
4390615	0.00798		NM_138557	TLR4			
4180187	0.00795	MGC23980; RP11-27J8.2	NM_018325	C9orf72 chromosome 9 open reading frame 72			
Hs.493639		203228					
730435	0.00795	NAG6; MGC129657; DKFZP434G156	NM_022742	NAG6	coiled-coil domain containing		
136		Hs.521178	64753				
3890241	0.00795	ZNF404	BC041923	Zinc finger protein 404	Hs.76561		
5960731	0.00795	LAF4; MLLT2-like	NM_002285	AFF3	"AF4/FMR2 family, member 3"		
Hs.444414		3899					
50563	0.00795	BCL5; LAZ3; BCL6A; ZNF51; ZBTB27	NM_001706	BCL6	B-cell CLL/lymphoma 6		
(zinc finger protein 51)		Hs.478588	604				
1050324	0.00794	KIAA0188; DKFZp781P1796	NM_145693	LPIN1	lipin 1	Hs.467740	23175
130497	0.00794	BCL7C	XM_944463	BCL7C	"B-cell CLL/lymphoma 7C; Homo sapiens B-cell CLL/lymphoma 7C (BCL7C), mRNA."		
1980128	0.00791	FLJ20512	NM_017854	FLJ20512	transmembrane	protein	160
Hs.105606		54958					
130717	0.00791	GS3786	NM_014888	FAM3C	"family with sequence similarity 3, member C"		
Hs.434053		10447					
3830184	0.00786	DSCP1	NM_138349	TP53I13	tumor protein p53 inducible protein 13	Hs.514050	
90313							
7160753	0.00786	PFL; D3S1319E	NM_053024	PFN2	profilin 2	Hs.91747	5217
3450653	0.00786	CBR; hCBR1	NM_001757	CBR1	carbonyl reductase 1	Hs.88778	873
2650347	0.00784	MGC138308; MGC138310; DKFZp781D2217;	PFK-2/FBPase-2	NM_001018053	PFKFB2	"6-phosphofructo-2-kinase/fructose-2,6-biphosphatase 2"	5208
3800082	0.00782		XM_930277	LOC653518			
6650475	0.00781	LOC646163	XM_929125	LOC646163	similar to 60S ribosomal protein L3		
(L4)		646163					
6250047	0.00781	FLJ20557	NM_017879	ZNF416	zinc finger protein 416	Hs.247711	55659
840242	0.0078	MGC23980; RP11-27J8.2	NM_145005	C9orf72 chromosome 9 open reading frame 72			
Hs.493639		203228					
3840358	0.00778	RU1; SFMBT; DKFZp434L243	NM_001005158	SFMBT1	Scm-like with four mbt domains		
1		Hs.343679	51460				
4390408	0.00774	TRA@	AY475219	T cell receptor alpha locus		Hs.74647	

6520075 0.00771 ZNF544 NM_014480	ZNF544 zinc finger protein 544 Hs.438994	27300	
5890041 0.00771 C3G; GRF2; DKFZp781P1719 factor (GEF) 1 Hs.127897	NM_005312 RAPGEF1 Rap guanine nucleotide exchange		
2889			
6330450 0.00763 TR2; TR2-11 Hs.108301	NM_001032287 NR2C1 "nuclear receptor subfamily 2, group C, member 1" 7181		
7560615 0.00763 XM_929502	EGFL5		
1300524 0.00763 LOC647436	XM_937113 LOC647436	similar to ribosomal protein L5	
647436			
6520167 0.00763 AIP1; API2; MIHC; CIAP2; HAIP1; HIAP1; MALT2; RNF49 baculoviral IAP repeat-containing 3	Hs.127799	NM_001165 BIRC3 330	
5290100 0.00762 CBC2; NIP1; CBP20; PIG55 subunit 2, 20kDa" Hs.591671	NM_007362 NCBP2	"nuclear cap binding protein	
22916			
3190328 0.00759 SLS; FALDH; ALDH10; FLJ20851; DKFZp686E23276 dehydrogenase 3 family, member A2" Hs.499886	NM_001031806 ALDH3A2	"aldehyde	
224			
5490634 0.00752 TFIIS; TFIIS.H Hs.446354	NM_003196 TCEA3	"transcription elongation factor A (SII), 3"	
6920			
3190446 0.00752 FLJ21281; FLJ90089; MGC149864; MGC149865 KIAA1641	57730	XM_931666 LOC643591	
7550598 0.00752 HSA272268 alpha 2/delta 3 subunit" Hs.656687	NM_018398 CACNA2D3	"calcium channel, voltage-dependent ,	
55799			
4280692 0.00752 UKp68; FLJ11806; MGC26892; NY-REN-37 CCCH-type containing 14 Hs.325846	NM_024824	FLJ11806 zinc finger	
79882			
6480593 0.00752 PEN; PUF6; XTP5; HLA-HA8; MGC8749; RP11-526D20.2 KIAA0020	Hs.493309	NM_014878 KIAA0020 9933	
3420632 0.00752 C21orf5 NM_005128	DOPEY2	dopey family member 2 Hs.204575	9980
3420164 0.00752 BGGI; GGTI subunit" Hs.254006	NM_005023 PGGT1B	"protein geranylgeranyltransferase type I, beta	
5229			
4480324 0.00752 SMVT NM_021095	SLC5A6	"solute carrier family 5 (sodium-dependent vitamin transporter), member 6" Hs.435735	
8884			
4850255 0.00752 DKFZp686I1536 Hs.4209	NM_005920 MEF2D	myocyte enhancer factor 2D Hs.314327	
6370035 0.00752 TRIP14; p590ASL Hs.118633	NM_003733 OASL	2'-5'-oligoadenylate synthetase-like	
8638			
1470296 0.00752 dJ83L6.1 Hs.156257	NM_007157 ZXDB	"zinc finger, X-linked, duplicated B"	
158586			
7560554 0.00752 XM_929797	LOC653784		
5220022 0.0075 LCHN; PRO2561 AF116707	KIAA1147	KIAA1147 Hs.521240	
		57189	

870437 0.0075 Ga19; NATH; TBDN100 NM\_057175 NARG1 NMDA receptor regulated 1  
Hs.555985 80155

1030327 0.0075 CD25; IL2R; TCGFR; IDDM10 NM\_000417 IL2RA "interleukin 2 receptor, alpha"  
Hs.231367 3559

110706 0.00747 CTB NM\_004388 CTBS "chitobiase, di-N-acetyl-" Hs.513557 1486

4540367 0.00747 PARIS1; PARIS-1; TBC1D2A; FLJ10702; FLJ16244; FLJ42782; DKFZp761D1823 NM\_018421  
TBC1D2 "TBC1 domain family, member 2" Hs.371016 55357

5560487 0.00747 FLJ10738; C14orf114; DKFZp781A0133; DKFZp781L15100 NM\_018199 EXDL2  
exonuclease 3'-5' domain-like 2 Hs.649365 55218

5810072 0.00747 IGA; MB-1 NM\_001783 CD79A "CD79a molecule, immunoglobulin-associated alpha" Hs.631567 973

4610152 0.00747 MGC75048; MGC117376; MGC156196 NM\_004506 HSF2 heat shock transcription factor  
2 Hs.158195 3298

7570403 0.00747 MIG12; THRSPL; FLJ10386; G12-like; STRAIT11499 NM\_021242 MID1IP1 MID1  
interacting protein 1 (gastrulation specific G12 homolog (zebrafish)) Hs.522605 58526

4220278 0.00747 NM\_176878 INADL

7570189 0.00747 ARP1B; CTRN2 NM\_005735 ACTR1B "ARP1 actin-related protein 1 homolog B,  
centractin beta (yeast)" Hs.98791 10120

4590577 0.00747 HSPC154 NM\_014177 C18orf55 chromosome 18 open reading frame 55  
Hs.532835 29090

6110008 0.00747 BCAM; BCT2 NM\_001190 BCAT2 "branched chain aminotransferase 2,  
mitochondrial" Hs.512670 587

7380181 0.00747 NLRR3; NLRR-3; FLJ11129 NM\_018334 LRRN3 leucine rich repeat neuronal 3 Hs.3781  
54674

2810255 0.00747 ILWEQ; MGC126506 NM\_005338 HIP1 huntingtin interacting protein 1  
Hs.329266 3092

630768 0.00746 ALP; hALP; FLJ10774; FLJ12179; FLJ23850; KIAA1709; DKFZp434C116 NM\_024662 NAT10  
N-acetyltransferase 10 Hs.577281 55226

360753 0.00743 LTBP2; LTBP-3; pp6425; FLJ33431; FLJ39893; FLJ42533; FLJ44138; DKFZP586M2123  
NM\_021070 LTBP3 latent transforming growth factor beta binding protein 3 Hs.289019  
4054

20647 0.00743 PRC; KIAA0595; MGC74642; RP11-302K17.6 NM\_015062 PPRC1 "peroxisome  
proliferator-activated receptor gamma, coactivator-related 1" Hs.533551 23082

6400072 0.00742 SMN; SM-D; RT-LI; HCERN3; SNRNP-N; SNURF-SNRPN NM\_022805 SNRPN small nuclear  
ribonucleoprotein polypeptide N Hs.564847 6638

2060170 0.00742 CLCS; MDR1; P-gp; PGY1; ABC20; CD243; GP170; MGC163296 NM\_000927 ABCB1 "ATP-

binding cassette, sub-family B (MDR/TAP), member 1"	Hs.489033	5243
7050661 0.00742 Yes; c-yes; HsT441; P61-YES oncogene homolog 1	NM_005433 Hs.194148	YES1 7525 v-yes-1 Yamaguchi sarcoma viral
2900524 0.00741 DPH2L2 NM_001384	DPH2	DPH2 homolog (S. cerevisiae) Hs.632398 1802
4830608 0.00741 G6a; DDAH; NG30; DDAHII NM_013974 2 Hs.247362	DDAH2 23564	dimethylarginine dimethylaminohydrolase
6400064 0.00741 PPP1R6; DKFZp781L2441 NM_006242 (inhibitor) subunit 3D" Hs.42215	5509	PPP1R3D "protein phosphatase 1, regulatory
4590608 0.00741 XM_929619	LOC653503	
6450286 0.0074 FLJ38663 NM_152269 Hs.319128 91574	FLJ38663	chromosome 12 open reading frame 65
3460341 0.0074 BC034720 Hs.385535	"Homo sapiens, clone IMAGE:3867102, mRNA"	
3190053 0.0074 SMD2; SNRPD1 NM_004597 16.5kDa Hs.515472	6633	SNRPD2 small nuclear ribonucleoprotein D2 polypeptide
5130138 0.00733 TM7SF3 NM_016551 51768	TM7SF3	transmembrane 7 superfamily member 3 Hs.438641
70092 0.00731 C6.1B NM_001018025	MTCP1	mature T-cell proliferation 1 Hs.6917 4515
4570735 0.00729 KYNU NM_003937	KYNU	kynureninase (L-kynurenone hydrolase) Hs.470126 8942
4890754 0.00728 BX093329	Transcribed locus	Hs.133181
6130563 0.00724 TP; MNGIE; PDECGF; hPD-ECGF 1 (platelet-derived)	NM_001953 Hs.592212	ECGF1 endothelial cell growth factor 1890
4850561 0.00723 ART-4; NOB1P; MST158; MSTP158; PSMD8BP1 NM_014062 protein 1 homolog (S. cerevisiae)	Hs.271695	NOB1P NIN1/RPN12 binding 28987
4180411 0.00719 FLAP NM_001629 Hs.507658	ALOX5AP arachidonate	5-lipoxygenase-activating protein 241
1030148 0.00719 MGC42193; DKFZp686N2081 NM_175066 51 Hs.445168	DDX51	DEAD (Asp-Glu-Ala-Asp) box polypeptide 317781
4780672 0.00719 QC; GCT NM_012413 cyclase)	QPCT Hs.79033	glutaminyl-peptide cyclotransferase (glutaminyl 25797
460102 0.00718 P0; L10E; RPP0; PRLP0; MGC88175; MGC111226 protein, large, P0"	NM_053275 Hs.546285	RPLP0 "ribosomal 6175
3440240 0.00717 BE080562	Transcribed locus	Hs.563552
7330719 0.00717 BX098605	Transcribed locus	Hs.687277

2340563	0.00717	FIB; FLRN; RNU3IP1	NM_001436	FBL	fibrillarin	Hs.299002	2091
4040296	0.00717	DCHT; PASK; SPAK; DKFZp686K05124 kinase 39 (STE20/SPS1 homolog, yeast)"	NM_013233	STK39	"serine threonine		
kinase 39 (STE20/SPS1 homolog, yeast)"		Hs.276271	27347				
3420315	0.00714	MATA2; MATII; SAMS2 alpha" Hs.516157	NM_005911	MAT2A	"methionine adenosyltransferase II,		
		4144					
3840221	0.00709	TECT1; FLJ21127	NM_024549	FLJ21127	tectonic 1	Hs.211511	79600
7570730	0.00709	bA63L7.3	NM_001010853	ACY1L2	aminoacylase 1-like 2	Hs.652106	135293
1660546	0.00709	EPH; EPHT; EPHT1; MGC163163 2041	NM_005232	EPHA1	EPH receptor A1	Hs.89839	
4880563	0.00709	BS-17; MGC9402	NM_001750	CAST	calpastatin	Hs.440961	831
4200482	0.00709	LAMPB; CD107b; LAMP-2C Hs.496684	NM_002294	LAMP2	lysosomal-associated membrane protein 2		
		3920					
4880717	0.00708	ACS1; LACS; FACL1; FACL2; LACS1; LACS2 long-chain family member 1	NM_001995	ACSL1	acyl-CoA synthetase		
		Hs.406678	2180				
1990471	0.00707	MGC45416; DKFZp686C03164 Hs.95835	NM_152398	OClAD2	OCIA domain containing 2		
		132299					
1340731	0.00707	NY-CO-3	NM_006643	SDCCAG3	serologically defined colon cancer antigen 3		
Hs.94300		10807					
620593	0.00706	ES18; HES18; MGC22015 10081	NM_005707	PDCD7	programmed cell death 7	Hs.458596	
6770132	0.00706	OGFOD1	NM_001031707	OGFOD1	"2-oxoglutarate and iron-dependent oxygenase domain containing 1; synonyms: TPA1, FLJ10826, KIAA1612; TPA1, termination and polyadenylation 1, homolog; Homo sapiens 2-oxoglutarate and iron-dependent oxygenase domain containing 1 (OGFOD1), mRNA."		
4810609	0.00705		XM_928068	LOC645001			
4920092	0.00705	GLUT3; FLJ90380	NM_006931	SLC2A3	"solute carrier family 2 (facilitated glucose transporter), member 3"	Hs.419240	6515
1820424	0.00705	JDD1; SB73; KIAA0974 member 9"	NM_015190	DNAJC9	"DnaJ (Hsp40) homolog, subfamily C,		
		Hs.654694	23234				
4280632	0.00705	HAKAI; RNF188; FLJ23109; MGC163401; MGC163403 (murine) ecotropic retroviral transforming sequence-like 1	NM_024814	CBLL1	Cas-Br-M		
5860110	0.00704	LOC648984	XM_938063	LOC648984	similar to Baculoviral IAP repeat-containing protein 1 (Neuronal apoptosis inhibitory protein)		648984
7320411	0.00704		NM_144637	ZDHHC19			
3400544	0.00704	HP55; POLB; PEOA4; POLGB; MTPOLB	NM_007215	POLG2	"polymerase (DNA		

directed), gamma 2, accessory subunit"	Hs.437009	11232
6250121 0.00704 MGC921; FLJ10903 Hs.524280 55766	NM_177925	H2AFJ "H2A histone family, member J"
360577 0.00704 IPO-B; MNSOD; Mn-SOD Hs.487046 6648	NM_001024465	SOD2 "superoxide dismutase 2, mitochondrial"
5290070 0.00704 XM_935588	LOC641848	
620040 0.00704 NM_148973	TNFRSF25	
6900603 0.00704 BQ437417	Hypothetical protein	Hs.633116
3460349 0.00704 RIF; ARHF; FLJ20247 Hs.524804 54509	NM_019034	RHOF "ras homolog gene family, member F (in filopodia)"
2940541 0.00704 BB2; CD54; P3.58 (CD54), human rhinovirus receptor"	NM_000201 Hs.643447	ICAM1 "intercellular adhesion molecule 1 3383
7650386 0.00703 MSF; MSF1; NAPB; SINT1; PNUTL4; SeptD1; AF17q25; KIAA0991 septin 9 Hs.440932 10801		NM_006640 9-Sep
7000768 0.00703 LAX; FLJ20340 Hs.272794 54900	NM_017773	LAX1 lymphocyte transmembrane adaptor 1
460450 0.00701 FLJ90430	NM_178558	ZNF680 zinc finger protein 680 Hs.520886 340252
3420086 0.007 AK091091	"CDNA FLJ33772 fis, clone BRSSN2000175"	Hs.653331
6620279 0.007 C6orf207; FLJ40584; MGC163388; bA325024.3; bA325024.4 chromosome 6 open reading frame 190 Hs.661756 387357	NM_001010923	C6orf190
7560619 0.00697 KIAA1615	NM_020951	ZNF529 zinc finger protein 529 Hs.654960 57711
1260427 0.00697 4.10; P410; EPB41L40; MGC20553; RP11-439K3.2 containing 3 Hs.127535 257019	NM_174938	FRMD3 FERM domain
2630500 0.00697 FRA3B; AP3Aase	NM_002012	FHIT fragile histidine triad gene Hs.655995 2272
2510110 0.00697 MST017; HSPC028; MSTP017 domains 2 Hs.487635 28969	NM_014038	BZW2 basic leucine zipper and W2
4070280 0.00697 AK095855	CDNA clone IMAGE:4513453	Hs.213061
650521 0.00697 BACH2 NM_021813	BACH2	"BTB and CNC homology 1, basic leucine zipper transcription factor 2" Hs.269764 60468
6650021 0.00697 BX090408	Transcribed locus	Hs.406106
5270364 0.00694 XM_933893	LOC389672	
3800243 0.00694 PBEF; NAMPT; MGC117256; DKFZP666B131; 1110035014Rik cell colony enhancing factor 1 Hs.489615 10135	NM_005746	PBEF1 pre-B-

3420112 0.00691 TRA@ DQ286431 T cell receptor alpha locus Hs.74647

5670605 0.00686 WBMT; PP3381; HUSSY-3; MGC2022; MGC5140; HASJ4442; MGC19709 NM\_017528 WBSCR22  
Williams Beuren syndrome chromosome region 22 Hs.647063 114049

940224 0.00686 UQOR1 NM\_007103 NDUFV1 "NADH dehydrogenase (ubiquinone) flavoprotein 1, 51kDa"  
Hs.7744 4723

2350059 0.00683 DPDE4; PDEIVB; MGC126529; DKFZp686F2182 NM\_002600 PDE4B "phosphodiesterase 4B,  
cAMP-specific (phosphodiesterase E4 duncle homolog, Drosophila)" Hs.198072 5142

6250754 0.00683 B3GALT7; BGALT15; beta3Gn-T8 NM\_198540 B3GALT7 "UDP-GlcNAc:betaGal beta-1,3-N-  
acetylglucosaminyltransferase 8" Hs.441681 374907

1980050 0.00682 CD642056 "T-cell receptor ( V alpha 8.1, J alpha AB11, C alpha  
1) mRNA" Hs.494932

4920064 0.00682 C6orf74; CGI-130; NS5ATP2; MGC87330; dJ16705.2 NM\_016063 HDDC2 HD domain  
containing 2 Hs.32826 51020

2650626 0.00682 MAD4; MST149; MSTP149 NM\_006454 MXD4 MAX dimerization protein 4  
Hs.655020 10608

6590681 0.00682 MGC4175; MM-TRAG NM\_024315 C7orf23 chromosome 7 open reading frame 23  
Hs.196129 79161

2570497 0.00679 EV1; EVER1; EVIN1; LAK-4P NM\_007267 TMC6 transmembrane channel-like 6  
Hs.632227 11322

2230475 0.00678 ZAC; LOT1; ZAC1; MGC126275; MGC126276; DKFZp781P1017 NM\_006718 PLAGL1  
pleiomorphic adenoma gene-like 1 Hs.444975 5325

7150747 0.00678 ARID1B XM\_930472 LOC645070 "AT rich interactive domain 1B (SWI1-like);  
synonyms: 6A3-5, DAN15, p250R, BRIGHT, BAF250b, ELD/OSA1, KIAA1235, RP11-419L10.1; isoform 3 is  
encoded by transcript variant 3; BRG1-binding protein ELD/OSA1; Eld (eyelid)/Osa protein; Homo sapiens  
AT rich interactive domain 1B (SWI1-like) (ARID1B), transcript variant 3, mRNA."

5490280 0.00676 H1RNA NM\_002936 RNASEH1 ribonuclease H1 Hs.568006 246243

6290274 0.00672 CCG2; SCAR; SCR10; DXS306; FLJ40595 NM\_001007 RPS4X "ribosomal protein S4,  
X-linked" Hs.446628 6191

3840523 0.0067 iGAT; iGNT; B3GNT6; B3GN-T1; BETA3GNTI NM\_006876 B3GNT6 "UDP-GlcNAc:betaGal  
beta-1,3-N-acetylglucosaminyltransferase 1" Hs.8526 11041

2120341 0.0067 TLR7 NM\_016562 TLR7 toll-like receptor 7 Hs.659215 51284

3310368 0.0067 HEIR-1 NM\_002167 ID3 "inhibitor of DNA binding 3, dominant negative helix-  
loop-helix protein" Hs.76884 3399

6580753 0.0067 LIN7; VELI1; LIN-7A; MALS-1; TIP-33; MGC148143 NM\_004664 LIN7A lin-7 homolog A  
(C. elegans) Hs.144333 8825

6220564 0.0067 TAPP1 NM\_001001974 PLEKHA1 "pleckstrin homology domain containing, family A

(phosphoinositide binding specific) member 1" Hs.693627 59338

1030672 0.0067 MGC4730 NM\_033428 C9orf123 chromosome 9 open reading frame 123 Hs.7517  
90871

3840463 0.0067 St IP; SHINC-2; STATIP1; FLJ10879 NM\_018255 STATIP1 elongation protein 2 homolog (S. cerevisiae) Hs.8739 55250

3420154 0.0067 DHLAG; HLADG; Ia-GAMMA; protein 41 NM\_001025159 CD74 "CD74 molecule, major histocompatibility complex, class II invariant chain" Hs.436568 972

3420209 0.00669 LCMR1 NM\_153450 MED19 "mediator of RNA polymerase II transcription, subunit 19 homolog (S. cerevisiae)" Hs.43619 219541

2630553 0.00669 N4wbp5a; FLJ25842; KIAA1165 NM\_019080 NDFIP2 Nedd4 family interacting protein 2 Hs.525093 54602

3360541 0.00669 HEEW1;DKFZp667P2311 NM\_020964 KIAA1632 KIAA1632 Hs.514843  
57724

3870333 0.00669 ZO2; X104; ZO-2; MGC26306 NM\_201629 TJP2 tight junction protein 2 (zona occludens 2) Hs.50382 9414

3360246 0.00669 C1orf72; FLJ10199 NM\_018022 TMEM51 transmembrane protein 51 Hs.465305 55092

2630541 0.00669 CIN85; GIG10; MIG18 NM\_001024666 SH3KBP1 SH3-domain kinase binding protein 1 Hs.444770 30011

380386 0.00666 RNF89 NM\_001003818 TRIM6 tripartite motif-containing 6 Hs.125300 117854

7330022 0.00666 GAS6 XM\_942084 GAS6 "growth arrest-specific 6; synonyms: AXSF, AXLLG, FLJ34709, DKFZp666G247; AXL stimulatory factor; Homo sapiens growth arrest-specific 6 (GAS6), mRNA." Hs.465305 55092

4760609 0.00666 EDARADD NM\_145861 EDARADD EDAR-associated death domain Hs.352224 128178

1230634 0.00665 LOC652699 XM\_942311 LOC652699 similar to Neutrophil cytosol factor 1 (NCF-1) (Neutrophil NADPH oxidase factor 1) (47 kDa neutrophil oxidase factor) (p47-phox) (NCF-47K) (47 kDa autosomal chronic granulomatous disease protein) (NOX02) Hs.465305 652699

4150431 0.00664 XM\_927125 LOC653371

110025 0.00664 XM\_371273 LOC388654

6380709 0.00661 PPR3; PRR3; PVRR3; CDw113; FLJ90624; nectin-3; DKFZP566B0846 NM\_015480 PVRL3 poliovirus receptor-related 3 Hs.293917 25945

6510603 0.00661 Parf; pp8875; FLJ10101; FLJ13045; bA216L13.9; RP11-216L13.9 NM\_024718 C9orf86 chromosome 9 open reading frame 86 Hs.567803 55684

7160546 0.00661 F10; FLJ11305; MGC16774; RP11-98F14.6 NM\_018386 FLJ11305 PCI domain containing 2 Hs.508769 55795

2600008 0.00661 ARPP-19; ARPP16; ARPP19; ARPP-16; FLJ41622 NM\_006628 ARPP-19 "cyclic AMP phosphoprotein, 19 kD" Hs.512908 10776

4480367	0.00661	KRT6; K6irs; K6IRS2; KRT6IRS2; MGC142246	NM_080747	K6IRS2	keratin 72
Hs.662013	140807				
1070403	0.00661	AXSF; AXLLG; FLJ34709; DKFZp666G247	NM_000820	GAS6	growth arrest-specific
6	Hs.646346	2621			
1050121	0.00661	NM_201625	CLEC12A		
4220097	0.00659	TFIIS	NM_003195	TCEA2	"transcription elongation factor A (SII), 2"
Hs.505004	6919				
5260161	0.00659	VASP	NM_003370	VASP	vasodilator-stimulatedphosphoprotein
7408					Hs.515469
6960717	0.00658	TSH3; ZNF537; KIAA1474	NM_020856	ZNF537	teashirt family zinc finger 3
Hs.278436	57616				
5360349	0.00658	ALFY; ZFYVE25; KIAA0993; MGC16461	NM_178583	WDFY3	WD repeat and FYVE
domain containing 3		Hs.480116	23001		
3850497	0.00656	IEF-SSP-9502	NM_007062	PWP1	PWP1 homolog (S. cerevisiae)
11137					Hs.506652
6200021	0.00654	RASGRP4	NM_170604	RASGRP4	RAS guanyl releasing protein 4
10082	0.00651	DNAPTP2; FLJ90504	NM_173647	RNF149	ring finger protein 149
284996				Hs.130434	Hs.142074
630671	0.00651	FLJ21308; MGC42864	NM_024615	PARP8	"poly (ADP-ribose) polymerase family,
member 8"		Hs.369581	79668		member 8"
6650326	0.0065	PS04; SNEV; PRP19; UBOX4; hPS04; NMP200	NM_014502	PRPF19	PRP19/PS04 pre-mRNA
processing factor 19 homolog (S. cerevisiae)		Hs.502705	27339		
3290681	0.0065	AF070595		Clone 24583 mRNA sequence	Hs.655754
3310243	0.0065	DQ1; MGC4386	NM_014506	TOR1B	"torsin family 1, member B (torsin B)"
Hs.654672	27348				
7150601	0.0065	My013; HRPAP20; HSPC125; ba22L21.1	NM_014165	C6orf66	chromosome 6 open
reading frame 66		Hs.591333	29078		
780148	0.0065	MLKL	XM_936963	MLKL	"mixed lineage kinase domain-like; synonym: FLJ34389; Homo sapiens mixed lineage kinase domain-like (MLKL), mRNA."
5900021	0.0065	FLJ10218; MGC126756; MGC142027	NM_018031	WDR6	WD repeat domain 6
Hs.654815	11180				
4150224	0.0065	GELB; CLG4B; MMP-9	NM_004994	MMP9	"matrix metallopeptidase 9 (gelatinase B, 92kDa gelatinase, 92kDa type IV collagenase)"
				Hs.297413	4318
5290411	0.0065	NVL	NM_002533	NVL	nuclear VCP-like
				Hs.497867	4931
5550309	0.00649	PARP; PPOL; ADPRT; ADPRT1; PARP-1; pADPRT-1	NM_001618	PARP1	"poly (ADP-

ribose) polymerase family, member 1"	Hs.177766	142
1710259 0.00648 CEB1; CEBP1	NM_016323	HERC5 hect domain and RLD 5 Hs.26663 51191
5260484 0.00648 MGC75174; MGC117277; DKFZp686L13217 domain family, member 2"	Hs.657067	NM_032239 55132 LARP2 "La ribonucleoprotein
1240762 0.00648 LOC642019	XM_936090	LOC642019 similar to nucleolar protein 5A 642019
6060181 0.00648 SLP2; SGA72M; CHR11SYT; KIAA1597; MGC102768 like 2 Hs.369520	54843	NM_032943 SYTL2 synaptotagmin-
3420193 0.00644 KIAA0599; MGC156299; MGC156300 containing, family G (with RhoGef domain) member 3"	NM_015549	Hs.509637 26030 PLEKHG3 "pleckstrin homology domain
6900465 0.00642 5-LO; 5LPG; LOG5; MGC163204	NM_000698	ALOX5 arachidonate 5-lipoxygenase Hs.89499 240
6840189 0.00642	XM_939934	LOC650845
5340064 0.0064 FLJ14129	NM_030895	ZNF696 zinc finger protein 696 Hs.657615 79943
2650390 0.0064 PLC1; PLC-II; PLC148; PLCgamma1 Hs.268177	NM_002660	PLCG1 "phospholipase C, gamma 1" 5335
1570687 0.00636 OX2R; MOX2R; CD200R; HCRT2 Hs.309158	NM_138940	CD200R1 CD200 receptor 1 131450
6420719 0.00635 PRO2405; FLJ31228; MGC163452; bA100C15.1; DKFZP434F195; DKFZP434G2311; RP11-100C15.2 NM_015447	CAMSAP1	calmodulin regulated spectrin-associated protein 1 Hs.522493 157922
7150112 0.00635 FPF; p55; p60; TBP1; TNF-R; TNFAR; TNFR1; p55-R; CD120a; TNFR55; TNFR60; TNF-R-I; TNF-R55; MGC19588 Hs.279594	NM_001065	TNFRSF1A "tumor necrosis factor receptor superfamily, member 1A" 7132
3780689 0.00635 PN-I; PSN1; UMPH; UMPH1; P5'N-1; cN-III; MGC27337; MGC87109; MGC87828 NT5C3	NM_016489	"5'-nucleotidase, cytosolic III" Hs.487933 51251
7200255 0.00633 GS3686; C1orf29 Hs.389724	NM_006820	IFI44L interferon-induced protein 44-like 10964
990494 0.00633 FLJ11090; MGC104252 Hs.209945	NM_018319	TDP1 tyrosyl-DNA phosphodiesterase 1 55775
10274 0.00633 LOC652626	XM_942172	LOC652626 similar to Leukocyte immunoglobulin-like receptor subfamily B member 2 precursor (Leukocyte immunoglobulin-like receptor 2) (LIR-2) (Immunoglobulin-like transcript 4) (ILT-4) (Monocyte/macrophage immunoglobulin-like receptor 10) (MIR-10) (CD85d ant... 652626
2510095 0.00633 AML2; CBFA3; PEBP2aC; FLJ34510; MGC16070 transcription factor 3 Hs.170019	NM_004350	RUNX3 runt-related 864
2640114 0.00633 ILRS; IARS1; PRO0785; FLJ20736	NM_002161	IARS isoleucyl-tRNA synthetase

Hs.445403 3376

2970598 0.00633 NM\_024048 MGC3020

5270372 0.00633 XPV; XP-V; RAD30A; FLJ16395; FLJ21978 NM\_006502 POLH "polymerase (DNA directed), eta" Hs.655467 5429

7150196 0.00633 TRIP14; p590ASL NM\_003733 OASL 2'-5'-oligoadenylate synthetase-like Hs.118633 8638

1770068 0.00633 XM\_929369 LOC653743

3400669 0.00633 XM\_936265 LOC642120

2650082 0.00633 HM74a; HM74b; PUMAG; Puma-g NM\_177551 GPR109A G protein-coupled receptor 109A Hs.524812 338442

4220435 0.00633 p100; MGC133260 NM\_006187 OAS3 "2'-5'-oligoadenylate synthetase 3, 100kDa" Hs.528634 4940

5360519 0.00628 FPM315; ZKSCAN12 NM\_005741 ZNF263 zinc finger protein 263 Hs.611475 10127

1070717 0.00628 RANGNRF; MOG1; HSPC165; HSPC236; MGC110973; DKFZp686F02139 NM\_016492 RANGNRF RAN guanine nucleotide release factor Hs.408233 29098

4850725 0.00628 SDS-RS1 NM\_138432 SDSL serine dehydratase-like Hs.337594 113675

5810709 0.00628 LOC26010; DNAPTP6; DKFZp564A2416 NM\_015535 DNAPTP6 viral DNA polymerase-transactivated protein 6 Hs.120323 26010

2690068 0.00628 NM\_182790 PBEF1

7560138 0.00628 MCT3; MCT4; MGC138472; MGC138474 NM\_004207 SLC16A3 "solute carrier family 16, member 3 (monocarboxylic acid transporter 4)" Hs.693616 9123

3930292 0.00626 LOC651738 XM\_944898 LOC651738 hypothetical protein LOC651738 651738

1770639 0.00625 NS3TP1; FLJ20752; NBLA00058 NM\_019048 ASNSD1 asparagine synthetase domain containing 1 Hs.101364 54529

6040747 0.00625 MGC45400 NM\_153333 TCEAL8 transcription elongation factor A (SII)-like 8 Hs.389734 90843

5360215 0.00625 FLJ13052; FLJ37724; dJ283E3.1; RP1-283E3.6 NM\_023018 NADK NAD kinase Hs.654792 65220

2230452 0.00624 KIAA0286; DKFZp686N1768 NM\_015257 KIAA0286 KIAA0286 protein Hs.591040 23306

6620307 0.00624 p7; RRP4; Rrp4p; hRrp4p NM\_014285 EXOSC2 exosome component 2 Hs.654643 23404

3610255 0.00624 CA396207 "cs75c04.y1 Human Retinal pigment epithelium/choroid

cDNA (Un-normalized, unamplified): cs Homo sapiens cDNA clone cs75c04 5', mRNA sequence."

4670070 0.00624 FAM44B	NM_138369	FAM44B "family with sequence similarity 44, member B"
Hs.425091	91272	
6290358 0.00624 SASP; MUNO; Taps; SASPase	NM_152792	FLJ25084 skin aspartic protease
Hs.556025	151516	
2340435 0.00624 P15; MTR2	NM_013248	NXT1 NTF2-like export factor 1
29107		Hs.516933
5260673 0.00624	NM_134264	WSB1
4120301 0.00624 MGC20576	NM_144691	CAPN12 calpain 12
		Hs.653110 147968
2260463 0.00623	XM_937579	LOC648526
6480201 0.00623 Scm13	NM_001031694	SCMH1 sex comb on midleg homolog 1 (Drosophila)
Hs.571874	22955	
2350639 0.00623 MAP-1; PNMA4	NM_022151	MOAP1 modulator of apoptosis 1
64112		Hs.24719
4810673 0.00623	XM_925939	LOC653080
3610435 0.00622 TIP39; FLJ22086; bK445C9.6	NM_001008697	TFIP11 tuftelin interacting protein 11
Hs.20225	24144	
6040050 0.00622 HT2A; BBS11; TATIP; LGMD2H	NM_012210	TRIM32 tripartite motif-containing 32
Hs.591910	22954	
160128 0.00617 TTF; ARHH	NM_004310	RHOH "ras homolog gene family, member H"
Hs.654594	399	
6420762 0.00616 MetRS; mtMetRS	NM_138395	MARS2 "methionyl-tRNA synthetase 2, mitochondrial"
Hs.116602	92935	
3450286 0.00612 ELC2; HPC2; FLJ10530; FLJ36693; FLJ42848	NM_018127	ELAC2 elac homolog 2
(E. coli)	60528	
4760242 0.00611 TAT1; FLJ32714	NM_138718	SLC26A8 "solute carrier family 26, member 8"
Hs.435836	116369	
4890114 0.00611 FLJ13639	NM_001031719	FLJ13639 dehydrogenase/reductase (SDR family)
member 12	Hs.266728	79758
450114 0.00611 IAN7; hIAN7; MGC27027	NM_153236	GIMAP7 "GTPase, IMAP family member 7"
Hs.647074	168537	
4200132 0.00605 GLC1G; UTP21; TAWDRP; TA-WDRP; DKFZp686I1650	NM_139281	WDR36 WD repeat
domain 36	Hs.533237	134430
4810131 0.00601 CRBP4; CRBPIV; MGC70641	NM_052960	RBP7 "retinol binding protein 7, cellular"
Hs.422688	116362	
2750056 0.00601 LOC645691	XM_936790	similar to Heterogeneous nuclear

ribonucleoprotein A1 (Helix-destabilizing protein) (Single-strand binding protein) (hnRNP core protein A1) (HDP-1) (Topoisomerase-inhibitor suppressed) 645691  
 3120670 0.00601 AD-018; CGI-30; NPD015; HSPC143; MGC61450 NM\_015958 DPH5 DPH5 homolog (S. cerevisiae) Hs.440776 51611

6370026 0.00601 B28; FASP1; C21orf46 NM\_018944 C21orf45 chromosome 21 open reading frame 45 Hs.190518 54069  
 1980541 0.00601 KIAA0094; DKFZp781C0419 NM\_015143 METAP1 methionyl aminopeptidase 1 Hs.480364 23173  
 2060347 0.00601 RNB6 NM\_016337 EVL Enah/Vasp-like Hs.125867 51466  
 3170398 0.00601 ACHRB; CHRNB; CMS1D; CMS2A; SCCMS NM\_000747 CHRNBI "cholinergic receptor, nicotinic, beta 1 (muscle)" Hs.330386 1140  
 3520341 0.00601 RNF56; FLJ36865; FLJ41152; Nbl1a00127; DKFZp779A0729; DKFZp779F1443; DKFZp686J10223 NM\_170662 CBLB Cas-Br-M (murine) ecotropic retroviral transforming sequence b Hs.430589 868

580709 0.006 XM\_945154 LOC649095  
 4560341 0.00597 RAX; PACT; HSD14 NM\_003690 PRKRA "protein kinase, interferon-inducible double stranded RNA dependent activator" Hs.632540 8575  
 5670427 0.00597 DUS4; PP35; MGC133233 NM\_181581 DUS4L dihydrouridine synthase 4-like (S. cerevisiae) Hs.97627 11062  
 380220 0.00597 LOC286440 AK123807 hypothetical protein LOC286440 Hs.348844 286440  
 1190273 0.00597 cdc14; hCDC14; Cdc14A1; Cdc14A2 NM\_003672 CDC14A CDC14 cell division cycle 14 homolog A (S. cerevisiae) Hs.127411 8556

620746 0.00596 MgtE NM\_173854 SLC41A1 "solute carrier family 41, member 1" Hs.20274 254428  
 840039 0.00596 MCH3; CMH-1; ICE-LAP3 NM\_033339 CASP7 "caspase 7, apoptosis-related cysteine peptidase" Hs.9216 840  
 1340600 0.00594 MGC10992; MGC13119 NM\_033212 MGC10992 coiled-coil domain containing 102A Hs.644611 92922  
 5700326 0.00594 UHX1 NM\_004651 USP11 ubiquitin specific peptidase 11 Hs.171501 8237  
 6550307 0.00591 MGC119599; MGC119600 NM\_016610 TLR8 toll-like receptor 8 Hs.660543 51311  
 6590561 0.00585 BLR2; EBI1; CD197; CDw197; CMKBR7 NM\_001838 CCR7 chemokine (C-C motif) receptor 7 Hs.370036 1236

1050465 0.00585 PSG11 NM\_002784 PSG9 pregnancy specific beta-1-glycoprotein 9 Hs.502092 5678

3890735	0.00585	DYRK2	NM_003583	DYRK2	dual-specificity tyrosine-(Y)-phosphorylation regulated kinase 2	Hs.173135	8445		
5960685	0.00582	EPI64; TBC1D10; dJ130H16.1; dJ130H16.2	NM_031937	TBC1D10A	"TBC1 domain family, member 10A"	Hs.655273	83874		
6550463	0.00582	CCS	XM_938909	CCS	"copper chaperone for superoxide dismutase; synonym: MGC138260; Homo sapiens copper chaperone for superoxide dismutase (CCS), mRNA."				
2370255	0.00579	FAM31A; FLJ38464; KIAA1608; RP11-230L22.3	NM_020946	DENND1A	DENN/MADD domain containing 1A	Hs.655834	57706		
1240082	0.00578	TCFEC; TFECL	NM_012252	TFEC	transcription factor EC	Hs.125962		22797	
1990707	0.00576	FLJ13868	NM_022744	C16orf58	chromosome 16 open reading frame 58	Hs.9003	64755		
4890274	0.00573	TEM7R; FLJ14623	NM_032812	PLXDC2	plexin domain containing 2			Hs.658134	84898
3290059	0.00572	MGC15854	NM_145029	C6orf136	chromosome 6 open reading frame 136	Hs.591787	221545		
60470	0.00572	AX2R; AXIIR	NM_001014279	LOC389289	chromosome 5 open reading frame 39	Hs.529385	389289		
2260445	0.0057	BIS; BAG-3; CAIR-1; MGC104307	NM_004281	BAG3	BCL2-associated athanogene 3	Hs.523309	9531		
1500619	0.00565		AL832727		MRNA; cDNA DKFZp3130229 (from clone DKFZp3130229)	Hs.672089			
5910465	0.00562	IRKK; KIR1.3; KIR4.2; MGC13584	NM_170736	KCNJ15	"potassium inwardly-rectifying channel, subfamily J, member 15"	Hs.411299	3772		
4280047	0.00562		NM_183382	RNF13					
3800333	0.00561	HC71; CGI-150; C17orf25	NM_016080	C17orf25	glyoxalase domain containing 4	Hs.279061	51031		
4780484	0.0056	ZNF279; ZNF632; 5'0Y11.1; D87009.C22.3	NM_080764	SUHW2	suppressor of hairy wing homolog 2 (Drosophila)	Hs.43834	140883		
5090201	0.0056	KHLHX; KLEIP; KLHLX;	RP3-383J4.3	NM_014458	KLHL20 kelch-like	(Drosophila) Hs.495035	27252	20	
4120632	0.0056	MEX3C; BM-013; MEX-3C; RNF194; FLJ38871	NM_016626	RKHD2	ring finger and KH domain containing 2	Hs.465144	51320		
7160039	0.0056		XM_942150	LOC652615					
620349	0.0056	MGC111199	NM_020202	NIT2	"nitrilase family, member 2"			Hs.439152	56954
1260228	0.0056	MMTRA1B	NM_021105	PLSCR1	phospholipid scramblase 1			Hs.130759	5359

2760398	0.00559	NMT2	NM_004808	NMT2	N-myristoyltransferase 2	Hs.60339	9397
---------	---------	------	-----------	------	--------------------------	----------	------

3890128	0.00559	LAT1; pp36	NM_001014988	LAT	linker for activation of T cells		
Hs.632179		27040					

6760670	0.00559	TRA; TCRA; TCRD; TRDD3; FLJ22602; MGC22624; MGC23964; MGC71411; MGC117436					
BC070337		TRA@ T cell receptor alpha locus		Hs.74647	6955		

2570338	0.00559	FLJ11175; FLJ33303; MGC111402	NM_018349	MCTP2	"multiple C2 domains, transmembrane 2"	Hs.592017	55784
---------	---------	-------------------------------	-----------	-------	--	-----------	-------

1070564	0.00559	KRML; MGC43127	NM_005461	MAFB	v-maf musculoaponeurotic fibrosarcoma oncogene homolog B (avian)	Hs.651210	9935
---------	---------	----------------	-----------	------	--	-----------	------

1010424	0.00559	CPAMD4; MGC142298	NM_001735	C5	complement component 5	Hs.494997	727
---------	---------	-------------------	-----------	----	------------------------	-----------	-----

670068	0.00558	BX089889		Clone HLS_IMAGE_1468630 mRNA sequence	Hs.652637		
--------	---------	----------	--	---------------------------------------	-----------	--	--

7000133	0.00557	RIT1; CTIP2; CTIP-2; hRIT1-alpha (zinc finger protein)	NM_022898	BCL11B	B-cell CLL/lymphoma 11B	Hs.510396	64919
---------	---------	--	-----------	--------	-------------------------	-----------	-------

3440615	0.00556	ATPIG; ATPIQ	NM_173694	ATP11C	"ATPase, Class VI, type 11C"	Hs.88252	286410
---------	---------	--------------	-----------	--------	------------------------------	----------	--------

1710307	0.00556	TOX1; KIAA0808	NM_014729	TOX	thymocyte selection-associated high mobility group box	Hs.491805	9760
---------	---------	----------------	-----------	-----	--	-----------	------

5910615	0.00556	FLJ10362; DKFZP564I052; DKFZp313N0119	NM_015534	ZZZ3	"zinc finger, ZZ-type containing 3"	Hs.480506	26009
---------	---------	---------------------------------------	-----------	------	-------------------------------------	-----------	-------

770397	0.00555	FLJ10539; DKFZp686H07226	NM_018130	SHQ1	SHQ1 homolog (S. cerevisiae)	Hs.658816	55164
--------	---------	--------------------------	-----------	------	------------------------------	-----------	-------

2120576	0.00555	RbAp46; MGC138867; MGC138868	NM_002893	RBBP7	retinoblastoma binding protein 7	Hs.495755	5931
---------	---------	------------------------------	-----------	-------	----------------------------------	-----------	------

2060685	0.00555	KOX16; ZNF359; ZNF612; Zfp612	NM_145911	ZNF23	zinc finger protein 23 (KOX 16)	Hs.656643	7571
---------	---------	-------------------------------	-----------	-------	---------------------------------	-----------	------

6980070	0.00555	gt-V; B4Gal-T5; MGC138470; beta4Gal-T5; beta4GalT-V; BETA4-GALT-IV	NM_004776				
		B4GALT5 "UDP-Gal:betaGlcNAc beta 1,4- galactosyltransferase, polypeptide 5"		Hs.370487	9334		

5720458	0.00555	RIG1; TIG3; HRASLS4; MGC8906	NM_004585	RARRES3	retinoic acid receptor responder (tazarotene induced) 3	Hs.17466	5920
---------	---------	------------------------------	-----------	---------	---	----------	------

360128	0.00555	XM_936105	LOC642035				
--------	---------	-----------	-----------	--	--	--	--

5670440	0.00551	PIG5; TP53I5	NM_001012302	TMEM16J	transmembrane protein 16J		338440
---------	---------	--------------	--------------	---------	---------------------------	--	--------

1450717	0.00551	ORC5; ORC5P; ORC5T	NM_002553	ORC5L	"origin recognition complex, subunit 5-like (yeast)"	Hs.432948	5001
---------	---------	--------------------	-----------	-------	--	-----------	------

6960209	0.00551	pim-3	NM_001001852	PIM3	pim-3 oncogene	Hs.530381	415116
---------	---------	-------	--------------	------	----------------	-----------	--------

3940768	0.00551	ARFL1	NM_001177	ARL1	ADP-ribosylation factor-like 1	Hs.372616	400
270242	0.00551		XM_934555	LOC653518			
4250349	0.00551	FLJ34563; MGC35163		NM_152552	SAMD3	sterile alpha motif domain containing 3	
Hs.440508			154075				
5890184	0.00551	LOC284230	XN_208185 284230	LOC284230	similar to large subunit ribosomal protein L36a		
580592	0.00551	MGC22960; RP4-603I14.2	NM_199044 Hs.163424 387338	NSUN4	"NOL1/NOP2/Sun domain family, member 4"		
3830048	0.0055	FLJ10853	NM_018246 Hs.445512 55246	CCDC25	coiled-coil domain containing 25		
1510736	0.00549	AGR1; ERP18; ERP19; TLP19; hAG-1		NM_015913 Hs.476033 51060	TXND12	thioredoxin domain containing 12 (endoplasmic reticulum)	
2450414	0.00547	PI; A1A; AAT; PI1; A1AT; MGC9222; PRO2275; MGC23330		NM_001002236 "serpin peptidase inhibitor, clade A (alpha-1 antiproteinase, antitrypsin), member 1" Hs.525557 5265	SERPINA1		
4540424	0.00546	CEH; SEH	NM_001979 Hs.212088 2053	EPHX2	"epoxide hydrolase 2, cytoplasmic"		
6380687	0.00546	KIAA0478; MGC133098	NM_014870 40 Hs.418966 9923	ZBTB40	zinc finger and BTB domain containing		
3400075	0.00546	FLJ20211	NM_001031703 54859	TMEM103	transmembrane protein 103	Hs.311100	
10563	0.00546	GEF; HDBP1; Si-1-2; Si-1-2-19	NM_020062 Hs.435126 56731	SLC2A4RG	SLC2A4 regulator		
2850576	0.00542	EFP; Z147; RNF147; ZNF147	NM_005082 Hs.528952 7706	TRIM25	tripartite motif-containing 25		
7550082	0.00542	MCMP; MDC9; MItng; KIAA0021	NM_003816 (meltrin gamma) Hs.591852 8754	ADAM9	ADAM metallopeptidase domain 9		
4670035	0.00539	METTL2;	FLJ12760 Hs.381204 339175	NM_181725	METTL2A methyltransferase like 2A		
940470	0.00539	DKFZP586L0724	NM_015462	NOL11	nucleolar protein 11	Hs.463936	25926
3370605	0.00539	SPAL2;	FLJ23126;	FLJ23632;	KIAA1389	NM_020808	SIPA1L2 signal-induced proliferation-associated 1 like 2 Hs.268774 57568
4390113	0.00539	NK4; TAIF; TAIFa; TAIFb; TAIFc; TAIFd; IL-32beta; IL-32alpha; IL-32delta; IL-32gamma	NM_001012632 IL32	interleukin 32	Hs.943 9235		
160138	0.00539		BF511281	Transcribed locus		Hs.564310	
2900672	0.00536	MAS20; MOM19; TOM20; KIAA0016; MGC117367		NM_014765	TOMM20	translocase of	

outer mitochondrial membrane 20 homolog (yeast)	Hs.533192	9804
6020500 0.00535 GP210; POM210; FLJ22389; KIAA0906 Hs.475525 23225	NM_024923	NUP210 nucleoporin 210kDa
870685 0.00535 FLJ34917 NM_153263 ZNF549 zinc finger protein 549 Hs.564295 256051		
3830538 0.00535 GPX6; CL683; NPGPx; FLJ14777 NM_015696 GPX7 glutathione peroxidase 7 Hs.43728 2882		
1190474 0.00535 CD697230 Transcribed locus Hs.568805		
1240347 0.00535 Sei-2; TRIP-Br2; MGC126688; MGC126690 NM_014755 SERTAD2 SERTA domain containing 2 Hs.693696 9792		
1300450 0.00534 FLJ22531 NM_024650 FLJ22531 chromosome 11 open reading frame 80 Hs.292088 79703		
6420129 0.00531 RPF2; FLJ21087; bA397G5.4 NM_032194 BXDC1 brix domain containing 1 Hs.372265 84154		
6220692 0.0053 9-27; CD225; IFI17; LEU13 NM_003641 IFITM1 interferon induced transmembrane protein 1 (9-27) Hs.458414 8519		
830026 0.0053 HNRPA1P4 XM_372050 LOC389674 heterogeneous nuclear ribonucleoprotein A1 pseudogene 4 Hs.521130 389674		
650370 0.0053 LOC153364; MGC46734; DKFZp686P15118 NM_203406 LOC153364 similar to metallo-beta-lactamase superfamily protein Hs.64004 153364		
6480102 0.00529 XM_928429 LOC388275		
3420162 0.00529 GK003 NM_020192 C7orf36 chromosome 7 open reading frame 36 Hs.83313 57002		
430458 0.00529 MRPL45 XM_936540 MRPL45 "mitochondrial ribosomal protein L45; synonym: MGC11321; Homo sapiens mitochondrial ribosomal protein L45 (MRPL45), nuclear gene encoding mitochondrial protein, mRNA."		
5570685 0.00529 RAGD; bA11D8.2.1; DKFP761H171 NM_021244 RRAGD Ras-related GTP binding D Hs.485938 58528		
5550402 0.00529 GLUT14 NM_153449 SLC2A14 "solute carrier family 2 (facilitated glucose transporter), member 14" Hs.655169 144195		
2450253 0.00529 HIP3; HIP12; ILWEQ; FLJ14000; KIAA0655; MGC47513 NM_003959 HIP1R huntingtin interacting protein 1 related Hs.654842 9026		
4830672 0.00529 TGS; BARA; TGS1; Lin-9; BARPsv NM_173083 LIN9 lin-9 homolog (C. elegans) Hs.120817 286826		
4280048 0.00529 CD511953 "AGENCOURT_14360380 NIH_MGC_186 Homo sapiens cDNA clone IMAGE:30406177 5', mRNA sequence."		
5960563 0.00529 KLP; CMT2; CMT2A; CMT2A1; HMSNII; FLJ23699; KIAA0591; KIAA1448; MGC134844 NM_183416 KIF1B kinesin family member 1B Hs.97858 23095		

4830192 0.00529 MCMBP; MCM-BP; FLJ13081; FLJ36756 NM\_024834 C10orf119 chromosome 10  
open reading frame 119 Hs.124246 79892

4290735 0.00529 MGC11321 NM\_032351 MRPL45 mitochondrial ribosomal protein L45  
Hs.462913 84311

7160520 0.00529 HSPC265; MGC131656 NM\_138493 C6orf129 chromosome 6 open reading frame  
129 Hs.284207 154467

6280292 0.00527 HINT4; FLJ33126; MGC22976 NM\_138571 HINT3 histidine triad nucleotide  
binding protein 3 Hs.72325 135114

2370332 0.00527 XM\_940054 LOC650954

6100743 0.00527 NK10; ZNF756 NM\_133458 ZFP90 zinc finger protein 90 homolog (mouse)  
Hs.461074 146198

3290066 0.00526 EIF-4B; PRO1843 NM\_001417 EIF4B eukaryotic translation initiation factor 4B  
Hs.648394 1975

870370 0.00526 FLJ13046; KIAA1721 NM\_022459 XP04 exportin 4 Hs.507452 64328

2710475 0.00526 TRM11; MDS024; C6orf75; dJ187J11; dJ187J11.2 NM\_001031712 C6orf75 tRNA  
methyltransferase 11 homolog (S. cerevisiae) Hs.404186 60487

1070528 0.00526 G1P2; UCRP; IFI15 NM\_005101 G1P2 ISG15 ubiquitin-like modifier  
Hs.458485 9636

7570634 0.00525 Sno; Stno; FLJ00173; KIAA0963 NM\_014963 KIAA0963 strawberry notch  
homolog 2 (Drosophila) Hs.408708 22904

2490477 0.00525 XM\_377933 LOC402251

1660593 0.00525 MGC3207 NM\_032285 MGC3207 hypothetical protein MGC3207 Hs.439370 84245

2760520 0.00525 PRP; C4BP NM\_000715 C4BPA "complement component 4 binding protein, alpha"  
Hs.1012 722

4010259 0.00523 ZNF400; FLJ14524; MGC13153; MGC54050 NM\_032799 ZDHHC12 "zinc finger, DHHC-type  
containing 12" Hs.133122 84885

6110768 0.00522 PURH; AICAR; AICARFT; IMPCHASE NM\_004044 ATIC 5-aminoimidazole-4-carboxamide  
ribonucleotide formyltransferase/IMP cyclohydrolase Hs.90280 471

5700349 0.00522 LOXL NM\_032603 LOXL3 lysyl oxidase-like 3 Hs.591563 84695

5130349 0.00521 BQ068637 Transcribed locus Hs.284464

2710711 0.00514 NM\_149379 NSUN5C

10273 0.00514 RCN3; MCIP3; hRCN3 NM\_013441 DSCR1L2 Down syndrome critical region gene 1-  
like 2 Hs.656799 11123

2350377 0.00513 PRIC285; PDIP-1; FLJ00244; KIAA1769; MGC132634; MGC138228; PDIP1beta NM\_033405  
PRIC285 peroxisomal proliferator-activated receptor A interacting complex 285 Hs.517180 85441

6900348	0.00513	Sbk	NM_001024401	SBK1	SH3-binding domain kinase 1	Hs.97837	388228
6650575	0.00513		NM_134264	WSB1			
7330349	0.00511	FLJ33273	NM_001017928	CCDC58	coiled-coil domain containing 58		
Hs.220594		131076					
5220487	0.00511	FLJ16577; KIAA1595; MGC33209 polypeptide 55	Hs.286173	NM_020936	DDX55 DEAD (Asp-Glu-Ala-Asp) box 57696		
4760424	0.00511	C23; FLJ45706	NM_005381	NCL	nucleolin	Hs.79110	4691
2760148	0.00511	FLJ12519; DKFZp781N1244	NM_032168	WDR75	WD repeat domain 75	Hs.399984	
		84128					
1430753	0.00511	ADAP; PRO0823; SLAP-130	NM_001465	FYB	FYN binding protein (FYB-120/130)		
Hs.370503		2533					
4780025	0.0051	FCE1A; FcERI	NM_002001	FCER1A	"Fc fragment of IgE, high affinity I, receptor for; alpha polypeptide"	Hs.897	2205
730592	0.00509	RFC36; MGC1155	NM_007370	RFC5	"replication factor C (activator 1) 5, 36.5kDa"	Hs.506989	5985
1240088	0.00507	ORP10; OSBP9; FLJ20363	NM_017784	OSBPL10	oxysterol binding protein-like 10	Hs.150122	114884
5960360	0.00507	HM74; PUMAG; Puma-g	NM_006018	GPR109B	G protein-coupled receptor 109B	Hs.458425	8843
4250280	0.00507	TIC; EFA6B; FLJ36237; FLJ37279	NM_012455	PSD4	pleckstrin and Sec7 domain containing 4	Hs.693679	23550
3460674	0.00507	SFRSK1	NM_003137	SRPK1	SFRS protein kinase 1	Hs.443861	6732
4390092	0.00505	KIAA1340; MGC131714	NM_020782	KLHDC5	kelch domain containing 5	Hs.505104	57542
4010541	0.00505	FDF03	NM_178272	PILRA	paired immunoglobin-like type 2 receptor alpha	Hs.444407	29992
7160088	0.00505	CENP-T; C16orf56; FLJ13111; FLJ43376	NM_025082	C16orf56	centromere protein T	Hs.288382	80152
5960189	0.00505	RDGBB; RDGBB1; RDGB-BETA	NM_181671	PITPNCl	"phosphatidylinositol transfer protein, cytoplasmic 1"	Hs.591185	26207
5560451	0.00505	ETK; PSCTK2; PSCTK3	NM_001721	BMX	BMX non-receptor tyrosine kinase	Hs.495731	660
6770292	0.00505	KOX28; FLJ20562; DKFZp686N19164	NM_194325	ZNF30	zinc finger protein 30	Hs.657402	90075
3460019	0.00504	FLJ41657; KIAA0666	NM_014992	DAAM1	dishevelled associated activator of		

morphogenesis 1 Hs.654934 23002

1580279 0.00503 AK021616 "CDNA FLJ11554 fis, clone HEMBA1003037" Hs.135282

4210647 0.00503 CLP24; FLJ20898; MGC111564 NM\_024600 C16orf30 chromosome 16 open reading frame 30 Hs.459652 79652

3290397 0.00503 HSAN; HSN1; LBC1; LCB1; SPT1; SPTI; HSAN1; MGC14645 NM\_178324 SPTLC1 "serine palmitoyltransferase, long chain base subunit 1" Hs.90458 10558

1170706 0.00503 FLJ25219; MGC14839; MGC131888 NM\_080659 C11orf52 chromosome 11 open reading frame 52 Hs.97013 91894

2630224 0.00503 CLP46; MDSRP; C3orf9; MDS010; hCLP46; KDELCL1; MGC32995 NM\_152305 C3orf9 KTEL (Lys-Tyr-Glu-Leu) containing 1 Hs.231750 56983

290086 0.00503 AD3; VRP; HBLP1 NM\_007063 TBC1D8 "TBC1 domain family, member 8 (with GRAM domain)" 11138

430537 0.00503 BLOS1; GCN5L1; MGC87455 NM\_001487 BLOC1S1 "biogenesis of lysosome-related organelles complex-1, subunit 1" Hs.94672 2647

7380594 0.00503 KIAA0564; FLJ21779 NM\_015058 KIAA0564 KIAA0564 protein Hs.368282 23078

4480440 0.00502 CRIB1; SCRIB1; SCRIB1; Vartul NM\_015356 SCRIB scribbled homolog (Drosophila) Hs.436329 23513

4760747 0.00502 COQ8; ADCK3; MGC4849 NM\_020247 CABC1 "chaperone, ABC1 activity of bc1 complex homolog (S. pombe)" Hs.118241 56997

510634 0.00498 HSPC111; HSPC185 NM\_016391 HSPC111 hypothetical protein HSPC111 Hs.652195 51491

1980059 0.00498 LOC648189 XM\_937239 LOC648189 similar to TBC1 domain family member 2 (Prostate antigen recognized and indentified by SEREX) (PARIS-1) 648189

4570196 0.00498 Fmip; PK1.3; C22orf19 NM\_001002878 C22orf19 THO complex 5 Hs.75361 8563

7650193 0.00498 NM\_177436 CSE1L

4610097 0.00498 FLJ10498; DKFZp686E22207 NM\_018115 SDAD1 SDA1 domain containing 1 Hs.632604 55153

4230273 0.00498 FLJ16004; Nbla10512; DKFZp313K2238; DKFZp547B0714 NM\_152606 ZNF540 zinc finger protein 540 Hs.121283 163255

3710692 0.00498 SIAT10; ST3GALVI NM\_006100 ST3GAL6 "ST3 beta-galactoside alpha-2,3-sialyltransferase 6" Hs.148716 10402

7550719 0.00498 PA28A; IFI5111; MGC8628; REGalpha; PA28alpha NM\_176783 PSME1 "proteasome (prosome, macropain) activator subunit 1 (PA28 alpha)" Hs.75348 5720

2060242 0.00498 AK125150 "Primary neuroblastoma cDNA, clone:Nbla11051, full

insert sequence" Hs.522924

7150647 0.00498 NCKX4; SLC24A2; FLJ38852 NM\_153646 SLC24A4 "solute carrier family 24 (sodium/potassium/calcium exchanger), member 4" Hs.510281 123041

5550343 0.00497 LMN2; LAMB2; MGC2721 NM\_032737 LMNB2 lamin B2 Hs.538286 84823

3120402 0.00497 LYSP100-A; LYSP100-B; MGC126440 NM\_001005176 SP140 SP140 nuclear body protein Hs.632549 11262

2190139 0.00497 P2Y14; GPR105; KIAA0001 NM\_014879 P2RY14 "purinergic receptor P2Y, G-protein coupled, 14" Hs.2465 9934

3420131 0.00497 XM\_936044 LOC641997

4570343 0.00494 P2Y10 NM\_014499 P2RY10 "purinergic receptor P2Y, G-protein coupled, 10" Hs.296433 27334

1230040 0.00493 NRIP; ARCAP; PC326; MSTP055; RP4-745I14.1; 1200006M05Rik NM\_018442 IQWD1 IQ motif and WD repeats 1 Hs.435741 55827

5550364 0.00493 XR\_000904 RPL14L

1190082 0.00493 LOC652726 XM\_942351 LOC652726 similar to ankyrin repeat domain 36 652726

6620711 0.00493 cig5; vig1; 2510004L01Rik NM\_080657 RSAD2 radical S-adenosyl methionine domain containing 2 Hs.17518 91543

4050241 0.00492 FLJ16627; KIAA0436 NM\_006036 PREPL prolyl endopeptidase-like Hs.444349 9581

5550360 0.00492 TRIM; TCRIM; HSPC062 NM\_016388 TRAT1 T cell receptor associated transmembrane adaptor 1 Hs.138701 50852

7200482 0.00492 NM\_053000 TIGA1

7380670 0.00492 Sep-11 NM\_018243 11-Sep septin 11 Hs.128199 55752

2710458 0.0049 FLJ31158; RP11-5906.1 NM\_152569 C9orf66 chromosome 9 open reading frame 66 Hs.190877 157983

290646 0.0049 BBC1; D16S444E; FLJ27453; FLJ27454; MGC71373; MGC117342 NM\_033251 RPL13 ribosomal protein L13 Hs.410817 6137

2140433 0.00489 ABH2; hABH2; MGC90512 NM\_001001655 ALKBH2 "alkB, alkylation repair homolog 2 (E. coli)" Hs.374458 121642

3120470 0.00487 DN7; DN-7; TAF9L; TAFII31L; TFIID-31 NM\_015975 TAF9L "TAF9B RNA polymerase II, TATA box binding protein (TBP)-associated factor, 31kDa" Hs.592248 51616

6180768 0.00485 TCR M64350 "TCR variable region Va30 subfamily gene (VA30, JA, CA segments), 5' end" Hs.495112

1580129 0.00485 XM\_375152 LOC400304

1070626 0.00485 GL; PPP1R4; FLJ14005 NM\_024607 PPP1R3B "protein phosphatase 1, regulatory (inhibitor) subunit 3B" Hs.458513 79660

160736 0.00485 HSP75; HSP90L NM\_016292 TRAP1 TNF receptor-associated protein 1 Hs.30345 10131

1400739 0.00485 RAB24 NM\_001031677 RAB24 "RAB24, member RAS oncogene family" Hs.16258 53917

5570608 0.00479 EVEC; UP50; ARMD3; DANCE; FLJ90059 NM\_006329 FBLN5 fibulin 5 Hs.332708 10516

3370195 0.00479 SWD3; BIG-3 NM\_052821 WDR5 WD repeat domain 5 Hs.397638 11091 70630 0.00479 XM\_935991 LOC641814

1570754 0.00479 BS69; BRAM1; MGC111056; RP11-486H9.1 NM\_006624 ZMYND11 "zinc finger, MYND domain containing 11" Hs.292265 10771

6330010 0.00479 MCEMP1; MGC132456 NM\_174918 MCEMP1 chromosome 19 open reading frame 59 Hs.432413 199675

4290465 0.00479 MGC24665 NM\_152308 MGC24665 chromosome 16 open reading frame 75 Hs.347524 116028

1770468 0.00478 STAT4 NM\_003151 STAT4 signal transducer and activator of transcription 4 Hs.80642 6775

2000386 0.00478 RALGEF2; KIAA0351; RALGPS1A; RP13-225021.1 NM\_014636 RALGPS1 Ra1 GEF with PH domain and SH3 binding motif 1 Hs.432842 9649

4730543 0.00474 FLJ13154 NM\_024598 C16orf57 chromosome 16 open reading frame 57 Hs.588873 79650

3370041 0.00473 L13; MGC13061 NM\_032322 RNF135 ring finger protein 135 Hs.29874 84282

5900040 0.00472 BX092531 Transcribed locus Hs.150808

1260047 0.0047 RNF88; TRIM5alpha NM\_033092 TRIM5 tripartite motif-containing 5 Hs.370515 85363

3130392 0.00469 XM\_946270 HIP1R

2760484 0.00469 DSEPI; SART2 NM\_013352 SART2 dermatan sulfate epimerase Hs.486292 29940

5860021 0.00464 SWAN; KIAA0765; HRIHFB2091 NM\_006047 RBM12 RNA binding motif protein 12 Hs.246413 10137

6280273 0.00461 CLECSF10; dectin-2 NM\_001007033 CLEC6A "C-type lectin domain family 6, member A" Hs.591147 93978

5270500 0.00461 CMM3; PSK-J3; MGC14458 NM\_000075 CDK4 cyclin-dependent kinase 4 Hs.95577 1019

1510220 0.00461 ZAP; ZC3H2; FLB6421; ZC3HDC2; FLJ13288; MGC48898; DKFZp686F2052; DKFZp686H1869; DKFZp686019171 NM\_024625 ZC3HAV1 "zinc finger CCCH-type, antiviral 1" Hs.133512 56829

6270382 0.00461 Lmnt2; NTNG1; KIAA0625; KIAA1857; MGC21884; bA479K20.1 NM\_032536 NTNG2 netrin G2 Hs.163642 84628

4490653 0.00461 P51; P71; ZER6; KIAA1339 NM\_170686 ZNF398 zinc finger protein 398 Hs.654721 57541

270730 0.00461 ICB-1 NM\_004848 C1orf38 chromosome 1 open reading frame 38 Hs.10649 9473

110674 0.00456 CGI65; CIA30; CGI-65 NM\_016013 NDUFAF1 "NADH dehydrogenase (ubiquinone) 1 alpha subcomplex, assembly factor 1" Hs.106529 51103

5270390 0.00456 C7orf12; FLJ21213; FLJ21879; FLJ41901; NBLA04196 NM\_022900 NBLA04196 CAS1 domain containing 1 Hs.260041 64921

6660521 0.00456 IP; ATP1; ATP1P; MGC1167; MGC8898 NM\_178191 ATP1F1 ATPase inhibitory factor 1 Hs.590908 93974

5720647 0.00454 MLTNB; FKSG34; MADDAM NM\_033274 ADAM19 ADAM metallopeptidase domain 19 (meltrin beta) Hs.483944 8728

2260082 0.00454

2350202 0.00452 SIAT7F; ST6GALNAcVI; RP11-203J24.3 NM\_013443 ST6GALNAC6 "ST6 (alpha-N-acetyl-neuraminy1-2,3-beta-galactosyl-1,3)-N-acetylgalactosaminide alpha-2,6-sialyltransferase 6" Hs.109672 30815

1780348 0.00452 BRMS2; MRPS4; C15orf12; FLJ10968; DKFZp586L0118 NM\_018285 IMP3 "IMP3, U3 small nucleolar ribonucleoprotein, homolog (yeast)" Hs.513043 55272

5720546 0.00452 FLJ38860 AK096179 C7orf40 chromosome 7 open reading frame 40 Hs.25892 285958

6590451 0.00452 NM\_194441 BTN3A1

580537 0.00452 BIMP3; CARMA1; MGC133069 NM\_032415 CARD11 "caspase recruitment domain family, member 11" Hs.648101 84433

5130767 0.00451 MADH3; JV15-2; Smad 3; HSPC193; HsT17436; MGC60396; DKFZP586N0721; DKFZp686J10186 NM\_005902 SMAD3 SMAD family member 3 Hs.36915 4088

150095 0.00449 ZNF337 NM\_015655 ZNF337 zinc finger protein 337 Hs.661684 26152

1440450 0.00449 MGC13096 NM\_032346 MGC13096 programmed cell death 2-like Hs.515344 84306

1410142 0.00449 CIB; MGC15429 NM\_032750 ABHD14B abhydrolase domain containing 14B Hs.420796 84836

1440546 0.00449 FLJ40994 NM\_002080 GOT2 "glutamic-oxaloacetic transaminase 2, mitochondrial (aspartate aminotransferase 2)" Hs.599470 2806

2480048 0.00449 GNG10 NM\_001017998 GNG10 "guanine nucleotide binding protein (G protein), gamma 10" Hs.534196 2790

110538 0.00449 XM\_370899 LOC642432

940246 0.00449 MGC45871 NM\_182705 FAM101B "family with sequence similarity 101, member B"  
Hs.591203 359845

2120524 0.00449 MGC125369; RP11-48C7.1 NM\_015537 NELF nasal embryonic LHRH factor  
Hs.455336 26012

430132 0.00449 NKLM; FLJ90005 NM\_153341 IBRDC3 IBR domain containing 3 Hs.591504 127544

6200376 0.00448 1-8D NM\_006435 IFITM2 interferon induced transmembrane protein 2 (1-8D)  
Hs.174195 10581

1500411 0.00448 YC1; MSSP; SCR2; MSSP-1; MSSP-2; MSSP-3; MGC3331; MGC15146 NM\_002897 RBMS1  
"RNA binding motif, single stranded interacting protein 1" Hs.470412 5937

5550735 0.00448 NRF; ITBA4 NM\_017544 NKRF NF-kappaB repressing factor Hs.437084  
55922

3940731 0.00448 OIAS; IFI-4; OIASI NM\_001032409 OAS1 "2',5'-oligoadenylate synthetase 1,  
40/46kDa" Hs.524760 4938

5550767 0.00448 GCH; DYT5; GTPCH1; GTP-CH-1 NM\_000161 GCH1 GTP cyclohydrolase 1 (dopa-  
responsive dystonia) Hs.86724 2643

4730397 0.00448 CD32; FCG2; FcGR; CD32A; CDw32; FCGR2; IGFR2; FCGR2A1; MGC23887; MGC30032  
NM\_021642 FCGR2A "Fc fragment of IgG, low affinity IIa, receptor (CD32)" Hs.352642 2212

4210424 0.00447 BG205162 Transcribed locus Hs.633719

5080022 0.00446 B7DC; Btdc; PDL2; CD273; PD-L2; PDCD1L2; MGC142238; MGC142240; ba574F11.2  
NM\_025239 PDCD1LG2 programmed cell death 1 ligand 2 Hs.532279 80380

5130709 0.00446 HPF2 NM\_003428 ZNF84 zinc finger protein 84 Hs.654730 7637

1050750 0.00446 CD18; TNFCR; D12S370; TNFR-RP; TNFRSF3; TNFR2-RP; LT-BETA-R; TNF-R-III NM\_002342  
LTBR "lymphotoxin beta receptor (TNFR superfamily, member 3)" Hs.1116 4055

5550333 0.00443 LAB; NTAL; WSCR5; WBSCR5; HSPC046; WBSCR15 NM\_022040 LAT2 "linker for  
activation of T cells family, member 2" 7462

50681 0.00443 L-H2; ASGP-R; CLEC4H2; Hs.1259 NM\_080914 ASGR2 asialoglycoprotein receptor 2  
Hs.654440 433

5910427 0.00443 PHB NM\_002634 PHB prohibitin Hs.514303 5245

2140402 0.00443 AD021; AD036; FLJ38155; DKFZp434L142 NM\_016613 C4orf18 chromosome 4 open  
reading frame 18 Hs.567498 51313

1780592 0.00443 BF508745 Transcribed locus Hs.678303

840470 0.00443 K12 NM\_003004 SECTM1 secreted and transmembrane 1 Hs.558009 6398

2070750 0.00443 RNF84; MGC39780 NM\_004619 TRAF5 TNF receptor-associated factor 5  
Hs.523930 7188

6100670 0.00443 LOC389541; MGC163425; MGC163431 NM\_001008395 LOC389541 similar to CG14977-PA  
Hs.406520 389541

4010364 0.00442 SCC-112; PIG54; FLJ41012; KIAA0648; MGC131948; MGC161503; DKFZp686B19246  
NM\_015200 SCC-112 SCC-112 protein Hs.331431 23244

290253 0.00442 MBIP NM\_016586 MBIP MAP3K12 binding inhibitory protein 1 Hs.368647  
51562

770639 0.00442 MGC99572; DKFZp686G1699 NM\_000997 RPL37 ribosomal protein L37 Hs.80545  
6167

4590678 0.00437 BHC80; BM-006; KIAA1696 NM\_016621 PHF21A PHD finger protein 21A Hs.502458  
51317

6900747 0.00437 MGC10442 NM\_001715 BLK B lymphoid tyrosine kinase Hs.146591  
640

2490170 0.00436 RVB2; ECP51; TIP48; CGI-46; TIP49B NM\_006666 RUVBL2 RuvB-like 2 (E. coli)  
Hs.515846 10856

1050240 0.00436 ASP; FLJ25776 NM\_031916 ROPN1L ropporin 1-like Hs.381089 83853

1440382 0.00435 UBC7 NM\_182688 UBE2G2 "ubiquitin-conjugating enzyme E2G 2 (UBC7 homolog, yeast)" Hs.529420 7327

3890544 0.00435 MGC1022; FLJ20552; MGC14317 NM\_194460 RNF126 ring finger protein 126  
Hs.69554 55658

3710368 0.00434 KAP1; TF1B; RNF96; TIF1B; FLJ29029 NM\_005762 TRIM28 tripartite motif-containing 28 Hs.467408 10155

5810184 0.00433 SLP2; SGA72M; CHR11SYT; KIAA1597; MGC102768 NM\_206930 SYTL2 synaptotagmin-like 2 Hs.369520 54843

2000634 0.00433 HUFI-2; FLJ20248; FLJ22683; DKFZp434H2035 NM\_017724 LRRKIP2 leucine rich repeat (in FLII) interacting protein 2 Hs.475319 9209

2640364 0.00432 XM\_934138 KIAA0748

6980520 0.00432 XM\_941966 LOC652500

5670437 0.00428 FLJ10534; KIAA1401; MGC131829 NM\_018128 TSR1 "TSR1, 20S rRNA accumulation, homolog (S. cerevisiae)" Hs.388170 55720

3830709 0.00428 CIA; bA465L10.6 NM\_020967 NCOA5 nuclear receptor coactivator 5 Hs.654991  
57727

520747 0.00426 XM\_944061 KIAA1641

2060154 0.00426 B23; NPM; MGC104254 NM\_199185 NPM1 "nucleophosmin (nucleolar phosphoprotein B23, numatrin)" Hs.557550 4869

6650161 0.00425 IL-1; IL1F2; IL1-BETA NM\_000576 IL1B "interleukin 1, beta" Hs.126256  
3553

5890291 0.00425 MYM; FLJ23151; FLJ43753; RP11-181E22.4 NM\_024772 ZMYM1 "zinc finger, MYM-type  
1" Hs.471243 79830

1780332 0.00424 SDY; DBND; HPS7; My031; FLJ30031; MGC20210; DKFZP564K192 NM\_183041 DTNBP1  
dystrobrevin binding protein 1 Hs.571148 84062

130167 0.00424 CALNA3 NM\_005605 PPP3CC "protein phosphatase 3 (formerly 2B), catalytic  
subunit, gamma isoform" Hs.655661 5533

730458 0.00424 PURL; FGAMS; FGARAT; KIAA0361 NM\_012393 PFAS  
phosphoribosylformylglycinamidine synthase (FGAR amidotransferase) Hs.573976 5198

840475 0.00423 MPP1; KRMP1; MPP-1; DKFZp434B0435; DKFZp434P0810 NM\_016195 MPHOSPH1  
M-phase phosphoprotein 1 Hs.240 9585

4180356 0.00423 SRK; STD; TZK; ZAP-70 NM\_207519 ZAP70 zeta-chain (TCR) associated protein  
kinase 70kDa Hs.234569 7535

6520204 0.00423 PAPD3 NM\_001009881 ZCCHC11 "zinc finger, CCHC domain containing 11"  
Hs.655407 23318

4230039 0.00423 p85; ASPP1; KIAA0771; p53BP2-like NM\_015316 PPP1R13B "protein  
phosphatase 1, regulatory (inhibitor) subunit 13B" Hs.436113 23368

5340136 0.00422 FLJ10961; DKFZp686E0974; DKFZp686L15228 NM\_018284 GBP3 guanylate binding  
protein 3 Hs.656774 2635

5340722 0.00422 MGC32104 NM\_144684 ZNF480 zinc finger protein 480 Hs.147025 147657

7000767 0.00422 SRB; Cctd; MGC126164; MGC126165 NM\_006430 CCT4 "chaperonin containing TCP1,  
subunit 4 (delta)" Hs.421509 10575

2810132 0.00422 SYS; SARS; SERS; SARSM; SerRSmt; mtSerRS; FLJ20450 NM\_017827 SARS2 "seryl-  
tRNA synthetase 2, mitochondrial" Hs.652115 54938

4890678 0.00422 NM\_173501 C13orf52

630746 0.00422 TAPBPR; TAPBP-R; FLJ10143 NM\_018009 TAPBPL TAP binding protein-like  
Hs.504597 55080

4070195 0.00422 C13orf32; FLJ30046; MGC131899 NM\_144595 FLJ30046 "SLAIN motif family,  
member 1" Hs.349955 122060

1470360 0.00422 p40; GPR69A NM\_006055 LANCL1 LanC lantibiotic synthetase component C-like 1  
(bacterial) Hs.13351 10314

3130711 0.00422 FLJ14239; FLJ32057; FLJ45606; KIAA1291 NM\_020750 XP05 exportin 5  
Hs.203206 57510

7050682 0.00422 RDC1; CMKOR1; GPR159 NM\_020311 CMKOR1 chemokine (C-X-C motif) receptor 7  
Hs.471751 57007

10343 0.00422 FPR; FMLP NM\_002029 FPR1 formyl peptide receptor 1 Hs.753 2357

6940685 0.00422 LGS; MGC131591 NM\_004326 BCL9 B-cell CLL/lymphoma 9 Hs.415209 607

5390243 0.00422 NR1D2 XM\_940036 NR1D2 "nuclear receptor subfamily 1, group D, member 2; synonyms: RVR, BD73, HZF2, EAR-1r, Hs.37288; Rev-erb-beta; Homo sapiens nuclear receptor subfamily 1, group D, member 2 (NR1D2), mRNA."

4610307 0.00422 B18; SUE21; PRED34 NM\_058187 C21orf63 chromosome 21 open reading frame 63 Hs.208358 59271

3060682 0.00422 APRIL; CD256; TALL2; TRDL-1; ligand; UNQ383/PRO715 NM\_172088 TNFSF13 "tumor necrosis factor (ligand) superfamily, member 13" Hs.54673 8741

2260392 0.00422 PTD011; C6orf73 NM\_014051 TMEM14A transmembrane protein 14A Hs.94896 28978

1940059 0.00422 LOC136143 XM\_069734 LOC136143 similar to ribosomal protein L18 136143

4590458 0.00422 NM\_016947 C6orf48

1510224 0.00422 NHP2; NHP2P NM\_017838 NOLA2 "nucleolar protein family A, member 2 (H/ACA small nucleolar RNPs)" Hs.27222 55651

4250458 0.00422 LOC284393 XM\_209178 LOC284393 similar to ribosomal protein L10 284393

3840368 0.00422 H2B.h; H2B/h; H2BFH; H2BFN; dJ221C16.8 NM\_003523 HIST1H2BE "histone cluster 1, H2be" Hs.534369 8344

2360148 0.00422 RLI; OABP; ABC38; RNS4I; RNASEL1; RNASEL1 NM\_002940 ABCE1 "ATP-binding cassette, sub-family E (OABP), member 1" Hs.12013 6059

10070 0.00422 FOAP-10; EMILIN-2; FLJ33200 NM\_032048 EMILIN2 elastin microfibril interfacer 2 Hs.532815 84034

50504 0.00421 I-REL NM\_006509 RELB "v-rel reticuloendotheliosis viral oncogene homolog B, nuclear factor of kappa light polypeptide gene enhancer in B-cells 3 (avian)" Hs.654402 5971

540397 0.0042 LZT-Hs2; MGC126565; MGC138428; DKFZp781L10106 NM\_020342 SLC39A10 "solute carrier family 39 (zinc transporter), member 10" Hs.650158 57181

1470709 0.00418 ESG; ESG1; GRG1 NM\_005077 TLE1 "transducin-like enhancer of split 1 (E(sp1) homolog, Drosophila)" Hs.197320 7088

3170719 0.00417 KLP; CMT2; CMT2A; CMT2A1; HMSNII; FLJ23699; KIAA0591; KIAA1448; MGC134844 NM\_183416 KIF1B kinesin family member 1B Hs.97858 23095

6450523 0.00414 AK024852 "cDNA: FLJ21199 fis, clone COL00235" Hs.34558

1010523 0.00413 AL110204 mRNA; cDNA DKFZp586K1922 (from clone DKFZp586K1922) Hs.193784

60482 0.00413 PYHIN2; IFNGIP1; MGC9466 NM\_005531 IFI16 "interferon, gamma-inducible protein 16" Hs.380250 3428

3190437 0.00411 AVP; IFRC; IFNAR; IFNBR; IFN-alpha-REC NM\_000629 IFNAR1 "interferon (alpha, beta and omega) receptor 1" Hs.529400 3454

6270364 0.00411 VEAR; FLJ20966; KIAA1080 NM\_015044 GGA2 "golgi associated, gamma adaptin ear containing, ARF binding protein 2" Hs.460336 23062

2810382 0.00411 ABC28; M-ABC1; HUSSY-18; EST133090; DKFZp586K1823 NM\_007189 ABCF2 "ATP-binding cassette, sub-family F (GCN20), member 2" Hs.654958 10061

2480600 0.00411 SLP3; MGC105130; MGC118883; MGC118884; MGC118885 NM\_001009991 SYTL3 synaptotagmin-like 3 Hs.436977 94120

1980491 0.00411 CD36L2; HLGP85; LIMPII; SR-BII NM\_005506 SCARB2 "scavenger receptor class B, member 2" Hs.349656 950

240731 0.00409 FM08; HS506A; DKFZP586A1024; DKFZp686N1150; DKFZp686F07174 NM\_012264 C22orf5 chromosome 22 open reading frame 5 Hs.182626 25829

6350468 0.00408 ZAK; AZK; MLT; MRK; MLK7; MLTK; mlklak NM\_016653 ZAK sterile alpha motif and leucine zipper containing kinase AZK Hs.444451 51776

5570753 0.00408 BTBD15; HSPC063; MGC26123; MGC57431; MGC60348; MGC88058 NM\_014155 BTBD15 zinc finger and BTB domain containing 44 Hs.178499 29068

1090050 0.00408 XM\_940945 LOC651726

160682 0.00408 RSE1; SAP130; SF3b130; STAF130; KIAA0017 NM\_012426 SF3B3 "splicing factor 3b, subunit 3, 130kDa" Hs.514435 23450

6660193 0.00408 RPL4 NM\_000968 RPL4 ribosomal protein L4 Hs.644628 6124

4280332 0.00408 DDX24 NM\_020414 DDX24 DEAD (Asp-Glu-Ala-Asp) box polypeptide 24 Hs.510328 57062

4070138 0.00408 NS; E2IG3; C77032; MGC800 NM\_014366 GNL3 guanine nucleotide binding protein-like 3 (nucleolar) Hs.313544 26354

7330037 0.00408 FLJ21148 NM\_024860 SETD6 SET domain containing 6 Hs.592060 79918

4260446 0.00408 DRIL1; DRIL3; BRIGHT; E2FBP1 NM\_005224 ARID3A AT rich interactive domain 3A (BRIGHT-like) Hs.501296 1820

6400647 0.00408 NM\_016285 KLF12

5220600 0.00408 XAP4; HOIL1; RBCK2; RNF54; ZRANB4; C20orf18; UBCE7IP3 NM\_006462 C20orf18 RanBP-type and C3HC4-type zinc finger containing 1 Hs.247280 10616

2510070 0.00408 LIN2 NM\_003688 CASK calcium/calmodulin-dependent serine protein kinase (MAGUK family) Hs.495984 8573

7560673 0.00408 MK3; HGK5; HLK3; PCN3; HPCN3; KV1.3; HUKIII NM\_002232 KCNA3 "potassium voltage-gated channel, shaker-related subfamily, member 3" Hs.169948 3738

5390059 0.00408 KIAA1948; MGC45380 NM\_133466 ZNF545 zinc finger protein 545 Hs.558734

284406

4260661 0.00408 ozrf1; ZFP260 NM\_001012756 ZFP260 zinc finger protein 260 Hs.18103 339324  
 3310594 0.00408 CD85; LIR9; CD85F; ILT11; LILRB7 NM\_181986 LILRA5 "leukocyte immunoglobulin-like receptor, subfamily A (with TM domain), member 5" Hs.631592 353514

3990747 0.00408 dJ18601.1 NM\_033318 LOC91689 chromosome 22 open reading frame 32  
 Hs.306083 91689  
 7100039 0.00408 KIAA0218; MGC126819; MGC126825 NM\_014760 TATDN2 TatD DNase domain containing 2  
 Hs.475401 9797  
 1030487 0.00408 BOCT; BOIT; NGALR; hBOIT NM\_016609 SLC22A17 "solute carrier family 22 (organic cation transporter), member 17" Hs.373498 51310  
 5550746 0.00408 MGC29816 NM\_152272 CHMP7 "CHMP family, member 7" Hs.5019 91782  
 1580364 0.00407 LAP; CALM; CLTH NM\_007166 PICALM phosphatidylinositol binding clathrin assembly protein Hs.163893 8301

5130017 0.00406 KRS1; MST2; FLJ90748 NM\_006281 STK3 "serine/threonine kinase 3 (STE20 homolog, yeast)" Hs.492333 6788  
 5870047 0.00406 NM\_004030 IRF7  
 4010300 0.00406 APC1; MCPR; TSG24 NM\_022662 ANAPC1 anaphase promoting complex subunit 1  
 Hs.436527 64682  
 3400292 0.00406 PSG13; PSG14; MGC22484 NM\_002785 PSG11 pregnancy specific beta-1-glycoprotein 11 Hs.646353 5680  
 5870221 0.00406 p44; MTAP44 NM\_006417 IFI44 interferon-induced protein 44 Hs.82316 10561  
 5960187 0.00404 BICD NM\_001714 BICD1 bicaudal D homolog 1 (Drosophila) Hs.505202 636

2710097 0.00403 19A; CS1; CD319; CRACC NM\_021181 SLAMF7 SLAM family member 7 Hs.517265 57823  
 5340475 0.00403 HPP1; A-116A10.1 NM\_003905 APPBP1 amyloid beta precursor protein binding protein 1 Hs.460978 8883  
 3990167 0.00403 FAT; GP4; GP3B; GPIV; CHDS7; PASIV; SCARB3 NM\_001001548 CD36 CD36 molecule (thrombospondin receptor) Hs.120949 948  
 1340338 0.00403 MGC57346; MGC57346 XM\_377476 MGC57346 hypothetical LOC401884  
 Hs.654930 401884  
 6040634 0.00403 XM\_942594 LOC652878  
 6480170 0.00403 NRAGE; DLXIN-1 NM\_001005333 MAGED1 "melanoma antigen family D, 1" Hs.5258 9500

2600168 0.00403 ZCW4; ZCWCC2; FLJ11565; dJ75H8.2 NM\_024657 MORC4 MORC family CW-type

zinc finger 4 79710  
 7160164 0.00403 RCL; dJ330M21.3; RP3-330M21.3 NM\_199184 C6orf108 chromosome 6 open  
 reading frame 108 Hs.109752 10591  
 5870392 0.00403 UCK1L; URKL1 NM\_017859 UCKL1 uridine-cytidine kinase 1-like 1  
 Hs.504998 54963  
 4120673 0.00402 XM\_929209 LOC653723  
 3370440 0.004 V; RASGRP; hRasGRP1; MGC129998; MGC129999; CALDAG-GEFI; CALDAG-GEFII NM\_005739  
 RASGRP1 RAS guanyl releasing protein 1 (calcium and DAG-regulated) Hs.591127 10125

4850424 0.00399 HELG; RAY1; SEN4; TSG7; ETS7q; FAM4A1; DKFZp76202113 NM\_018412 ST7  
 suppression of tumorigenicity 7 Hs.368131 7982  
 5490286 0.00399 FLJ39531 NM\_207445 FLJ39531 FLJ39531protein Hs.376109  
 400360  
 5130162 0.00398 TRPML2; TRP-ML2; FLJ36691 NM\_153259 MCOLN2 mucolipin 2 Hs.591446  
 255231  
 5550044 0.00398 LBA1; KIAA0342 XM\_940627 LBA1 lupus brain antigen 1 9881  
 6130239 0.00398 SGK1 NM\_005627 SGK serum/glucocorticoid regulated kinase Hs.510078  
 6446  
 50100 0.00398 ALDC; ALDH1; PUMB1; ALDH11; RALDH1; ALDH-E1; MGC2318 NM\_000689 ALDH1A1  
 "aldehyde dehydrogenase 1 family, member A1" Hs.76392 216

5690131 0.00397 EGP; OGP; MUC9; CHIT5 NM\_002557 OVGP1 "oviductal glycoprotein 1, 120kDa  
 (mucin 9, oviductin)" Hs.1154 5016  
 4610047 0.00396 CDW52 NM\_001803 CD52 CD52 molecule Hs.276770 1043  
 510768 0.00395 NIM3; RIM3; KIAA0237 NM\_014747 RIMS3 regulating synaptic membrane exocytosis  
 3 Hs.654808 9783  
 6980082 0.00395 EAP; HBP15; HBP15/L22 NM\_000983 RPL22 ribosomal protein L22 Hs.515329  
 6146  
 7650561 0.0039 EMT; LYK; PSCTK2; MGC126257; MGC126258 NM\_005546 ITK IL2-inducible T-cell  
 kinase Hs.558348 3702  
 5910437 0.0039 JJJ3; ZCSL3 NM\_181706 ZCSL3 "DPH4, JJJ3 homolog (S. cerevisiae)"  
 Hs.187269 120526

3130070 0.0039 AF4; AF-4; PBM1; MLLT2; AF4-MLL; MLL/AF4; MGC134969 NM\_005935 AFF1  
 "AF4/FMR2 family, member 1" Hs.480190 4299  
 6650717 0.00389 TAT1; FLJ32714 NM\_052961 SLC26A8 "solute carrier family 26, member 8"  
 Hs.435836 116369  
 7100398 0.00388 FLJ20287; bA208F1.2; RP11-208F1.2 NM\_017746 TEX10 testis expressed 10  
 Hs.494648 54881  
 7100193 0.00387 JM23; MRX9; SPB1; TRM7; CDLIV; MRX44 NM\_012280 FTSJ1 FtsJ homolog 1 (E.

coli) Hs.23170 24140

1110112 0.00387 FLJ22170; MGC133331 XM\_938283 C17orf68 chromosome 17 open reading frame 68 80169

6100064 0.00386 HNRNP; JKTBP; JKTBP2; 1aAUF1 NM\_031372 HNRPDL heterogeneous nuclear ribonucleoprotein D-like Hs.527105 9987

5720228 0.00386 DDX30; FLJ11214; KIAA0890 NM\_014966 DHX30 DEAH (Asp-Glu-Ala-His) box polypeptide 30 Hs.517948 22907

4730632 0.00386 H2B/S; H2BFT; H2BFAii; MGC131989 NM\_080593 HIST1H2BK "histone cluster 1, H2bk" Hs.437275 85236

5310767 0.00386 Rsc8; BAF170; CRACC2 NM\_003075 SMARCC2 "SWI/SNF related, matrix associated, actin dependent regulator of chromatin, subfamily c, member 2" Hs.236030 6601

670196 0.00386 CBX7 NM\_175709 CBX7 chromobox homolog 7 Hs.356416 23492

1740136 0.00386 ICH-3; MGC141966; ICEREL-III; ICE(rel)III NM\_004347 CASP5 "caspase 5, apoptosis-related cysteine peptidase" Hs.213327 838

2810154 0.00382 ACYPE NM\_203488 ACYP1 "acylphosphatase 1, erythrocyte (common) type" Hs.18573 97

620019 0.00382 CDA1; CDAI; CDA-I; PRO1295; codanin NM\_138477 CDAN1 "congenital dyserythropoietic anemia, type I" Hs.599232 146059

990543 0.00381 FLJ25067; RP4-784N16.1 NM\_152504 FLJ25067 chromosome 20 open reading frame 196 Hs.529340 149840

4070129 0.00381 PGRP; TAG7; PGRPS; PGLYRP; PGRP-S; TNFSF3L; MGC126894; MGC126896 NM\_005091 PGLYRP1 peptidoglycan recognition protein 1 Hs.137583 8993

1710471 0.00381 ELF; SPTB2; betaSpII NM\_003128 SPTBN1 "spectrin, beta, non-erythrocytic 1" Hs.503178 6711

5570674 0.0038 FKBP133; KIAA0674 XM\_936355 KIAA0674 "FK506 binding protein 15, 133kDa" 23307

5910291 0.0038 FLJ13297; KIAA0643 NM\_024793 CLUAP1 clusterin associated protein 1 Hs.155995 23059

4640044 0.0038 BCL5; LAZ3; BCL6A; ZNF51; ZBTB27 NM\_138931 BCL6 B-cell CLL/lymphoma 6 (zinc finger protein 51) Hs.478588 604

2480092 0.0038 MCCa; MCC-B; FLJ25545; DKFZp686B20267 NM\_020166 MCCC1 methylcrotonoyl-Coenzyme A carboxylase 1 (alpha) Hs.47649 56922

5420767 0.00379 SPF45; MGC14439 NM\_032905 RBM17 RNA binding motif protein 17 Hs.498548 84991

650240 0.00378 MAD5; MXD5; FLJ12634; KIAA0518 XM\_939296 MGA MAX gene associated 23269

630491 0.00378 GU2; GUB; MGC3199; RH-II/GuB NM\_024045 DDX50 DEAD (Asp-Glu-Ala-Asp) box polypeptide 50 Hs.522984 79009

630711 0.00377 P0; L10E; RPP0; PRLP0; MGC88175; MGC111226 NM\_001002 RPLP0 "ribosomal protein, large, P0" Hs.546285 6175

6590343 0.00375 CAB2; PP1498; AGLA546; MGC9753 NM\_033419 PERLD1 per1-like domain containing 1 Hs.462971 93210

4780022 0.00373 RP35; SEMB; SEMAB; CORD10; FLJ12287; RP11-54H19.2 NM\_022367 SEMA4A "sema domain, immunoglobulin domain (Ig), transmembrane domain (TM) and short cytoplasmic domain, (semaphorin) 4A" Hs.408846 64218

3170468 0.00373 SZF1 NM\_016089 ZNF589 zinc finger protein 589 Hs.172602 51385

3840170 0.00373 SDR1; RDH17; Rsdr1; retSDR1 NM\_004753 DHRS3 dehydrogenase/reductase (SDR family) member 3 Hs.289347 9249

2070332 0.00373 T10 NM\_001775 CD38 CD38 molecule Hs.479214 952

6590020 0.00371 GRB1; p85-ALPHA NM\_181504 PIK3R1 "phosphoinositide-3-kinase, regulatory subunit 1 (p85 alpha)" Hs.132225 5295

5310653 0.00369 PAD; PDI4; PDI5; PADI5 NM\_012387 PADI4 "peptidyl arginine deiminase, type IV" Hs.522969 23569

580292 0.00369 FLJ36386 NM\_020347 LZTFL1 leucine zipper transcription factor-like 1 Hs.30824 54585

6220674 0.00369 LAK; ARL7 NM\_005737 ARL4C ADP-ribosylation factor-like 4C Hs.655990 10123

6590564 0.00369 TC2; D22S676; D22S750 NM\_000355 TCN2 transcobalamin II; macrocytic anemia Hs.417948 6948

4120086 0.00369 MGC104312; MGC163287; DKFZP566J091 NM\_030915 LBH limb bud and heart development homolog (mouse) Hs.567598 81606

4220246 0.00369 LOC643790 XM\_927071 LOC643790 high-mobility group nucleosome binding domain 1 pseudogene Hs.447529 643790

2320326 0.00368 qkf; MORF; MOZ2; FLJ90335; KIAA0383; querkopf; DKFZp313G1618 NM\_012330 MYST4 MYST histone acetyltransferase (monocytic leukemia) 4 Hs.35758 23522

5340725 0.00368 CTRL1; MGC70821 NM\_001907 CTRL chymotrypsin-like Hs.654546 1506

5820397 0.00368 II; HVR1; RDC1; VIPR; VIRG; VAPC1; VPAC1; FLJ41949; PACAP-R-2 NM\_004624 VIPR1 vasoactive intestinal peptide receptor 1 Hs.348500 7433

4670114 0.00368 FAIM1 NM\_001033030 FAIM Fas apoptotic inhibitory molecule Hs.173438 55179

4230021 0.00368 BN-1; CKR6; DCR2; CD196; CKRL3; DRY-6; GPR29; CKR-L3; CMKBR6; GPRCY4; STRL22; GPR-CY4 NM\_031409 CCR6 chemokine (C-C motif) receptor 6 Hs.46468 1235

6370025	0.00368	STK37; PASKIN; KIAA0135; DKFZP4340051; DKFZp686P2031	NM_015148	PASK	PAS
		domain containing serine/threonine kinase	Hs.397891	23178	
610465	0.00368	KLP; CMT2; CMT2A; CMT2A1; HMSNII; FLJ23699; KIAA0591; KIAA1448; MGC134844			
NM_015074		KIF1B kinesin family member 1B	Hs.97858	23095	
1010136	0.00367	HSPA6 NM_002155	HSPA6	heat shock 70kDa protein 6 (HSP70B')	Hs.654614
	3310				
3120292	0.00366	CDA01; MS4A6; 4SPAN3; CD20L3; MST090; MSTP090; 4SPAN3.2; MGC22650; MGC131944			
NM_152851		MS4A6A "membrane-spanning 4-domains, subfamily A, member 6A"	Hs.523702	64231	
290386	0.00366	GAIP; RGSGAIP NM_005873	RGS19	regulator of G-protein signalling 19	
	Hs.422336	10287			
6590706	0.00366	XM_928670	LOC645656		
4730386	0.00365	JC7; NUCKS; FLJ21480 NM_022731	NUCKS1	nuclear casein kinase and cyclin-dependent kinase substrate 1	Hs.632458 64710
4040259	0.00365	E25A; BRICD2A NM_004867	ITM2A	integral membrane protein 2A	Hs.17109
	9452				
1190575	0.00364	KIAK0002; MGC102758 NM_001759	CCND2	cyclin D2	Hs.376071 894
780544	0.00363	FLT3LG NM_001459	FLT3LG	fms-related tyrosine kinase 3 ligand	Hs.428 2323
1430521	0.00362	BAP; REA; p22; Bap37; BCAP37; PNAS-141; MGC117268 NM_007273			PHB2
	prohibitin 2	Hs.504620 11331			
1230575	0.00362	C5orf31; FLJ20796; MGC24679 NM_181705	LOC90624	Lyrm7 homolog (mouse)	
	Hs.115467	90624			
2630411	0.00357	AW241552	Transcribed locus		Hs.564007
7160544	0.00357	NM_001009607	LOC92017		
4010437	0.00357	STF1; STFA NM_005213	CSTA	cystatin A (stefin A)	Hs.518198 1475
1980397	0.00357	DKFZp762C143 NM_173469	UBE2Q2	ubiquitin-conjugating enzyme E2Q (putative) 2	
	Hs.23033	92912			
6650020	0.00357	AM NM_001124	ADM	adrenomedullin	Hs.441047 133
1710138	0.00357	NM_003444	ZNF154		
4920364	0.00357	NEDD6; Csa-19 NM_007104	RPL10A	ribosomal protein L10a	Hs.546269 4736
4480646	0.00357	TUBE; FLJ22589; dJ142L7.2 NM_016262	TUBE1	"tubulin, epsilon 1"	
	Hs.34851	51175			
2490189	0.00356	FDF03 NM_013439	PILRA	paired immunoglobulin-like type 2 receptor alpha	
	Hs.444407	29992			
4610167	0.00356	KAISO-L1; KIAA1538 NM_020899	ZBTB4	zinc finger and BTB domain containing 4	

Hs.35096	57659						
6400397	0.00356	LYP; SAP; XLP; DSHP; EBVS; IMD5; XLPD; MTCP1	NM_002351	SH2D1A	"SH2 domain protein 1A, Duncan's disease (lymphoproliferative syndrome)"	Hs.349094	4068
6770142	0.00349	DR-nm23; KIAA0516; c371H6.2	NM_002513	NME3	"non-metastatic cells 3, protein expressed in"	Hs.514065	4832
290026	0.00349	BX098869	Transcribed locus			Hs.687694	
4260541	0.00349	CDC46; MGC5315; P1-CDC46	NM_006739	MCM5	minichromosome maintenance complex component 5	Hs.517582	4174
3420184	0.00349	ZLYAR; FLJ20425	NM_017816	LYAR	Ly1 antibody reactive homolog (mouse)	Hs.425427	55646
3400372	0.00349	FBX21; FLJ90233; KIAA0875; MGC26682; DKFZp434G058	NM_015002	FBXO21	F-box protein 21	Hs.159699	23014
6650484	0.00348	ASGPR; CLEC4H1; Hs.12056	NM_001671	ASGR1	asialoglycoprotein receptor 1	Hs.12056	432
6860392	0.00348	ETS-1; EWSR2; FLJ10768	NM_005238	ETS1	v-ets erythroblastosis virus oncogene homolog 1 (avian)	Hs.369438	2113
5860075	0.00348	H2A; H2A/q; H2AFQ; MGC74460; H2A-GL101	NM_003517	HIST2H2AC	"histone cluster 2, H2ac"	Hs.408067	8338
60086	0.00348	MGC40499; PRAT4B	NM_152755	MGC40499	PRotein Associated with Tlr4	Hs.632293	245812
3130634	0.00348	CHC1L	NM_001268	RCBTB2	regulator of chromosome condensation (RCC1) and BTB (POZ) domain containing protein 2	Hs.657385	1102
4180465	0.00348	TRFP; FLJ20727; DKFZp686C13257	NM_017944	USP47	ubiquitin specific peptidase 47	Hs.577256	55031
5260438	0.00348	FLJ22662	NM_024829	FLJ22662	hypothetical protein	Hs.131933	79887
1780280	0.00348	HK1; MGC10642	NM_015888	HOOK1	hook homolog 1 (Drosophila)		Hs.378836
51361							
6280750	0.00348	KIAA0112	NM_015169	RRS1	RRS1 ribosome biogenesis regulator homolog (S. cerevisiae)	Hs.71827	23212
4490026	0.00348	RPL35	NM_007209	RPL35	ribosomal protein L35	Hs.182825	11224
5290050	0.00348	MGC2146	NM_004512	IL11RA	"interleukin 11 receptor, alpha"		Hs.591088
3590							
5820176	0.00348	LOC552891	NM_004125	LOC552891	hypothetical protein	Hs.534196	552891
5130367	0.00348	BM717151		"UI-E-EJ0-ahk-g-18-0-UI.r2	UI-E-EJ0 Homo sapiens cDNA clone UI-E-EJ0-ahk-g-18-0-UI 5', mRNA sequence."		

1850152	0.00347	JAB; CIS1; SSI1; TIP3; CISH1; SSI-1; SOCS-1		NM_003745	SOCS1	suppressor of cytokine signaling 1
Hs.50640		8651				
2650201	0.00347	BX538337	CDNA clone IMAGE:5267398		Hs.658811	
1070189	0.00347	PHTF	NM_006608	PHTF1	putative homeodomain transcription factor 1	Hs.655824
		10745				
4210427	0.00347	KALI; NTBA; KALIb; Ly108; NTB-A; SF2000; MGC104953		NM_052931	SLAMF6	SLAM family member 6
		Hs.492348	114836			
4040050	0.00347	ARH; ARH1; ARH2; FHCBI; FHCBI; MGC34705; DKFZp586D0624	NM_015627		LDLRAP1	low density lipoprotein receptor adaptor protein 1
		Hs.590911	26119			
3180392	0.00345	CLB; bA134015.1	NM_206808	CLYBL	citrate lyase beta like	Hs.655642
						171425
6380598	0.00345	BXDC4; MGC19606	NM_033416	IMP4	"IMP4, U3 small nucleolar ribonucleoprotein, homolog (yeast)"	Hs.91579
			92856			
2140307	0.00344	LOC283666	AL832164		hypothetical protein LOC283666	Hs.560343
		283666				
7200465	0.00344	TRG18	NM_003630	PEX3	peroxisomal biogenesis factor 3	Hs.7277
						8504
2060196	0.00342	GIL	NM_004925	AQP3	aquaporin 3 (Gill blood group)	Hs.234642
						360
7320056	0.00341	c-Myc	NM_002467	MYC	v-myc myelocytomatosis viral oncogene homolog (avian)	Hs.202453
		4609				
6330414	0.00341		NM_014792	KIAA0125		
6580563	0.00341	PP384; FLJ21945	NM_025203	FLJ21945	chromosome 2 open reading frame 44	
Hs.24624		80304				
3710435	0.00341	AP2REP; AP-2rep;	HSPC122	NM_007249	KLF12	Kruppel-like factor 12
Hs.373857		11278				
6280133	0.00341	FLJ22435; FLJ43947; FLJ46567;	KIAA1491; bA176F3.5	NM_018449	UBAP2	
ubiquitin associated protein 2		Hs.493739	55833			
1410427	0.00341	5PTase; MGC65156;	MGC71303	NM_005540	INPP5B	"inositol polyphosphate-5-phosphatase, 75kDa"
		Hs.449942	3633			
6980435	0.0034	T1; LEU1	NM_014207	CD5	CD5 molecule	Hs.58685
						921
650019	0.0034	6PGD	NM_002631	PGD	phosphogluconate dehydrogenase	Hs.464071
						5226
510326	0.00338	HPIP	NM_020524	PBXIP1	pre-B-cell leukemia homeobox interacting protein 1	
Hs.505806		57326				
5050047	0.00338	E2IG5;	HGTD-P	NM_014367	C3orf28	chromosome 3 open reading frame 28
Hs.584881		26355				
4200148	0.00338		XM_378421			
2100100	0.00338	FCGR2A	XM_938849	FCGR2A	"Fc fragment of IgG, low affinity IIa, receptor (CD32);	

synonyms: CD32, FCG2, FcGR, CD32A, CDw32, FCGR2, IGFR2, FCGR2A1, MGC23887, MGC30032; Homo sapiens Fc fragment of IgG, low affinity IIa, receptor (CD32) (FCGR2A), mRNA."

6350201	0.00337	RAB24	NM_130781	RAB24	"RAB24, member RAS oncogene family"	Hs.16258
53917						
2260035	0.00337	UP; UPP; UPASE; UDRPASE	NM_181597	UPP1	uridine phosphorylase 1	Hs.488240
7378						
3800181	0.00337	PRPK; BUD32; Nori-2; Nori-2p; dJ101A2; C20orf64	NM_033550	TP53RK	TP53 regulating kinase	Hs.440263
			112858			
870138	0.00337	PF20; WDR29; FLJ22724; FLJ37717; MGC87036; DKFZp666P1710		NM_001025436	SPAG16	sperm associated antigen 16
			Hs.602792	79582		
5900520	0.00337	RTS; TYMSAS; RTS beta; HSRTSBETA; RTS alpha		NM_017512	ENOSF1	enolase superfamily member 1
			Hs.369762	55556		
2940184	0.00337	FAM31A; FLJ38464; KIAA1608; RP11-230L22.3		NM_024820	DENN1A	DENN/MADD domain containing 1A
			Hs.655834	57706		
4570553	0.00337	AK6; FIX; AK3L1; AKL3L; AKL3L1	NM_016282	AK3	adenylate kinase 3	Hs.493362
			50808			
2060092	0.00334	IRE1; IRE1P; FLJ30999; MGC163277; MGC163279		NM_152461	ERN1	endoplasmic reticulum to nucleus signalling 1
			Hs.133982	2081		
1110575	0.00334	ABLIM; LIMAB1; LIMATIN; MGC1224; FLJ14564; KIAA0059; DKFZp781D0148		NM_006720	ABLIM1	actin binding LIM protein 1
			Hs.438236	3983		
4830435	0.00334	GI008; RPM13; MRP-S13; MRP-S26; NY-BR-87; C20orf193; dJ534B8.3	NM_030811	MRPS26	mitochondrial ribosomal protein S26	Hs.18946
				64949		
2190035	0.00334	CD32; FCG2; FcGR; CD32A; CDw32; FCGR2; IGFR2; FCGR2A1; MGC23887; MGC30032				NM_021642
			FCGR2A	"Fc fragment of IgG, low affinity IIa, receptor (CD32)"	Hs.352642	2212
1470669	0.00333	C12orf7; DKFZp68601689	NM_182608	ANKRD33	ankyrin repeat domain	33
			Hs.433492	341405		
2750750	0.00333	KIAA0295	NM_015042	ZNF609	zinc finger protein 609	Hs.595451
						23060
5870220	0.00333	SPNR; MGC3405; FLJ11307; FLJ14223; FLJ14984; MGC21529; DKFZp434N214		NM_018387	STRBP	spermatid perinuclear RNA binding protein
			Hs.287659	55342		
270021	0.00333	KIAA0665; Rab11-FIP3	NM_014700	RAB11FIP3	RAB11 family interacting protein 3 (class II)	Hs.531642
			9727			
6480725	0.00332	PKCL; PKC-L; PRKCL; MGC5363; MGC26269; nPKC-eta	NM_006255	PRKCH	"protein kinase C, eta"	Hs.333907
			5583			
1230463	0.00332	M-RIP; RHOIP3; p116Rip; KIAA0864		NM_201274	M-RIP	myosin phosphatase-Rho interacting protein
			Hs.462341	23164		
5260494	0.00332	beta3GalT6	NM_080605	B3GALT6	"UDP-Gal:betaGal beta 1,3-galactosyltransferase	

polypeptide 6"	Hs.284284	126792					
60451	0.00332 ba207C16.3	NM_024896	KIAA1815	KIAA1815	Hs.591078	79956	
20154	0.00332 SEP2; SEPT2; KIAA0128; MGC16619; MGC20339; RP5-876A24.2	NM_145799	6-Sep	septin 6			
	Hs.496666	23157					
1430386	0.00332 RPP2; RPP20; HSPC004 ribonuclease P/MRP subunit (S. cerevisiae)"	NM_015918	POP5	"processing of precursor 5, 51367			
3990328	0.00332 MCL; MPCL; CLEC6; CLEC-6; CLECSF8; MGC40078 domain family 4, member D"	Hs.279913	NM_080387	CLEC4D "C-type lectin 338339			
2260685	0.00332 LOC388564	XM_938054	LOC388564	hypothetical gene supported by BC052596 388564			
5310220	0.00332	XM_927165	LOC642770				
5130725	0.00332 FLJ22002	NM_024838	THNSL1	threonine synthase-like 1 (bacterial)			
Hs.645274	79896						
3290242	0.00332 FLJ21749; MGC149891	NM_025124	FLJ21749	transmembrane protein 134			
Hs.288761	80194						
7380328	0.00332 TIR8; MGC110992 receptor (TIR) domain	NM_021805	SIGIRR	single immunoglobulin and toll-interleukin 1 59307			
	Hs.501624						
5960739	0.00332 D13080	"T-cell receptor alpha-chain J segment, partial cds, clone WADM36A"	Hs.551340				
1980519	0.00332 S1P; PCSK8; SKI-1; KIAA0091; MGC138711; MGC138712 "membrane-bound transcription factor peptidase, site 1"	Hs.75890	NM_201268	MBTPS1 8720			
5080674	0.00332 PF20; WDR29; FLJ22724; FLJ37717; MGC87036; DKFZp666P1710 sperm associated antigen 16	Hs.602792	79582	NM_001025436	SPAG16		
7610546	0.00331 MAG1; GPAT3; AGPAT8; MGC11324 associated protein	Hs.99196	NM_032717	HMFN0839	lung cancer metastasis-		
			84803				
3800253	0.00329 XM_932678	LOC387841					
6560167	0.00329 LOC151162	BX647087		hypothetical protein LOC151162	Hs.4988 151162		
3610703	0.00329 P2Y8; MGC50878	NM_178129	P2RY8	"purinergic receptor P2Y, G-protein coupled, 8"			
Hs.111377	286530						
2030673	0.00328 XM_498474						
4040438	0.00327 PRSI; PRS I; KIAA0967	NM_002764	PRPS1	phosphoribosyl pyrophosphate synthetase 1	Hs.56 5631		
4730156	0.00327 RAB24	NM_130781	RAB24	"RAB24, member RAS oncogene family"	Hs.16258		
53917							
6510161	0.00326 VODI; IFI41; IFI75; FLJ22835	NM_004510	SP110	SP110 nuclear body protein			

Hs.145150	3431					
5270661	0.00323	HS1-2; LABH2; PHP51-2; MGC26249; MGC11112	NM_007011	ABHD2	abhydrolase domain containing 2	
		Hs.122337 11057				
5090047	0.00323	ACAS2L; AceCS2L; FLJ45659; MGC33843	NM_032501	ACSS1	acyl-CoA synthetase short-chain family member 1	Hs.529353 84532
4210008	0.00323	H1cd; MDA5; MDA-5; IDDM19; MGC133047	NM_022168	IFIH1	interferon induced with helicase C domain 1	Hs.163173 64135
6580189	0.00323	LOC649821 XM_942212	LOC649821		similar to 60S ribosomal protein L14 (CAG-ISL 7)	649821
2140156	0.00321	MCP; TLX; MIC10; TRA2.10; MGC26544	NM_153826	CD46	"CD46 molecule, complement regulatory protein"	Hs.510402 4179
2470292	0.00321	HMIC; MAN1C; MAN1A3; pp6318	NM_020379	MAN1C1	"mannosidase, alpha, class 1C, member 1"	Hs.197043 57134
5550435	0.00321	AS160; DKFZp779C0666	NM_014832	TBC1D4	"TBC1 domain family, member 4"	Hs.210891 9882
2140593	0.00321	CR743148		Transcribed locus		Hs.102572
50743	0.00321	BX114247		Transcribed locus		Hs.655978
3360364	0.00321	ZCW3; ZCWCC1 NM_014941		MORC2	MORC family CW-type zinc finger 2	Hs.555918 22880
4390201	0.00321	4.1B; DAL1; DAL-1; FLJ37633; KIAA0987	NM_012307	EPB41L3	erythrocyte membrane protein band 4.1-like 3	Hs.213394 23136
5700403	0.0032	FLJ12953 NM_032118	WDR54	WD repeat domain 54		Hs.643480 84058
7150634	0.0032	FLJ11061; FLJ13244; MGC71859	NM_006901	MYO9A	myosin IXA	Hs.546268 4649
1450551	0.0032	HZF6; ZFP93; ANF270; ZNF270	NM_004234	ZNF235	zinc finger protein 235	Hs.298089 9310
4540082	0.0032	PCL3; MGC23929; MGC131698; MGC149712; MGC149713	NM_015651	PHF19	PHD finger protein 19	Hs.460124 26147
580050	0.0032	NME8; CILD6; SPTRX2 NM_016616		TXNDC3	thioredoxin domain containing 3	(spermatozoa) Hs.134079 51314
3130019	0.00319	KE6; FABG; HKE6; FABGL; RING2; H2-KE6; D6S2245E; dJ1033B10.9	NM_014234	HSD17B8	hydroxysteroid (17-beta) dehydrogenase 8	Hs.415058 7923
4390370	0.00319	C1QA NM_015991	C1QA	"complement component 1, q subcomponent, A chain"		Hs.632379 712
870196	0.00319	XM_942165	LOC652624			

5960768 0.00319 GTRAP48; KIAA0380; PDZ-RHOGEF; DKFZp667F1223 NM\_014784 ARHGEF11 Rho guanine nucleotide exchange factor (GEF) 11 Hs.516954 9826

6560292 0.00318 BX116726 Transcribed locus Hs.561105

5810044 0.00318 XM\_930236 LOC653496

7050711 0.00318 KIAA1979 XM\_375646 ZNF525 zinc finger protein 525 Hs.352638 170958

4010563 0.00317 DLM1; DLM-1; C20orf183 NM\_030776 ZBP1 Z-DNA binding protein 1 Hs.302123 81030

990224 0.00317 A1U; UBIN; C1orf6 NM\_020131 UBQLN4 ubiquilin 4 Hs.283739 56893

6510102 0.00317 PCGF4; RNF51; MGC12685 NM\_005180 PCGF4 BMI1 polycomb ring finger oncogene Hs.496613 648

2480402 0.00317 LAT3; LAT-2; y+LAT-2; KIAA0245; DKFZp686K15246 NM\_003983 SLC7A6 "solute carrier family 7 (cationic amino acid transporter, y+ system), member 6" Hs.653193 9057

6760154 0.00317 L12; CSIG; PBK1; MGC138433; MGC142259; DKFZP564M182 NM\_015659 RSL1D1 ribosomal L1 domain containing 1 Hs.401842 26156

780086 0.00317 DRS1; ACBD2; HCA88; dJ1013A10.3 NM\_006117 PECI "peroxisomal D3,D2-enoyl-CoA isomerase" Hs.15250 10455

4590019 0.00317 KIAA0355 NM\_014686 KIAA0355 KIAA0355 Hs.330073 9710

7150521 0.00317 cent-b; HSA272195 NM\_018404 CENTA2 "centaurin, alpha 2" Hs.514063 55803

460608 0.00317 BAFF; BLYS; CD257; TALL1; THANK; ZTNF4; TALL-1; TNFSF20; delta BAFF TNFSF13B NM\_006573 "tumor necrosis factor (ligand) superfamily, member 13b" Hs.525157 10673

5390398 0.00317 KIAA0014 NM\_014665 LRRC14 leucine rich repeat containing 14 Hs.459391 9684

7650615 0.00316 XM\_372780 LOC391045

870148 0.00314 FAD104; PRO4979; FLJ23399; MGC10002; YVTM2421; DKFZp762K137; DKFZp686D14170 NM\_022763 FNDC3B fibronectin type III domain containing 3B Hs.159430 64778

70161 0.00314 PIP1; PTOP; TPP1; TINT1 NM\_022914 ACD adrenocortical dysplasia homolog (mouse) Hs.78019 65057

1050315 0.00314 NM\_022837 OBFC2A

2140653 0.00314 BCL9-2; DLNB11 NM\_182557 BCL9L B-cell CLL/lymphoma 9-like Hs.414740 283149

4260280 0.00314 ALFY; ZFYVE25; KIAA0993; MGC16461 NM\_014991 WDFY3 WD repeat and FYVE domain containing 3 Hs.480116 23001

5890333 0.00314 AMPH2; AMPHL; SH3P9; MGC10367; DKFZp547F068 NM\_139348 BIN1 bridging integrator 1 Hs.193163 274

2690452 0.00311 IRG2; IFI60; IFIT4; ISG60; RIG-G; CIG-49; GARG-49 NM\_001549 IFIT3

interferon-induced protein with tetratricopeptide repeats 3 Hs.47338 3437

3840475 0.00311 LIMK2	NM_005569	LIMK2	LIM domain kinase 2	Hs.474596	3985
6450711 0.00311	XM_941125	LOC649447			
460754 0.00311	NM_212530	CDC25B			
7570148 0.00311	XM_936503	LOC648164			
4290601 0.0031 DKFZp547M2010	NM_173078	SLITRK4 "SLIT and NTRK-like family, member 4"			
Hs.272284 139065					
4220564 0.00309 HF1B; SPR-1; MGC130008; MGC130009	NM_003112	SP4	Sp4 transcription factor	Hs.88013 6671	
10546 0.00309 VODI; IFI41; IFI75; FLJ22835	NM_080424	SP110	SP110 nuclear body protein	Hs.145150 3431	
1260681 0.00309 FLJ20035; FLJ10787	NM_017631	FLJ20035	hypothetical protein FLJ20035	Hs.591710 55601	

4670315 0.00309 LIMK2	NM_001031801	LIMK2	LIM domain kinase 2	Hs.474596	3985
5890022 0.00309 MPP10; MPP10P	NM_005791	MPHOSPH10	M-phase phosphoprotein 10 (U3 small nucleolar ribonucleoprotein)	Hs.656208 10199	
4200538 0.00309 p97; HC56; HCAP1; HHRF-1; DKFZP434B131; DKFZP434D174	NM_015721	GEMIN4	gem (nuclear organelle) associated protein 4	Hs.499620 50628	
2360538 0.00306 AIOLOS; ZNFN1A3	NM_183231	ZNFN1A3	IKAROS family zinc finger 3 (Aiolos)	Hs.444388 22806	
6420672 0.00305 CCD; AML3; CCD1; OSF2; CBFA1; PEA2aA; PEBP2A1; PEBP2A2; PEBP2aA; PEBP2aA1; MGC120022; MGC120023	NM_001024630	RUNX2	runt-related transcription factor 2	Hs.535845 860	

4230541 0.00305 MSAP; c86fus	NM_002451	MTAP	methylthioadenosine phosphorylase	Hs.193268 4507	
6620674 0.00305 CC3; TIP30; FLJ26963	NM_006410	HTATIP2	"HIV-1 Tat interactive protein 2, 30kDa"	Hs.90753 10553	
2100075 0.00304 ZNF399; FLJ13153	NM_024786	ZDHHC11	"zinc finger, DHHC-type containing 11"	Hs.659832 79844	
1170400 0.00304 C10; GRCC10	NM_138425	C12orf57	chromosome 12 open reading frame 57	Hs.591045 113246	
1980424 0.00304 TRS33; HSPC289; MGC2650	NM_024108	TRAPPc6A	trafficking protein particle complex 6A	Hs.466929 79090	

6270020 0.00304 DA1; TMSB; AMCD1	NM_003289	TPM2	tropomyosin 2 (beta)	Hs.300772	
7169					
5260088 0.00304 CSC-21K	NM_003255	TIMP2	TIMP metallopeptidase inhibitor 2	Hs.633514	

7077

6960736	0.00303	ECGF1; EDG-1; S1PR1; CHEDG1; D1S3362	NM_001400	EDG1	"endothelial differentiation, sphingolipid G-protein-coupled receptor, 1"	Hs.154210	1901
2140364	0.00303	PRP21; PRPF21; SAP114; SF3A120	NM_001005409	SF3A1	"splicing factor 3a, subunit 1, 120kDa"	Hs.406277	10291
2760452	0.00301	BII; CACH6; Cav2.3; CACNL1A6	NM_000721	CACNA1E	"calcium channel, voltage-dependent, R type, alpha 1E subunit"	Hs.437444	777
2060592	0.00301	PI; A1A; AAT; PI1; A1AT; MGC9222; PRO2275; MGC23330	NM_001002236	SERPINA1	"serpin peptidase inhibitor, clade A (alpha-1 antiproteinase, antitrypsin), member 1"	Hs.525557	5265
2640576	0.00299	SMG; SMGA; SAMD4; Smaug; Smaug1; KIAA1053; DKFZp434H0350	NM_015589	SAMD4A	sterile alpha motif domain containing 4A	Hs.98259	23034
540762	0.00298	FLJ25416; FLJ13936	NM_145018	FLJ25416	hypothetical protein FLJ25416	Hs.165607	220042
1190241	0.00296	T11; SRBC	NM_001767	CD2	CD2 molecule	Hs.523500	914
3830338	0.00296	MYH; MGC4416	NM_012222	MUTYH	mutY homolog (E. coli)	Hs.271353	4595
4810592	0.00296	VEGFB XM_938483	VEGFB	"vascular endothelial growth factor B; synonyms: VRF, VEGFL; Homo sapiens vascular endothelial growth factor B (VEGFB), mRNA."			
3450452	0.00296	TH1; NELF-C; NELF-D; HSPC130	NM_198976	TH1L	TH1-like (Drosophila)	Hs.517148	51497
2370524	0.00296	TSG6 NM_007115	TNFAIP6	"tumor necrosis factor, alpha-induced protein 6"			
Hs.437322		7130					
2760438	0.00296	LOC441246	XM_496890	LOC441246	hCG1983332	Hs.568313	441246
130110	0.00296	FLJ44620; DKFZp313B2137	NM_001012969	ADAL	adenosine deaminase-like	Hs.533913	161823
580072	0.00296		NM_001012479	GRN			
6560474	0.00296	FLJ32452	NM_144576	COQ10A	coenzyme Q10 homolog A (S. cerevisiae)	Hs.4096	93058
3180139	0.00294	ACC2; ACCB; HACC275	NM_001093	ACACB	acetyl-Coenzyme A carboxylase beta	Hs.234898	32
7570196	0.00294	AILIM; CD278; MGC39850	NM_012092	ICOS	inducible T-cell co-stimulator	Hs.56247	29851
6960725	0.00294	FP977; FLJ12270; MGC11230	NM_030581	WDR59	WD repeat domain 59	Hs.280951	79726
3180064	0.00294		XM_939885	LOC650799			

7320368	0.00294	MDA20; FLJ27455	NM_000984	RPL23A	ribosomal protein L23a	Hs.419463	6147	
2070131	0.00294	L9mt	NM_031420	MRPL9	mitochondrial ribosomal protein L9	Hs.288936	65005	
2940092	0.00294	MDIG; NO52; MINA53; FLJ14393; DKFZp76201912		NM_032778	MINA	MYC induced nuclear antigen Hs.655935	84864	
3370100	0.00294	Yo; CDR62	NM_001802	CDR2	"cerebellar degeneration-related protein 2, 62kDa"	Hs.513430	1039	
7330154	0.00294	MGC12536; MGC14804	NM_032330	CAPNS2	"calpain, small subunit 2"	Hs.660027	84290	
3420735	0.00294	JADE2; KIAA0239	NM_015288	PHF15	PHD finger protein 15	Hs.483419	23338	
5720008	0.00294		NM_017835	C21orf59				
2970360	0.00294	HEI10; C14orf18	NM_021178	CCNB1IP1	cyclin B1 interacting protein 1	Hs.107003	57820	
2690609	0.00294	ACHAP; C6orf82; MGC111154		NM_001014433	CUTA	cutA divalent cation tolerance homolog (E. coli)	Hs.520070	51596
990630	0.00294	TCF-1; MGC47735	NM_201633	TCF7	"transcription factor 7 (T-cell specific, HMG-box)"	Hs.573153	6932	
5090367	0.00294	DGU; UDG; UNG1; HIGM4; UNG15; DKFZp781L1143		NM_080911	UNG	uracil-DNA glycosylase	Hs.191334	7374
60280	0.00293	T3E; TCRE	NM_000733	CD3E	"CD3e molecule, epsilon (CD3-TCR complex)"	Hs.3003	916	
5670274	0.00293	CG12-1; APOLIII	NM_030644	APOL3	"apolipoprotein L, 3"	Hs.474737	80833	
430021	0.00293	IRG2; IFI60; IFIT4; ISG60; RIG-G; CIG-49; GARG-49		NM_001549	IFIT3	interferon-induced protein with tetratricopeptide repeats 3	Hs.47338	3437
3180133	0.00293	SELR; SELX; MSRB1; HSPC270; MGC3344		NM_016332	SEPX1	"selenoprotein X, 1"	Hs.655346	51734
5570309	0.00293	ACS4; FACL4; LACS4; MRX63; MRX68		NM_004458	ACSL4	acyl-CoA synthetase long-chain family member 4	Hs.268785	2182
6590678	0.00293	E14	NM_002519	NPAT	"nuclear protein, ataxia-telangiectasia locus"	Hs.171061	4863	
2230661	0.00292	YT16; p561ck; pp581ck	NM_005356	LCK	lymphocyte-specific protein tyrosine kinase	Hs.470627	3932	
7560093	0.00291	MGC78522	NM_000637	GSR	glutathione reductase	Hs.271510	2936	
3840376	0.00291	RIG-I; FLJ13599; DKFZp434J1111; DKFZp686N19181	NM_014314	DDX58	DEAD (Asp-Glu-Ala-Asp) box polypeptide 58	Hs.190622	23586	

3290682 0.00291 D15Wsu75e; MGC138384; DJ347H13.4 NM\_015704 D15Wsu75e "DNA segment, Chr 15, Wayne State University 75, expressed" Hs.570455 27351

5420301 0.00291 SLAM; CD150; CDw150 NM\_003037 SLAMF1 signaling lymphocytic activation molecule family member 1 Hs.523660 6504

6660300 0.00291 GLS1; FLJ10358; KIAA0838; DKFZp686015119 NM\_014905 GLS glutaminase Hs.116448 2744

1690097 0.00289 FLJ10300; FLJ23575 NM\_018051 WDR60 WD repeat domain 60 Hs.389945 55112

5310136 0.00289 hly9; mLY9; CD229; SLAMF3 NM\_001033667 LY9 lymphocyte antigen 9 Hs.403857 4063

2100114 0.00287 Bif-1; CGI-61; KIAA0491; dJ612B15.2 NM\_016009 SH3GLB1 SH3-domain GRB2-like endophilin B1 Hs.136309 51100

5700343 0.00287 CS1; CS-1; KRAP; SPAG13; FLJ45996; KIAA1927; DKFZp31301039; DKFZp779G0129 NM\_006751 SSFA2 sperm specific antigen 2 Hs.591602 6744

1030731 0.00287 MGC3207 NM\_001031727 MGC3207 hypothetical protein MGC3207 Hs.439370 84245

6200551 0.00286 BQ438671 "AGENCOURT\_7908292 NIH\_MGC\_82 Homo sapiens cDNA clone IMAGE:6102595 5', mRNA sequence."

6900593 0.00286 ATRAP; MGC29646 NM\_020350 AGTRAP angiotensin II receptor-associated protein Hs.464438 57085

2570463 0.00286 PCL1; KIAA0908 NM\_016297 PCYOX1 prenylcysteine oxidase 1 Hs.591572 51449

4590035 0.00286 LAP; PEPS; LAPEP NM\_015907 LAP3 leucine aminopeptidase 3 Hs.570791 51056

2490273 0.00286 RDH13 NM\_138412 RDH13 retinol dehydrogenase 13 (all-trans/9-cis) Hs.327631 112724

5490379 0.00284 TIFA; T2BP; MGC20791 NM\_052864 TIFA TRAF-interacting protein with a forkhead-associated domain Hs.310640 92610

7550452 0.00284 RPA5; RPA39; RPA40; RPAC1; RP3-337H4.4 NM\_004875 POLR1C "polymerase (RNA) I polypeptide C, 30kDa" Hs.584839 9533

3990639 0.00284 IL23A X00437 "Interleukin 23, alpha subunit p19" Hs.654496

1230706 0.00283 PP17; TIP47; MGC2012; MGC11117 NM\_005817 M6PRBP1 mannose-6-phosphate receptor binding protein 1 Hs.140452 10226

150497 0.00282 TAT1; FLJ32714 NM\_052961 SLC26A8 "solute carrier family 26, member 8" Hs.435836 116369

5700494 0.00282 GAPIII; MGC46517; MGC47588; GAP1IP4BP NM\_007368 RASA3 RAS p21 protein activator 3 Hs.655219 22821

4210291	0.00282	1-8U; IP15	NM_021034	IFITM3	interferon induced transmembrane protein 3 (1-8U)	Hs.374650	10410	
3290192	0.00282	STX3A	NM_004177	STX3A	syntaxin 3	Hs.180711	6809	
1010156	0.00282	FLJ21802	NM_024644	C14orf169	chromosome 14 open reading frame 169	Hs.509916	79697	
1190142	0.00282		BG434868	Transcribed locus		Hs.443123		
7550446	0.00282	MGC23980; RP11-27J8.2	NM_145005	C9orf72	chromosome 9 open reading frame 72	Hs.493639	203228	
5220315	0.00282	CLEC2C	NM_001781	CD69	CD69 molecule	Hs.208854	969	
150592	0.00282	MGC104312; MGC163287;	DKFZP566J091	NM_030915	LBH	limb bud and heart development homolog (mouse)	Hs.567598	81606
4040095	0.0028	RNF88; TRIM5alpha	NM_033092	TRIM5	tripartite motif-containing 5	Hs.370515	85363	
5900600	0.0028	LOC644511	XM_934381	LOC644511	similar to ribosomal protein L13a	Hs.632083	644511	
5900338	0.0028	NFX2; MGC20369; DKFZp779G2416	NM_147133	NFX1	"nuclear transcription factor, X-box binding 1"	Hs.413074	4799	
6420079	0.0028	DKFZp761P0423; pragmin	XM_291277	DKFZp761P0423	homolog of rat pragma of Rnd2	Hs.657673	157285	
1170475	0.00279	CD39; ATPDase; FLJ40921; FLJ40959; NTPDase-1; DKFZp686D194; DKFZp686I093	NM_001776	ENTPD1	ectonucleoside triphosphate diphosphohydrolase 1	Hs.655892	953	
4220026	0.00278	CRE-BPA	NM_001011666	CREB5	cAMP responsive element binding protein 5	Hs.437075	9586	
6330370	0.00278	FLJ23506	NM_024833	ZNF671	zinc finger protein 671	Hs.180402	79891	
7200639	0.00277	SIT; MGC125908; MGC125909; MGC125910; RP11-331F9.5	NM_014450	SIT1	signaling threshold regulating transmembrane adaptor 1	Hs.88012	27240	
7560162	0.00276	CA-VB; MGC39962	NM_007220	CA5B	"carbonic anhydrase VB, mitochondrial"	Hs.653287	11238	
2760092	0.00276	TOSO	NM_005449	FAIM3	Fas apoptotic inhibitory molecule 3	Hs.58831	9214	
4900424	0.00276	TRA@	AY375451		T cell receptor alpha locus	Hs.74647		
3870328	0.00276	TTC37; MGC32587	NM_014639	KIAA0372	KIAA0372	Hs.482868	9652	
1710273	0.00276	PFK2; biphosphatase 3"	IPFK2	NM_004566	PFKFB3	"6-phosphofructo-2-kinase/fructose-2,6-	Hs.195471	5209
610593	0.00276	MGC13105; Nbla00121	NM_032497	ZNF559	zinc finger protein 559	Hs.655107	84527	

3400209 0.00276 DKFZp686C0433 NM\_001012506 CCDC66 coiled-coil domain containing 66  
Hs.476399 285331

2120403 0.00276 TSH1; NY-CO-33; SDCCAG33 NM\_005786 SDCCAG33 teashirt family zinc finger 1 Hs.284217 10194

1980338 0.00274 SLIC1; MGC35578 NM\_182854 SLIC1 selectin ligand interactor cytoplasmic-1  
Hs.460777 124460

2470392 0.00274 FLJ21125 NM\_024627 FLJ21125 chromosome 22 open reading frame 29  
Hs.105642 79680

5050241 0.00274 PRKCT; MGC126514; MGC141919; nPKC-theta NM\_006257 PRKCQ "protein kinase C, theta" Hs.498570 5588

4730215 0.00274 GRASP-1; KIAA1167; MGC126593; MGC126595; DKFZp434P0630 NM\_020137 GRIPAP1 GRIP1 associated protein 1 Hs.109929 56850

5960519 0.00274 VCIP135; FLJ23132; KIAA1850; DKFZp686G038 NM\_025054 VCPIP1 valosin containing protein (p97)/p47 complex interacting protein 1 Hs.632066 80124

4560709 0.00274 PTD017; S18amt; C6orf14; HSPC183; MRPS18-2; HumanS18a; MRP-S18-2; DKFZp564H0223 NM\_014046 MRPS18B mitochondrial ribosomal protein S18B Hs.655329 28973

430682 0.00274 C1QB NM\_000491 C1QB "complement component 1, q subcomponent, B chain"  
Hs.8986 713

4570019 0.00272 TPRL; TMPT27 NM\_018475 TPRL transmembrane protein 165 Hs.479766 55858

4040609 0.00272 LDH-H; TRG-5 NM\_002300 LDHB lactate dehydrogenase B Hs.446149 3945

7610196 0.00272 APT1; CD95; FAS1; APO-1; FASTM; ALPS1A; TNFRSF6 NM\_152871 FAS "Fas (TNF receptor superfamily, member 6)" Hs.244139 355

7560470 0.00272 CHD5; RIGB; KIAA1335 NM\_032221 CHD6 chromodomain helicase DNA binding protein 6 Hs.371979 84181

2060564 0.00272 LOC492311 NM\_001007189 LOC492311 similar to bovine IgA regulatory protein Hs.200938 492311

6020280 0.00272 TM; EAT; MCL1L; MCL1S; MGC1839; MGC104264 NM\_021960 MCL1 myeloid cell leukemia sequence 1 (BCL2-related) Hs.632486 4170

130553 0.00271 SCAP1; SKAP55 NM\_003726 SCAP1 src kinase associated phosphoprotein 1 Hs.316931 8631

6200273 0.0027 BRESI1; MGC29634 NM\_033255 EPSTI1 epithelial stromal interaction 1 (breast) Hs.546467 94240

1300180 0.0027 AIP5; Tiull; hSDRP1; DKFZp434D2111 NM\_007013 WWP1 WW domain containing E3 ubiquitin protein ligase 1 Hs.655189 11059

3310377 0.00269 PA26; SEST1; MGC138241; MGC142129; RP11-787I22.1 NM\_014454 SESN1 sestrin

1 Hs.591336 27244

6960746 0.00269 IAN4; IAN5; IMAP3; hIAN5; HIMAP3; IAN4L1; FLJ11296 NM\_018384 GIMAP5  
"GTPase, IMAP family member 5" Hs.647079 55340

1090332 0.00269 NAIC; CIRHIN; TEX292; FLJ14728; KIAA1988 NM\_032830 CIRH1A "cirrhosis,  
autosomal recessive 1A (cirhin)" Hs.461113 84916

6480010 0.00268 EC45; RPL10; RPLY10; RPYL10; FLJ26304; MGC88603 NM\_002948 RPL15 ribosomal  
protein L15 Hs.381219 6138

3120735 0.00268 BLT1; BLTR; P2Y7; GPR16; LTBR1; P2RY7; CMKRL1; LTB4R1 NM\_181657 LTB4R  
leukotriene B4 receptor Hs.655431 1241

5890717 0.00268 MGC26847 NM\_145006 SUSD3 sushi domain containing 3 Hs.88417  
203328

6220070 0.00268 FLJ34389 NM\_152649 MLKL mixed lineage kinase domain-like  
Hs.119878 197259

3840414 0.00268 MAL NM\_002371 MAL "mal, T-cell differentiation protein" Hs.80395  
4118

3610184 0.00268 CYPH; CYP-20; MGC5016; USA-CYP; SnuCyp-20 NM\_006347 PPIH peptidylprolyl  
isomerase H (cyclophilin H) Hs.256639 10465

1780079 0.00267 HGAL; GCAT2; MGC40441 NM\_001008756 GCET2 germinal center expressed transcript 2  
Hs.49614 257144

5560113 0.00265 PPM2; TYW4; MGC9534; KIAA0547 NM\_014793 LCMT2 leucine carboxyl  
methyltransferase 2 Hs.200596 9836

130138 0.00265 RDGBB; RDGBB1; RDGB-BETA NM\_181671 PITPN1 "phosphatidylinositol transfer  
protein, cytoplasmic 1" Hs.591185 26207

580332 0.00265 FLJ11164; FLJ20975 NM\_018346 RSAD1 radical S-adenosyl methionine domain  
containing 1 Hs.8033 55316

1240209 0.00265 CPSD; CLN10; MGC2311 NM\_001909 CTSD cathepsin D Hs.654447 1509

840750 0.00265 MYL; RNF71; PP8675; TRIM19 NM\_033238 PML promyelocytic leukemia  
Hs.526464 5371

5260500 0.00265 HUFI-2; FLJ20248; FLJ22683; DKFZp434H2035 NM\_006309 LRRKIP2 leucine rich  
repeat (in FLII) interacting protein 2 Hs.475319 9209

840253 0.00265 C15; onzin NM\_016619 PLAC8 placenta-specific 8 Hs.546392 51316

4260142 0.00264 PBP; HCNP; PEBP; RKIP NM\_002567 PEBP1 phosphatidylethanolamine binding  
protein 1 Hs.433863 5037

20601 0.00264 FLJ12118; DKFZp667A2315; DKFZp686G08243 NM\_024537 FLJ12118 "cysteinyl-tRNA  
synthetase 2, mitochondrial (putative)" Hs.508725 79587

1190647 0.00262 APE; APX; APE1; APEN; APEX; HAP1; REF1; REF-1 NM\_080649 APEX1 APEX nuclease

(multifunctional DNA repair enzyme) 1 Hs.73722 328

510603 0.00261 TIFIA; MGC104238; DKFZp566E104 NM\_018427 RRN3 RRN3 RNA polymerase I transcription factor homolog (S. cerevisiae) Hs.460078 54700

670041 0.0026 IL23A CR596519 "Interleukin 23, alpha subunit p19" Hs.654496

3400504 0.00259 IMPD2; IMPDH-II NM\_000884 IMPDH2 IMP (inosine monophosphate) dehydrogenase 2 Hs.654400 3615

2230152 0.00259 SATB1 NM\_002971 SATB1 SATB homeobox 1 Hs.517717 6304

630450 0.00259 G10P2; IFI54; ISG54; cig42; IFI-54; GARG-39; ISG-54K NM\_001547 IFIT2 interferon-induced protein with tetratricopeptide repeats 2 Hs.437609 3433

5270402 0.00258 FLJ20280; MGC126765; MGC126767 NM\_017741 FLJ20280 chromosome 4 open reading frame 30 Hs.655841 54876

2370576 0.00258 EX33; GPCR4 NM\_020370 GPR84 G protein-coupled receptor 84 Hs.306199 53831

1770400 0.00258 ZIZ1; FLJ16744; FLJ44528; FLJ45282; FLJ45601; KIAA1058; KIAA1085; zizimin1; RP11-155N3.2; DKFZp686D2047; DKFZp686C11110; DKFZp686N04132 NM\_015296 DOCK9 dedicator of cytokinesis 9 Hs.654825 23348

6480390 0.00258 NM\_032318 HIATL2

3190129 0.00257 FLJ90167 NM\_138341 TMEM116 transmembrane protein 116 Hs.506815 89894

2690682 0.00252 TOR; RORG; RZRG; NR1F3; MGC129539 NM\_001001523 RORC RAR-related orphan receptor C Hs.256022 6097

6620431 0.00252 IP3R3; FLJ36205 NM\_002224 ITPR3 "inositol 1,4,5-triphosphate receptor, type 3" Hs.65758 3710

7650554 0.0025 FER1L1; LGMD2B; FLJ00175; FLJ90168 NM\_003494 DYSF "dysferlin, limb girdle muscular dystrophy 2B (autosomal recessive)" Hs.252180 8291

2470243 0.0025 HIST2H2AB NM\_175065 HIST2H2AB "histone cluster 2, H2ab" Hs.664173 317772

1340368 0.0025 XM\_929431 LOC644039

4150739 0.0025 DR4; APO2; CD261; MGC9365; TRAILR1; TRAILR-1 NM\_003844 TNFRSF10A "tumor necrosis factor receptor superfamily, member 10a" Hs.591834 8797

6980100 0.0025 TMG4 NM\_024081 PRRG4 proline rich Gla (G-carboxyglutamic acid) 4 (transmembrane) Hs.471695 79056

7380411 0.0025 sen54; SEN54L; FLJ37147 NM\_207346 TSEN54 tRNA splicing endonuclease 54 homolog (S. cerevisiae) Hs.655875 283989

5570750 0.0025 SUN2; KIAA0668; MGC133055; MGC133056 NM\_015374 UNC84B unc-84 homolog B (C.

elegans) Hs.517622 25777

6280754 0.00248 CD172g; SIRPB2; SIRP-B2; bA77C3.1; SIRPgmma NM\_080816 SIRPB2 signal-regulatory protein gamma Hs.590883 55423

5390349 0.00248 LIMK2 NM\_001031801 LIMK2 LIM domain kinase 2 Hs.474596 3985

2970437 0.00248 TIL3; SLEB1; FLJ10052; MGC126430; MGC126431 NM\_003268 TLR5 toll-like receptor 5 Hs.604542 7100

1010064 0.00248 BAL2; KIAA1268 NM\_017554 PARP14 "poly (ADP-ribose) polymerase family, member 14" Hs.518203 54625

3850010 0.00248 XM\_939880 LOC650795

4210564 0.00248 CD26; ADABP; ADCP2; DPPIV; TP103 NM\_001935 DPP4 "dipeptidyl-peptidase 4 (CD26, adenosine deaminase complexing protein 2)" Hs.368912 1803

6480243 0.00248 T3G; CD3-GAMMA; MGC138597 NM\_000073 CD3G "CD3g molecule, gamma (CD3-TCR complex)" Hs.2259 917

2190273 0.00248 AI349750 "ta96c03.x1 NCI\_CGAP\_Lu26 Homo sapiens cDNA clone IMAGE:2051908 3', mRNA sequence."

3170132 0.00248 FLJ12586 NM\_024620 ZNF329 zinc finger protein 329 Hs.458377 79673

4060674 0.00248 IRAP; IL1F3; IL1RA; IL-1ra3; ICIL-1RA; MGC10430 NM\_173842 IL1RN interleukin 1 receptor antagonist Hs.81134 3557

5870673 0.00248 NMI NM\_004688 NMI N-myc (and STAT) interactor Hs.54483 9111

3310725 0.00248 FLJ14464 NM\_032789 PARP10 "poly (ADP-ribose) polymerase family, member 10" Hs.348609 84875

5270465 0.00248 XM\_933970 LOC646849

6290097 0.00248 SAT; DC21; KFSD; SSAT; SSAT-1 NM\_002970 SAT spermidine/spermine N1-acetyltransferase 1 Hs.28491 6303

4850192 0.00248 TP120 NM\_006725 CD6 CD6 molecule Hs.643167 923

3830041 0.00248 IRG2; IFI60; IFIT4; ISG60; RIG-G; CIG-49; GARG-49 NM\_001031683 IFIT3 interferon-induced protein with tetratricopeptide repeats 3 Hs.47338 3437

1820692 0.00248 LOC387867 XM\_939738 LOC387867 similar to 40S ribosomal protein SA (p40) (34/67 kDa laminin receptor) (Colon carcinoma laminin-binding protein) (NEM/1CHD4) (Multidrug resistance-associated protein MGr1-Ag) 387867

1740341 0.00248 XAF1; BIRC4BP; HSXIAPAF1 NM\_199139 BIRC4BP XIAP associated factor-1 Hs.441975 54739

6250347 0.00248 FLJ33226; 1190004M21Rik NM\_138300 PYGO2 pygopus homolog 2 (Drosophila) Hs.533597 90780

2470440 0.00248 FLJ34238; KIAA0716; MGC134911; MGC134912 AK055497 DOCK4 dedicator of

cytokinesis 4	9732					
130523 0.00248 MGC2616; MRP-S12; MRP-S34	Hs.157160	65993	NM_023936	MRPS34	mitochondrial ribosomal protein S34	
2970672 0.00248 NOHMA; DKFZP434A1315; RP11-363I22.1	1 Hs.298312	84072	NM_032132	HORMAD1	HORMA domain containing 1	
6660709 0.00248 CR3A; MO1A; CD11B; MAC-1; MAC1A; MGC117044			NM_000632	ITGAM	"integrin, alpha M (complement component 3 receptor 3 subunit)"	
			Hs.172631	3684		
6420367 0.00248 CCN3; NOVH; IGFBP9	Hs.235935	4856	NM_002514	NOV	nephroblastoma overexpressed gene	
1430762 0.00248 ASRT5; IRAKM; IRAK-M	Hs.369265	11213	NM_007199	IRAK3	interleukin-1 receptor-associated kinase 3	
7000537 0.00248		XM_942669	LOC654194			
1710427 0.00248		XM_941758	LOC652332			
840687 0.00248 FUS2; FUS-2; HYAL3	24142	NM_012191	NAT6	N-acetyltransferase 6	Hs.129910	
3120612 0.00248 CGI-34; PNAS-2; C9orf83; HSPC177; SNF7DC2	Hs.635313	51510	NM_016410	CHMP5	chromatin modifying protein 5	
3290253 0.00248 P2X7; MGC20089	NM_002562	Hs.507102	P2RX7	"purinergic receptor P2X, ligand-gated ion channel, 7"	5027	
1260750 0.00248		DA572426	Transcribed locus		Hs.600936	
7200681 0.00247 KIAA1618		XM_941239	KIAA1618	KIAA1618		57714
6510309 0.00247 RPL13A	NM_012423	RPL13A	ribosomal protein L13a	Hs.523185		23521
10370 0.00247 C1GALT; T-synthase		NM_020156	C1GALT1	"core 1 synthase, glycoprotein-N-acetylgalactosamine 3-beta-galactosyltransferase, 1"	Hs.592180	56913
3710148 0.00247 USH1D; DFNB12; FLJ00233; FLJ36499; KIAA1774; KIAA1812; MGC102761; DKFZp434P2350	NM_052836	CDH23	cadherin-like 23	Hs.656032	64072	
6330121 0.00246		NM_138699	LOC93622			
6960669 0.00245 RabS10; MGC1488	Hs.654356	NM_004794	RAB33A	"RAB33A, member RAS oncogene family"		
5340162 0.00245 HRX; TRX1; ALL-1; CXXC7; HTRX1; MLL1A; MLL/GAS7		NM_005933	MLL	"myeloid/lymphoid or mixed-lineage leukemia (trithorax homolog, Drosophila)"	Hs.258855	4297
430291 0.00242 TSH2; ZABC2; ZNF218; OVC10-2; C20orf17; FLJ33887; DKFZp686K2480		NM_173485	ZNF218	teashirt family zinc finger 2	Hs.473117	128553
1190520 0.00239 RPML3; MRP-L3; HSPC262; MGC4810	L38	NM_032478	MRPL38	mitochondrial ribosomal protein L38	Hs.442609	64978

2810451 0.00239 AHCP; FLJ23721 NM\_016255 FAM8A1 "family with sequence similarity 8, member A1"  
Hs.95260 51439

2710669 0.00239 CGI-59; CGI-74; FLJ10657 NM\_016019 LUC7L2 LUC7-like 2 (S. cerevisiae)  
Hs.370475 51631

5870474 0.00239 LP2642; NT5C2L1; C6orf200; MGC24302; MGC131837 NM\_152729 NT5DC1 5'-nucleotidase  
domain containing 1 Hs.520341 221294

4200180 0.00239 GRG; ESP1; GRG5; TLE5; AES-1; AES-2 NM\_198969 AES amino-terminal enhancer  
of split Hs.515053 166

6130014 0.00239 AP4; RIP60; ZNF464; Zfp464 NM\_014374 REPIN1 replication initiator 1  
Hs.647086 29803

2030168 0.00239 XM\_935305 LOC646276

3140246 0.00239 NM\_033111 LOC88523

5810592 0.00239 KRM1; KREMEN; KREMEM1; FLJ31863 NM\_153379 KREMEN1 kringle containing  
transmembrane protein 1 Hs.229335 83999

4640402 0.00237 IPO-B; MNSOD; Mn-SOD NM\_000636 SOD2 "superoxide dismutase 2, mitochondrial"  
Hs.487046 6648

4490445 0.00237 CD170; OBBP2; CD33L2; OB-BP2; SIGLEC-5 NM\_003830 SIGLEC5 sialic acid binding Ig-  
like lectin 5 Hs.310333 8778

6860246 0.00237 ATP-BL NM\_004913 C16orf7 chromosome 16 open reading frame 7 Hs.164410  
9605

4260082 0.00237 Nnp1; RRP1; KIAA0179 NM\_015056 KIAA0179 ribosomal RNA processing 1  
homolog B (S. cerevisiae) Hs.654727 23076

7320408 0.00236 BDG29; BDG-29; MGC14139; MGC126527 NM\_015144 ZCCHC14 "zinc finger, CCHC  
domain containing 14" Hs.156231 23174

2350056 0.00236 XM\_944165 LOC648249

6580452 0.00236 BRI3BP XM\_941876 BRI3BP "BRI3 binding protein; synonyms: KG19, BNAS1, HCCR-2;  
cervical cancer 1 proto-oncogene-binding protein; cervical cancer oncogene binding protein; Homo  
sapiens BRI3 binding protein (BRI3BP), mRNA."

1660403 0.00236 FLJ45464; ANKYRIN-G NM\_001149 ANK3 "ankyrin 3, node of Ranvier (ankyrin  
G)" Hs.499725 288

6290458 0.00236 MGC45293 NM\_198088 ZNF200 zinc finger protein 200 Hs.632222 7752

160132 0.00236 CRE-BPA NM\_182898 CREB5 cAMP responsive element binding protein 5  
Hs.437075 9586

3870181 0.00236 RPMS9 NM\_182640 MRPS9 mitochondrial ribosomal protein S9 Hs.590900  
64965

4560274 0.00236 KOX2; KOX31; ZNF11B; FLJ23327; MGC129696 NM\_006955 ZNF11B zinc finger  
protein 33B Hs.499453 7582

5720129 0.00236 AY726563 Clone TESTIS-609 mRNA sequence Hs.660574

1440612 0.00234 KRM1; KREMEN; KREMEN1; FLJ31863 NM\_153379 KREMEN1 kringle containing transmembrane protein 1 Hs.229335 83999

520360 0.00234 DJ462023.2; RP3-462023.3; DKFZp686E22155 NM\_020448 NPAL3 NIPA-like domain containing 3 Hs.523442 57185

6280168 0.00234 NEH2; MGC2832; MGC4505; FLJ31644 NM\_145043 NEIL2 nei like 2 (E. coli) Hs.293818 252969

2360367 0.00234 PUR1; PURALPHA; PUR-ALPHA NM\_005859 PURA purine-rich element binding protein A Hs.443121 5813

6860327 0.00234 APC8 NM\_004661 CDC23 cell division cycle 23 homolog (S. cerevisiae) Hs.153546 8697

830400 0.00234 MIF; NIF; P14; CAGB; CFAG; CGLB; L1AG; LIAG; MRP14; 60B8AG; MAC387 NM\_002965 S100A9 S100 calcium binding protein A9 Hs.112405 6280

2320070 0.00234 MEP; CATL; CTSL; FLJ31037 NM\_145918 CTSL cathepsin L1 Hs.418123 1514

4010358 0.00234 VMP1; DKFZP566I133 NM\_030938 TMEM49 transmembrane protein 49 Hs.444569 81671

270341 0.00234 testican-2 NM\_014767 SPOCK2 "sparc/osteonectin, cwcv and kazal-like domains proteoglycan (testican) 2" Hs.523009 9806

770484 0.00234 p23; p25; p35; CDK5R; NCK5A; CDK5P35; MGC33831; p35nck5a NM\_003885 CDK5R1 "cyclin-dependent kinase 5, regulatory subunit 1 (p35)" Hs.500015 8851

7100646 0.00234 IP3K; PIG37; IP3K-B NM\_002221 ITPKB "inositol 1,4,5-trisphosphate 3-kinase B" Hs.528087 3707

1780484 0.00234 IFP35; FLJ21753 NM\_005533 IFI35 interferon-induced protein 35 Hs.632258 3430

840201 0.00234 C7orf32; ATP6VOE2L NM\_145230 ATP6VOE2L "ATPase, H<sup>+</sup> transporting V0 subunit e2" Hs.556998 155066

6550397 0.00232 FLJ38451; MGC117233; MGC119731 NM\_175872 FLJ38451 zinc finger protein 792 126375

2690025 0.00232 FLJ13150; RP11-163M2.4 NM\_024813 Clorf82 chromosome 1 open reading frame 82 Hs.444421 79871

290538 0.00232 CIA; CGI-98; HSPC146; DKFZP547E2110 NM\_014034 ASF1A ASF1 anti-silencing function 1 homolog A (S. cerevisiae) Hs.292316 25842

6520605 0.00232 HGFL; MGC17330; hHGFL(S) NM\_052880 MGC17330 phosphoinositide-3-kinase interacting protein 1 Hs.26670 113791

1690309 0.00231 KE04; KE04; SPFH1; Erlin-1; C10orf69; RP11-316M21.1 NM\_006459 SPFH1 ER

lipid raft associated 1 Hs.150087 10613

830327 0.00224 NM\_001018021 MUC1

4060100 0.00224 PERB11.2 NM\_005931 MICB MHC class I polypeptide-related sequence B  
Hs.211580 4277

4900524 0.00224 KYNU NM\_003937 KYNU kynureninase (L-kynurenone hydrolase) Hs.470126  
8942

1030039 0.00224 H2A; H2A.2; H2A/O; H2A/q; H2AF0; H2a-615; HIST2H2AA NM\_003516 HIST2H2AA  
"histone cluster 2, H2aa3" Hs.530461 8337

1500437 0.00224 TARBP-B; MGC104284 NM\_001033853 RPL3 ribosomal protein L3 Hs.119598  
6122

3610048 0.00224 TX; ICH-2; Mih1/TX; ICEREL-II; ICE(rel)II NM\_033306 CASP4 "caspase 4,  
apoptosis-related cysteine peptidase" Hs.138378 837

7550524 0.00224 TGT NM\_005151 USP14 ubiquitin specific peptidase 14 (tRNA-guanine  
transglycosylase) Hs.464416 9097

3310253 0.00224 TS11 NM\_133436 ASNS asparagine synthetase Hs.489207 440

4900630 0.00224 CD64; FCRI; CD64A; IGFR1 NM\_000566 FCGR1A "Fc fragment of IgG, high  
affinity Ia, receptor (CD64)" Hs.77424 2209

6130669 0.00224 LMP2; RING12; MGC70470 NM\_002800 PSMB9 "proteasome (prosome, macropain)  
subunit, beta type, 9 (large multifunctional peptidase 2)" Hs.654585 5698

4210576 0.00224 PAF53; PRAF1; FLJ13390; FLJ13970; RP11-405L18.3 NM\_022490 PRAF1 "polymerase  
(RNA) I polypeptide E, 53kDa" Hs.591087 64425

2490278 0.00224 HPF7; HTF10 NM\_003430 ZNF91 zinc finger protein 91 Hs.654471 7644

5340128 0.00224 FLJ33641; MGC70478 NM\_152687 FLJ33641 chromosome 5 open reading frame  
29 Hs.547697 202309

4900048 0.00224 LMN; ADLD; LMN2; LMNB; MGC111419 NM\_005573 LMNB1 lamin B1  
Hs.89497 4001

1050064 0.00224 NGX6; NAG-5; MGC120460; RP11-112J3.10 NM\_016446 C9orf127 chromosome 9  
open reading frame 127 Hs.493808 51754

1780427 0.00224 NM\_016285 KLF12

730747 0.00224 FLJ22344 NM\_001002796 MCTP1 "multiple C2 domains, transmembrane 1"  
Hs.655087 79772

4640379 0.00224 ZRF; MTF-1; MGC23036 NM\_005955 MTF1 metal-regulatory transcription factor 1  
Hs.471991 4520

1440196 0.00224 FCER1G NM\_004106 FCER1G "Fc fragment of IgE, high affinity I, receptor for;  
gamma polypeptide" Hs.433300 2207

3800280 0.00224 L14; RL14; hRL14; CTG-B33; MGC88594; CAG-ISL-7 NM\_003973 RPL14 ribosomal protein L14 Hs.446522 9045

3390349 0.00224 XM\_934176 LOC91561

4220474 0.00224 ACF1; WALp1; hACF1; WCRF180; FLJ14383; DKFZP586E0518 NM\_013448 BAZ1A "bromodomain adjacent to zinc finger domain, 1A" Hs.509140 11177

5090315 0.00224 DDX21; NOH61 NM\_019082 DDX56 DEAD (Asp-Glu-Ala-Asp) box polypeptide 56 Hs.654762 54606

5550307 0.00224 FLJ38968; dJ299F11.1 NM\_152316 C11orf46 chromosome 11 open reading frame 46 Hs.502208 120534

70468 0.00224 FLJ25663; FLJ35732; NYD-SP28 NM\_033124 CCDC65 coiled-coil domain containing 65 Hs.512805 85478

6400537 0.00224 44M2.4; FLJ41725; MGC48972; DKFZp68600290 NM\_173475 DCUN1D3 "DCN1, defective in cullin neddylation 1, domain containing 3 (S. cerevisiae)" Hs.101007 123879

4860603 0.00224 SRPSOX; CXCLG16; SR-PSOX NM\_022059 CXCL16 chemokine (C-X-C motif) ligand 16 Hs.651206 58191

4920041 0.00224 BACH1 NM\_001011545 BACH1 "BTB and CNC homology 1, basic leucine zipper transcription factor 1" Hs.154276 571

4010075 0.00224 HOF; DPZF; ODA-8S; ZNF288; DKFZp566F123 NM\_015642 ZBTB20 zinc finger and BTB domain containing 20 Hs.655108 26137

2570136 0.00224 SREC; KIAA0149; MGC47738 NM\_145350 SCARF1 "scavenger receptor class F, member 1" Hs.647430 8578

2850100 0.00224 BBAP NM\_138287 DTX3L deltex 3-like (Drosophila) Hs.518201 151636

3420471 0.00224 CD75; SIAT1; ST6GalI; MGC48859; ST6Gal I NM\_173217 ST6GAL1 "ST6 beta-galactosamide alpha-2,6-sialyltranferase 1" Hs.207459 6480

7380241 0.00224 H3/b; H3FB NM\_003530 HIST1H3D "histone cluster 1, H3d" Hs.532144 8351

4810364 0.00224 FLJ22457; RP5-1180E21.2 NM\_024901 DENND2D DENN/MADD domain containing 2D Hs.557850 79961

1010750 0.00224 SIN; RPC5 NM\_018119 POLR3E polymerase (RNA) III (DNA directed) polypeptide E (80kD) Hs.460298 55718

70376 0.00224 CR6; DDIT2; GRP17; GADD45gamma NM\_006705 GADD45G "growth arrest and DNA-damage-inducible, gamma" Hs.9701 10912

670180 0.00224 FLJ39275; MGC131926 NM\_021035 ZNFX1 "zinc finger, NFX1-type containing 1" Hs.371794 57169

2710528 0.00224 MSTP006; FLJ10983 NM\_018290 PGM2 phosphoglucomutase 2 Hs.23363 55276

2260148	0.00224	NRP2	NM_006159	NELL2	NEL-like 2 (chicken)	Hs.505326	4753
6200408	0.00224		NM_001010914	LOC400986			
7400703	0.00224	EF1B; EEF1B; EEF1B1		NM_001959	EEF1B2 eukaryotic translation elongation factor 1 beta 2 Hs.421608		
				1933			
4040671	0.00224	GPA34; MGC44287; dJ889N15.1;	1700062D20Rik		NM_182607	VSIG1 V-set and immunoglobulin domain containing 1 Hs.177164	
				340547			
7210315	0.00224	CCT; C14orf58; FLJ20371	NM_017791	C14orf58	"feline leukemia virus subgroup C cellular receptor family, member 2" Hs.509966		
				55640			
1450538	0.00224	MGC149726; NY-REN-58	NM_016122	CCDC41	coiled-coil domain containing 41		
Hs.279209		51134					
6220746	0.00224	SID1; SID-1; FLJ20174; B830021E24Rik					
3940184	0.00224	HL9; ILT5; LIR3; CD85A; LIR-3; MGC138403		NM_006864	LILRB3 "leukocyte immunoglobulin-like receptor, subfamily B (with TM and ITIM domains), member 3" Hs.631592		11025
4780220	0.00223	CGD; NOX2; GP91-1; GP91PHOX; GP91-PHOX	NM_000397	CYBB	"cytochrome b-245, beta polypeptide (chronic granulomatous disease)" Hs.292356		
				1536			
160273	0.00217	Fbx32; MAFbx; FLJ32424; MGC33610	NM_148177	FBXO32	F-box protein 32		
Hs.403933		114907					
2710551	0.00217	XM_943094	LOC162073				
2190653	0.00213	IRAP; IL1F3; IL1RA; IL-1ra3; ICIL-1RA; MGC10430	NM_173842	IL1RN	interleukin 1 receptor antagonist	Hs.81134	
		3557					
580270	0.00213	B7-H; B7H1; PDL1; PD-L1; PDCD1L1; PDCD1LG1; MGC142294; MGC142296		NM_014143			
CD274		CD274 molecule Hs.521989	29126				
5690093	0.00213	CCK; RICK; RIP2; CARD3; GIG30; CARDIAK	NM_003821	RIPK2	receptor-interacting serine-threonine kinase 2	Hs.103755	
		8767					
4490187	0.00213	FLJ38111	NM_003818	CDS2	CDP-diacylglycerol synthase (phosphatidate cytidylyltransferase) 2	Hs.472027	
		8760					
7380292	0.00213	LOC284672	XM_208234	LOC284672	hCG2028557		284672
5820167	0.00212	BMZF3; BMZF-3	NM_005773	ZNF256	zinc finger protein 256	Hs.596242	10172
4230167	0.00211	SC01L; MGC125823; MGC125825	NM_005138	SC02	SC0	cytochrome oxidase deficient homolog 2 (yeast)	Hs.658057
		9997					
3290019	0.00209	MGC23166	NM_152735	ZBTB9	zinc finger and BTB domain containing 9	Hs.591805	
		221504					
4040379	0.00206	ACDP3; FLJ20018; DKFZp434I1016	NM_017623	CNNM3	cyclin M3		Hs.643430
		26505					
1690528	0.00202	FLJ90431; KIAA0446; RP11-54H19.3	NM_014655	KIAA0446	"solute carrier family 25, member 44"	Hs.532375	
		9673					

6760577	0.002		XM_932470		LOC644869			
2350719	0.002	Hs.448879	LOC388344 388344		XM_371023		LOC388344	similar to ribosomal protein L13
2640554	0.002	Hs.370503	ADAP; PRO0823; SLAP-130 2533		NM_199335		FYB	FYN binding protein (FYB-120/130)
110598	0.002		XM_945192		LOC649049			
2350196	0.002		HPA; HPR1; HSE1; HPSE1	NM_006665		HPSE	heparanase	Hs.44227 10855
4640484	0.002		BND7; EPB7; EPB72	NM_004099		STOM	stomatin	Hs.253903 2040
4560128	0.002	Hs.95835	MGC45416; DKFZp686C03164 132299		NM_001014446		OCIAD2	OCIA domain containing 2
5720072	0.002		LPAP; CD45-AP; MGC138602; phosphatase, receptor type, C-associated protein"	MGC138603	NM_005608		PTPRCAP	"protein tyrosine
2490291	0.002		XM_928705		LOC653658		Hs.155975	5790
520487	0.002		XM_942152		LOC652616			
4560133	0.002	ANX3	NM_005139	ANXA3	annexin A3	Hs.480042		306
3800450	0.002		CAS; CSE1; XPO2; MGC117283; chromosome segregation 1-like (yeast)	MGC130036; Hs.90073	MGC130037	NM_001316	CSE1L	CSE1
2630189	0.002		FFA2R; GPR43	NM_005306		FFAR2	free fatty acid receptor 2	Hs.248056 2867
4640452	0.002		BAL; BAL1; FLJ26637; FLJ41418; PARP9 "poly (ADP-ribose) polymerase family, member 9"	MGC:7868; DKFZp666B0810; DKFZp686M15238 Hs.518200	NM_031458			
5820092	0.002		RP1-93H18.5 member F"	NM_001010919 Hs.381220	LOC441168 441168		"family with sequence similarity 26,	
70639	0.002	Hs.47223	DKFZp434N127 84225	NM_032265	ZMYND15 "zinc finger, MYND-type containing 15"			
2970240	0.002		APT2; PSF2; ABC18; ABCB3; RING11; ATP-binding cassette, sub-family B (MDR/TAP)"	D6S217E Hs.502	NM_000544 6891		TAP2 "transporter 2,	
5670544	0.00199		XM_928387		LOC653610			
5050768	0.00197		GAB1; CDC91L1; MGC40420 biosynthesis, class U"	NM_080476 Hs.253319		CDC91L1 "phosphatidylinositol glycan anchor		
6650274	0.00196		BX110640			Transcribed locus	Hs.624313	
2320619	0.00195		ATPID; KIAA1137; DKFZp434M0219 member 2"	NM_020452 Hs.435700		ATP8B2 "ATPase, Class I, type 8B,		
70605	0.00194		IDH; IDP; PICD	NM_005896		IDH1 "isocitrate dehydrogenase 1 (NADP+), soluble"		

Hs.593422	3417						
7320162	0.00194	MGC20461	NM_020530	OSM	oncostatin M	Hs.248156	5008
3930041	0.00194	AA600238		Transcribed locus		Hs.634483	
3360484	0.00193	CD317	NM_004335	BST2	bone marrow stromal cell antigen 2	Hs.118110	
684							
3390458	0.0019	IRKK; KIR1.3; KIR4.2; MGC13584	NM_002243		KCNJ15 "potassium inwardly-rectifying channel, subfamily J, member 15"	Hs.411299	3772
770364	0.00187	IFRG28	NM_022147	RTP4	receptor (chemosensory)	transporter	protein 4
Hs.43388							
64108							
940100	0.00187	LTA4H	NM_000895	LTA4H	leukotriene A4 hydrolase	Hs.524648	4048
2230546	0.00187	tamo; associated 2-like	C16orf76; Hs.374556	MGC26885	NM_152339	MGC26885	spermatogenesis
				124044			
4890458	0.00184	LOC130074; MGC87527	NM_001009993	LOC130074	p20	Hs.534679	130074
1170735	0.00182	FLJ32191	NM_144689	ZNF420	zinc finger protein 420	Hs.444992	147923
160279	0.00182	NOP56	NM_006392	NOL5A	nucleolar protein 5A (56kDa with KKE/D repeat)		
Hs.376064							
10528							
5220193	0.00182	GBA	NM_001005741	GBA	"Glucosidase, beta; acid (includes glucosylceramidase)"		
Hs.282997							
7150564	0.00182	SUV3	NM_003171	SUPV3L1	"suppressor of var1, 3-like 1 (S. cerevisiae)"		
Hs.106469							
6832							
1030041	0.00181	CLAN; IPAF; CLAN1; CLANA; CLANB; CLANC; CLAND; CARD12; CLR2.1	NM_021209			CARD12	
"NLR family, CARD domain containing 4"							
Hs.574741					58484		
5870376	0.00181	APOL-II	NM_145637	APOL2	"apolipoprotein L, 2"	Hs.474740	23780
2470370	0.00181		AK000019		"CDNA FLJ20012 fis, clone ADKA03438"	Hs.675409	
6510647	0.0018	WDR82; MST107; MSTP107; PRO2730; PRO34047		NM_025222		TMEM113 transmembrane	
protein 113			Hs.194110				
			80335				
2750017	0.0018	MKS4; rd16; JBTS5; JBTS6; LCA10; NPHP6; SLSN6; 3H11Ag; FLJ13615; FLJ21979; KIAA0373					
NM_025114							
CEP290			centrosomal protein 290kDa				
			Hs.150444				
			80184				
620202	0.0018	CGI75; mtTFB; CGI-75	NM_016020	TFB1M	"transcription factor B1, mitochondrial"	B1,	
Hs.279908			51106				
4900114	0.0018	LOC255809	XM_930239	LOC255809	hypothetical LOC255809	Hs.440535	
255809							
5090403	0.0018	GSE; CD152; CTLA-4; IDDM12; CELIAC3	NM_005214	CTLA4	cytotoxic T-lymphocyte-associated protein 4	Hs.247824	1493
6040259	0.0018	MUM-1; HSPC211; FLJ14868; FLJ22283; MGC131891; MGC163315		NM_032853		MUM1	

melanoma associated antigen (mutated) 1	Hs.515016	84939
1470008 0.0018 TQ1; LAM1; LNHR; LSEL; CD62L; LAM-1; LYAM1; Leu-8; PLNHR; hLHRc; LECAM1; Lyam-1 NM_000655 SELL selectin L (lymphocyte adhesion molecule 1)	Hs.82848	6402
270754 0.0018 FKH1; FKHR; FOXO1A	NM_002015	FOXO1A forkhead box O1 Hs.370666 2308
1230538 0.0018 NCF1A; NOX02; p47phox; SH3PXD1A NM_000265 (chronic granulomatous disease, autosomal 1)"	Hs.647047	NCF1 "neutrophil cytosolic factor 1, 653361
6960204 0.0018 FLJ34389	NM_152649	MLKL mixed lineage kinase domain-like Hs.119878 197259
1010242 0.0018 MGC20410	NM_138456	BATF2 "basic leucine zipper transcription factor, ATF-like 2" Hs.124840 116071
3780747 0.00179 COP1; COP; PSEUDO-ICE	NM_052889	COP1 caspase-1 dominant-negative inhibitor pseudo-ICE Hs.348365 114769
3830341 0.00179 A211C6.1	NM_020424	LYR motif containing 1 Hs.185489 57149
4250017 0.00179 CBS1; MSRB; PILB; CBS-1; CGI-131; MGC26104	NM_012228	MSRB2 methionine sulfoxide reductase B2 Hs.461420 22921
5690632 0.00179	NM_016735	LIMK1
1780152 0.00178 BGP; BGP1; BGPI	NM_001024912	CEACAM1 carcinoembryonic antigen-related cell adhesion molecule 1 (biliary glycoprotein)
	Hs.512682	634
4860086 0.00178 F52; MLP; MRP; MLP1; MACMARCKS	NM_023009	MARCKSL1 MARCKS-like 1 Hs.75061 65108
5820634 0.00178 APC2; MCSC2; MGC2615; SCaMC-3	NM_024103	SLC25A23 "solute carrier family 25 (mitochondrial carrier; phosphate carrier), member 23" Hs.356231 79085
5360435 0.00178 TIR8; MGC110992	NM_021805	SIGIRR single immunoglobulin and toll-interleukin 1 receptor (TIR) domain Hs.501624 59307
70762 0.00178 APOL; APO-L; APOL-I	NM_145343	APOL1 "apolipoprotein L, 1" Hs.114309 8542
6270128 0.00178 IGM; IMD3; TRAP; gp39; CD154; CD40L; HIGM1; T-BAM; TNFSF5; hCD40L CD40LG "CD40 ligand (TNF superfamily, member 5, hyper-IgM syndrome)"	Hs.592244	NM_000074 959
3370162 0.00178 Tp44; MGC138290	NM_006139	CD28 CD28 molecule Hs.591629 940
4480433 0.00178 ISGF-3; STAT91; DKFZp686B04100	NM_007315	STAT1 "signal transducer and activator of transcription 1, 91kDa" Hs.642990 6772
1820367 0.00178 RHBDL5; RHBDL6; FLJ22341	NM_001005498	RHBDF2 rhomboid 5 homolog 2 (Drosophila) Hs.464157 79651
3800072 0.00178 FLJ20429	NM_017817	RAB20 "RAB20, member RAS oncogene family"

Hs.508720 55647

2750730 0.00178 TRB2; GS3955 NM\_021643 TRIB2 tribbles homolog 2 (Drosophila) Hs.652175  
28951

1450291 0.00178 ADCAD1; RSRFC4; RSRFC9 NM\_005587 MEF2A myocyte enhancer factor 2A  
Hs.268675 4205

5490181 0.00178 XM\_496783 LOC441114

2710301 0.00178 ATA1; NAT2; SAT1; SNAT1 NM\_030674 SLC38A1 "solute carrier family 38, member 1"  
Hs.654875 81539

1110215 0.00178 MBC2; KIAA0747 NM\_015292 FAM62A "family with sequence similarity 62 (C2 domain containing), member A" Hs.632729 23344

6550010 0.00178 XM\_496657

7400482 0.00178 VRK2 NM\_006296 VRK2 vaccinia related kinase 2 Hs.631890 7444

4390575 0.00178 C1IN; C1NH; HAE1; HAE2; C1INH NM\_000062 SERPING1 "serpin peptidase inhibitor, clade G (C1 inhibitor), member 1, (angioedema, hereditary)" Hs.384598 710

130289 0.00178 KIAA0206; DKFZp781E0375 NM\_005779 LHFPL2 lipoma HMGIC fusion partner-like 2  
Hs.79299 10184

2810326 0.00178 "EU32; NERF; NERF-2; NERF-1A; NERF-1B; NERF-1a,b" NM\_006874 ELF2 E74-like factor 2 (ets domain transcription factor) Hs.656593 1998

6550390 0.00178 DAGK; DAGK1; MGC12821; MGC42356; DGK-alpha NM\_201554 DGKA "diacylglycerol kinase, alpha 80kDa" Hs.524488 1606

2100333 0.00178 TACTILE; MGC22596; DKFZp667E2122 NM\_198196 CD96 CD96 molecule  
Hs.142023 10225

6100112 0.00178 AD021; AD036; FLJ38155; DKFZp434L142 NM\_016613 C4orf18 chromosome 4 open reading frame 18 Hs.567498 51313

6620465 0.00178 MSTP030; MGC117339 NM\_000969 RPL5 ribosomal protein L5 Hs.532359  
6125

3060626 0.00178 AAG6; PKCA; PRKACA; MGC129900; MGC129901; PKC-alpha NM\_002737 PRKCA "protein kinase C, alpha" Hs.531704 5578

20110 0.00178 RIG-B; UBCH8; MGC40331 NM\_004223 UBE2L6 ubiquitin-conjugating enzyme E2L 6  
Hs.425777 9246

2350739 0.00178 VRF; VEGFL NM\_003377 VEGFB vascular endothelial growth factor B  
Hs.78781 7423

5490070 0.00178 P400; CAGH32; TNRC12; FLJ42018; FLJ45115; DKFZP434I225 NM\_015409 EP400 E1A binding protein p400 Hs.654919 57634

5420215 0.00178 UEF1; DRIF2; C7orf6; FLJ39885; KIAA2005 NM\_152703 SAMD9L sterile alpha motif domain containing 9-like Hs.489118 219285

4760010 0.00178 CABIN1; CAIN; KIAA0330 NM\_012295 CABIN1 calcineurin binding protein 1  
Hs.517478 23523

1030398 0.00178 ATV; NBS; NBS1; AT-V1; AT-V2; FLJ10155; MGC87362 NM\_001024688 NBN nibrin  
Hs.492208 4683

450037 0.00178 hly9; mLY9; CD229; SLAMF3 NM\_002348 LY9 lymphocyte antigen 9  
Hs.403857 4063

3140195 0.00178 HDR; MGC2346; MGC5199; MGC5445 NM\_002051 GATA3 GATA binding protein 3  
Hs.524134 2625

4920121 0.00178 T14; S152; Tp55; TNFRSF7; MGC20393 NM\_001242 TNFRSF7 CD27 molecule  
Hs.355307 939

830551 0.00178 MGC39900 XM\_936687 MGC39900 "hypothetical protein MGC39900; Homo sapiens hypothetical protein MGC39900 (MGC39900), mRNA."

1820735 0.00178 FLJ38158; MGC102978; DKFZp313K0436; DKFZp434N2030; DKFZp686L04169 NM\_001009894  
C12orf29 chromosome 12 open reading frame 29 Hs.591009 91298

3460039 0.00178 H3.1; H3/d; H3FD NM\_003532 HIST1H3E "histone cluster 1, H3e"  
Hs.443021 8353

2810270 0.00178 MYD118; GADD45BETA; DKFZP566B133 NM\_015675 GADD45B "growth arrest and DNA-damage-inducible, beta" Hs.110571 4616

4490592 0.00178 RIG-B; UBCH8; MGC40331 NM\_004223 UBE2L6 ubiquitin-conjugating enzyme E2L 6  
Hs.425777 9246

7320291 0.00178 VRL2; TRP12; VRL-2; VROAC; OTRPC4; VR-OAC NM\_147204 TRPV4 "transient receptor potential cation channel, subfamily V, member 4" Hs.506713 59341

3130541 0.00178 LOC440737 XM\_496446 LOC440737 similar to 60S ribosomal protein L35  
Hs.591528 440737

3420343 0.00178 FLJ26450; H\_267D11.1 NM\_207311 CCDC64 coiled-coil domain containing 64  
Hs.369763 92558

6770095 0.00178 NMDMC NM\_006636 MTHFD2 "methylenetetrahydrofolate dehydrogenase (NADP+ dependent) 2, methenyltetrahydrofolate cyclohydrolase" Hs.469030 10797

7050139 0.00178 ISGF-3; STAT91; DKFZp686B04100 NM\_139266 STAT1 "signal transducer and activator of transcription 1, 91kDa" Hs.642990 6772

1190279 0.00178 TX; ICH-2; Mih1/TX; ICEREL-II; ICE(rel)II NM\_033306 CASP4 "caspase 4, apoptosis-related cysteine peptidase" Hs.138378 837

2640156 0.00178 CRL1; TCCR; WSX1; IL27R; zcytor1 NM\_004843 IL27RA "interleukin 27 receptor, alpha" Hs.132781 9466

6940246 0.00178 IL23A M97723 "Interleukin 23, alpha subunit p19" Hs.654496

2490440 0.00178 RALB NM\_002881 RALB v-ras simian leukemia viral oncogene homolog B (ras

related; GTP binding protein) Hs.469820 5899

770095 0.00178 NS3TP2; FLJ21313 NM\_023927 GRAMD3 GRAM domain containing 3  
Hs.363558 65983

1710286 0.00178 MFNG NM\_002405 MFNG MFNG O-fucosylpept ide 3-beta-N-  
acetylglucosaminyltransferase Hs.517603 4242

5900592 0.00178 INPP5H; KIAA0348; MGC44422 NM\_003898 SYNJ2 synaptjanin 2 Hs.434494  
8871

2650113 0.00178 FLJ23713; FLJ33918; Mt-GrpE#2; DKFZp451C205 NM\_152407 GRPEL2 "GrpE-like 2,  
mitochondrial (E. coli)" Hs.511816 134266

6270358 0.00178 XM\_942473 LOC650901

4560114 0.00178 C20656 Transcribed locus Hs.537991

6100010 0.00178 COP1; COP; PSEUDO-ICE NM\_052889 COP1 caspase-1 dominant-negative inhibitor  
pseudo-ICE Hs.348365 114769

6370678 0.00178 BX102143 Transcribed locus Hs.661440

6350274 0.00178 MLKL XM\_936963 MLKL "mixed lineage kinase domain-like; synonym: FLJ34389;  
Homo sapiens mixed lineage kinase domain-like (MLKL), mRNA."

3120520 0.00178 HVLP; MGC10029 NM\_031311 CPVL "carboxypeptidase, vitellogenin-like"  
Hs.233389 54504

4230133 0.00178 EBI2 NM\_004951 EBI2 Epstein-Barr virus induced gene 2 (lymphocyte-specific  
G protein-coupled receptor) Hs.784 1880

430338 0.00178 ACTSA NM\_001613 ACTA2 "actin, alpha 2, smooth muscle, aorta" Hs.500483  
59

4540414 0.00175 KE3; HKE3; KE-3; D6S218E; MGC117351; MGC126835; MGC126837 NM\_022551 RPS18  
ribosomal protein S18 Hs.627414 6222

5860189 0.00172 HSPC163 NM\_014184 CNIH4 cornichon homolog 4 (Drosophila) Hs.445890  
29097

5860753 0.00172 DKFZp686G0786 NM\_198460 GBP6 "guanylate binding protein family, member 6"  
Hs.254338 163351

2630747 0.00172 IL-15; MGC9721 NM\_172174 IL15 interleukin 15 Hs.654378 3600

6220450 0.00172 RDHL; RDH15; RETSDR8; 3alpha-HSD NM\_005771 DHRS9 dehydrogenase/reductase  
(SDR family) member 9 Hs.179608 10170

10592 0.00172 PLA2G4; MGC126350; cPLA2-alpha NM\_024420 PLA2G4A "phospholipase A2, group IVA  
(cytosolic, calcium-dependent)" Hs.497200 5321

5960717 0.00172 P113; ISGF-3; STAT113; MGC59816 NM\_005419 STAT2 "signal transducer and  
activator of transcription 2, 113kDa" Hs.530595 6773

3460041 0.00172 JAK2 NM\_004972 JAK2 Janus kinase 2 (a protein tyrosine kinase)  
Hs.656213 3717

6860717 0.00172 RK; p38; EXIP; Mxi2; CSBP1; CSBP2; CSPB1; PRKM14; PRKM15; SAPK2A; p38ALPHA  
NM\_139013 MAPK14 mitogen-activated protein kinase 14 Hs.588289 1432

4040672 0.00172 EJ16; EJ30; EL32; G344; MIN1; MIN2; MIN3; MIC11; MSK21; 16.3A5; p18-20; MGC2354;  
PROTECTIN NM\_203329 CD59 "CD59 molecule, complement regulatory protein" Hs.278573  
966

1710768 0.00172 APT1; PSF1; ABC17; ABCB2; RING4; TAP1N; D6S114E; FLJ26666; FLJ41500; TAP1\*0102N  
NM\_000593 TAP1 "transporter 1, ATP-binding cassette, sub-family B (MDR/TAP)" Hs.352018  
6890

4810255 0.00172 FLN29 NM\_006700 TRAFD1 TRAF-type zinc finger domain containing 1 Hs.5148  
10906

1770672 0.00172 GILT; IP30; IFI-30; MGC32056 NM\_006332 IFI30 "interferon, gamma-inducible  
protein 30" Hs.14623 10437

70369 0.00172 BGT1; BGT-1; FLJ38727 NM\_003044 SLC6A12 "solute carrier family 6  
(neurotransmitter transporter, betaine/GABA), member 12" Hs.437174 6539

1820491 0.00172 BCAP; RP11-34E5.3 NM\_152309 PIK3AP1 phosphoinositide-3-kinase adaptor  
protein 1 Hs.310456 118788

6900341 0.00172 NT3; Gp95 NM\_002959 SORT1 sortilin 1 Hs.485195 6272

4290435 0.00172 DKFZp761E198; PP1030 NM\_138368 DKFZp761E198 DKFZp761E198 protein  
Hs.591957 91056

20328 0.00172 FHL4; HLH4; HPLH4 NM\_003764 STX11 syntaxin 11 Hs.118958 8676

2450100 0.00172 FLJ39838 NM\_020437 ASPHD2 aspartate beta-hydroxylase domain containing 2  
Hs.567547 57168

1260048 0.00172 FN5 NM\_020179 FN5 chromosome 11 open reading frame 75 Hs.438064  
56935

3780326 0.00172 GBP2 NM\_004120 GBP2 "guanylate binding protein 2, interferon-inducible"  
Hs.386567 2634

4050040 0.00172 BREK; KPI2; LMR2; cprk; KPI-2; AATYK2; KIAA1079 NM\_014916 LMTK2 lemur tyrosine  
kinase 2 Hs.444179 22853

6280427 0.00172 RK; p38; EXIP; Mxi2; CSBP1; CSBP2; CSPB1; PRKM14; PRKM15; SAPK2A; p38ALPHA  
NM\_001315 MAPK14 mitogen-activated protein kinase 14 Hs.588289 1432

6770072 0.00172 FLJ32761; MGC126671; bA330011.1; RP11-330011.1 NM\_182755 ZNF438 zinc finger  
protein 438 Hs.660642 220929

5670100 0.00172 LPCAT2; FLJ20481; LysoPAFAT; DKFZp686H22112 NM\_017839 AYTL1 acyltransferase  
like 1 Hs.460857 54947

1400605 0.00172 Rsc6p; BAF60C; CRACD3; MGC111010 NM\_003078 SMARCD3 "SWI/SNF related,  
matrix associated, actin dependent regulator of chromatin, subfamily d, member 3" Hs.647067

6604

1780528 0.00172 APT2; PSF2; ABC18; ABCB3; RING11; D6S217E ATP-binding cassette, sub-family B (MDR/TAP)"	Hs.502	6891	NM_018833	TAP2	"transporter 2,
6250743 0.00172 GCH; DYT5; GTPCH1; GTP-CH-1 responsive dystonia)	Hs.86724	2643	NM_001024024	GCH1	GTP cyclohydrolase 1 (dopa-
2070575 0.00172 G24; MRPL56; FLJ14902	NM_171846		LACTB	"lactamase, beta"	Hs.410388
114294					
6960441 0.00172 SLO-BETA; hslo-beta; K(VCA)beta	NM_004137		KCNMB1	"potassium large conductance calcium-activated channel, subfamily M, beta member 1"	Hs.484099 3779
3990626 0.00172 IL7R	XM_937367		IL7R	"interleukin 7 receptor; synonyms: CD127, CDW127, IL-7R-alpha; CD127 antigen; interleukin 7 receptor alpha chain; Homo sapiens interleukin 7 receptor (IL7R), mRNA."	
3460523 0.00172 MAYP; interacting protein 2	MGC34175	NM_024430	PSTPIP2	proline-serine-threonine phosphatase	
	Hs.567384	9050			
5820008 0.00172 T49; pT49	NM_006682		FGL2	fibrinogen-like 2	Hs.520989 10875
2360292 0.00172 MYOF; FLJ36571; FLJ90777 elegans)"	Hs.655278	26509	NM_013451	FER1L3 "fer-1-like 3, myoferlin (C.	
3290286 0.00172 SELM; SEPM; MGC40146	NM_080430		SELM	selenoprotein M	Hs.55940 140606
5910762 0.00172 HE1; NP-C2; MGC1333 Hs.433222	NM_006432		NPC2	"Niemann-Pick disease, type C2"	
10577					
6380338 0.00172 APOL-VI; "apolipoprotein L, 6"	FLJ38562;	FLJ90164;	MGC57495;	DKFZp667M075	NM_030641 APOL6
Hs.257352		80830			
650113 0.00172 PBX4	NM_025245		PBX4	pre-B-cell leukemia homeobox 4	Hs.466257 80714
2750242 0.00172 TPA1; FLJ10826; KIAA1612 dependent oxygenase domain containing 1	Hs.231883	55239	NM_018233	OGFOD1 2-oxoglutarate and iron-	
2070673 0.00172 LPL1; APT-1; LYSOPLA 10434	NM_006330		LYPLA1	lysophospholipase I	Hs.435850
3170092 0.00172 PICT1; PICT-1 Hs.421907	NM_015710	29997	GLTSCR2	glioma tumor suppressor candidate region gene 2	
4040360 0.00172 I3	NM_015379		BRI3	brain protein I3	Hs.567438 25798
2070239 0.00172	XM_936627		LOC647572		
7210747 0.00172 SEK; HEK8; TYRO1	NM_004438		EPHA4	EPH receptor A4	Hs.371218 2043
2680400 0.00172 KIAA1632	BX094382		KIAA1632		Hs.514843
6040196 0.00172 TIMAP; ANKRD4; KIAA0823 regulatory (inhibitor) subunit 16B"	NM_015568	Hs.45719	PPP1R16B	"protein phosphatase 1,	
		26051			

1850072 0.00172 HLP4; DKFZp761G122 NM\_016257 HPCAL4 hippocalcin like 4 Hs.524688  
51440

4180274 0.00172 AK026751 "CDNA: FLJ23098 fis, clone LNG07440" Hs.306876

6270241 0.00172 MGC24837 NM\_014587 SOX8 SRY (sex determining region Y)-box 8  
Hs.243678 30812

7040020 0.00172 LMP7; D6S216; RING10; D6S216E; MGC1491 NM\_004159 PSMB8 "proteasome (prosome, macropain) subunit, beta type, 8 (large multifunctional peptidase 7)" Hs.180062 5696

7560082 0.00172 TEL2; TELB; TEL-2 NM\_016135 ETV7 ets variant gene 7 (TEL2 oncogene)  
Hs.272398 51513

1190452 0.00172 FBG2; FBS2; FBX6; Fbx6b NM\_018438 FBXO6 F-box protein 6 Hs.464419 26270

150196 0.00172 E6TP1; KIAA0440; DKFZp686G1344 NM\_015556 SIPA1L1 signal-induced proliferation-associated 1 like 1 Hs.654657 26037

2850500 0.00172 Mpa2 NM\_052941 GBP4 guanylate binding protein 4 Hs.409925 115361

6370041 0.00172 DCRR1; RNF105; TPRDIII; DKFZp686M0150 NM\_003316 TTC3 tetratricopeptide repeat domain 3 Hs.368214 7267

1850093 0.00172 TL2; APO2L; CD253; TRAIL; Apo-2L NM\_003810 TNFSF10 "tumor necrosis factor (ligand) superfamily, member 10" Hs.478275 8743

4760730 0.00172 MYOBREVIN NM\_006634 VAMP5 vesicle-associated membrane protein 5  
(myobrevin) Hs.172684 10791

380041 0.00172 EEIG1; C9orf132; MGC50853; bA203J24.7 NM\_203305 C9orf132 "family with sequence similarity 102, member A" Hs.568044 399665

7160296 0.00172 NFBP; ALG-4; KIAA0185 NM\_014976 PDCD11 programmed cell death 11  
Hs.239499 22984

1430164 0.00172 BGP; BGP1; BGPI NM\_001712 CEACAM1 carcinoembryonic antigen-related cell adhesion molecule 1 (biliary glycoprotein) Hs.512682 634

4920719 0.00172 RNF94; STAF50; GPSTAF50 NM\_006074 TRIM22 tripartite motif-containing 22  
Hs.501778 10346

6250538 0.00172 NM\_080417 4-Sep

3450328 0.00172 GEP; GP88; PEPI; PGRN; PCDGF NM\_002087 GRN granulin Hs.514220  
2896

3190133 0.00172 ISGF-3; STAT91; DKFZp686B04100 NM\_139266 STAT1 "signal transducer and activator of transcription 1, 91kDa" Hs.642990 6772

7150176 0.00172 ATX1; HAH1; MGC138453; MGC138455 NM\_004045 ATOX1 ATX1 antioxidant protein 1 homolog (yeast) Hs.125213 475

7570079 0.00172 CD127; CDW127; IL-7R-alpha NM\_002185 IL7R interleukin 7 receptor

Hs.591742 3575

4150551 0.00172 APG3; APG3L; PC3-96; FLJ22125; MGC15201; DKFZp564M1178 NM\_022488 ATG3 ATG3  
autophagy related 3 homolog (S. cerevisiae) Hs.477126 64422

4040221 0.00172 EI; LEI; PI2; MNEI; M/NEI; ELANH2 NM\_030666 SERPINB1 "serpin peptidase inhibitor, clade B (ovalbumin), member 1" Hs.381167 1992

2350142 0.00172 DABP NM\_001352 DBP D site of albumin promoter (albumin D-box) binding protein Hs.414480 1628

7550445 0.00172 GPR9; IP10; MigR; CD182; CD183; Mig-R; CKR-L2; CMKAR3; IP10-R NM\_001504 CXCR3 chemokine (C-X-C motif) receptor 3 Hs.198252 2833

610291 0.00172 IFI53; IFP53; GAMMA-2 NM\_213646 WARS tryptophanyl-tRNA synthetase Hs.497599 7453

4900504 0.00172 DF5L; FKSG10; FLJ12150 NM\_024736 GSDMDC1 gasdermin domain containing 1 Hs.118983 79792

5870598 0.00172 HMX3; MNAR; P160 NM\_014389 PELP1 "proline, glutamic acid and leucine rich protein 1" Hs.513883 27043

1260040 0.00172 P47; FLJ27168 NM\_002664 PLEK pleckstrin Hs.468840 5341

5810167 0.00172 XR\_000992 LOC400759

5310369 0.00172 TRYP2 NM\_002104 GZMK granzyme K (granzyme 3; tryptase II) Hs.277937 3003

1500180 0.00172 FLJ22344 NM\_001002796 MCTP1 "multiple C2 domains, transmembrane 1" Hs.655087 79772

6200603 0.00172 G24; MRPL56; FLJ14902 NM\_171846 LACTB "lactamase, beta" Hs.410388 114294

4490129 0.00172 CGI-44 NM\_021199 SQRDL sulfide quinone reductase-like (yeast) Hs.511251 58472

4200543 0.00172 MGC22805 NM\_144590 ANKRD22 ankyrin repeat domain 22 Hs.217484 118932

1240403 0.00172 HK3; HKIII NM\_002115 HK3 hexokinase 3 (white cell) Hs.411695 3101

1010343 0.00172 SSA; R052; SSA1; RNF81 NM\_003141 TRIM21 tripartite motif-containing 21 Hs.532357 6737

7150403 0.00172 LMP7; D6S216; RING10; D6S216E; MGC1491 NM\_148919 PSMB8 "proteasome (prosome, macropain) subunit, beta type, 8 (large multifunctional peptidase 7)" Hs.180062 5696

1450523 0.00172 LRRK2 XM\_930820 LRRK2 "leucine-rich repeat kinase 2; synonyms: PARK8, RIPK7, ROCO2, AURA17; dardarin; Parkinson disease (autosomal dominant) 8; augmented in rheumatoid arthritis 17; Homo sapiens leucine-rich repeat kinase 2 (LRRK2), mRNA."

3120414 0.00172 ORAI1; CRACM1; FLJ14466 NM\_032790 FLJ14466 transmembrane protein 142A  
Hs.55148 84876

1500377 0.00172 PA28B; REGbeta; PA28beta NM\_002818 PSME2 "proteasome (prosome, macropain) activator subunit 2 (PA28 beta)" Hs.434081 5721

1050300 0.00172 Trif; HSD34; RNF36 BC031266 TRIM69 tripartite motif-containing 69  
Hs.489254 140691

5810471 0.00172 DRAM; FLJ11259 NM\_018370 FLJ11259 damage-regulated autophagy modulator  
Hs.525634 55332

2570356 0.00172 RHBDL5; RHBDL6; FLJ22341 NM\_024599 RHBDL2 rhomboid 5 homolog 2  
(Drosophila) Hs.464157 79651

6550739 0.00172 ICE; P45; IL1BC NM\_033294 CASP1 "caspase 1, apoptosis-related cysteine peptidase (interleukin 1, beta, convertase)" Hs.2490 834

3420630 0.00172 HPK1 NM\_007181 MAP4K1 mitogen-activated protein kinase kinase kinase kinase 1  
Hs.95424 11184

5080056 0.00172 FLJ10379 NM\_018079 FLJ10379 S1 RNA binding domain 1 Hs.14229  
55133

2650215 0.00172 GBP1 NM\_002053 GBP1 "guanylate binding protein 1, interferon-inducible, 67kDa" Hs.62661 2633

1470242 0.00172 WDF1; FENS-1; ZFYVE17 NM\_020830 WDFY1 WD repeat and FYVE domain containing 1  
Hs.368359 57590

2360598 0.00172 RNF88; TRIM5alpha NM\_033034 TRIM5 tripartite motif-containing 5  
Hs.370515 85363

6380731 0.00172 CW-1; TCTEL1; tctex-1; MGC111571 NM\_006519 DYNLT1 "dynein, light chain, Tctex-type 1" Hs.445999 6993

6520576 0.00172 MAR; IRF-1 NM\_002198 IRF1 interferon regulatory factor 1 Hs.436061  
3659

6980474 0.00172 MD-2 NM\_015364 LY96 lymphocyte antigen 96 Hs.660766 23643

5820475 0.00172 MGC125976 NM\_002690 POLB "polymerase (DNA directed), beta"  
Hs.654484 5423

150703 0.00172 ATF3 NM\_001030287 ATF3 activating transcription factor 3 Hs.460 467

4920243 0.00172 CD157 NM\_004334 BST1 bone marrow stromal cell antigen 1 Hs.169998  
683

7320484 0.00172 FLJ44613; (ALPHA)II-SPECTRIN NM\_003127 SPTAN1 "spectrin, alpha, non-erythrocytic 1 (alpha-fodrin)" Hs.372331 6709

540112 0.00172 ACS3; FACL3; PRO2194 NM\_004457 ACSL3 acyl-CoA synthetase long-chain family member 3 Hs.655772 2181

6020327 0.00172 CEB NM\_004781 VAMP3 vesicle-associated membrane protein 3 (cellubrevin)  
Hs.66708 9341

450544 0.00172 VHR NM\_004090 DUSP3 dual specificity phosphatase 3 (vaccinia virus  
phosphatase VH1-related) Hs.181046 1845

3060360 0.00172 RC3; FLJ26672; KIAA0856 NM\_015263 DMXL2 Dmx-like 2 Hs.511386 23312

3190452 0.00172 FLJ39370 NM\_152400 FLJ39370 chromosome 4 open reading frame 32  
Hs.23439 132720

2260133 0.00172 GK1; GKD NM\_000167 GK glycerol kinase Hs.1466 2710

580494 0.00172 XM\_373684

2190609 0.00172 OSCAR; PIGR3; MGC33613 NM\_130771 OSCAR osteoclast-associated receptor  
Hs.347655 126014

1470184 0.00172 INCA NM\_001007232 INCA inhibitory caspase recruitment domain (CARD) protein  
Hs.44102 440068

4120100 0.00172 AK3; AK4 NM\_001005353 AK3L1 adenylate kinase 3-like 1 Hs.10862  
205

5560273 0.00172 CD85; ILT2; LIR1; MIR7; CD85J; LIR-1; MIR-7; FLJ37515 NM\_006669 LILRB1  
"leukocyte immunoglobulin-like receptor, subfamily B (with TM and ITIM domains), member 1"  
Hs.667388 10859

4260278 0.00172 ACATE2; CGI-16; MT-ACT48 NM\_001033583 ACOT9 acyl-CoA thioesterase 9  
Hs.298885 23597

6130594 0.00172 CD87; UPAR; URKR NM\_001005376 PLAUR "plasminogen activator, urokinase  
receptor" Hs.466871 5329

4540138 0.00172 GBP-5 NM\_052942 GBP5 guanylate binding protein 5 Hs.513726 115362

270768 0.00172 LOC440731 XM\_933693 LOC440731 hypothetical LOC440731 Hs.181156  
440731

2480577 0.00172 NSE2; BCMP101 NM\_174911 FAM84B "family with sequence similarity 84, member B"  
Hs.124951 157638

6040639 0.00172 PYHIN4 NM\_004833 AIM2 absent in melanoma 2 Hs.281898 9447

3710379 0.00172 CD87; UPAR; URKR NM\_001005376 PLAUR "plasminogen activator, urokinase  
receptor" Hs.466871 5329